

เอกสารประกอบการสอน  
วิชา 102621  
Advanced Organic Chemistry II

โครงการหนึ่งอาจารย์หนึ่งผลงาน  
ประจำปีพ.ศ.2545



ผศ.ดร.ธนพร แม่นยำ  
สาขาวิชาเคมี สำนักวิชาวิทยาศาสตร์

## Course Outline

Topics	Hours
1. Oxidation	4
2. Reduction	4
3. Hydroboration	3
4. Stereocontrol and ring formation	5
5. Nucleophilic species that form carbon-carbon bonds	5
6. Enolates and enamines: formation and reactions	5
7. Pericyclic carbon-carbon bond forming reactions	5
8. Electrophilic carbon-carbon bond forming reactions	5
9. Reactions involving highly reactive electron-deficient intermediates	5
10. Multistep syntheses	<u>7</u>
<b>Total</b>	<b><u>48</u></b>

# Oxidations

## Oxidation of alcohols to aldehydes or ketones

### ① Transition metal oxidants

#### 1.1 Cr(VI)-based reagents หรือใช้รวมกัน

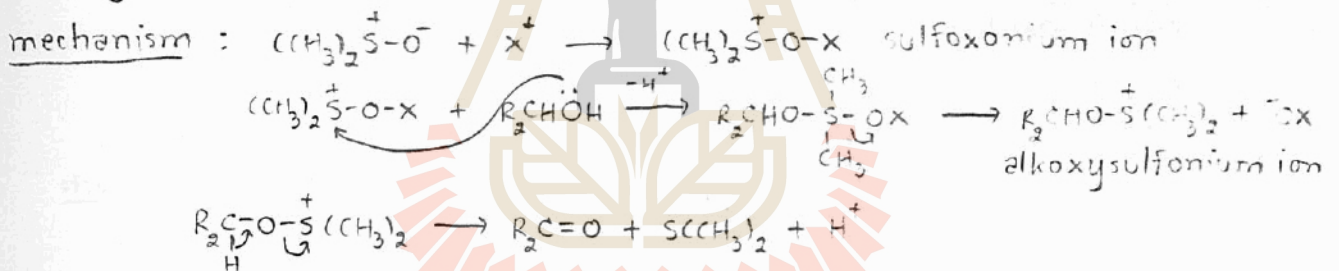
1.1.1 chromic acid solutions ( $H_2CrO_4$ ; Jones' reagent) ใช้สำหรับ simple unfunctionalized alcohols ดูตัวอย่างใน scheme 12.1 ข้อ A ในหน้า 115

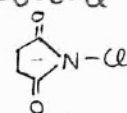
1.1.2 chromium trioxide-pyridine ( $CrO_3$ -pyridine) ใช้สำหรับ alcohols ที่มี functional groups ที่สามารถ oxidation ได้ หรือสำหรับ alcohols ที่ sensitive กับ strong acid ดูตัวอย่างใน scheme 12.1 ข้อ B ในหน้า 115

1.1.3 pyridinium chlorochromate (PCC) เตรียมจาก  $CrO_3 + HCl + \text{pyridine}$  ดูตัวอย่างใน scheme 12.1 ข้อ C ในหน้า 115

1.2 Manganese dioxide ( $MnO_2$ ) เตรียมจาก  $MnSO_4 + KMnO_4 + NaOH$  selective กับ allylic OH และ benzylic OH ดูตัวอย่างใน scheme 12.2 ในหน้า 115

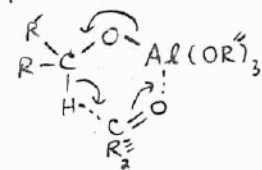
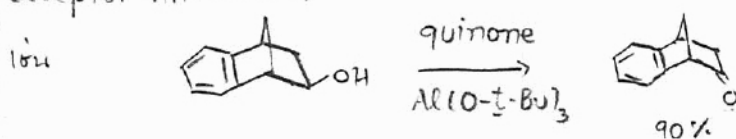
### ② Dimethyl sulfoxide ( $CH_3-S(=O)-CH_3$ ) ร่วมกับ electrophiles



- ตัวอย่างของ  $X^+$
- carbodiimide  $RN=C=NR$
  - acetic anhydride  $CH_3-C(=O)-O-C(=O)-CH_3$
  - trifluoroacetic anhydride  $CF_3-C(=O)-O-C(=O)-CF_3$
  - oxalyl chloride  $Cl-C(=O)-O-C(=O)-Cl \Rightarrow$  เมื่อใช้ร่วมกับ DMSO = Sivern oxidation
  - N-chlorosuccinimide 

### ③ Oppenauer oxidation ใช้สำหรับ alcohols ที่ sensitive กับการเกิด

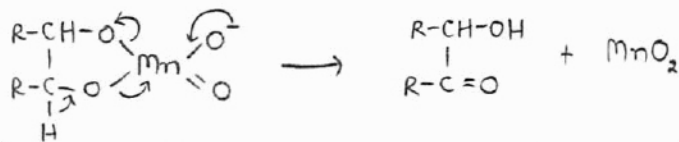
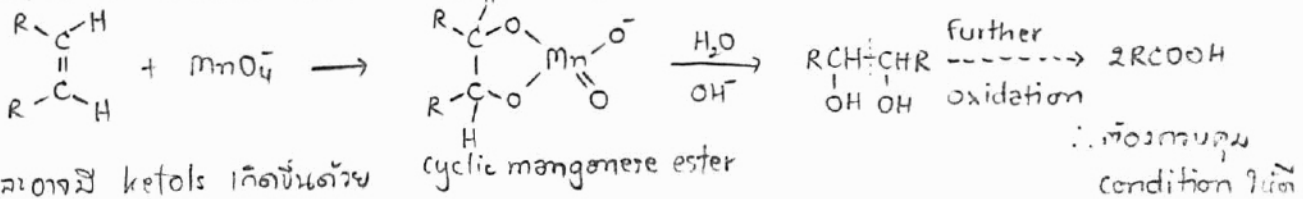
ปฏิกิริยาระหว่าง alcohol, aluminum alkoxide และ carbonyl compound (ที่มันทำหน้าที่เป็น hydrogen acceptor จาก alcohol)



# Addition of oxygen at carbon-carbon double bonds

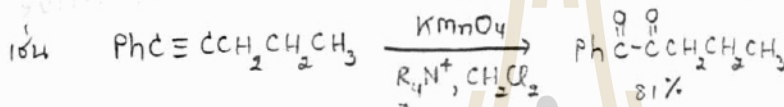
## ① Transition metal oxidants

1.1 Potassium permanganate ( $KMnO_4$ )  
 1.1.1 ใช้สำหรับ oxidize alkenes  $\rightarrow$  glycols "syn addition"



ดูตัวอย่างใน scheme 12.4 ได้เกี่ยวกับปฏิกิริยาของ cyclodecene เมื่อใช้  $KMnO_4$  ในบริเวณที่ระบุกัน ได้ mixtures ของ products เป็น carboxylic acids, diones, ketols, diols

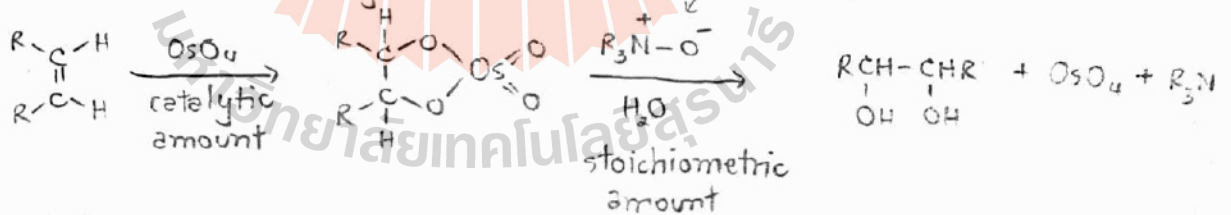
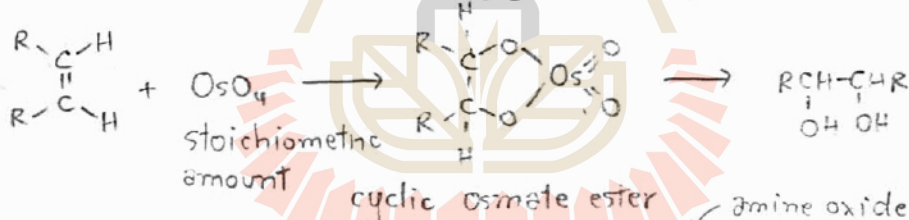
1.1.2 ใช้สำหรับ oxidize alkynes  $\rightarrow$  diones



phase transfer agent ใช้เมื่อต้องผสมสาร  $KMnO_4$  ใน organic solvents

ดูตัวอย่างใน scheme 12.4 นวัตกรรม A ในหน้า 12.4

1.2 Osmium tetroxide ( $OsO_4$ ) ใช้สำหรับ oxidize alkenes  $\rightarrow$  glycols "syn addition"

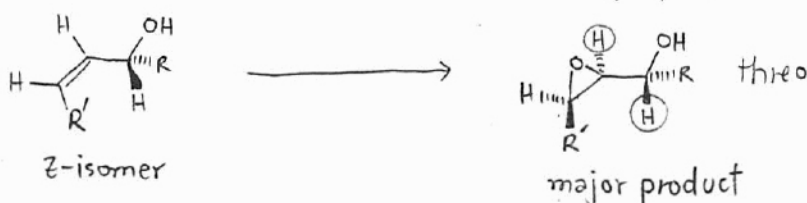
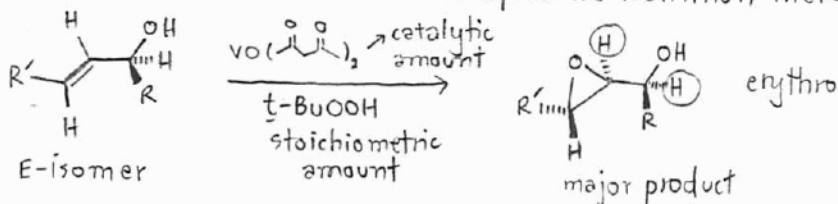


ดูตัวอย่างใน scheme 12.4 นวัตกรรม B ในหน้า 12.4

1.3 Vanadium, molybdenum หรือ titanium compounds ร่วมกับ t-butyl hydroperoxid

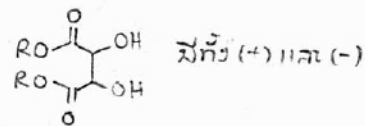
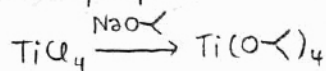
ใช้สำหรับ oxidize allylic alcohols  $\rightarrow$  epoxides

OH หมู่ที่ activating หรือ stereodirecting โดยเกิด complex กับ transition metal



Sharpless asymmetric epoxidation  $\Rightarrow$  highly enantioselective

ใช้  $t\text{-BuOOH}$  + titanium tetraisopropoxide ( $\text{Ti}(\text{O-i-Pr})_4$ ) + tartrate ester



ดูทิศทางของ attack ขึ้นอยู่กับของ (+)-และ (-)-tartrate ดูในเล่มนี้

mechanism: intermediate = complex ระหว่าง titanium ion กับ allylic alcohol, tartrate ester และ  $t\text{-BuOOH}$  ดูในเล่มนี้

โดย orientation จะขึ้นกับ chirality ของ tartrate ester

transition state  $\Rightarrow$  ฆัง transfer ของ O จาก peroxide ไปยัง double bond (ดูในเล่มนี้)

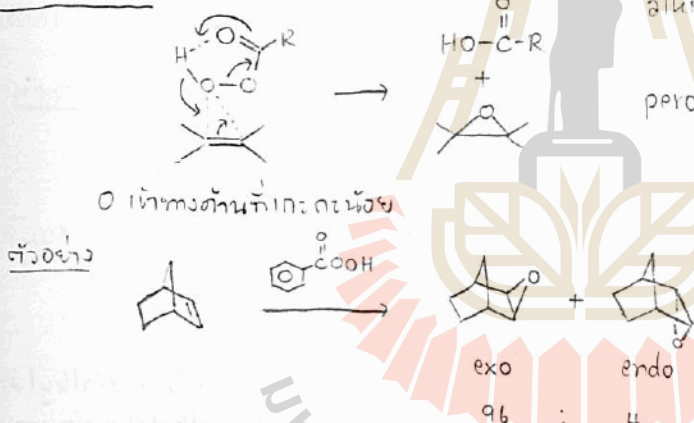
ดูตัวอย่าง Sharpless epoxidation ใน scheme 12.5 ในเล่มนี้

นอกจาก allylic alcohol แล้ว homoallylic alcohol ก็เกิด epoxidation ได้ด้วย 1.3 ได้ แต่ enantioselectivity จะต่ำกว่า

② Peroxidic reagents ใช้สำหรับ oxidize alkenes  $\rightarrow$  epoxides "syn addition"

2.1 Peroxydicarboxylic acids

mechanism: concerted

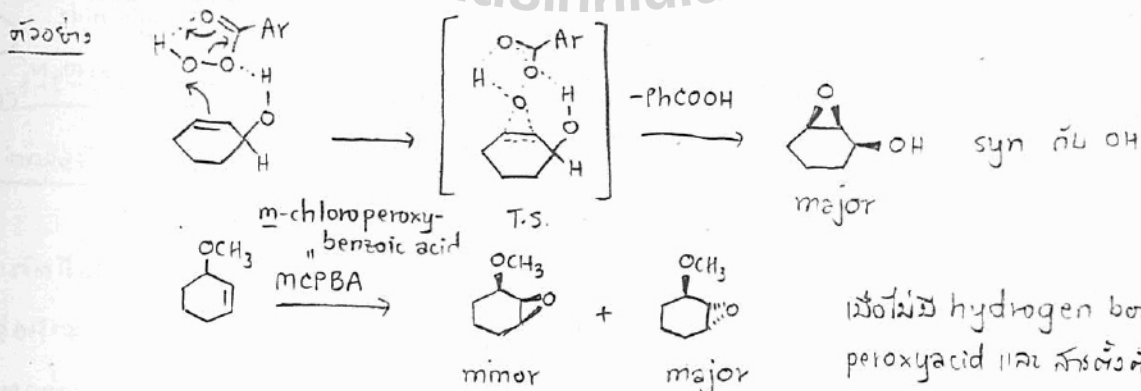


alkenes  $\Rightarrow$  electron-donating group ทำให้ rate of epoxidation เพิ่มขึ้น

peroxyacids  $\Rightarrow$  electron-withdrawing group ทำให้ rate of epoxidation ลดลง  
 $\therefore$  ทำหน้าที่เป็น electrophile

ตัวอย่าง

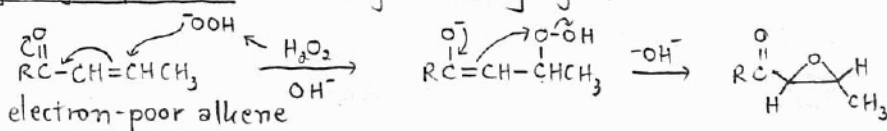
ในกรณีที่มี OH group จะทำให้ O ทำหน้าที่ทำ H-bond กับ OH และ hydrogen bond ก็เกิดในกรณีที่ T.S. เดียวกัน



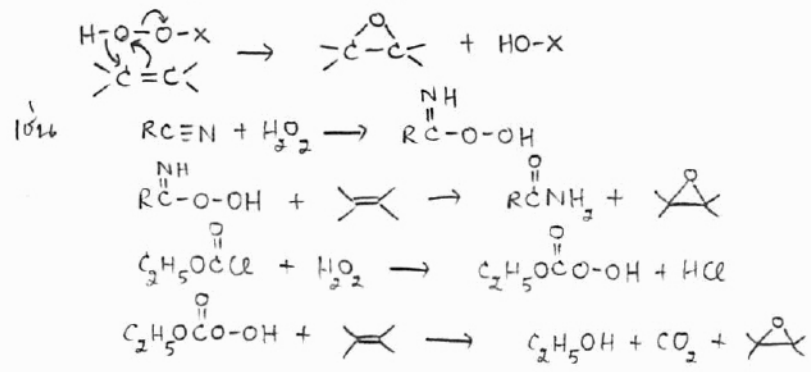
เมื่อไม่มี hydrogen bond ระหว่าง peroxyacid และ alcohol ดังนั้น

ดูตัวอย่างเพิ่มเติมใน scheme 12.6 ข้อ A ในเล่มนี้

2.2 Hydrogen peroxide  $\Rightarrow$  strong oxidizing agent



activate  $H_2O_2$  ให้เป็น reactive oxidizing reagent 4 ได้โดยทำให้ออกซิเจนในรูป  $H-O-O-X$  เป็น  $O-X$  เป็น good leaving group



ดูตัวอย่างใน Scheme 12.6 หน้า 108 ในหนังสือ (ที่ 7 Titor B =  $PhCH_2NMe_3^+$ )

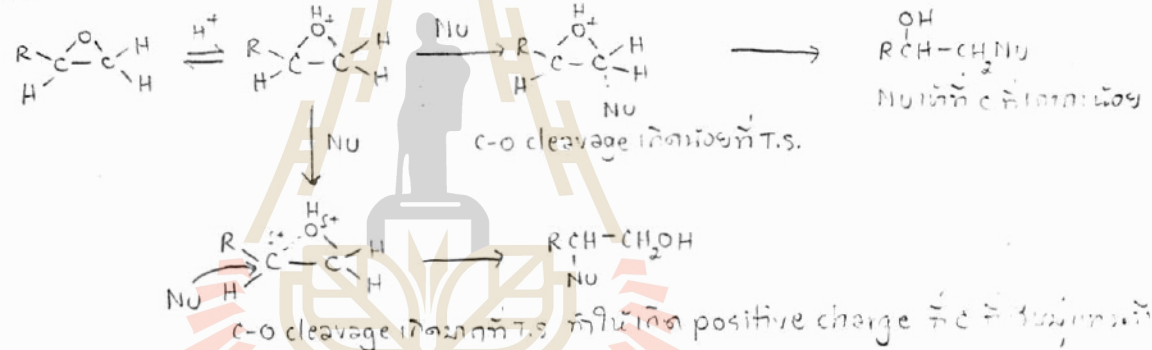
Subsequent transformation of epoxides

ดูตัวอย่างการเปลี่ยน epoxides ให้เป็น functional group อื่นใน scheme 12.7 ในหนังสือ

1. Nucleophilic ring opening "anti addition"  
ถ้า nucleophile = solvent  $\Rightarrow$  solvolytic ring opening

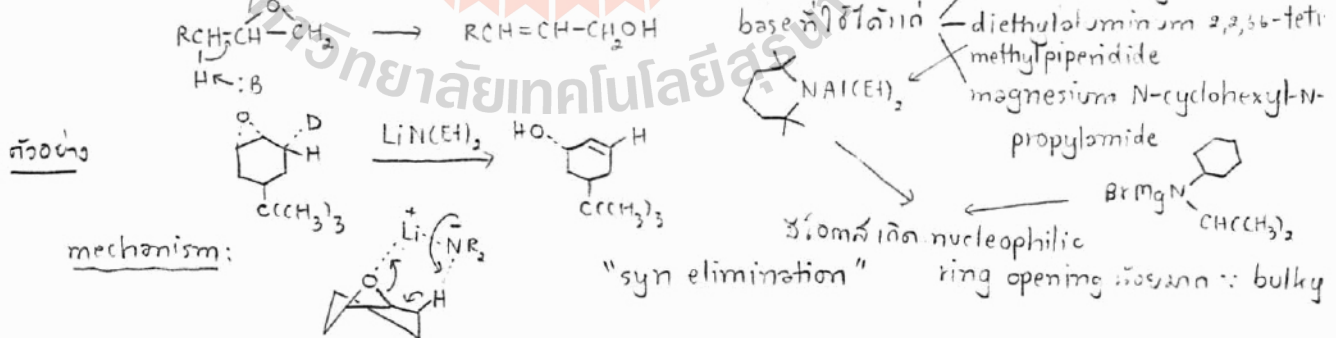


mechanism: acid-catalyzed reactions  $\Rightarrow$  nucleophile attack 3 ขั้นตอน T.S.

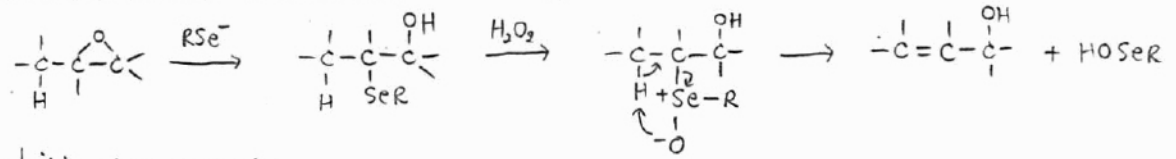


ดูตัวอย่างใน Scheme 12.7 ในหนังสือ

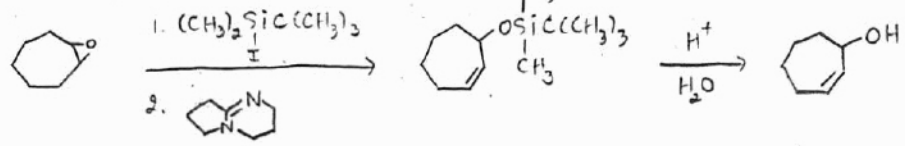
2. Ring opening to allylic alcohols เป็น base-catalyzed reactions



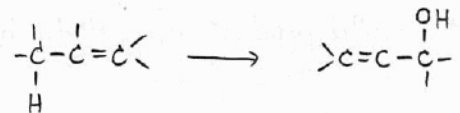
3. Ring opening ด้วย elimination  $\Rightarrow$  ใน allylic alcohols



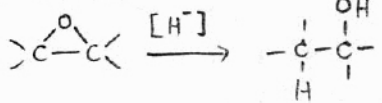
4. Electrophilic ring opening



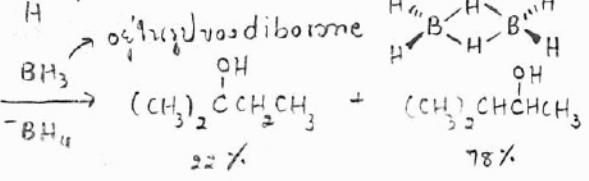
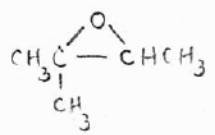
สรุป กรดคาร์บอน allylic alcohols โดยวิธี 2,3,4 เป็นกรดคาร์บอนจาก



5. Reductive ring opening



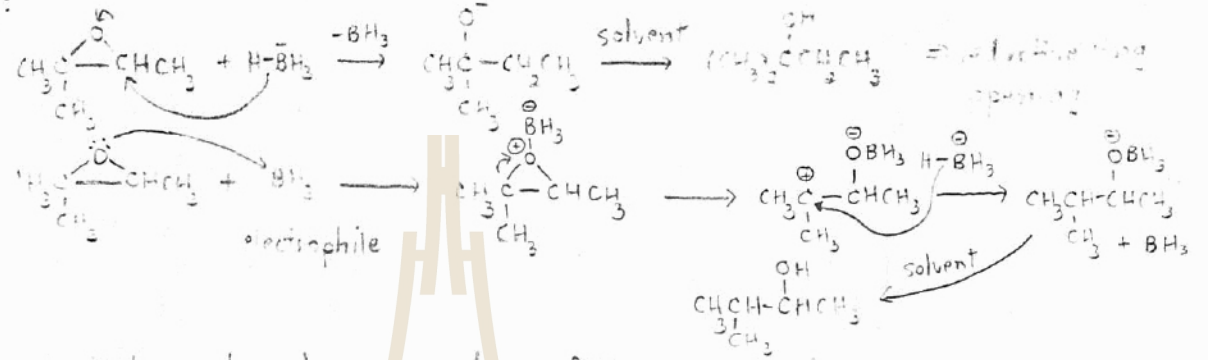
ตัวอย่าง



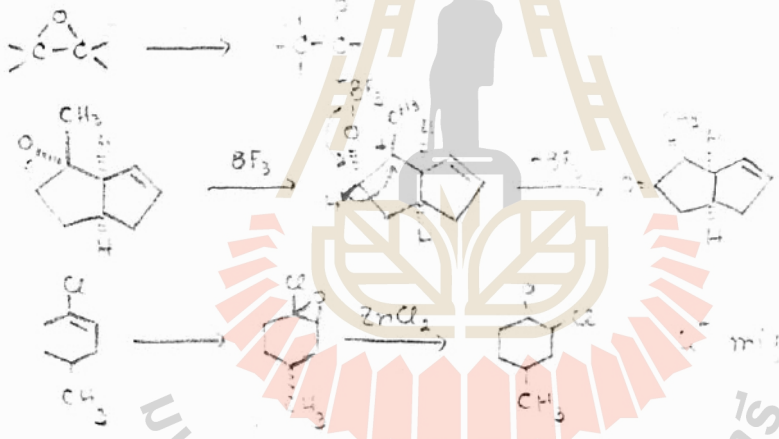
⇒ 9 อันดับแรกใช้ยา methicillin

mechanism:

ตัวอย่าง



6. Reorganization to carbonyl compounds ⇒ is Lewis acid  $BF_3, AlCl_3$



Addition of oxygen to carbon-carbon double bonds (ต่อ)

- Transition metal oxidants
- peroxidic reagents

3) Singlet oxygen ⇒ excited state

ground state ⇒ triplet oxygen ดูแผนภาพระดับพลังงานของ MO ของ

กรดคาร์บอนอัลลิลิกในแอลกอฮอล์

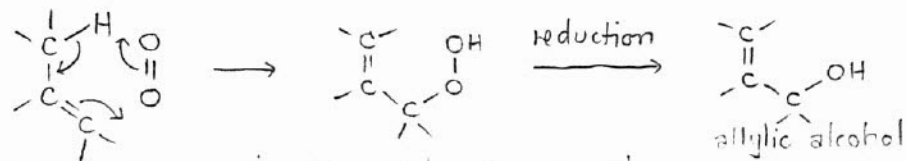
electron configuration ของคาร์บอนโดยทั่วไปจะมีลักษณะตัวใน Fig. 27-2 ในแอลกอฮอล์ ซึ่งมีระดับพลังงานแตกต่างกันด้วยใน Fig. 27-3 ในแอลกอฮอล์ จะเห็นว่า S, สามารถเปลี่ยนเป็น T, ได้โดยเกิด intersystem crossing (เส้น E) rate ของ decay จะขึ้นกับ solvent พบว่าในกรณีของ  $O_2$

lifetime ใน  $CCl_4 = 700 \mu s$   
 $H_2O = 2 \mu s$

ถ้า  $O_2$  มี lifetime ยาว โมลที่กระทำปฏิกิริยากับ alkene จะมีความเข้มข้น generation ของ singlet oxygen - photochemical method

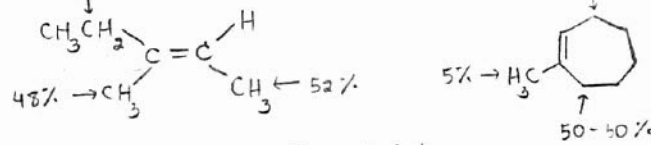
ดูตัวอย่างใน scheme 12.9 ใน

Mechanism: รับรับ alkenes โดยทั่วไป จะมี mechanism เป็นแบบ pericyclic โดยเกิด allylic rearrangement แล้วใน product เป็น allylic hydroperoxide



โดยทั่วไป allylic hydrogen ที่ถูกดึงออกไปจะอยู่ที่ตำแหน่งที่: ประมาณ 35-50% double bond

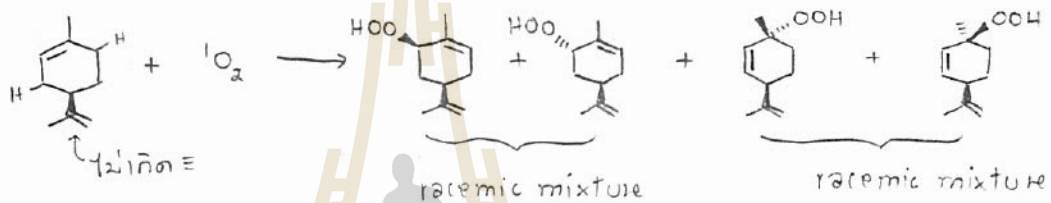
ตัวอย่าง



ดูตัวอย่างปฏิกิริยาใน scheme 12.10 ในหนังสือ

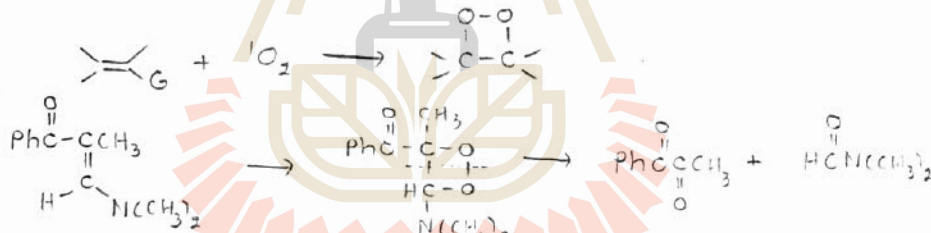
reactivity ของ alkenes: tetrasubstituted > trisubstituted > disubstituted  
electron-withdrawing substituents จะทำให้ rate ช้าลง

ตัวอย่าง



mechanism: รับรับ alkenes ที่มี electron-donating substituents จะให้ product เป็น dioxetanes

ตัวอย่าง



$\text{I}_2\text{O}_2$  สามารถเกิด [4+2] cycloaddition กับ dienes ได้



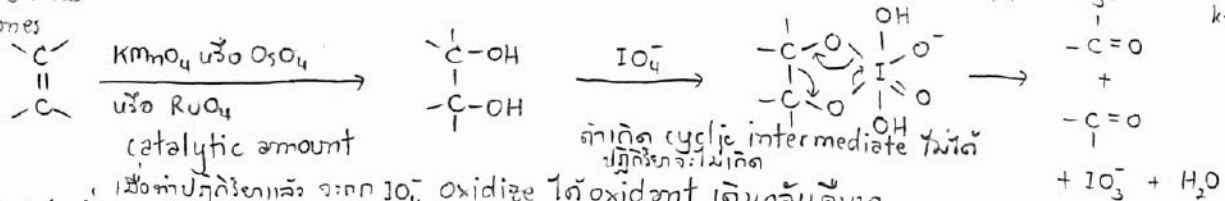
Oxidative cleavage of carbon-carbon double bonds

① Transition metal Oxidants รับ aldehydes หรือ ketones

1.1  $\text{KMnO}_4 / \text{NaIO}_4$  หรือ  $\text{OsO}_4 / \text{NaIO}_4$  หรือ  $\text{RuO}_4 / \text{NaIO}_4$

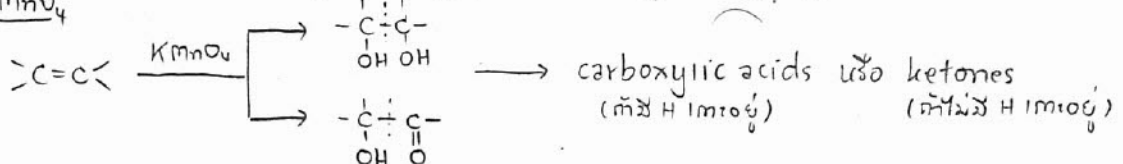
รับ carboxylic acids หรือ ketones

↳ periodate ↳ osmium tetroxide ↳ ruthenium tetroxide (powerful oxidant) รับ carboxylic acids หรือ ket



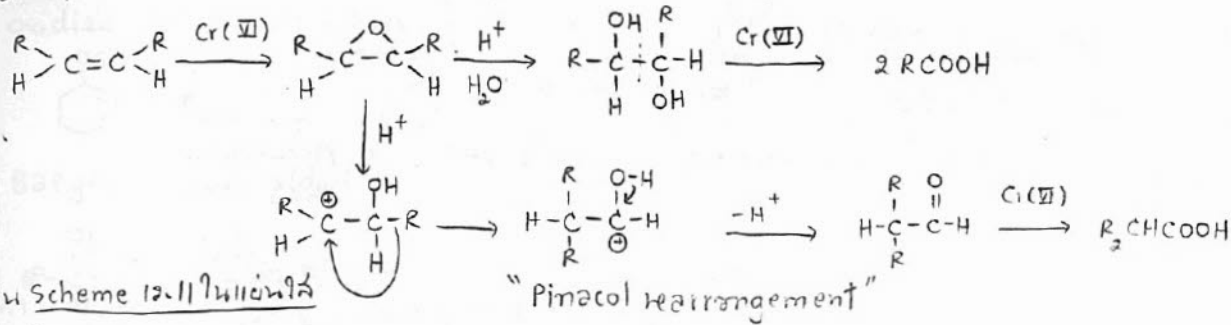
สำหรับ glycols ที่: ทำปฏิกิริยาแล้ว จะถูก  $\text{IO}_4^-$  oxidize ได้ oxidant ที่มันจับกับมัน

1.2  $\text{KMnO}_4$



1.3  $H_2CrO_4$

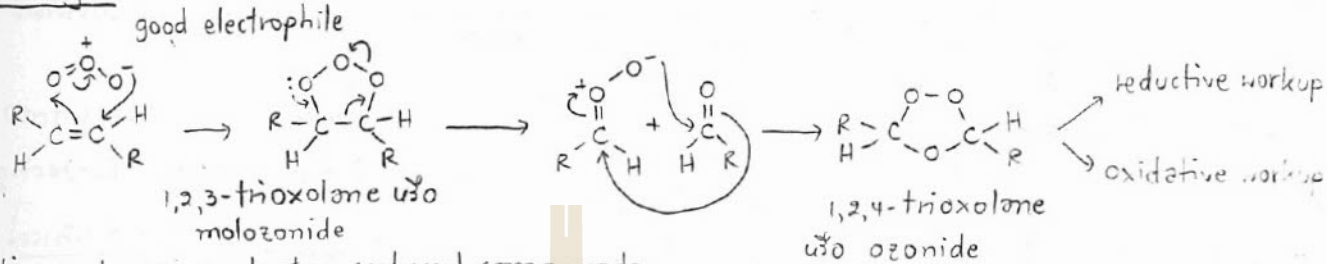
"solvolytic ring opening"



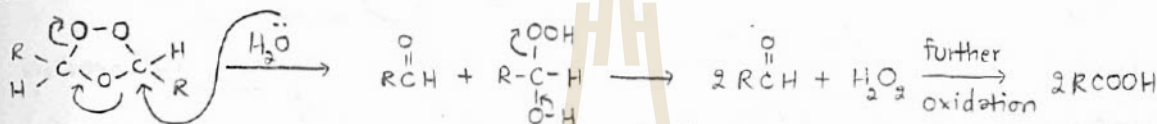
ดูตัวอย่างใน Scheme 12.11 ในหนังสือ

"Pinacol rearrangement"

② Ozonolysis



Reductive workup: products = carbonyl compounds



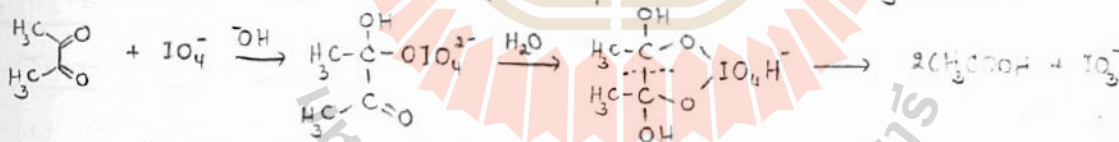
วิธีป้องกันไม่ให้เกิด secondary oxidation products ใช้ mild reducing agent เช่น  $CH_3S-CH_3$ ,  $Zn$ ,  $Na_2SO_3$ ,  $Ph_3P$  เพื่อ reduce peroxidic products ให้เป็น carbonyl compounds

Oxidative workup: products = carboxylic acids

ดูตัวอย่างใน Scheme 12.12 ในหนังสือ

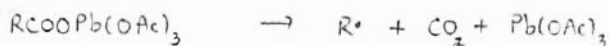
Selective oxidative cleavages at other functional groups

① cleavages of diketones เมื่อใช้  $IO_4^-$  จะได้ products เป็น carboxylic acids

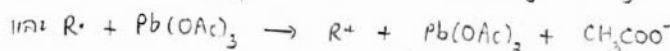
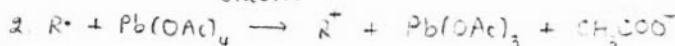


② oxidative decarboxylation เมื่อใช้  $Pb(OAc)_4$  product = alkene, alkane หรือ acetate ester

Mechanism: radical



3 possible reactions สำหรับ  $R\cdot$  1.  $R\cdot + SH \rightarrow RH + S\cdot$  solvent เป็น good H donor เช่น  $CHCl_3$   
2. เป็น primary alkyl

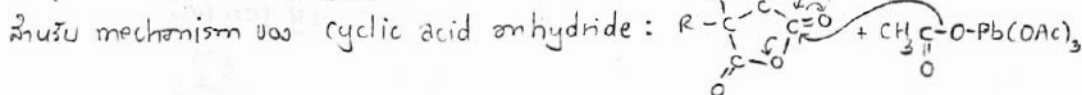


วิธีนี้เกิดได้โดยใช้  $Cu(II)$  เป็น catalyst

ถ้า  $R^+$  เกิด proton elimination จะได้ alkene



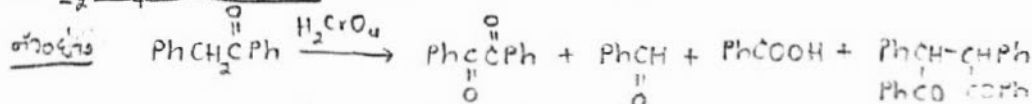
ดูตัวอย่างปฏิกิริยาในหนังสือ



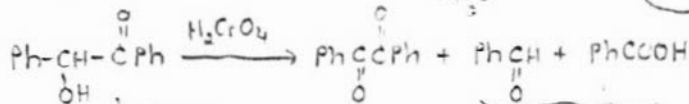
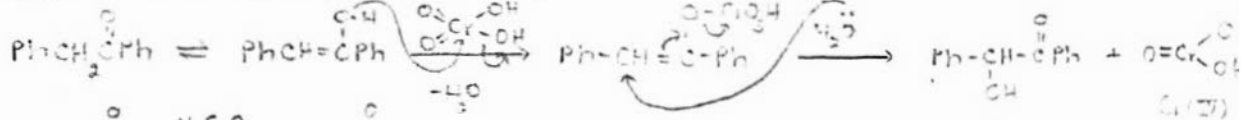
# Oxidation of ketones and aldehydes

## ① Transition metal oxidants

1.1  $H_2CrO_4$  หรือ  $KMnO_4$  ในกรณีของ ketones



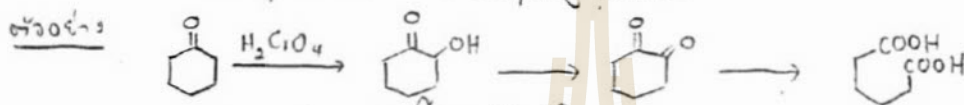
mechanism: 1,2-endoic intermediate



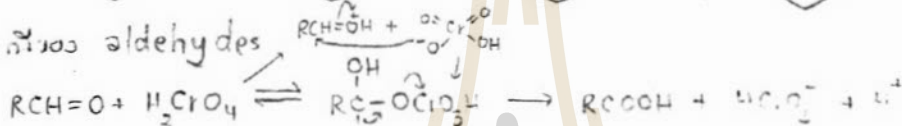
"one electron oxidation" Cr(IV)

1,2-endoic  $PhCH(OH)-C(O)Ph$

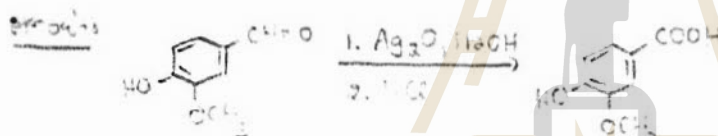
$Ph-CH(OH)-C(O)Ph \rightarrow$  coupling product



1.2 ในกรณีของ aldehydes



1.3  $Ag_2O$  oxidize aldehydes ให้เป็น carboxylic acids

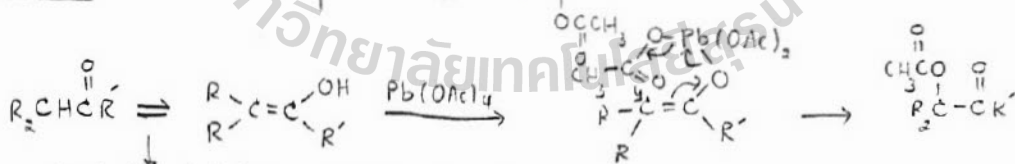


1.4  $MnO_2$  ในกรณีของ alcohol solution oxidize aldehydes ให้เป็น ketone

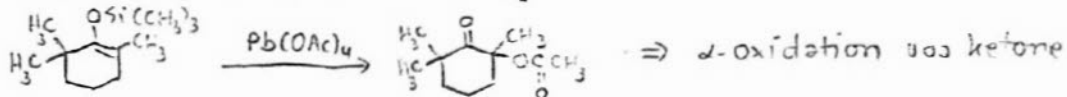
$RCHO + MnO_2 \rightarrow RCOH + MnO$



1.4  $Pb(OAc)_2$  Oxidize  $-C(=O)-$  ให้เป็น  $-C(=O)-$

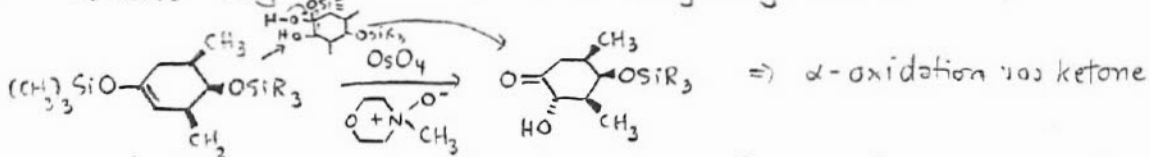


วิธีนี้ช่วยเร่งให้เกิดเร็วขึ้น โดยเติม  $BF_3$

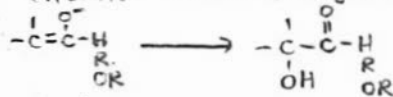


1.5  $OsO_4$  (catalytic amount) ร่วมกับ amine oxide (stoichiometric amount)

oxidize silyl enol ethers ให้เป็น  $\alpha$ -hydroxyketones

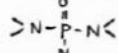


1.6  $MoO_5$ -pyridine / HMPA oxidize enolates ให้เป็น  $\alpha$ -hydroxy compounds



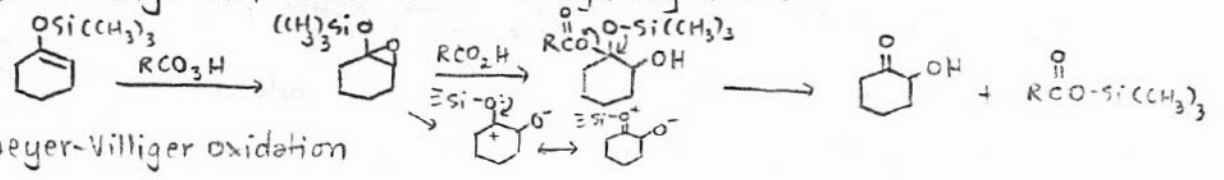
HMPA = hexamethylphosphoramide

ตัวอย่าง HMPA = hexamethylphosphoric triamide

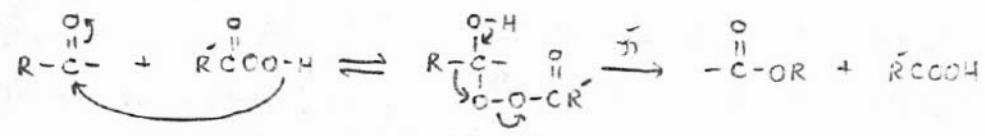


### ② Peroxyacids

2.1 oxidize silyl enol ethers ให้เป็น  $\alpha$ -hydroxyketones



2.2 Baeyer-Villiger oxidation



ลำดับของ migration 3-alkyl > 2-alkyl > benzyl, phenyl > i-alkyl > cyclopropyl > methyl

configuration ของ migrating group จะคงเดิม

ดูตัวอย่างใน scheme 12.13 ในหนังสือ

③  $O_2$  ธรรมดา strong base และ reducing agent ที่เหมาะสม reduce  $-OOH \rightarrow -OH$

ทำให้นเกิด enolate

ใช้ DMSO, trialkyl phosphite ( $PR_3$ )

ดูตัวอย่างในหนังสือ

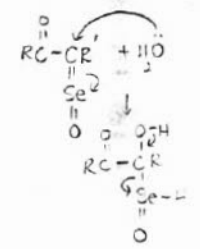
ขึ้นกับ products เกิดขึ้น

ปกติ mechanism จะเป็น radical chain autoxidation โดย step ที่ 3 เป็น propagation step

④ Selenium dioxide  $SeO_2$  oxidize carbonyl compounds ให้เป็น  $\alpha$ -dicarbonyl compounds

ดูตัวอย่างในหนังสือ

mechanism: จะเกิดผ่าน enol โดย  $SeO_2$  เป็น electrophile ดูในหนังสือ



⑤ Hypohalite ions สามารถ oxidize  $R-C(=O)-CH_3$  ให้เป็น  $R-C(=O)-OH$

ดู mechanism และตัวอย่างในหนังสือ

### Allylic oxidation $-C=C-CH_2-$

① Transition metal oxidants

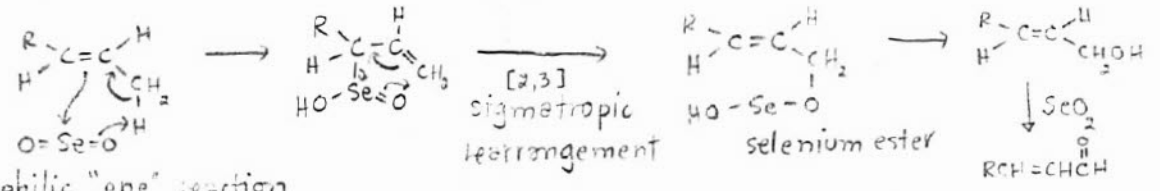
1.1  $CrO_2$ -pyridine หรือ  $CrO_2$ -3,5-dimethylpyrazole

ดูตัวอย่างในหนังสือ

allylic oxidant จะเกิดได้ดี กับ cyclohexene ที่มี  $\alpha$  H

② Selenium dioxide ผลิตภัณฑ์ allylic alcohols, allylic esters of carbonyl compounds

mechanism:



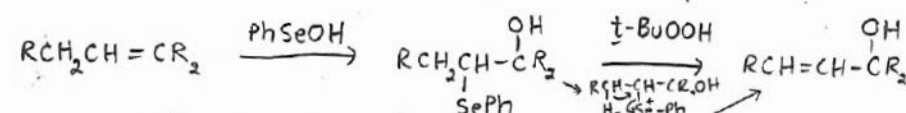
electrophilic "ene" reaction

ถ้าไม่ต่อมารวม allylic alcohol ถูก oxidized เป็น  $RCH=CHCHO$  โดย

1. ใช้  $CH_3COOH$  เป็น solvent จะให้  $RCH=CHCHO$
2. ใช้  $SeO_2$  (cat.) +  $t-BuOOH$  (excess) จะให้ allylic alcohol

สำหรับ trisubstituted alkenes  $SeO_2$  จะเกิด  $\alpha$  ที่ไม่มีหมู่แทนที่ด้วย เกิดเป็น  $\alpha$  H  $\alpha$  ene reaction character เป็น electrophilic  $\Rightarrow$  ดูในหนังสือ หรือผลตัวอย่าง





+ SePh ไปถึง C ที่ 3 และมีแทนที่น้อย  $\Rightarrow$  Markownikoff's rule  $RCH_2CH=CR_2 + PhSe-OH \rightarrow RCH_2\overset{OH}{\underset{|}{C}}-CR_2$

Oxidations at unfunctionalized carbon

① Side-chain oxidation of aromatic compounds

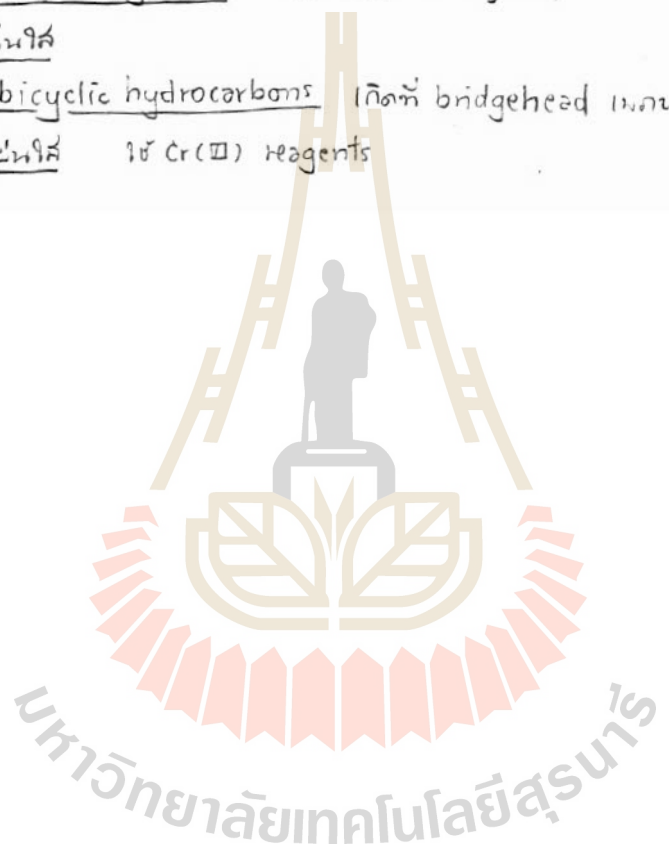
1.1 Mn(VII) และ Cr(VI) reagents เกิดปฏิกิริยาได้ 1. Ar-C- เกิด radical หรือ carbocation ที่ 1  
 2. Ar ที่มี H ที่ 3 กับ Mn(VII) และ Cr(VI)  
 ดูตัวอย่างใน Scheme 12.14 ใน เล่มนี้ (E ที่ 4,5 หนึ่งเกิด radical)

ในกรณีของ  $KMnO_4$  ที่ใช้ร่วมกับ  $R_3N^+$  ใน organic solvent จะทำให้เกิด partial oxidation  
 ดูตัวอย่างใน เล่มนี้

1.2 Benzeneselenic anhydride oxidize Ar-CH<sub>3</sub> ให้เป็น Ar-C(=O)H

ดูตัวอย่างใน เล่มนี้

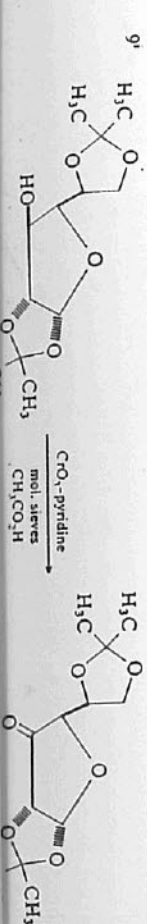
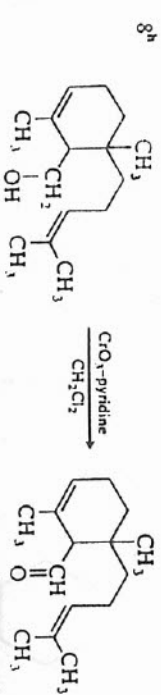
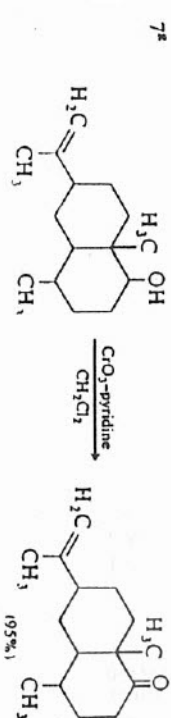
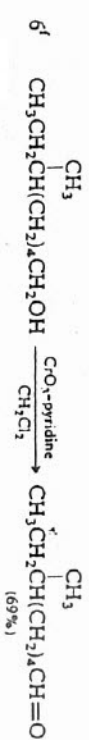
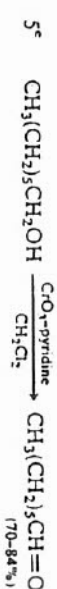
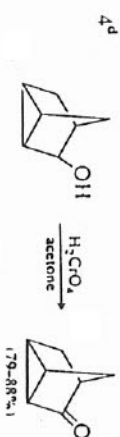
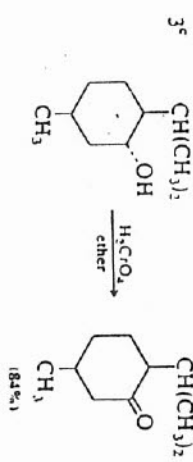
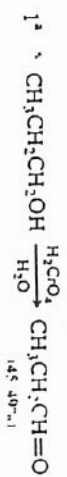
② Oxidation of bicyclic hydrocarbons เกิดที่ bridgehead เมื่อ C-H bond มี reactivity สูง  
 ดูตัวอย่างใน เล่มนี้ ใช้ Cr(VI) reagents



มหาวิทยาลัยเทคโนโลยีสุรนารี

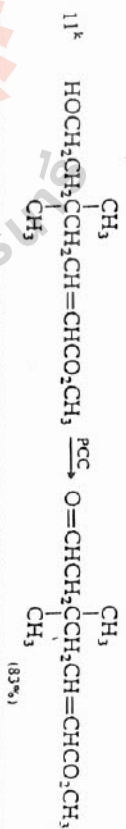
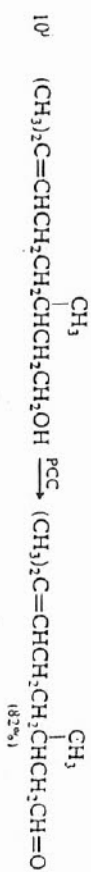
Scheme 12.1. Oxidations with Cr(VI)

A. Chromic Acid Solutions



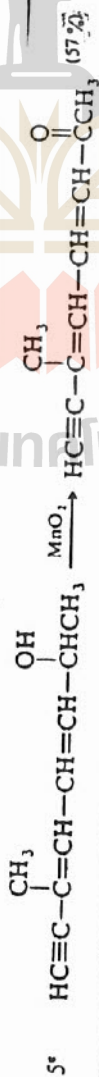
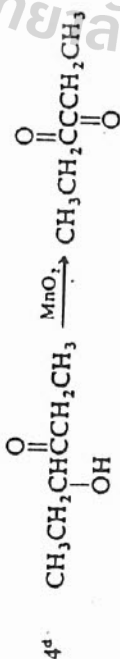
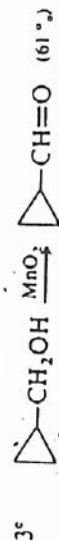
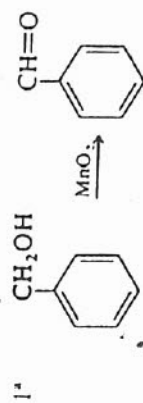
Scheme 12.1—continued

C. Pyridinium Chlorochromate

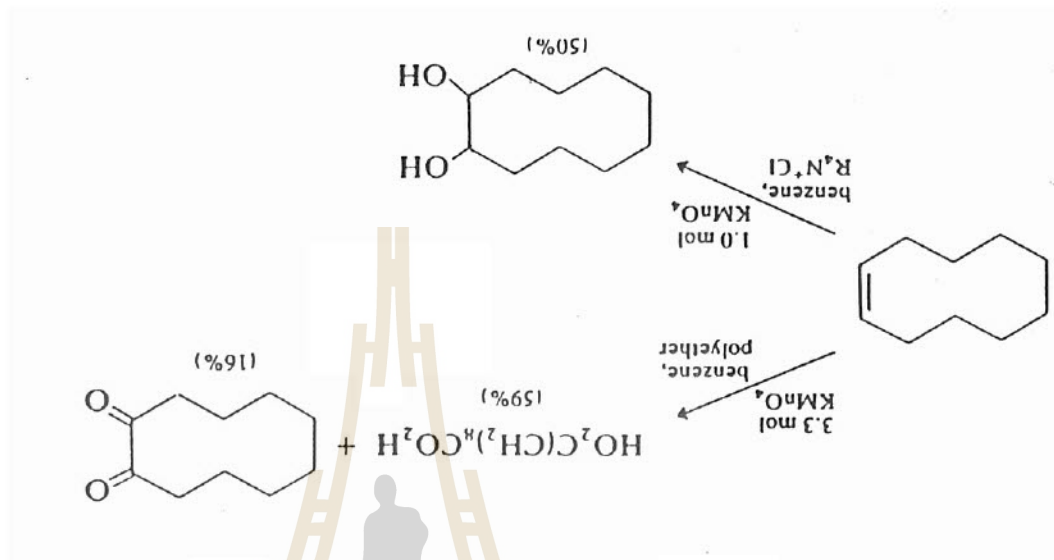


- C. D. Hurd and R. N. Meinert, *Org. Synth.* II, 541 (1943).
- E. J. Eisenbraun, *Org. Synth.* IV, 310 (1973).
- H. C. Brown, C. P. Garg, and K.-T. Liu, *J. Org. Chem.* 36, 387 (1971).
- J. Meinwald, J. Crandall, and W. E. Hyman, *Org. Synth.* 45, 77 (1965).
- J. C. Collins and J. O. Rodin, *J. Org. Chem.* 52, 5 (1972).
- J. I. DeGraw and J. O. Rodin, *J. Org. Chem.* 56, 2902 (1971).
- R. Ratcliffe and R. Rodehorst, *J. Org. Chem.* 35, 4000 (1970).
- M. A. Schwartz, J. D. Crowell, and J. H. Musser, *J. Am. Chem. Soc.* 94, 4361 (1972).
- G. Zernicki, C. Georgoulis, C. L. Stevens, and K. Vijayakumaran, *Tetrahedron Lett.* 26, 1699 (1985).
- E. J. Corey and J. W. Suggs, *Tetrahedron Lett.*, 2647 (1975).
- R. D. Little and G. W. Muller, *J. Am. Chem. Soc.* 103, 2744 (1981).

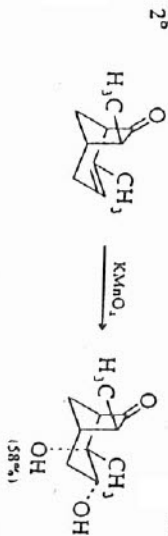
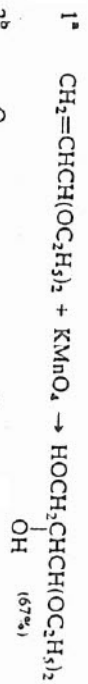
Scheme 12.2. Oxidations of Alcohols with Manganese Dioxide



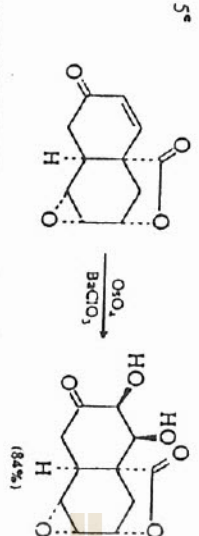
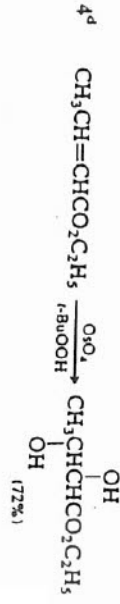
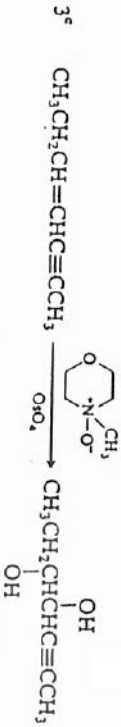
- a. E. F. Pratt and J. F. Van De Castle, *J. Org. Chem.* 26, 2973 (1961).  
 b. I. M. Goldman, *J. Org. Chem.* 34, 1979 (1969).  
 c. L. Crombie and J. Crossley, *J. Chem. Soc.* 4983 (1963).  
 d. E. P. Papadopoulos, A. Jarrar, and C. H. Issidorides, *J. Org. Chem.* 31, 615 (1966).  
 e. J. Attenburrow, A. F. B. Cameron, J. H. Chapman, R. M. Evans, B. A. Hems, A. B. A. Jansen, and T. Walker, *J. Chem. Soc.* 1094 (1952).



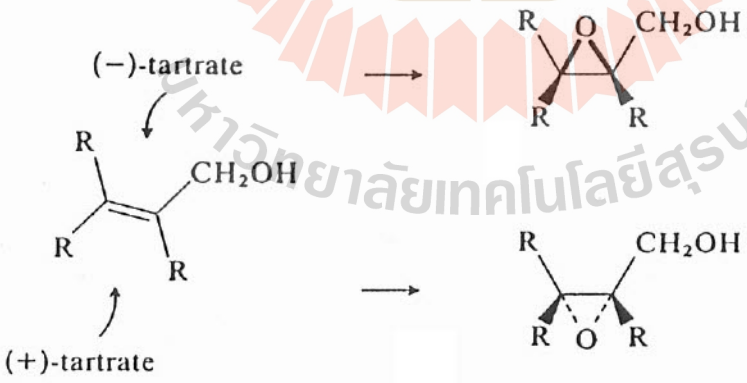
A. Potassium Permanganate



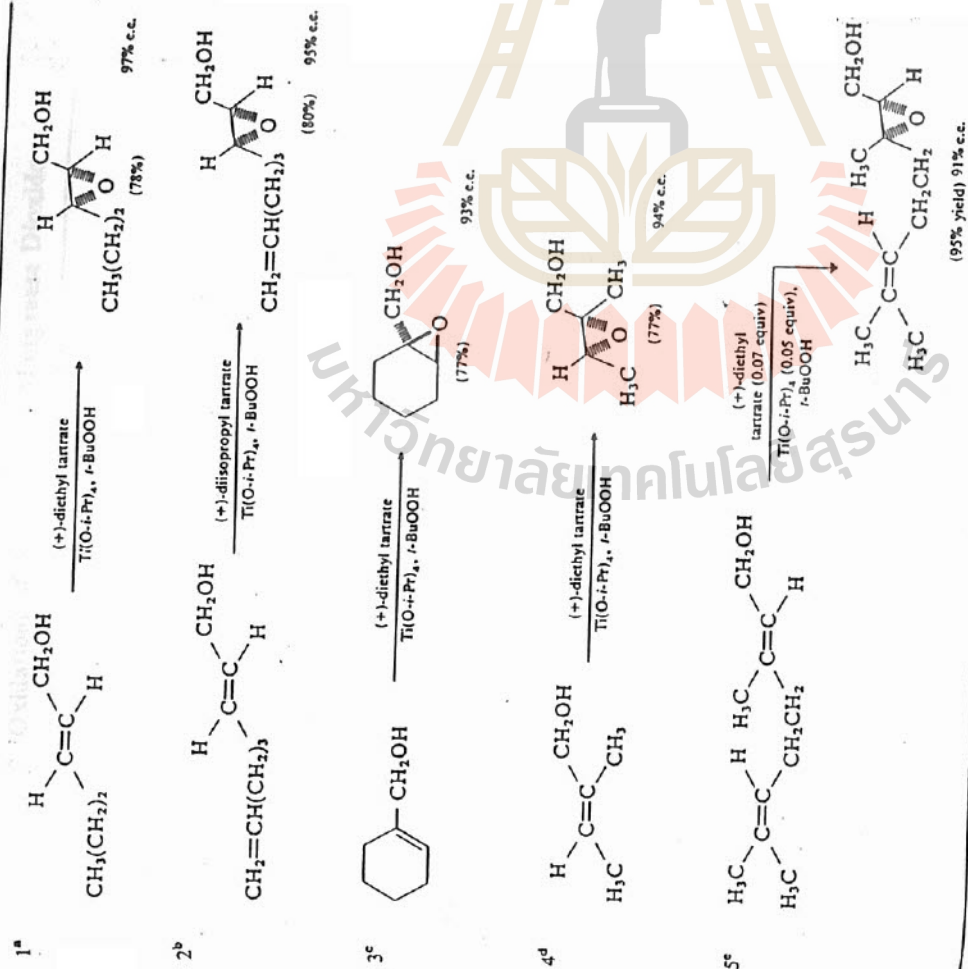
B. Osmium Tetroxide



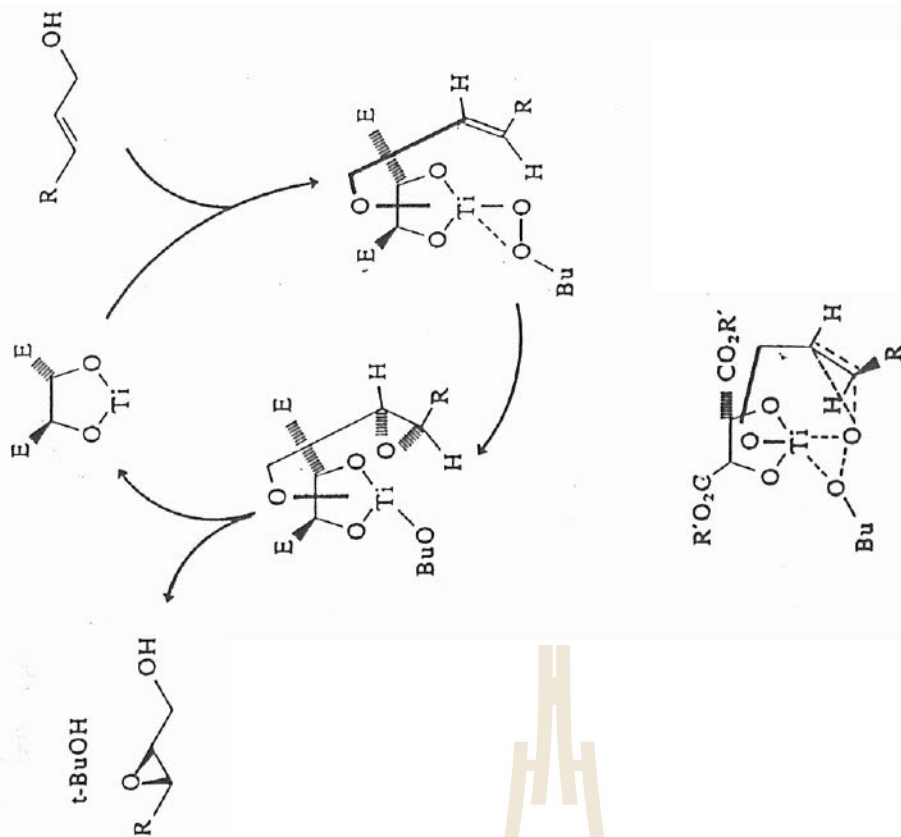
a. E. J. Witzeman, W. L. Evans, H. Haas, and E. F. Schroeder, *Org. Synth.*, **11**, 307 (1943).  
 b. S. D. Larsen and S. A. Monri, *J. Am. Chem. Soc.* **99**, 8015 (1977).  
 c. E. J. Corey, P. B. Hopkins, S. Kim, S. Yoo, K. P. Nambiar, and J. R. Falck, *J. Am. Chem. Soc.* **101**, 7131 (1979).  
 d. K. Akashi, R. E. Palermo, and K. B. Sharpless, *J. Org. Chem.*, **43**, 2063 (1978).  
 e. S. Danishefsky, P. F. Schuda, T. Kishihara, and S. J. Etheredge, *J. Am. Chem. Soc.* **99**, 6066 (1977).



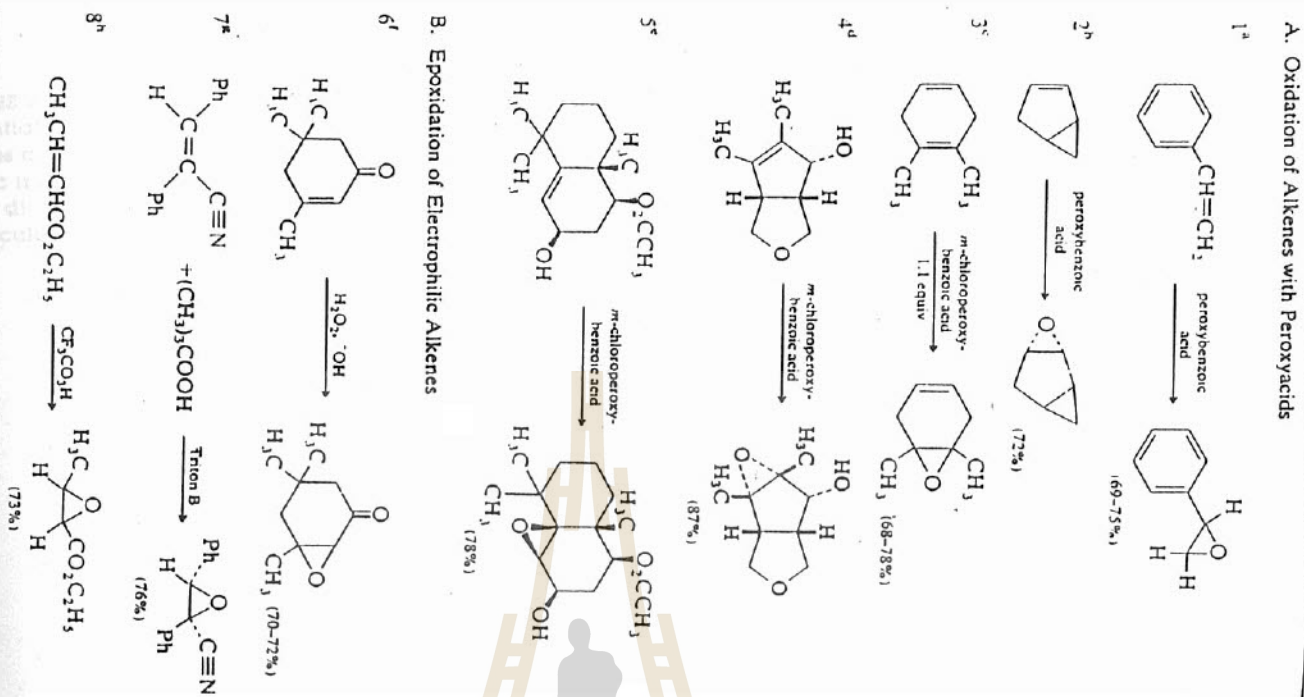
Scheme 12.5. Enantioselective Epoxidation of Allylic Alcohols



- a. J. G. Hill and K. B. Sharpless, *Org. Synth.* 63, 66 (1985).  
 b. B. E. Rossiter, T. Katsuki, and K. B. Sharpless, *J. Am. Chem. Soc.* 103, 464 (1981).  
 c. Y. Gao, R. M. Hanson, J. M. Klunder, S. Y. Ko, H. Masamune, and K. B. Sharpless, *J. Am. Chem. Soc.* 109, 5765 (1987).  
 d. D. A. Evans, S. L. Bender, and J. Morris, *J. Am. Chem. Soc.* 110, 2506 (1988).  
 e. R. M. Hanson and K. B. Sharpless, *J. Org. Chem.* 51, 1922 (1986).

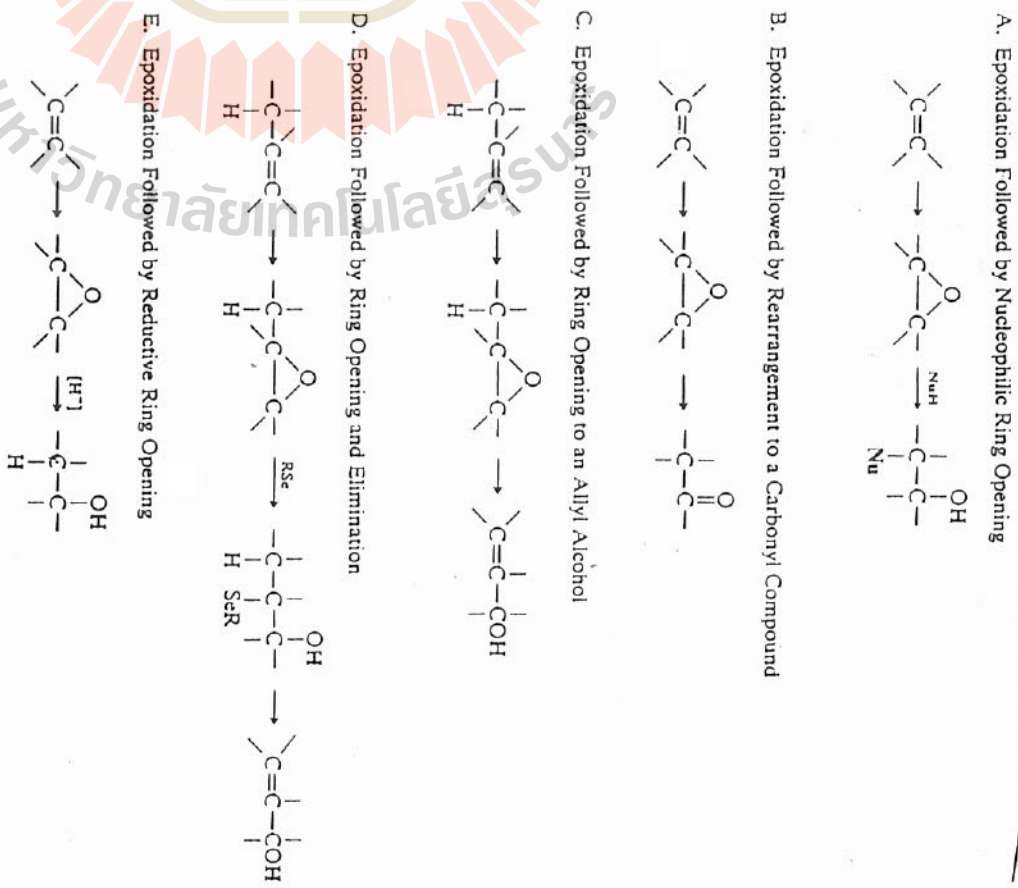


Scheme 12.6. Synthesis of Epoxides from Alkenes

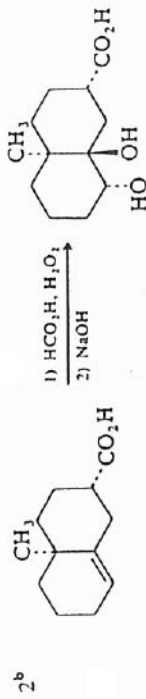
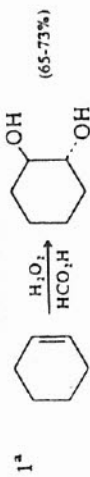


a. H. Hibbert and P. Burt, *Org. Synth.*, **1**, 481 (1932).  
 b. E. J. Corey and R. L. Dawson, *J. Am. Chem. Soc.*, **85**, 1782 (1963).  
 c. L. A. Paquette and J. H. Barrett, *Org. Synth.*, **49**, 62 (1969).  
 d. R. M. Scarborough, Jr., B. H. Toder, and A. B. Smith, III, *J. Am. Chem. Soc.*, **102**, 3904 (1980).  
 e. M. Miyashita and A. Yoshikoshi, *J. Am. Chem. Soc.*, **96**, 1917 (1974).  
 f. R. L. Wasson and H. O. House, *Org. Synth.*, **IV**, 552 (1963).  
 g. G. B. Payne and P. H. Williams, *J. Org. Chem.*, **26**, 651 (1961).

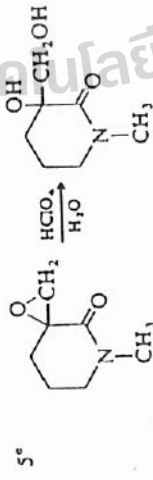
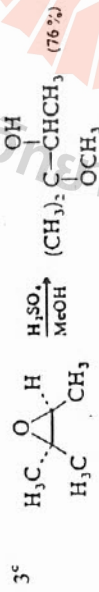
Scheme 12.7. Multistep Synthetic Transformations via Epoxides



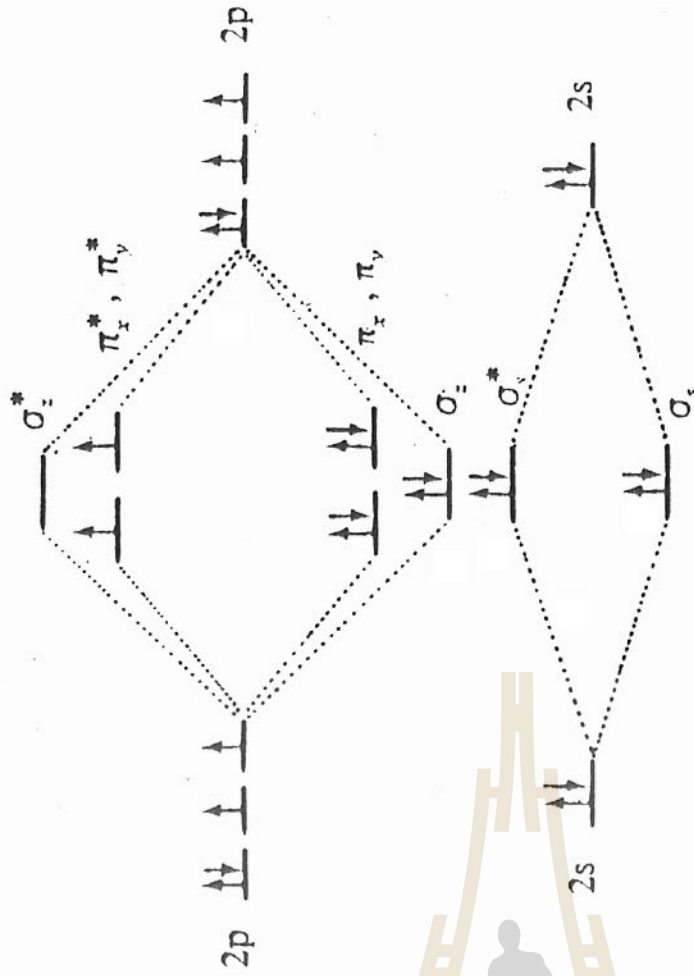
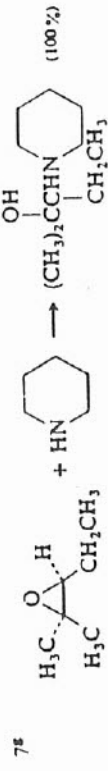
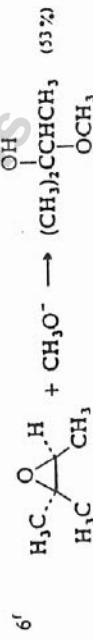
A. Oxidation with Solvolysis of the Intermediate Epoxide



B. Acid-Catalyzed Solvolytic Ring Opening



C. Nucleophilic Ring-Opening Reactions

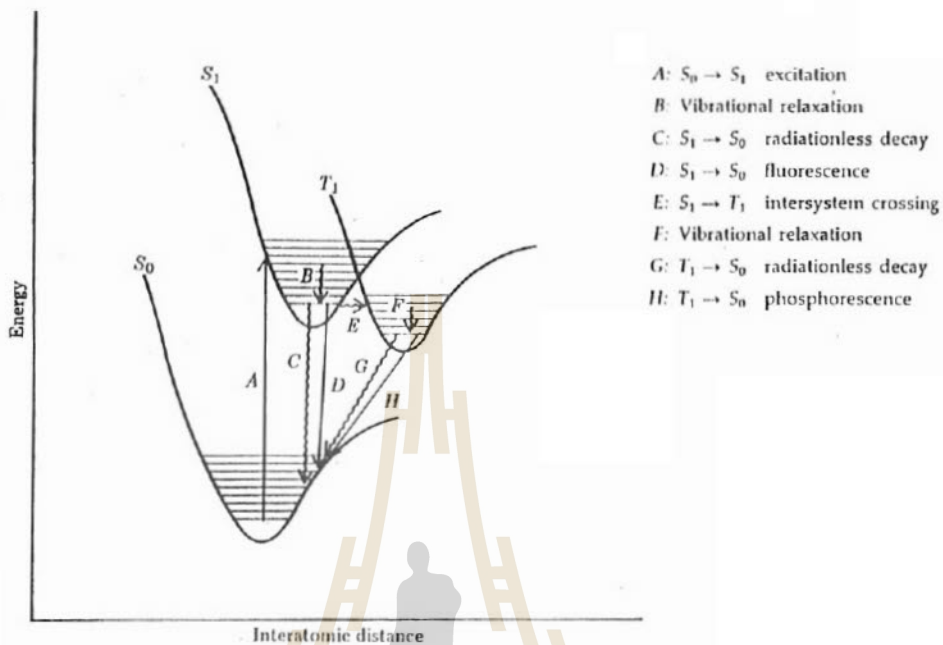


a. A. Roebuck and H. Adkins, *Org. Synth.*, **III**, 217 (1955).  
 b. T. R. Kelly, *J. Org. Chem.*, **37**, 3393 (1972).  
 c. S. Winstein and L. L. Ingraham, *J. Am. Chem. Soc.*, **74**, 1160 (1952).  
 d. G. Bertl, F. Bottari, F. L. Ferrarini, and B. Macchia, *J. Org. Chem.*, **30**, 4091 (1965).

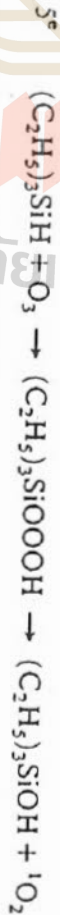
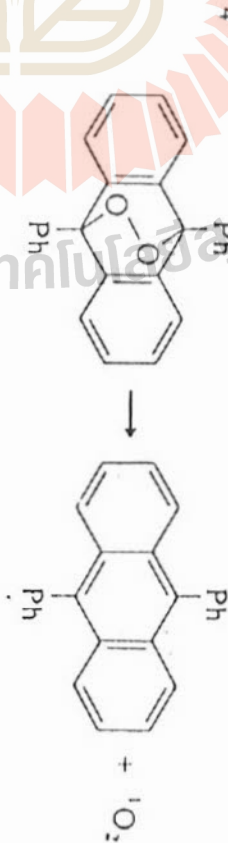
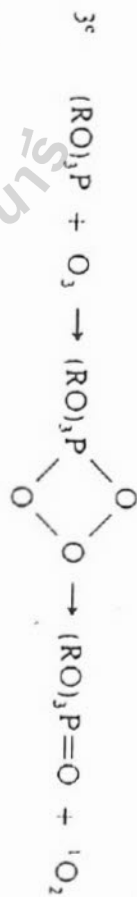
FIGURE 27-2  
Representation  
of the configura-  
tions in ground  
and lowest ex-  
cited states of  
the two electrons  
in a diatomic  
molecule.

	Ground state Singlet ( $S_0$ )	Excited Singlet ( $S_1$ )	Excited Triplet ( $T_1$ )
Antibonding		$\downarrow$	$\uparrow$
Bonding	$\uparrow\downarrow$	$\uparrow$	$\uparrow$

FIGURE 27-3  
Potential-energy  
curves and elec-  
tronic transitions  
for a diatomic  
molecule.

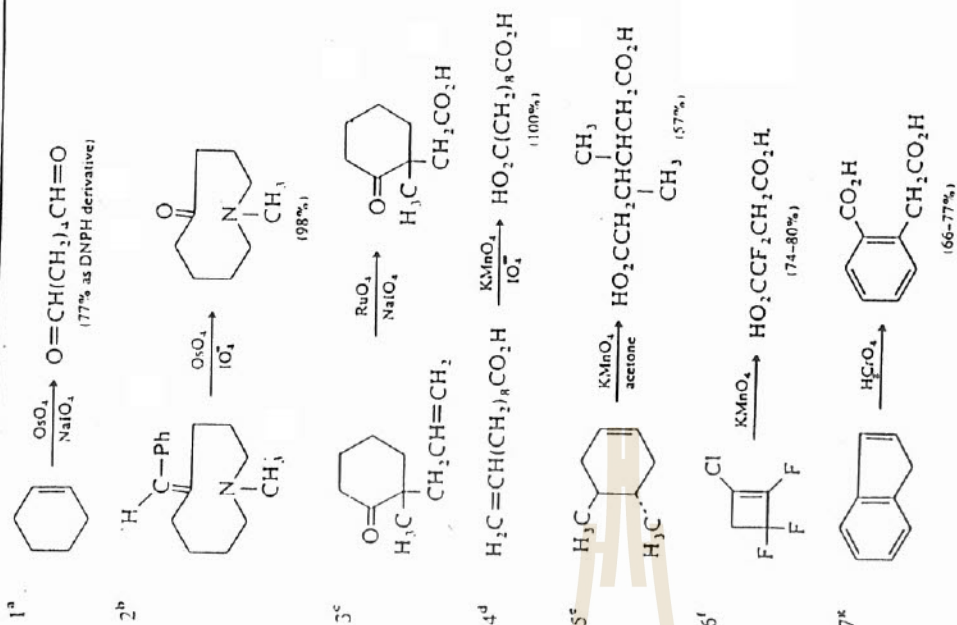


### Scheme 12.9. Generation of Singlet Oxygen



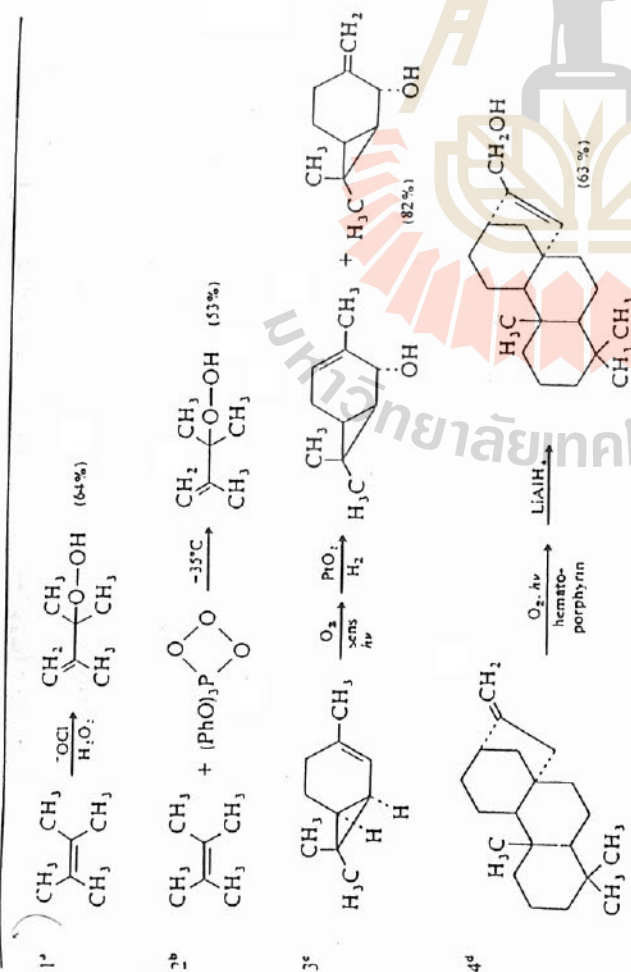
- C. S. Foote and S. Wexler, *J. Am. Chem. Soc.* 86, 3880 (1964).
- C. S. Foote and S. Wexler, *J. Am. Chem. Soc.* 86, 3879 (1964).
- R. W. Murray and M. L. Kaplan, *J. Am. Chem. Soc.* 90, 537 (1964).
- H. H. Wasserman, J. R. Scheffer, and J. L. Cooper, *J. Am. Chem. Soc.* 94, 4991 (1972).
- E. J. Corey, M. M. Mehotra, and A. U. Khan, *J. Am. Chem. Soc.* 108, 2472 (1986).

Scheme 12.11. Oxidative Cleavage of Carbon-Carbon Double Bonds with Transition Metal Oxidants



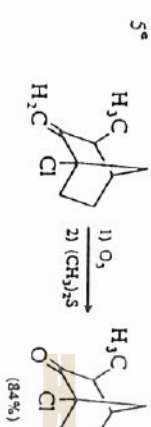
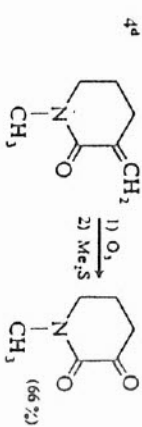
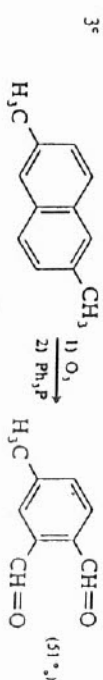
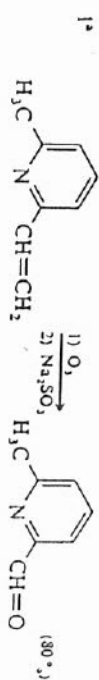
- R. U. Lemieux and E. von Rudloff, *Can. J. Chem.* 33, 1701 (1955).
- M. G. Reinecke, L. R. Kray, and R. F. Francis, *J. Org. Chem.* 37, 3489 (1972).
- A. A. Asselin, L. G. Humber, T. A. Dobson, J. Komlosy, and R. R. Marek, *J. Med. Chem.* 19, 787 (1976).
- R. Pappo, D. S. Allen, Jr., R. U. Lemieux, and W. S. Johnson, *J. Org. Chem.* 21, 478 (1956).
- W. C. M. C. Kokke and F. A. Varkvisser, *J. Org. Chem.* 39, 1535 (1974).
- N. S. Raasch and J. E. Castle, *Org. Synth.* 42, 44 (1962).
- O. Grummitt, R. Egan, and A. Buck, *Org. Synth.* III, 449 (1955).

Scheme 12.10. Oxidation of Alkenes with Singlet Oxygen

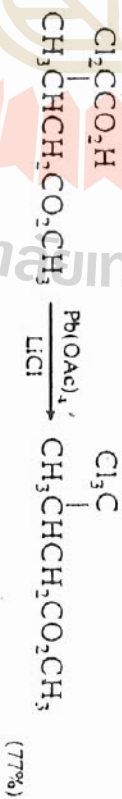
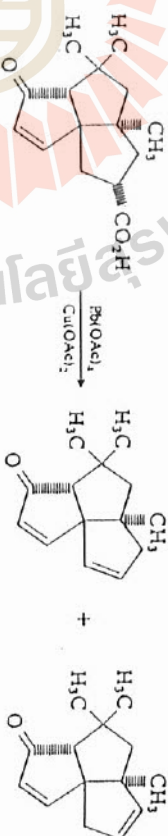
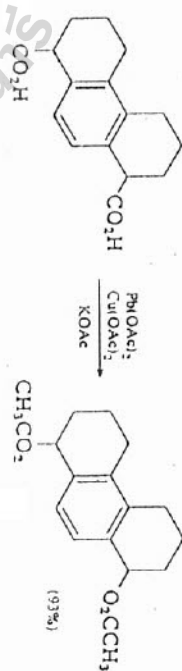
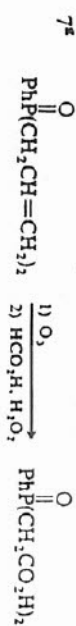
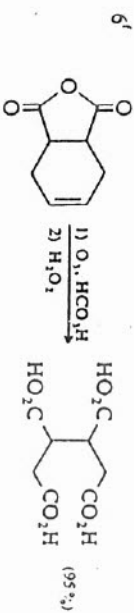


- C. S. Foote, S. Wexler, W. Ando, and R. Higgins, *J. Am. Chem. Soc.* 90, 975 (1968).
- R. W. Murray and M. L. Kaplan, *J. Am. Chem. Soc.* 91, 5358 (1968).
- K. Gollnick and G. Schade, *Tetrahedron Lett.* 2335 (1966).
- R. A. Bell, R. E. Ireland, and L. N. Mander, *J. Org. Chem.* 31, 2536 (1966).

## A. Reductive Workup



## B. Oxidative Workup

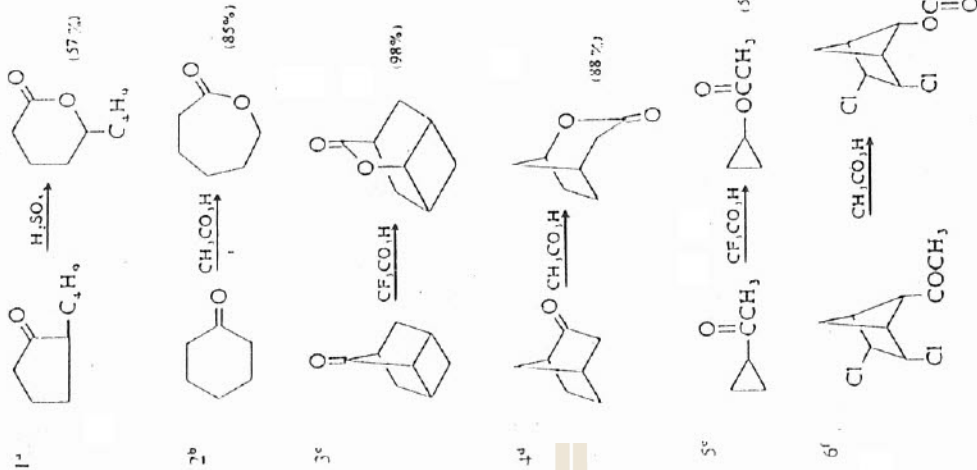


## Hunsdiecker reaction

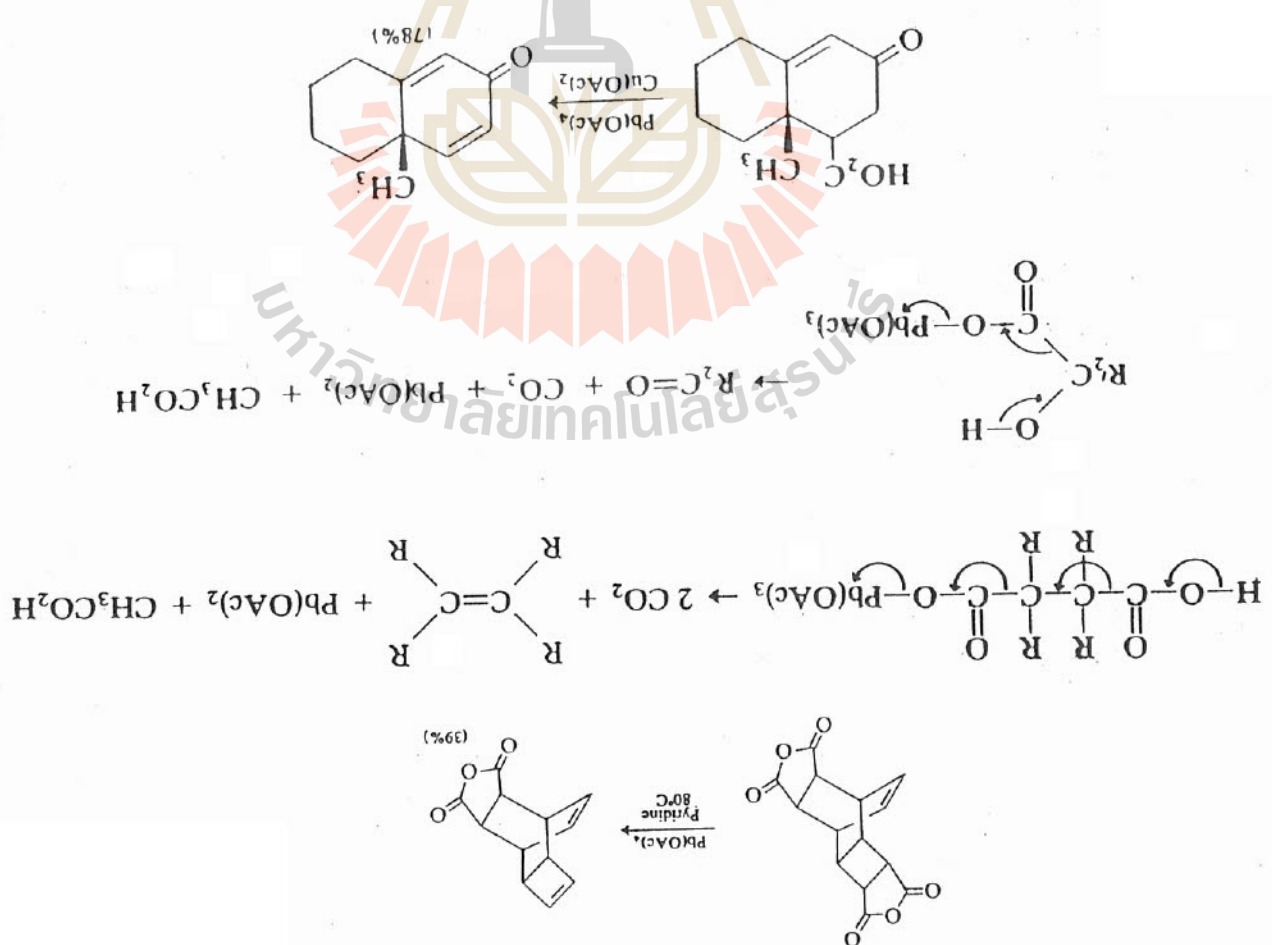


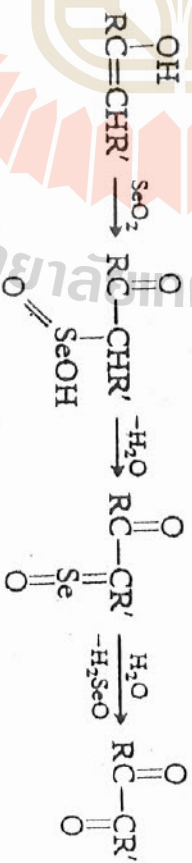
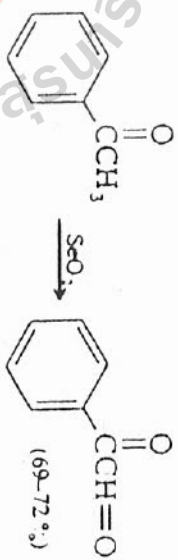
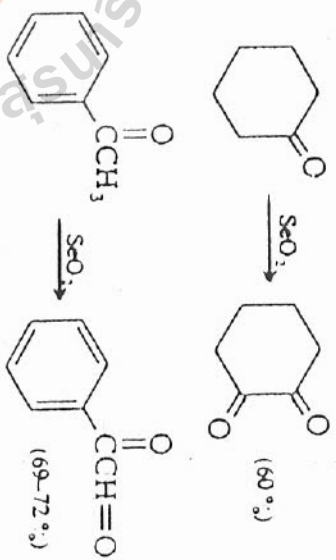
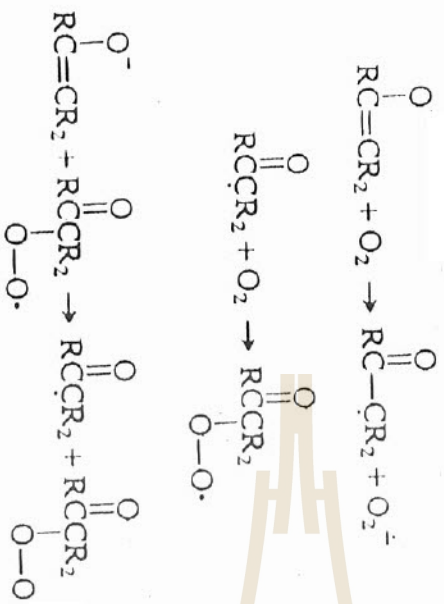
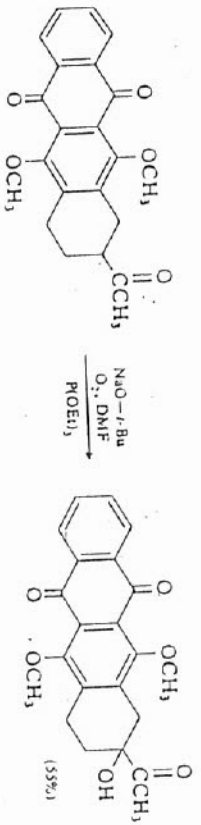
- a. R. H. Callighan and M. H. Witt, *J. Org. Chem.*, **26**, 4912 (1961).  
 b. W. E. Noland and J. H. Selsted, *J. Org. Chem.*, **31**, 345 (1966).  
 c. J. J. Pappas, W. P. Keaveney, M. Berger, and R. V. Rush, *J. Org. Chem.*, **33**, 787 (1968).  
 d. M. I. Rueppel and H. Rapoport, *J. Am. Chem. Soc.*, **94**, 3877 (1972).  
 e. J. V. Pankstelis and B. W. Machata, *J. Org. Chem.*, **38**, 646 (1973).  
 f. J. E. Franz, W. S. Knowles, and C. Osuch, *J. Org. Chem.*, **30**, 4328 (1965).  
 g. J. L. Eichelberger and J. K. Sullie, *J. Org. Chem.*, **36**, 1840 (1971).

Scheme 12.13. Baeyer-Villiger Oxidations

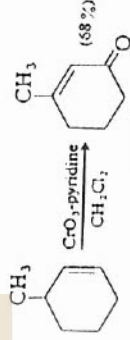
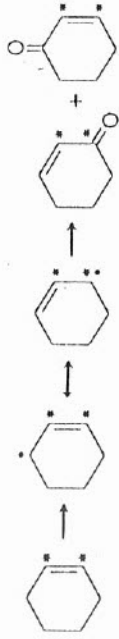
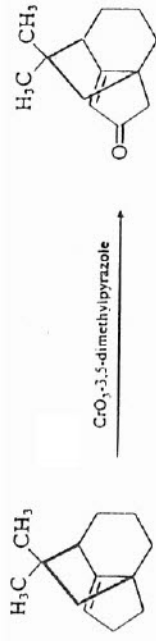
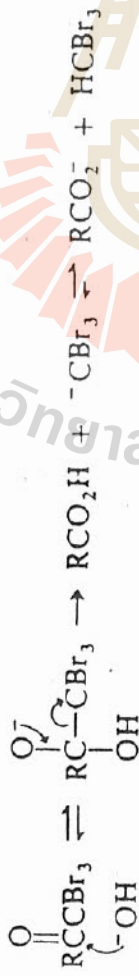


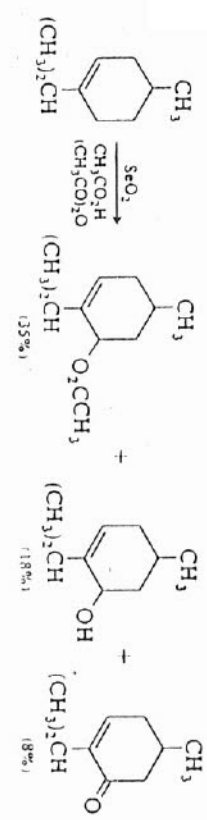
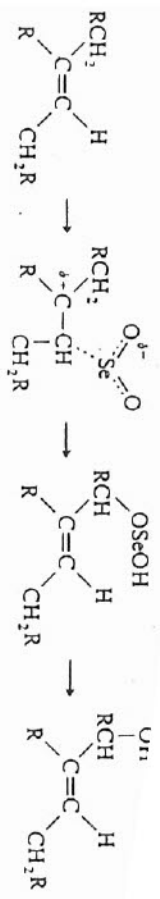
a. T. H. Parliament, M. W. Parliament, and I. S. Fagerson, *Chem. Ind.* 1845 (1966).  
 b. P. S. Starcher and B. Phillips, *J. Am. Chem. Soc.* 80, 4079 (1958).  
 c. S. A. Monti and S.-S. Yuan, *J. Org. Chem.* 36, 3350 (1971).  
 d. J. Meinwald and E. Frauenglass, *J. Am. Chem. Soc.* 82, 5235 (1960).  
 e. W. D. Emmoils and G. B. Lucas, *J. Am. Chem. Soc.* 77, 2287 (1955).  
 f. K. B. Wiberg and R. W. Ubersax, *J. Org. Chem.* 37, 3827 (1972).



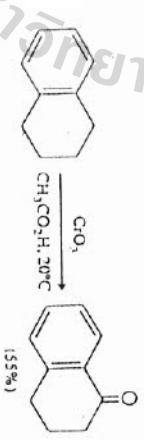
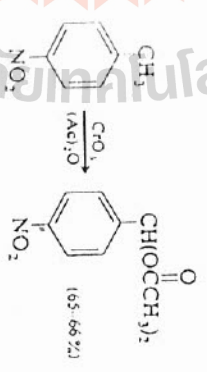
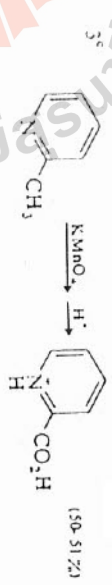
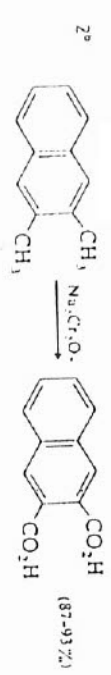
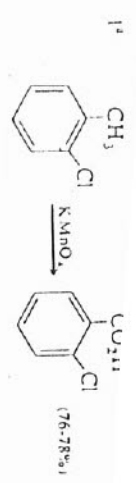


มหาวิทยาลัยเทคโนโลยีสุรนารี

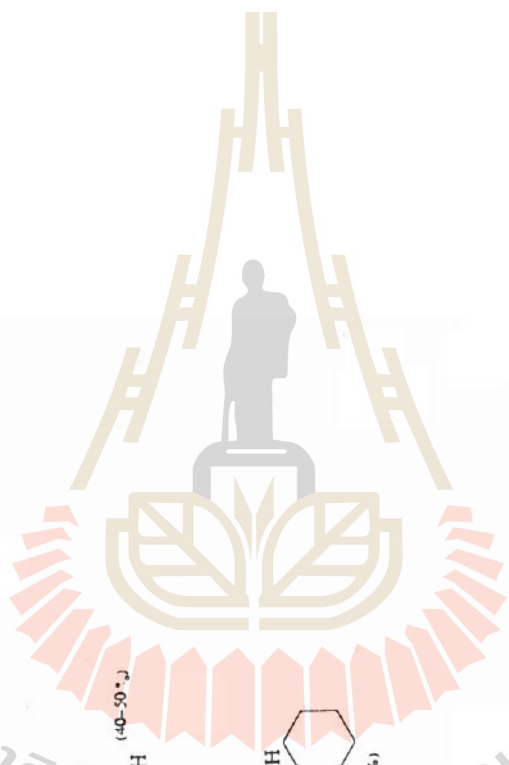
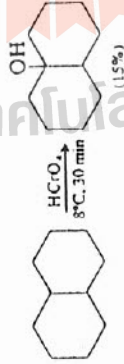
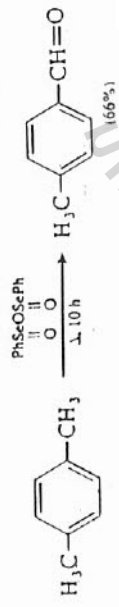
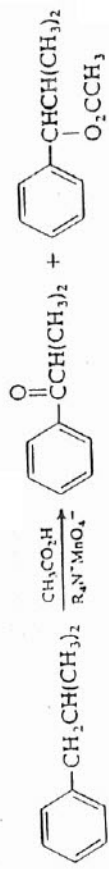




... Oxidation of Aromatic Compounds



1. H. T. Clarke and E. R. Taylor, *Org. Synth.*, II, 135 (1943).  
 2. L. Friedman, *Org. Synth.*, 43, 80 (1963); L. Friedman, D. L. Fisher, and H. Shechter, *J. Org. Chem.*, 30, 1453 (1965).  
 3. A. W. Singer and S. M. McElvan, *Org. Synth.*, III, 740 (1955).  
 4. T. Nishimura, *Org. Synth.*, IV, 713 (1963).  
 5. J. W. Burnham, W. P. Duncan, E. J. Eisenbraun, G. W. Keen, and M. C. Hamming, *J. Org. Chem.*, 39, 1416 (1974).



มหาวิทยาลัยเทคโนโลยีสุรนารี

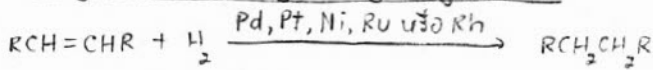
Reductions

Addition of hydrogen

- ① Catalytic hydrogenation 
 { heterogeneous  
 { homogeneous

1.1 Alkenes

1.1.1 Heterogeneous catalytic hydrogenation



mechanism: ดูใน แผ่นที่ 1

เริ่มต้นจาก A  $H_2$  ถูก adsorbed บนผิวของโลหะด้วย metal-H bond

และ alkenes ถูก adsorbed บนผิวของโลหะด้วย  $\pi$ -type C-metal bond

เมื่อ H atom add เข้าไปที่ C พันธะระหว่าง C-metal จะกลายเป็น  $\sigma$ -type bond ดังแสดงในรูป B

$\Rightarrow$  ให้ product เป็น alkane และถูก desorbed ออกจากผิวของโลหะ

ในกรณีที่มี allylic H จะเกิด intermediate ดังแสดงในรูป C โดย metal มี H atom ต่อจาก alkene

เกิดเป็น allyl radical ซึ่งถูก adsorbed บนผิวของโลหะด้วยพันธะ  $\pi$  ทำให้เกิด H exchange กับ

$H_2$  ที่ถูก adsorbed บนผิวของโลหะ  $\Rightarrow$  ให้ product เป็น isomeric alkene

- ดูตัวอย่าง heterogeneous catalytic hydrogenation ของ alkenes ใน Scheme 5.1 ใน แผ่นที่ 1

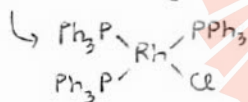
ส่วนในรูปแล้ว จะเกิด syn addition โดย alkene ถูก adsorbed บนผิวของโลหะที่ตรงกันที่เกาะโดย

ของขดเงินได้แก่ ตัวอย่างที่ 5-8 ซึ่ง alkene จะถูก adsorbed ทิศทางที่เกาะมาก สัมผัสกับตัวอย่างที่ 7 ในกรณี

OH group ซึ่งสามารถ interact กับ ผิวของโลหะได้ H ที่เกาะที่ตรงกันจะติดกับ OH เช่นนี้แล้วกับตัวอย่างใน แผ่นที่ 1

1.1.2 Homogeneous catalytic hydrogenation  $\Rightarrow$  ใช้ soluble transition metal complex เป็น

Wilkinson's catalyst ซึ่งเกิดจากการเกิด H exchange กับ alkene isomeric ได้



mechanism:



ดูตัวอย่าง homogeneous catalytic hydrogenation ของ alkenes ใน Scheme 5.2 ใน แผ่นที่ 1

$\Rightarrow$  ปฏิกิริยาที่สังเคราะห์ได้ มี high selectivity อนุกรม = และ  $\approx$  (ตัวอย่างที่ 3 และ 5)

② hydrogenation เกิด syn กับ OH, amide, ester และ ether

substituents  $\Rightarrow$  ดูตัวอย่างใน แผ่นที่ 1 และใน Scheme 5.2 ด้วย

เกิดได้ก็ต่อเมื่อ transition metal สามารถ coordinate กับ-substituent ดังกล่าว

- ฟังก์ชัน

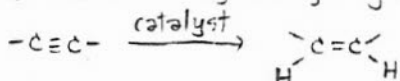
และ  $-H^-$  ได้ (หรือ  $OH^-$ )

③ การใช้ chiral ligand จะทำให้ได้ catalyst ที่ทำ H<sub>2</sub> hydrogenation มี

enantioselectivity สูง ได้

1.2 Alkynes

1.2.1 Heterogeneous catalytic hydrogenation



catalyst ได้แก่ Lindlar's catalyst (Pd-CaCO<sub>3</sub>-PbO)  
Ni-boride catalyst

1.2.2 Homogeneous catalytic hydrogenation ใช้ Rhodium catalyst

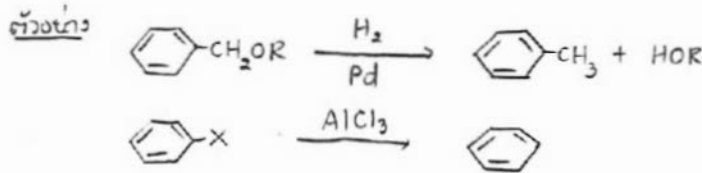
ดู Scheme 5.3 ในหนังสือ ซึ่งแสดง conditions สำหรับ catalytic hydrogenation ของ functional group ต่างๆ, ปฏิกิริยาที่เป็นประโยชน์ต่อกรณีศึกษาได้แก่



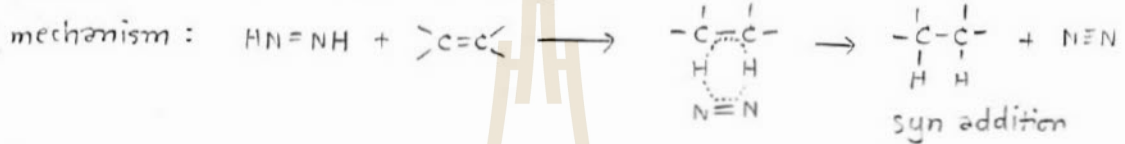
สำหรับ carbonyl compounds ใช้ hydride transfer reagents มากกว่า

สำหรับ functional groups ที่ตำแหน่ง benzylic และ allylic สามารถเกิด hydrogenolysis ได้

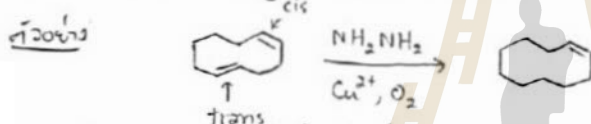
functional group แทนที่ด้วย H



② Diimide HN=NH unstable ต้อง generate in situ เท่านั้น



torsional และ angle strain ใน alkene จะมีผลต่อ rate ของปฏิกิริยา



ดูตัวอย่าง การเตรียม HN=NH และปฏิกิริยาใน Scheme 5.4 ในหนังสือ

โดย HN=NH จะไม่ reduce NO<sub>2</sub> และ CN

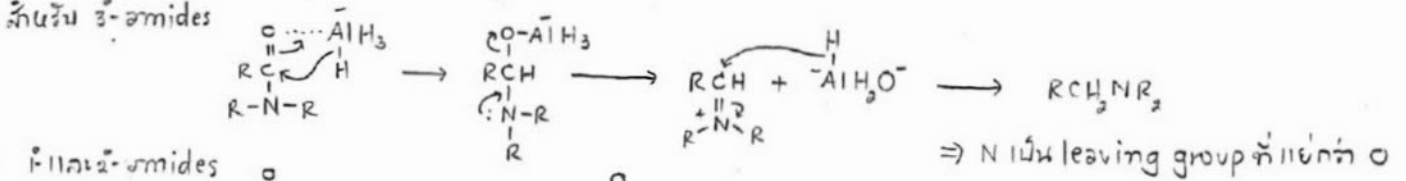
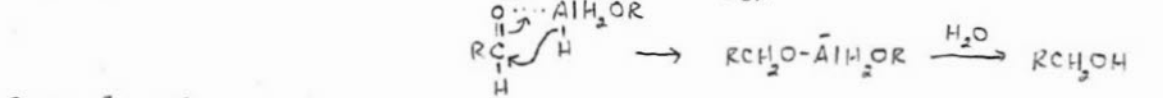
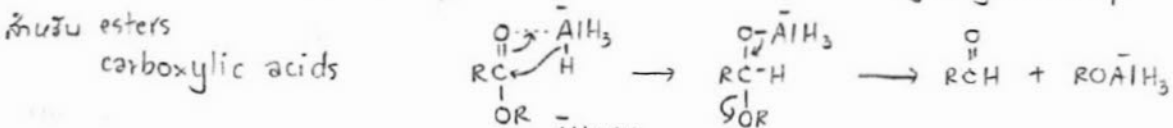
จะ reduce terminal double bond > internal double bond

Reduction ของ Carbonyl compounds โดย group III hydride-donor reagents

① LiAlH<sub>4</sub> (Lithium aluminum hydride) ⇒ strong reducing agent สามารถ reduce aldehydes, ketones, esters, carboxylic acids, nitrites, amides ได้ด้วย

ทำใน aprotic solvents เช่น ethers, THF ไม่สามารถทำกับ protic solvents เพราะมี H<sub>2</sub>

mechanism:  $\text{H} \leftarrow \text{Li} \leftarrow \text{activate carbonyl oxygen}$  สำหรับทุกกรณี

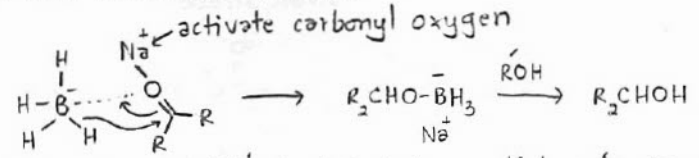


2)  $\text{NaBH}_4$  (Sodium borohydride)  $\Rightarrow$  mild reducing agent สามารถ reduce aldehydes, ketones

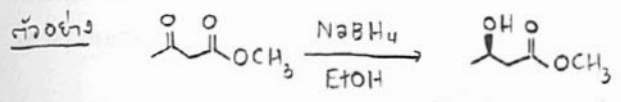
ได้ค่อนข้างรวดเร็ว แต่ reduce esters ได้ช้ามาก

ทำใน aqueous หรือ alcoholic solvents

mechanism:



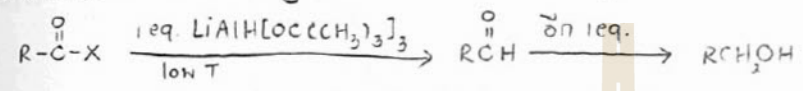
ซึ่ง  $\text{BH}_4^-$  สามารถ transfer  $\text{H}^-$  ให้กับคาร์บอนใน intermediate เป็น  $(\text{R}_2\text{CHO})_2\text{B}^-$ ,  $(\text{R}_2\text{CHO})_3\text{B}^-$ ,  $(\text{R}_2\text{CHO})_4\text{B}^-$



3)  $\text{LiAlH}[\text{OC}(\text{C}_2\text{H}_5)_3]_3$  (Lithium tri-*t*-butoxyaluminum hydride) สามารถ reduce aldehydes, ketones,

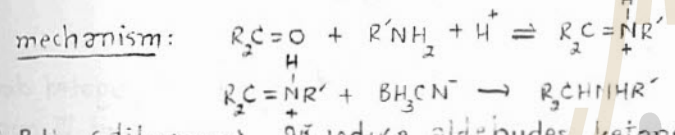
acyl halides ได้ค่อนข้างรวดเร็ว แต่ reduce esters, amides ได้ช้ามาก

ปฏิกิริยาพิเศษคือ ใช้ reduce acyl halides ให้เป็น aldehydes



4)  $\text{NaBH}_3\text{CN}$  (sodium cyanoborohydride) ใช้ reduce imines ให้เป็น amines

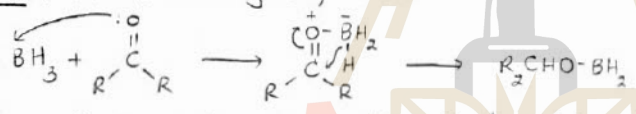
ขั้นตอนก่อนจะ protonated



5)  $\text{B}_2\text{H}_6$  (diborane) ใช้ reduce aldehydes, ketones, carboxylic acids ให้เป็น alcohols, amides ให้เป็น

amines ในขณะที่มี  $\text{NO}_2$  และ  $\text{CN}$  groups เกิดช้ามาก และ esters ไม่เกิด

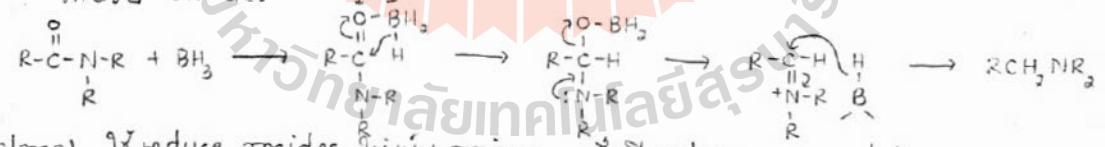
mechanism: สำหรับ aldehydes, ketones



สำหรับ carboxylic acids เกิดผ่าน triacyloxyborane intermediate



สำหรับ amides



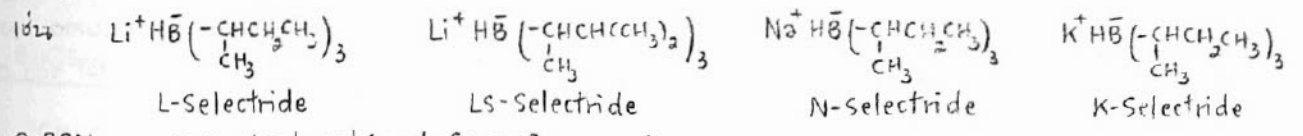
6)  $\text{AlH}_3$  (alane) ใช้ reduce amides ให้เป็น amines เมื่อมี ester groups อยู่ด้วย

mechanism เหมือน  $\text{BH}_3$

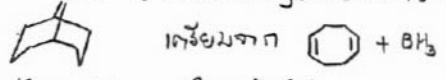
7)  $(i\text{-Bu})_2\text{AlH}$  (diisobutylaluminum hydride, DIBAL) ใช้ reduce esters ให้เป็น aldehydes, lactones

ให้เป็น lactols, nitriles เป็น imines  $\xrightarrow{\text{H}^+, \text{H}_2\text{O}}$  aldehydes  $\Rightarrow$  ใช้ 1 eq. และ T ต่ำ

8) alkylated borohydrides มี stereoselectivity > borohydride



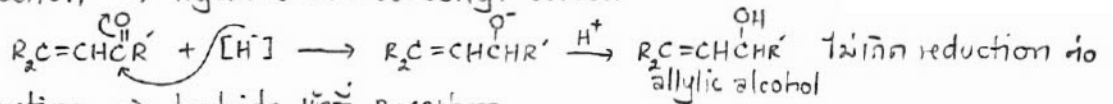
9) q-BBN  $\beta\text{-H}$  (9-borabicyclo[3.3.1]nonane)



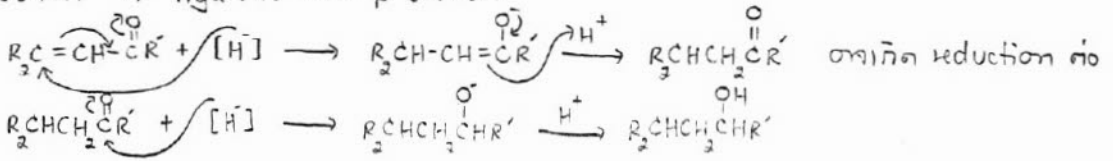
ดูตารางสรุปใน Table 5.2 ในเล่มนี้

Reduction ของ  $\alpha, \beta$ -unsaturated carbonyl compounds มี 2 แบบ

① 1,2-reduction  $\Rightarrow$  hydride ไม้ที่ carbonyl carbon



② 1,4-reduction  $\Rightarrow$  hydride ไม้ที่  $\beta$ -carbon



- ถ้าใช้  $LiAlH_4, NaBH_4 \Rightarrow$  เกิด reduction ทั้ง 2 แบบ

$NaBH_4$  ร่วมกับ  $CeCl_3 \Rightarrow$  เกิด 1,2-reduction

DIBAL, dialkylborane, 9-BBN  $\Rightarrow$  เกิด 1,2-reduction

catalytic hydrogenation  $\Rightarrow$  เกิด 1,4-reduction ได้ saturated ketone

hydride reducing agent + copper salt  $\Rightarrow$  เกิด 1,4-reduction ได้ saturated ketone

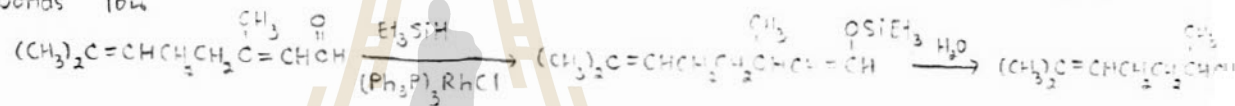


reactive species

นอกจากนี้ยัง reduce  $\alpha, \beta$ -unsaturated esters ให้เป็น saturated esters

$\alpha, \beta$ -unsaturated nitriles ให้เป็น saturated nitriles

Wilkinson's catalyst + triethylsilane  $\Rightarrow$  เกิด 1,4-reduction โดย reduce เฉพาะ conjugated double bonds ได้



Stereochemistry ของ hydride reduction

สำหรับ cyclic ketones  $\Rightarrow$  ใช้ conformationally biased cyclohexanone derivatives ในกรณีเกิด

เนื่องจาก hydride reductions เป็น exothermic reactions และ  $\Delta E^\ddagger$  ที่ Transition state จะคล้าย ketone product stability จึงไม่ใช่ตัวกำหนด stereochemistry ของผลิตภัณฑ์



พบว่า hydride transfer reagent ขนาดเล็ก จะเกิด axial alcohol มี torsional strain

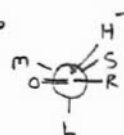
hydride transfer reagent ขนาดใหญ่ จะเกิด equatorial attack ในตำแหน่ง axial มี steric effect

ดูในแผนผังเกี่ยวกับ torsional strain และ steric approach control

สำหรับ hindered ketones factor ที่ควบคุม stereochemistry ก็คือ steric effect ดังตัวอย่างในแผนผัง

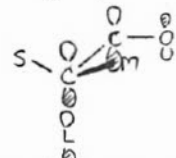
ดู stereoselectivity ของ hydride reducing agents ใน Table 5.3 ในแผนผัง ซึ่งแสดงตามทิศทางของ steric approach control เมื่อ hydride reagent และ ketone มีหมู่แทนที่มากขึ้น

สำหรับ acyclic aldehydes และ ketones  $\Rightarrow$  stereochemistry จะอยู่กับหมู่แทนที่บน carbonyl group



S, M, L = ขนาดของหมู่แทนที่

ในแง่ของ steric effect ทำให้ไม่เกิด steric interaction กับ groups L และ M ปล่อยให้ S ในแง่ของ stereoelectronic effect เมื่อ group L ตั้งฉากกับระนาบของ carbonyl group จะทำให้เกิด interaction ระหว่าง LUMO ของ carbonyl group และ antibonding  $\sigma^*$  orbital ของ C-L bond



หมู่แทนที่ที่อยู่นอกวงไป ก็มีผลต่อ stereochemistry ด้วยเช่นกัน ดังตัวอย่างในแผนผัง

Reduction of functional groups อันโดย hydride donors

Scheme 5.5 ในหนังสือ ① halides และ sulfonates เป็น leaving group ถูก hydride 11 นาที เกิดปฏิกิริยาได้ทั้งใน polar aprotic solvents เช่น DMSO, HMPA, DMF

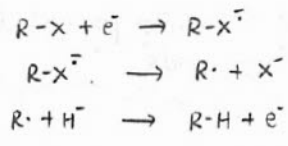
ในกรณีของ copper hydride  $-OSO_2C_7H_7 \rightarrow -OH$  ก่อน แล้ว OH group ถูกกำจัดออกไป

reactivity of leaving group :  $I > Br > Cl$

reactivity of substitution site :  $benzyl \approx allyl > 1^\circ-alkyl > 2^\circ-alkyl > 3^\circ-alkyl$

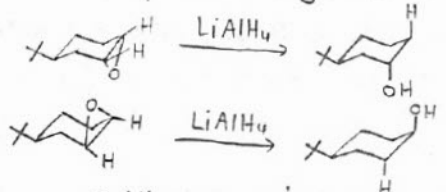
มีแนวโน้มสูงในการเกิด  $S_N2$  mechanism

สำหรับ halides ที่เกิด  $S_N2$  mechanism ง่ายคือ เช่น aryl halides, bridgehead halides จะเกิด radical intermediate :



② Epoxides hydride 1 นาที c ที่เกาะกวน้อย

สำหรับ cyclohexene epoxides hydride เกิดในตำแหน่ง axial

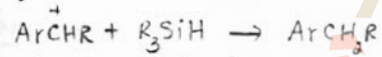


③ Alkynes ใช้  $LiAlH_4$  ใน E-alkenes

Group IV hydride donors

① Silane (หรือ Si-H) สามารถ reduce alcohols, aldehydes, ketones ให้เป็น hydrocarbons  $\Rightarrow$  เกิดผ่าน carbocations

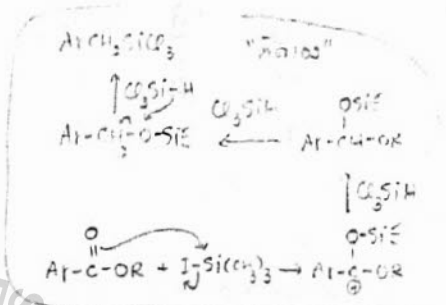
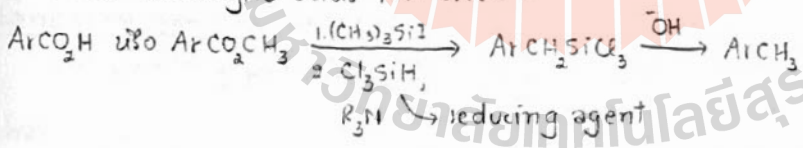
สำหรับ aromatic aldehydes และ ketones :



สำหรับ aliphatic aldehydes และ ketones : ต้องใช้ร่วมกับ  $BF_3$  (g)

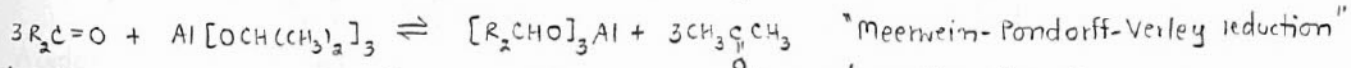


สำหรับ aromatic carboxylic acids และ esters :

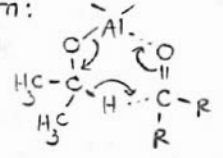


mechanism ยังไม่ชัดเจน

② Aluminium alkoxides (หรือ C-H) ทำหน้าที่ catalyze hydride transfer ระหว่าง alcohols และ ketones



mechanism :

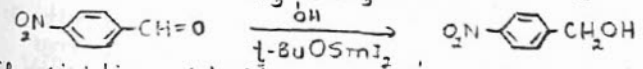


cyclic transition state

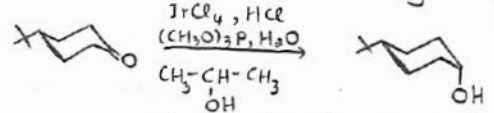
c-H bond formation เกิดพร้อมๆ กับ c-H bond cleavage ในที่ c-H bond และถูกควบคุมด้วย hydride donors ชนิดอื่น

③ t-BUOSmI<sub>2</sub> (หรือ C-H) ทำหน้าที่ catalyze hydride transfer ระหว่าง alcohols และ ketones, aldehydes

ใช้ได้ดีกับ aldehydes, ketones ที่มี hydride ได้ดีกว่า acetone ในเงื่อนไขที่เหมือนกัน



④ IrCl<sub>4</sub> (iridium chloride) ทำหน้าที่ catalyze hydride transfer ระหว่าง alcohols และ ketones

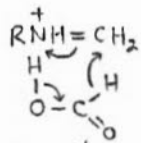


(hydride transfer reagent ที่ชอบการโจมตี จะเกิด attack ในตำแหน่ง equatorial)

⑤ Formic acid



mechanism:  $\text{RNH}=\text{CH}_2$  iminium ion



driving force = removal of  $\text{CO}_2$

Hydrogen atom donors ได้แก่ tri-n-butyltin hydride ใช้ reduce halides ให้เป็น hydrocarbon

reactivity:  $\text{RI} > \text{RBr} > \text{RCI} > \text{RF}$  ทำให้มี selectivity สูงไม่เกิด partial dehalogenation ของ polyhalogenated compounds

mechanism: Free radical



ดูตัวอย่างใน Scheme 5.6 ในหนังสือ ส่วนตัวอย่างที่ 5 ใช้ร่วมกับ  $\text{NaBH}_4$  (stoichiometric amount) ดีในเรื่องของ product isolation และ purification

② ใช้ reduce alcohols ให้เป็น hydrocarbons

mechanism: Free radical



ดูตัวอย่างใน Scheme 5.7 ในหนังสือ → เลือก condition ต่างๆ กัน

Dissolving-metal reductions ใช้ metal เป็น reducing agent ทำหน้าที่ให้  $e^-$  กับ organic substrate

① Addition of hydrogen

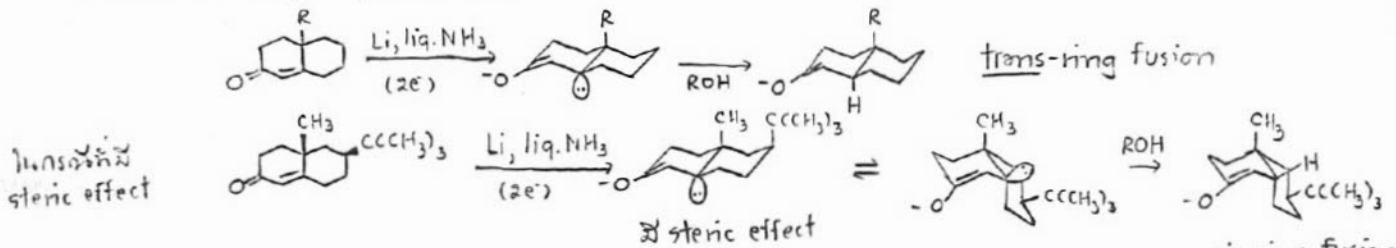
1.1 Reduction of ketones

ดูในหนังสือ เมื่อเกิด single electron transfer จาใน ketyl ซึ่งทำให้เกิด protonation, dimerization และ disproportionation ขึ้นอยู่กับโครงสร้างของ ketyl และ medium ที่ใช้

ดูในหนังสือ ส่วน  $\alpha, \beta$ -unsaturated ketones ถ้าใช้ 1 eq. proton donor (S-H) จะให้ enolates ถ้าใช้มากกว่านั้น จะให้ saturated ketones  $\text{R}_2\text{CH-CH=C-R} \xrightarrow{\text{S-H}} \text{R}_2\text{CH-CH}_2\text{-CH}_2\text{-R}$

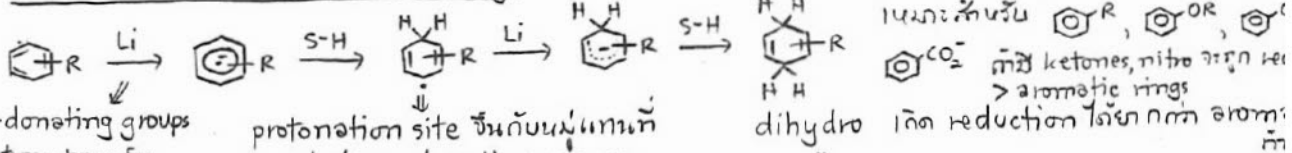
ดูตัวอย่างกรณี enolates ไปใช้ปฏิกิริยาในกรณีต่างๆ ในหนังสือ เมื่อใช้ 1 eq. proton donor

Stereochemistry: protonation  $\perp$  enolate



1.2 Partial reduction of aromatic rings

"Birch reduction" ใช้  $\text{Li/liq. NH}_3$  หรือ  $\text{Na/liq. NH}_3$



- electron-donating groups ทำให้ electron transfer เกิดที่

- electron-withdrawing groups ทำให้ electron transfer เกิดที่

protonation site ขึ้นกับหมู่แทนที่

- electron-donating groups ทำให้เกิด protonation ที่ตำแหน่ง ortho

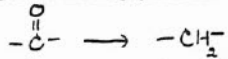
- electron-withdrawing groups ทำให้เกิด protonation ที่ตำแหน่ง para

protonation จะเกิดในตำแหน่งตรงข้ามกับ protonation site หนึ่ง



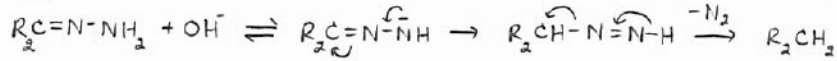
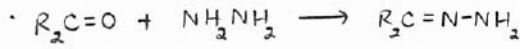
ดูตัวอย่าง reductive carbon-carbon bond formation ทั้ง 3 แบบใน Scheme 5.11 ในเล่มนี้  
 สำหรับตัวอย่างที่ 4, 5  $TiCl_3-Zn-Cu$  นิยมใช้สำหรับผลิตทำกึ่งตัวนำ

Reductive deoxygenation ของ carbonyl groups

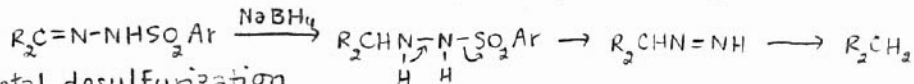


① Clemmensen reduction ใช้  $Zn, HCl$

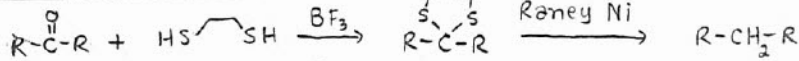
② Wolff-Kishner reaction  $\Rightarrow$  base catalyzed



③ Tosylhydrazone reduction ใช้  $LiAlH_4, NaBH_4$  หรือ  $NaBH_3CN$



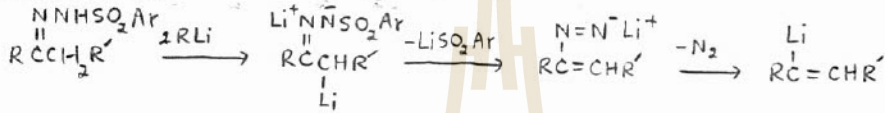
④ Thioacetal desulfurization



ดูตัวอย่าง ①-④ ใน Scheme 5.12 ในเล่มนี้

"hydrogenolysis ของ C-S bonds"

⑤ Shapiro reaction  $\Rightarrow$  Tosylhydrazone reduction โดยใช้  $RLi$  หรือ  $LiNR_2$  แล้วได้ alkenes



$H^+$  2 ตัวถูกดึงออกไป

ดูตัวอย่างใน Scheme 5.13 ในเล่มนี้

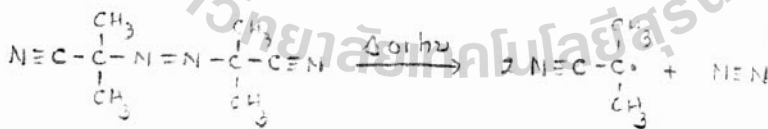
สำหรับตัวอย่างที่ 3-5

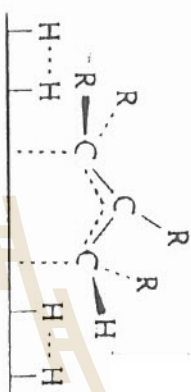
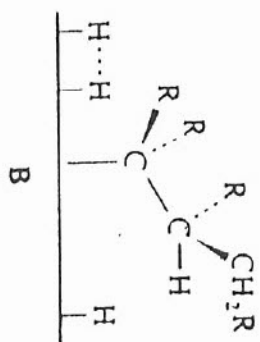
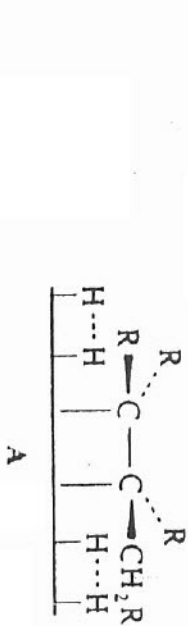
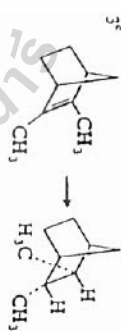
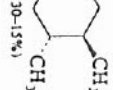
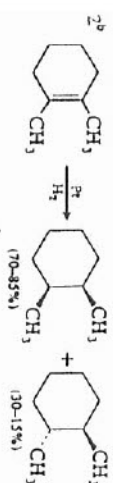
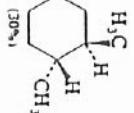
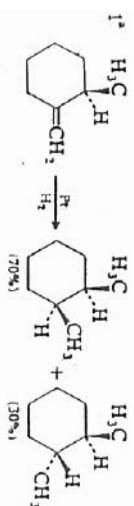
$\alpha, \beta$ -unsaturated ketones  $\rightarrow$  dienes

สำหรับตัวอย่างที่ 3

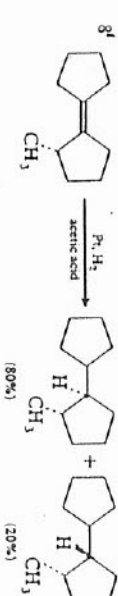
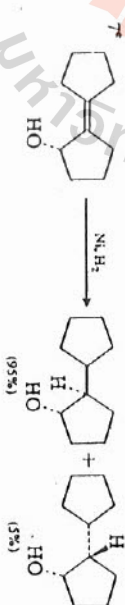
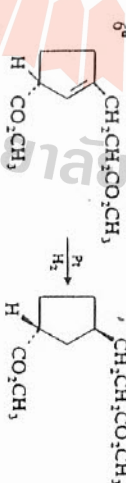
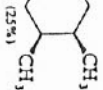
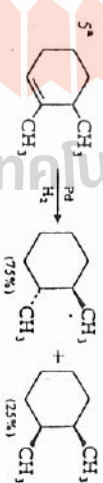


AIBN = azo-bis-isobutyronitrile



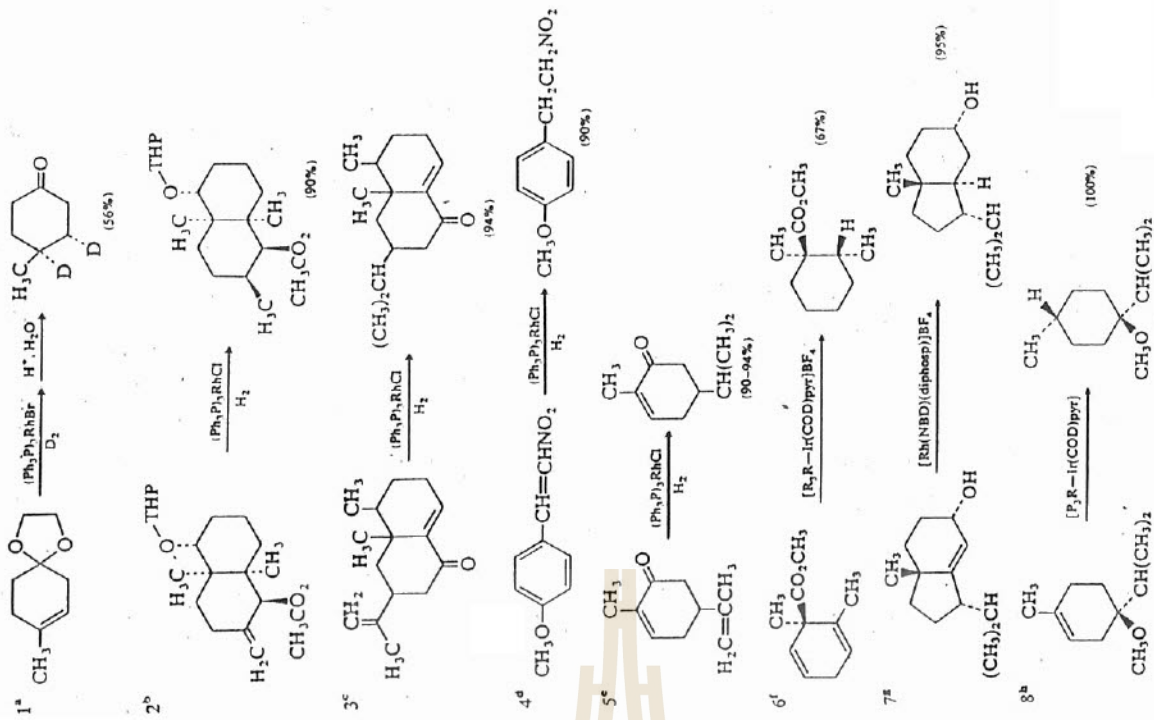
A. Examples of Preferential *syn* Addition from Less Hindered Side

## B. Exceptions

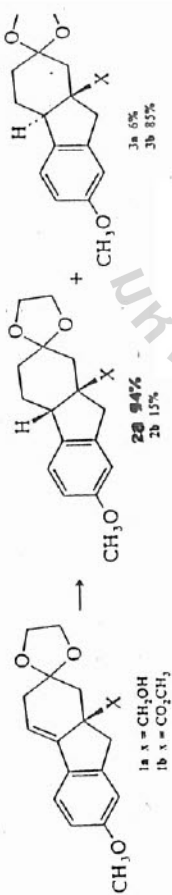


- a. S. Siegel and G. V. Smith, *J. Am. Chem. Soc.* **82**, 6082, 6087 (1960).
- b. C. A. Brown, *J. Am. Chem. Soc.* **91**, 5901 (1969).
- c. K. Alder and W. Rott, *Chem. Ber.* **87**, 161 (1954).
- d. J. P. Ferris and N. C. Miller, *J. Am. Chem. Soc.* **88**, 3522 (1966).
- e. S. Mitsu, Y. Senda and H. Saito, *Bull. Chem. Soc. Jpn.* **39**, 694 (1966).
- f. S. Siegel and J. R. Cozart, *J. Org. Chem.* **40**, 3594 (1975).

Scheme 5.2. Homogeneous Catalytic Hydrogenation

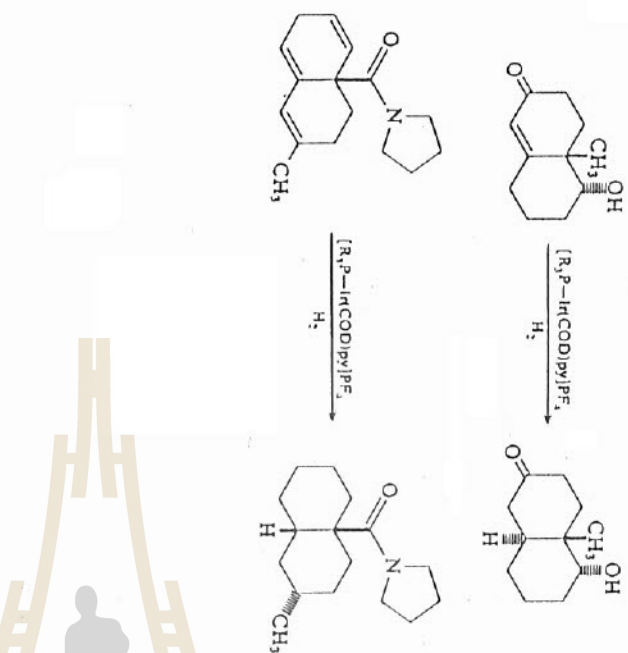


- a. W. C. Agosta and W. L. Schreiber, *J. Am. Chem. Soc.* **93**, 3947 (1971).
- b. E. Piers, W. de Waal, and R. W. Britton, *J. Am. Chem. Soc.* **93**, 5113 (1971).
- c. M. Brown and L. W. Fiskiewicz, *J. Org. Chem.* **32**, 2013 (1967).
- d. R. E. Hamon, J. L. Parsons, D. W. Cooke, S. K. Gupta, and J. Schoolenberg, *J. Org. Chem.* **34**, 3684 (1969).
- e. R. E. Ireland and P. Bey, *Org. Synth.* **53**, 63 (1973).
- f. A. G. Schultz and P. J. McCloskey, *J. Org. Chem.* **50**, 5905 (1985).
- g. D. A. Evans and M. M. Morrissey, *J. Am. Chem. Soc.* **106**, 3866 (1984).
- h. R. H. Crabtree and M. W. Davis, *J. Org. Chem.* **51**, 2655 (1986).

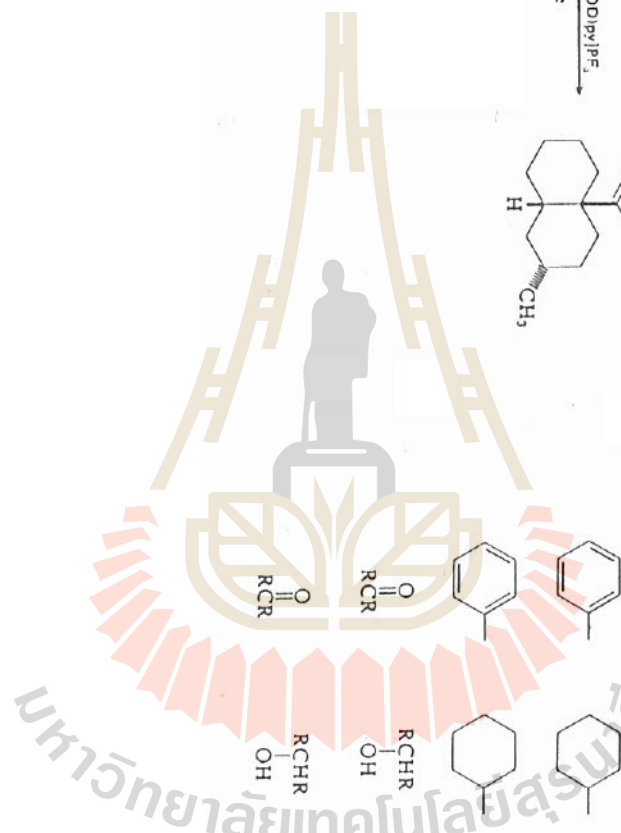


มหาวิทยาลัยเทคโนโลยีสุรนารี

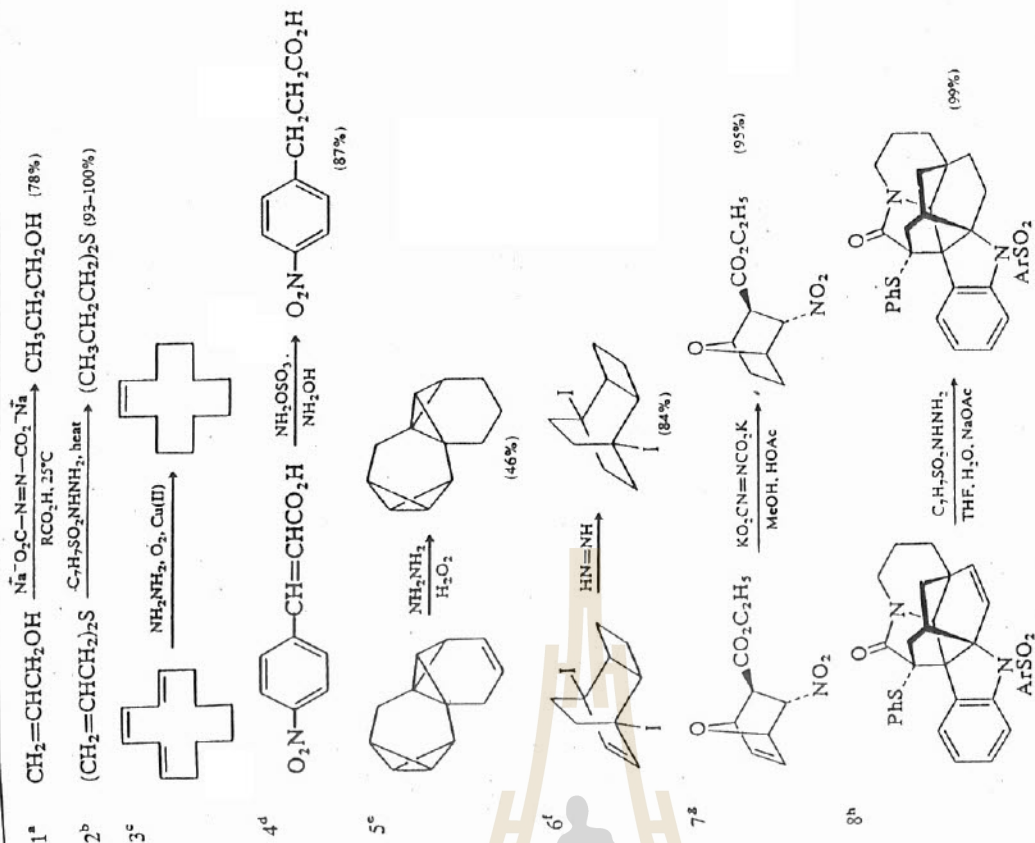
Scheme 5.3. Conditions for Catalytic Reduction of Various Functional Groups\*



Functional group	Reduction product	Common catalysts	Typical reaction conditions
<chem>C=C</chem>	<chem>C(O)C</chem>	Pd, Pt, Ni, Ru, Rh	Rapid at R.T. and 1 atm except for highly substituted or hindered cases
<chem>-C#C-</chem>	<chem>-C(O)C-</chem>	Pd	R.T. and low pressure, quinoline or lead added to deactivate catalyst
<chem>c1ccc(cc1)C(=O)R</chem>	<chem>c1ccc(cc1)C(O)R</chem>	Rh, Pt	Moderate pressure (5-10 atm), 50-100°C
<chem>c1ccc(cc1)C(=O)R</chem>	<chem>c1ccc(cc1)C(O)R</chem>	Ni, Pd	High pressure (100-200 atm), 100-200°C
<chem>R2C=O</chem>	<chem>R2C(O)H</chem>	Pt, Ru	Moderate rate at R.T. and 1-4 atm, acid-catalyzed
<chem>R2C=O</chem>	<chem>R2C(O)H</chem>	Cu-Cr, Ni	High pressure, 50-100°C



**Scheme 5.4. Reductions with Diimide**



- a. E. E. van Tamelen, R. S. Dewey, and R. J. Timmons, *J. Am. Chem. Soc.* **83**, 3725 (1961).  
 b. E. E. van Tamelen, R. S. Dewey, M. F. Lease, and W. H. Pirkle, *J. Am. Chem. Soc.* **83**, 4302 (1961).  
 c. M. Ohno and M. Okamoto, *Org. Synth.* **49**, 30 (1969).  
 d. W. Durckheimer, *Justus Liebig's Ann. Chem.* **721**, 240 (1969).  
 e. L. A. Paquette, A. R. Browne, E. Chamot, and J. F. Blount, *J. Am. Chem. Soc.* **102**, 643 (1980).  
 f. J. R. Wiseman and J. J. Vanderbit, *J. Am. Chem. Soc.* **100**, 7730 (1978).  
 g. P. A. Grieco, R. Lis, R. E. Zelle, and J. Finn, *J. Am. Chem. Soc.* **108**, 5908 (1986).  
 h. P. Magnus, T. Gallagher, P. Brown, and J. C. Huffman, *J. Am. Chem. Soc.* **106**, 2105 (1984).

Functional group

Common catalysts

Typical reaction conditions

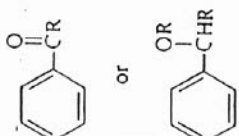
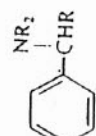
		R.T., 1-4 atm, acid-catalyzed
		50-100°C, 1-4 atm
		R.T., 1 atm, quinoline or other catalyst moderator used
		Very strenuous conditions required
		200°C, high pressure
		50-100°C, usually high pressure, NH3 added to increase yield of primary amine
		Very strenuous conditions required
		R.T., 1-4 atm
		R.T., 4-100 atm
		Order of reactivity: I > Br > Cl > F, bases promote reaction for R = alkyl
		Proceeds slowly at R.T., 1-4 atm, acid-catalyzed

Table 5.2. Relative Reactivity of Hydride-Donor Reducing Agents

Hydride donors	Reduction products <sup>a</sup>						
	Iminium ion	Acyl halide	Aldehyde	Ketone	Ester	Amide	Carboxylate salt
LAIH <sub>3</sub> <sup>b</sup>	Amine	Alcohol	Alcohol	Alcohol	Alcohol	Amine	Alcohol
LAIH <sub>2</sub> (OCH <sub>2</sub> CH <sub>2</sub> OCH <sub>2</sub> CH <sub>2</sub> ) <sub>2</sub> <sup>c</sup>	Alcohol	Alcohol	Alcohol	Alcohol	Alcohol	Amine	Alcohol
LAIH(OOC(CH <sub>3</sub> ) <sub>2</sub> ) <sub>2</sub> <sup>d</sup>	Aldehyde <sup>e</sup>	Alcohol	Alcohol	Alcohol	Alcohol <sup>f</sup>	Aldehyde <sup>f</sup>	NR
NaBH <sub>4</sub> <sup>b</sup>	Amine	Alcohol	Alcohol	Alcohol	Alcohol <sup>f</sup>	NR	NR
NaBH <sub>3</sub> CN <sup>a</sup>	Amine	Alcohol	Alcohol <sup>f</sup>	NR	NR	NR	NR
B <sub>2</sub> H <sub>6</sub> <sup>h</sup>	Alcohol	Alcohol	Alcohol	Alcohol	NR	Amine	Alcohol <sup>f</sup>
AlH <sub>3</sub> <sup>j</sup>	Alcohol	Alcohol	Alcohol	Alcohol	Alcohol	Amine	Alcohol
$\begin{array}{c} \text{CH}_3 \\   \\ \text{[CH}_3\text{]}_2\text{CHCH-]}_2\text{BH}^t \\   \\ \text{[CH}_3\text{]}_2\text{CHCH}_2\text{-]}_2\text{AlH}^i \end{array}$	Alcohol	Alcohol	Alcohol	NR	Aldehyde <sup>e</sup>	Aldehyde <sup>e</sup>	NR
	Alcohol	Alcohol	Alcohol	Aldehyde <sup>e</sup>	Aldehyde <sup>e</sup>	Aldehyde <sup>e</sup>	Alcohol

- a. Products shown are the usual products of synthetic operations. Where no entry is given, the combination has not been studied or is not of major synthetic utility.
- b. See the general references at the end of the chapter.
- c. J. Malek, *Org. React.* 34, 1 (1985); 36, 249 (1989).
- d. H. C. Brown and R. F. McFarlin, *J. Am. Chem. Soc.* 78, 752 (1956); 80, 5372 (1958); H. C. Brown and B. C. Subba Rao, *J. Am. Chem. Soc.* 80, 5377 (1958); H. C. Brown and A. Tsukamoto, *J. Am. Chem. Soc.* 86, 1089 (1964).
- e. Reaction must be controlled by use of a stoichiometric amount of reagent and low temperature.
- f. Reaction occurs slowly.
- g. C. F. Lane, *Synthesis*, 135 (1975).
- h. H. C. Brown, P. Heim, and N. M. Yoon, *J. Am. Chem. Soc.* 92, 1637 (1970); N. M. Yoon, C. S. Park, H. C. Brown, S. Krishnamurthy, and T. P. Stoeky, *J. Org. Chem.* 38, 2786 (1973); H. C. Brown and P. Heim, *J. Org. Chem.* 38, 912 (1973).
- i. Reaction occurs via the triacyl borate.
- j. H. C. Brown and N. M. Yoon, *J. Am. Chem. Soc.* 88, 1464 (1966).
- k. H. C. Brown, D. B. Bigley, S. K. Arora, and N. M. Yoon, *J. Am. Chem. Soc.* 92, 7161 (1970); H. C. Brown and V. Varma, *J. Org. Chem.* 39, 1631 (1974).
- l. E. Winterfeldt, *Synthesis*, 617 (1975); H. Reinbeckel, K. Haage, and D. Jahnke, *Organomet. Chem. Res.* 4, 47 (1969); N. M. Yoon and Y. S. Gyoung, *J. Org. Chem.* 50, 2443 (1985).

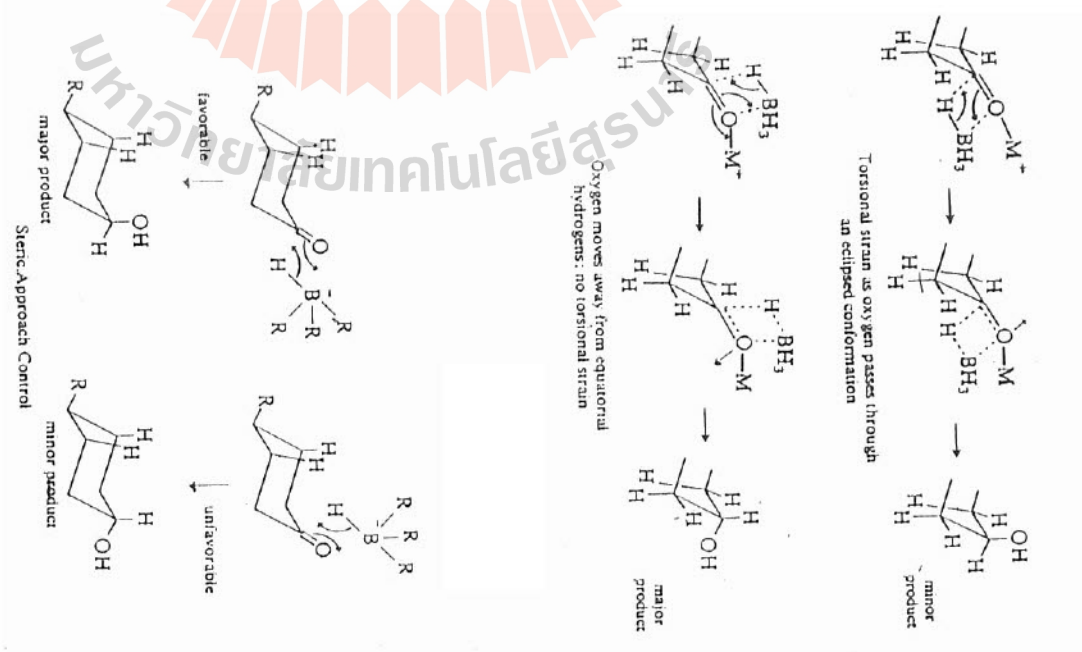
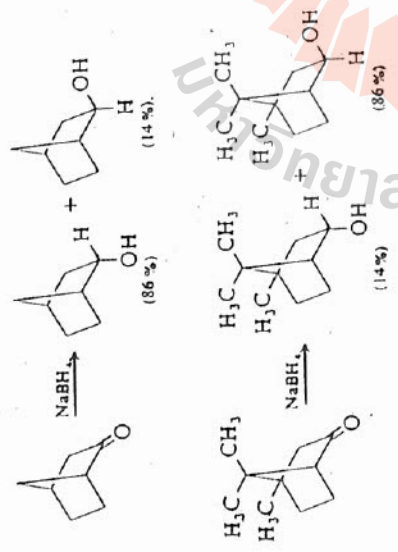


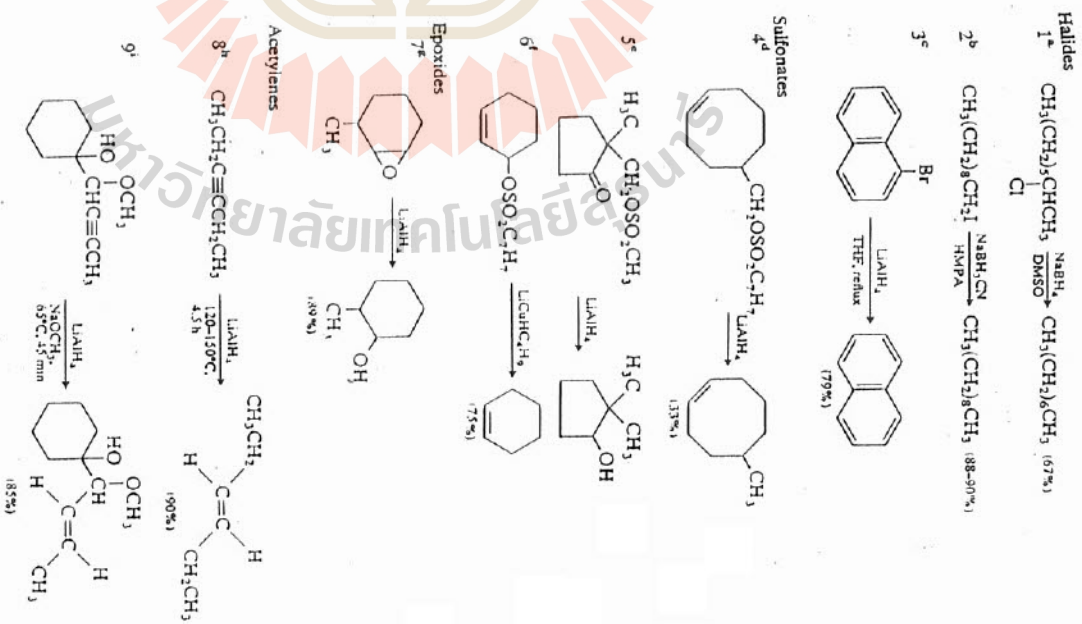
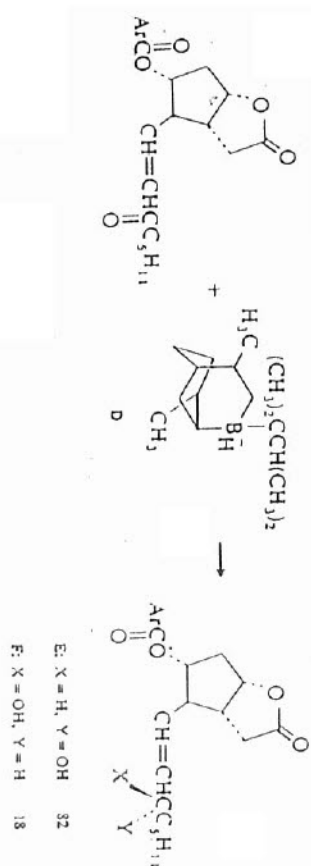
Table 5.3. Stereoselectivity of Hydride Reducing Agents<sup>a</sup>

Reducing agent	Percentage alcohol favored by steric approach control			
	(CH <sub>3</sub> ) <sub>2</sub> C % axial	(CH <sub>3</sub> ) <sub>2</sub> C % axial	H <sub>3</sub> C CH <sub>3</sub> % axial	H <sub>3</sub> C CH <sub>3</sub> % exo
NaBH <sub>4</sub>	20 <sup>b</sup>	25 <sup>c</sup>	58 <sup>c</sup>	86 <sup>d</sup>
LiAlH <sub>4</sub>	8	24	83	92
LiAl(OMe) <sub>3</sub> H	9	69	98	99
LiAl( <i>t</i> -BuO) <sub>3</sub> H	9 <sup>e</sup>	36 <sup>f</sup>	95	94 <sup>f</sup>
(CH <sub>3</sub> CH <sub>2</sub> CH <sub>2</sub> ) <sub>3</sub> BH Li <sup>+</sup>	93 <sup>g</sup>	98 <sup>g</sup>	99.8 <sup>g</sup>	99.6 <sup>g</sup>
[ CH <sub>3</sub> (CH <sub>3</sub> ) <sub>2</sub> CHCH ] <sub>3</sub> BH Li <sup>+</sup>	>99 <sup>h</sup>	>99 <sup>h</sup>	>99 <sup>h</sup>	NR <sup>h</sup>

a. Except where otherwise noted, data are those given by H. C. Brown and W. C. Dickason, *J. Am. Chem. Soc.* **92**, 709 (1970). Data for many other cyclic ketones and reducing agents are given by A. V. Kamernitzky and A. A. Akhrem, *Tetrahedron* **18**, 705 (1962) and W. T. Wipke and P. Gund, *J. Am. Chem. Soc.* **98**, 8107 (1976).  
 b. P. T. Lansbury and R. E. MacLeay, *J. Org. Chem.* **28**, 1940 (1963).  
 c. B. Rickborn and W. T. Wuesthoff, *J. Am. Chem. Soc.* **92**, 6894 (1970).  
 d. H. C. Brown and J. Muzzio, *J. Am. Chem. Soc.* **88**, 2811 (1966).  
 e. J. Klein, E. Dunkelblum, E. L. Eilel, and Y. Sendia, *Tetrahedron Lett.*, 6127 (1968).  
 f. E. C. Ashby, J. P. Sevenair, and F. R. Dobbs, *J. Org. Chem.* **36**, 197 (1971).  
 g. H. C. Brown and S. Krishnamurthy, *J. Am. Chem. Soc.* **94**, 7159 (1972).  
 h. S. Krishnamurthy and H. C. Brown, *J. Am. Chem. Soc.* **98**, 3383 (1976).

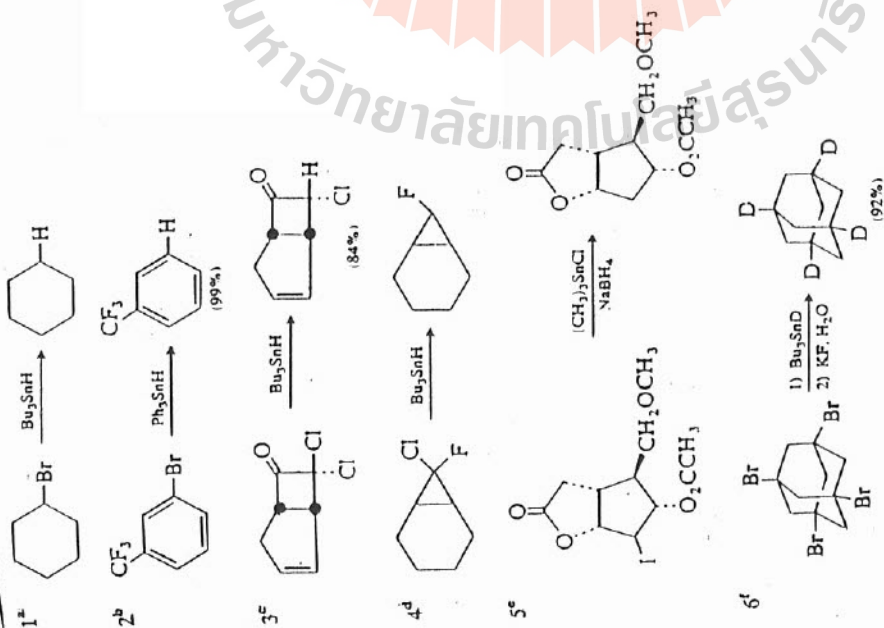


Scheme 5.5. Reduction of Other Functional Groups by Hydride Donors



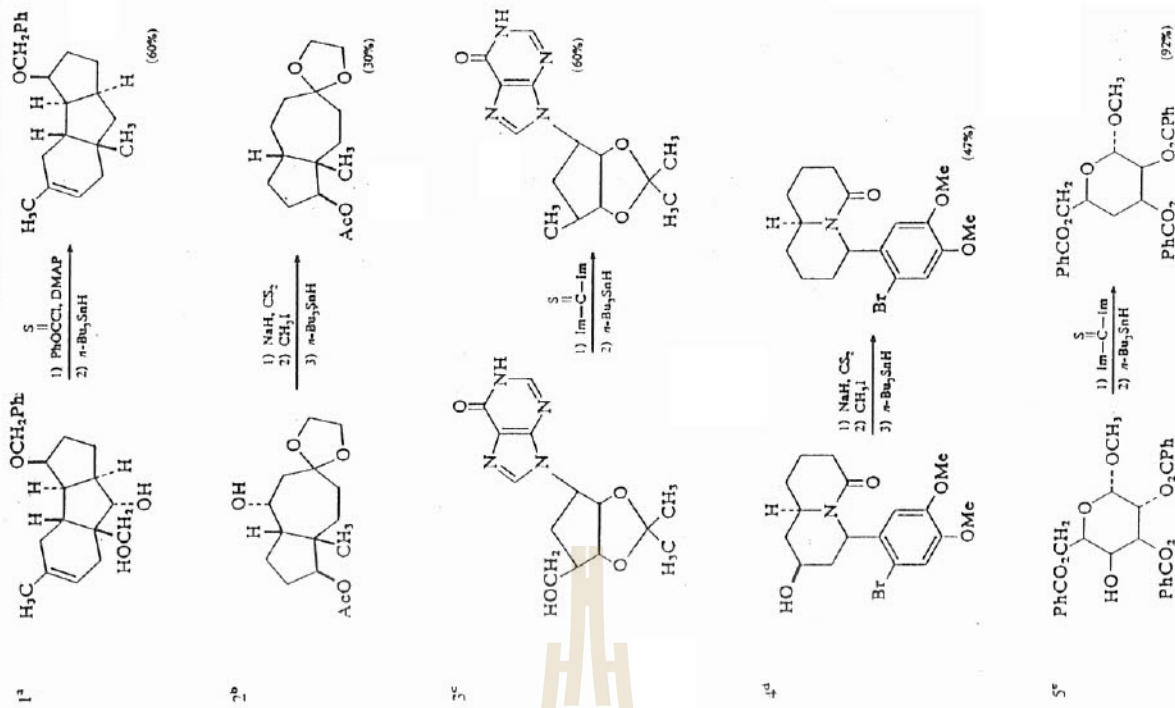
- a. R. O. Hutchins, D. Hoke, J. Keogh, and D. Kohanski, *Tetrahedron Lett.*, 3495 (1969); H. M. Bell, C. W. Vanderlicke, and A. Spehar, *J. Org. Chem.*, 34, 3923 (1969).
- b. R. O. Hutchins, C. A. Milewski, and B. E. Maryanoff, *Org. Synth.* 53, 107 (1973).
- c. H. C. Brown and S. Krishnamurthy, *J. Org. Chem.*, 34, 3918 (1969).
- d. A. C. Cope and G. L. Woe, *J. Am. Chem. Soc.* 85, 3601 (1963).
- e. A. Eschenmoser and A. Frey, *Helv. Chim. Acta* 35, 1660 (1952).
- f. S. Masamune, G. S. Bates, and P. E. Geophou, *J. Am. Chem. Soc.* 96, 3686 (1974).
- g. B. Riekoon and W. E. Lamke II, *J. Org. Chem.*, 32, 537 (1967).
- h. E. F. Masoon and L. H. Staugh, *Tetrahedron* 23, 4509 (1967).
- i. D. A. Evans and J. V. Nelson, *J. Am. Chem. Soc.* 102, 774 (1980).

Scheme 5.6. Dehalogenations with Stannanes

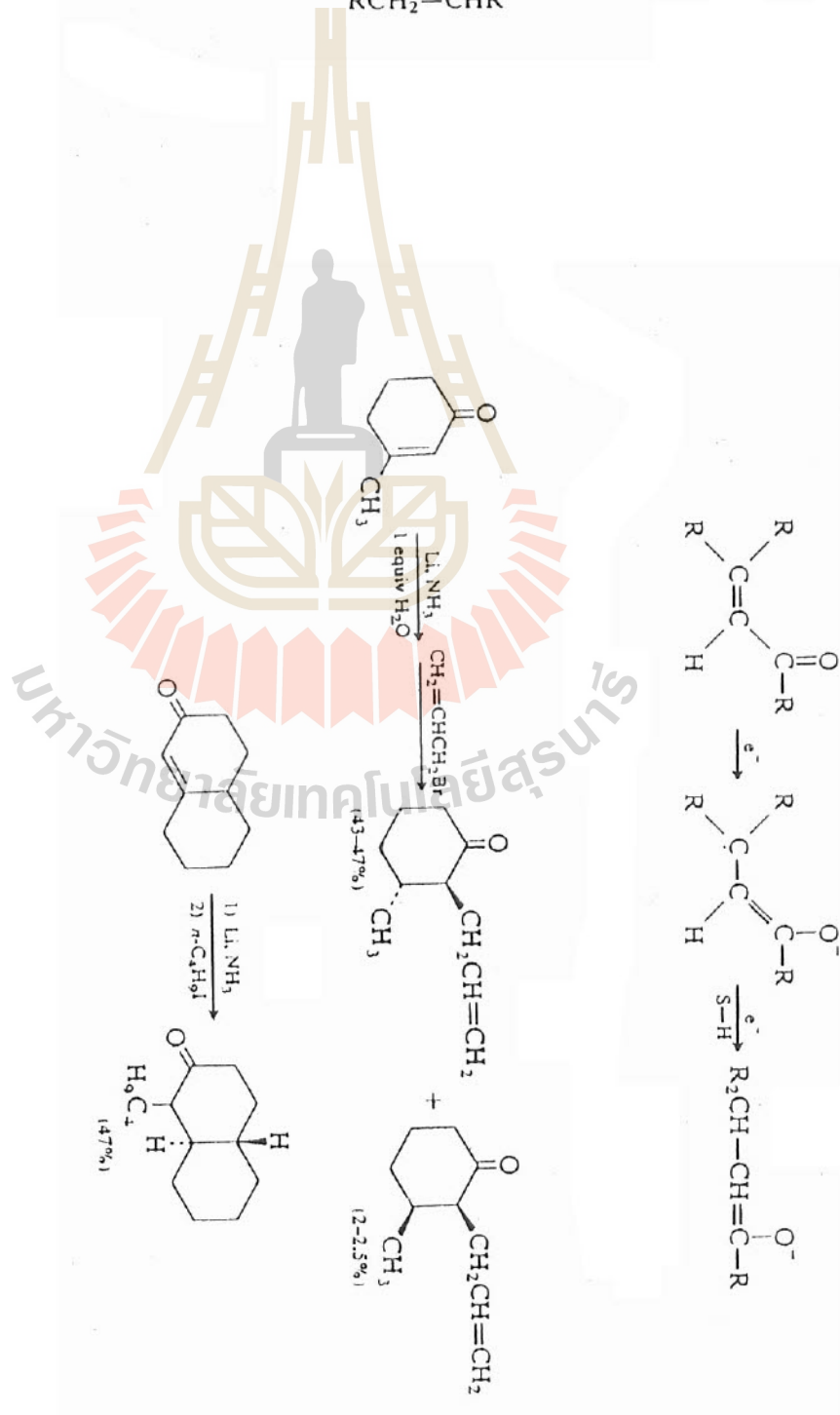
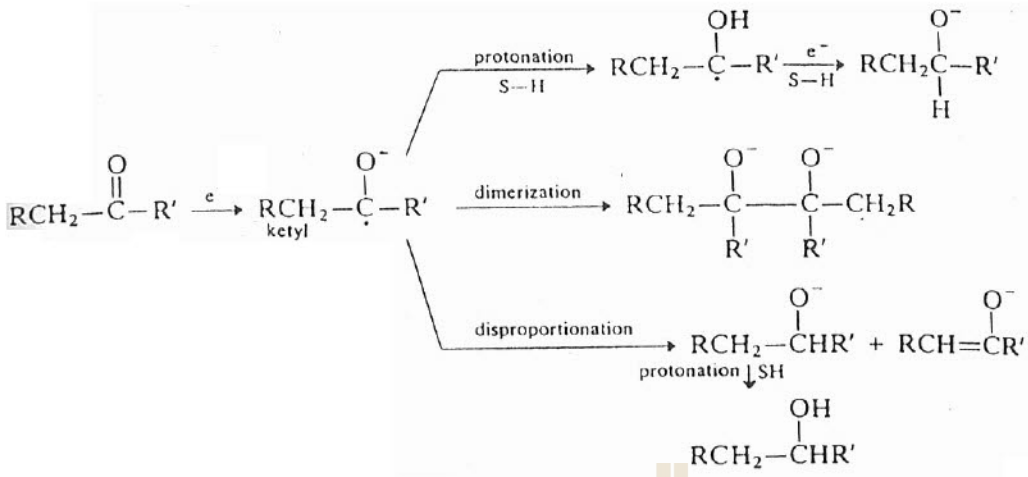


- a. H. G. Kuivila, L. W. Menapace, and C. R. Warner, *J. Am. Chem. Soc.* **84**, 3584 (1962).  
 b. D. H. Lorenz, P. Shapiro, A. Stern, and E. I. Becker, *J. Org. Chem.* **28**, 2332 (1963).  
 c. W. T. Brady and E. F. Hoff, Jr., *J. Org. Chem.* **35**, 3733 (1970).  
 d. T. Ando, F. Namigata, H. Yamataka, and W. Funasaka, *J. Am. Chem. Soc.* **89**, 5719 (1967).  
 e. E. J. Corey and J. W. Suggs, *J. Org. Chem.* **40**, 2554 (1975).  
 f. J. E. Leibner and J. Jacobus, *J. Org. Chem.* **44**, 449 (1979).

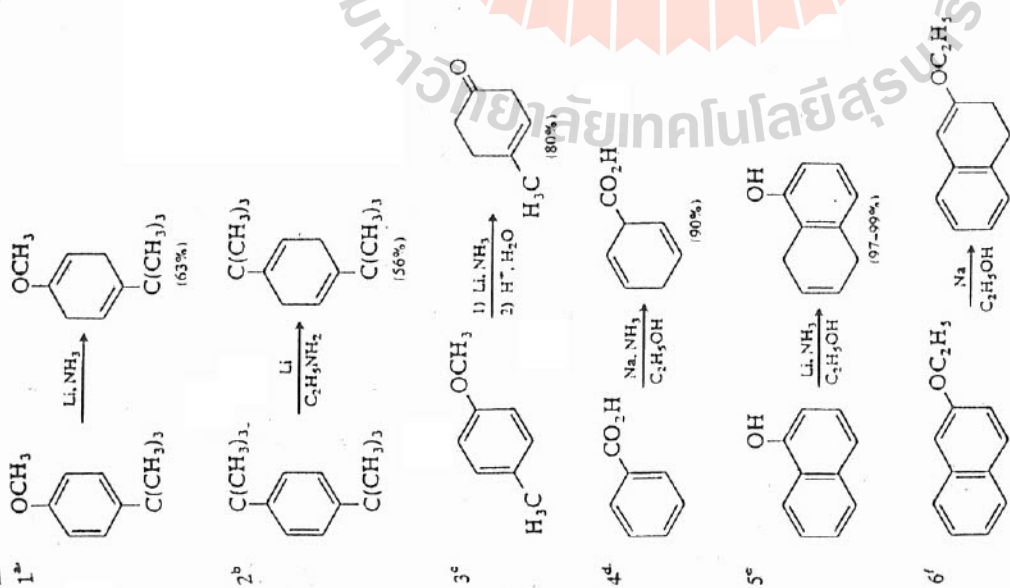
Scheme 5.7. Deoxygenation of Alcohols, via Thiosters and Related Derivatives



- a. H. J. Liu and M. G. Kulkarni, *Tetrahedron Lett.* **26**, 4847 (1985).  
 b. C. M. Tice and C. H. Heathcock, *J. Org. Chem.* **46**, 9 (1981).  
 c. O. Miyashita, F. Kasahara, T. Kusaka, and R. Marumoto, *J. Antibiot.* **38**, 981 (1985).  
 d. D. J. Hart and K. Kanai, *J. Org. Chem.* **47**, 1555 (1982).  
 e. J. R. Rasmussen, C. J. Slinger, R. J. Kordish, and D. D. Newman-Evans, *J. Org. Chem.* **46**, 4843 (1981).



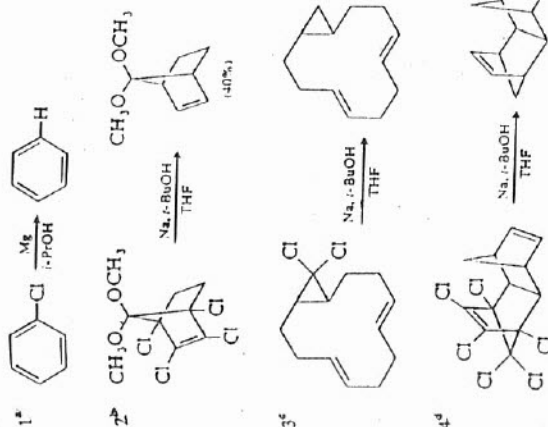
Scheme 5.8. Birch Reduction of Aromatic Rings



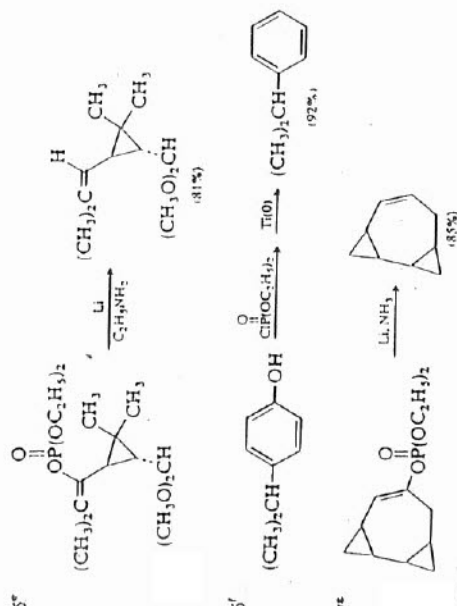
- D. A. Bolton, *J. Org. Chem.* 35, 715 (1970).
- H. Kwart and R. A. Conley, *J. Org. Chem.* 38, 2011 (1973).
- E. A. Braude, A. A. Webb and M. U. S. Sultanbawa, *J. Chem. Soc.*, 3328 (1958); W. C. Agosta and W. Schreiber, *J. Am. Chem. Soc.* 93, 3947 (1971).
- M. E. Kuchne and B. F. Lambert, *Org. Synth.* V, 400 (1973).
- C. D. Gutsche and H. H. Peter, *Org. Synth.* IV, 887 (1963).
- M. D. Soffer, M. P. Bellis, H. E. Gellerson, and R. A. Stewart, *Org. Synth.* IV, 903 (1963).

Scheme 5.9. Reductive Dehalogenation and Deoxygenation

A. Dehalogenation

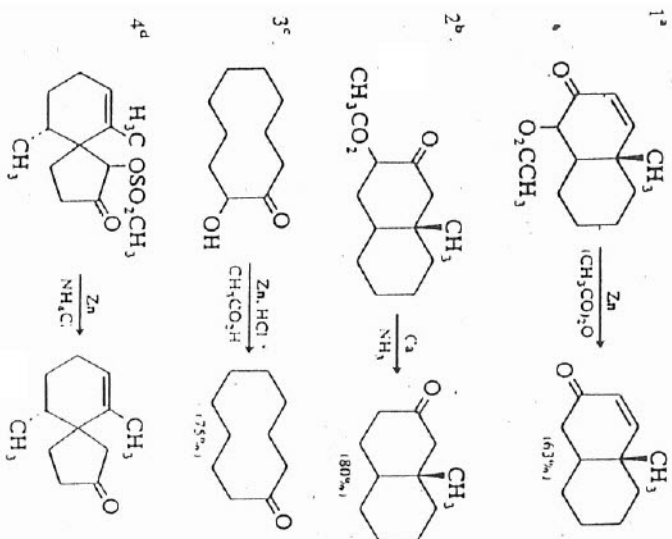


B. Deoxygenation

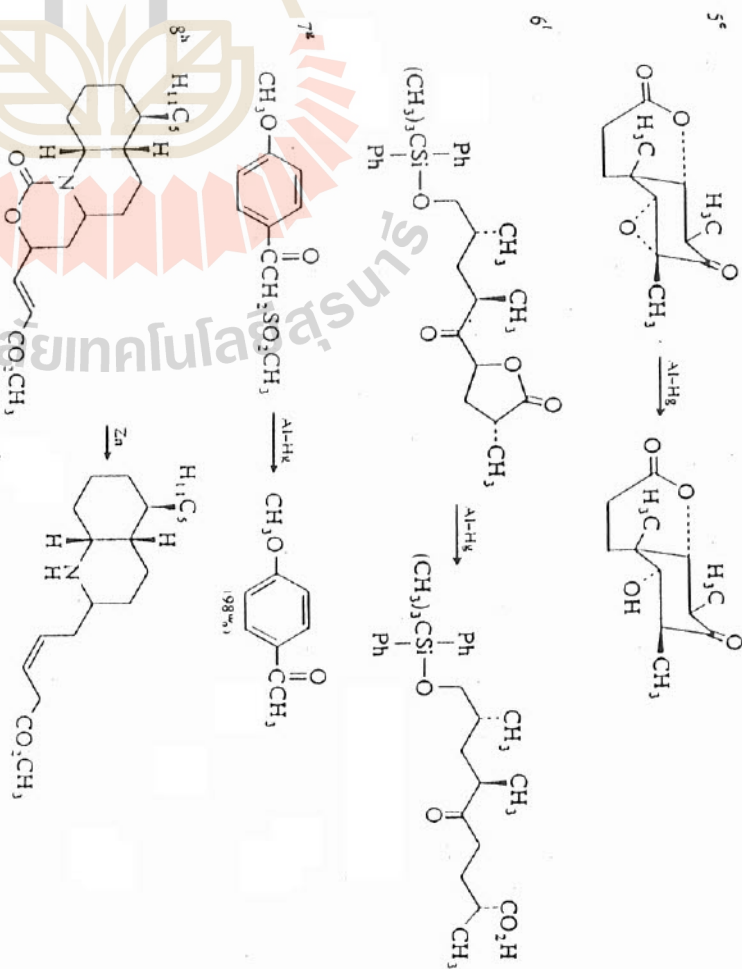


- D. Bryce-Smith and B. J. Wakefield, *Org. Synth.* 47, 103 (1967).
- P. G. Gassman and J. L. Marshall, *Org. Synth.* 48, 68 (1968).
- P. G. Gassman, J. Seiser, and E. J. Williams, *J. Am. Chem. Soc.* 93, 1673 (1971).
- B. V. Lap and M. N. Paddon-Row, *J. Org. Chem.* 44, 4979 (1979).
- S. C. Welch and T. A. Valdes, *J. Org. Chem.* 42, 2108 (1977).
- S. C. Welch and M. E. Walter, *J. Org. Chem.* 43, 4797 (1978).
- M. R. Detty and L. A. Paquette, *J. Am. Chem. Soc.* 99, 821 (1977).

Scheme 5.10. Reductive Removal of Functional Groups from  $\alpha$ -Substituted Carbonyl Compounds

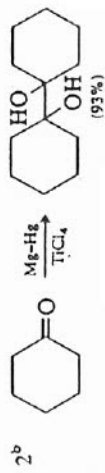
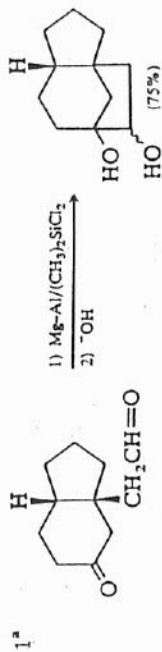


Scheme 5.10—continued

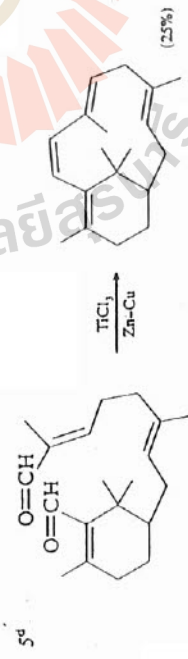
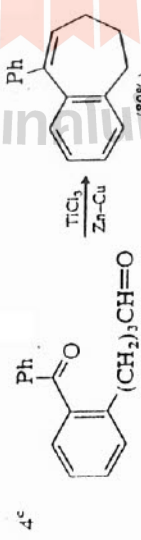
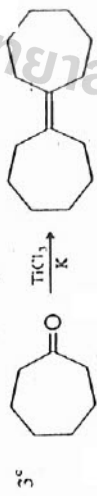


- R. B. Woodward, F. Sondheimer, D. Taub, K. Heuser, and W. M. McLamore, *J. Am. Chem. Soc.* **74**, 4223 (1952).
- J. A. Marshall and H. Roebke, *J. Org. Chem.* **34**, 4188 (1969).
- A. C. Cope, J. W. Barthel, and R. D. Smith, *Org. Synth.* **IV**, 218 (1963).
- T. Iwuka, K. Hayashi, H. Minakata, and Y. Inubushi, *Tetrahedron Lett.*, 159 (1979).
- E. J. Corey, E. J. Trybulski, L. S. Melvin, Jr., K. C. Nicolaou, J. A. Scalet, R. Lett, P. W. Shieldrake, J. R. Falck, D. J. Brunelle, M. F. Haslanger, S. Kim, and S. Yoo, *J. Am. Chem. Soc.* **100**, 4618 (1978).
- P. A. Grieco, E. Williams, H. Tanaka, and S. Gilman, *J. Org. Chem.* **45**, 3537 (1980).
- E. J. Corey and M. Chaykovsky, *J. Am. Chem. Soc.* **86**, 1639 (1964).
- L. E. Overman and C. Fukaya, *J. Am. Chem. Soc.* **102**, 1454 (1980).

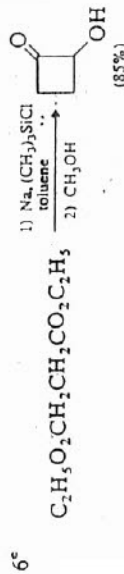
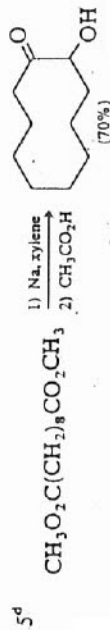
A. Pinacol Formation



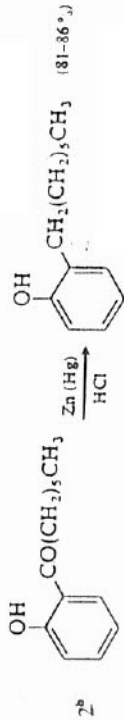
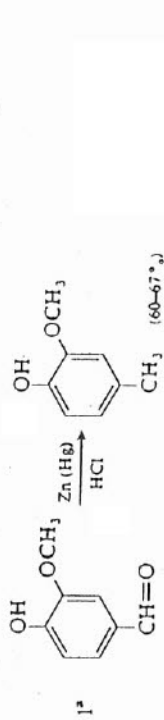
B. Alkene Formation



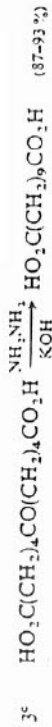
C. Acyloin Formation



Clemmensen



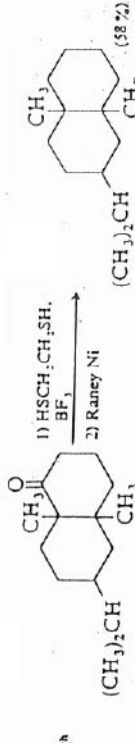
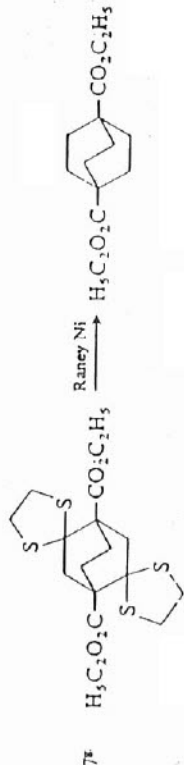
Wolff-Kishner



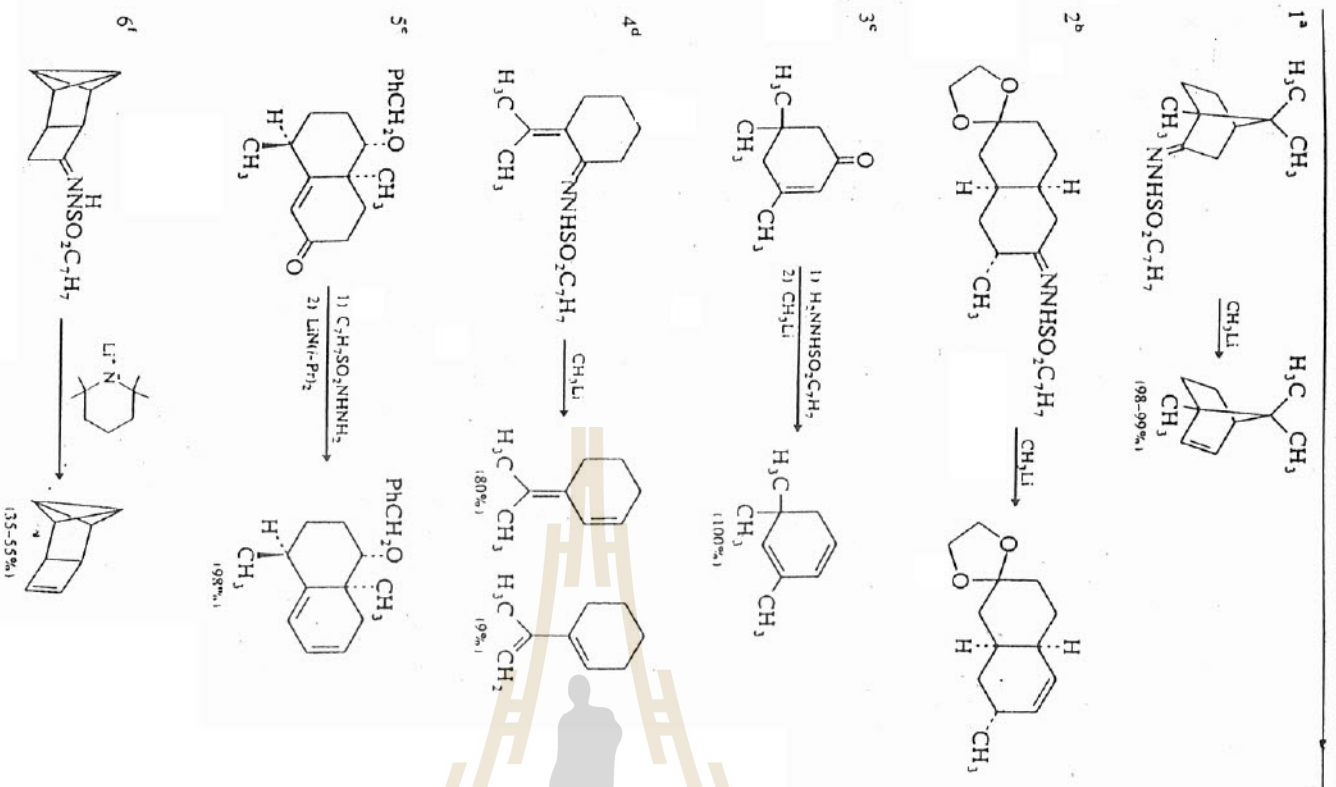
Tosylhydrazone Reduction



Thioether Desulfurization



a. E. J. Corey and R. L. Danheiser, *J. Am. Chem. Soc.* 93, 7318 (1971).  
 b. E. J. Corey, R. L. Danheiser, and S. Chandrasekaran, *J. Org. Chem.* 41, 260 (1976).  
 c. I. E. McMurry, M. P. Fleming, K. L. Kee, and L. R. Krupski, *J. Org. Chem.* 43, 3255 (1978).  
 d. R. Schwarz and H. Hering, *Org. Synth.* IV, 203 (1963).  
 e. R. R. Read and J. Wood, Jr., *Org. Synth.* III, 444 (1955).  
 f. L. J. Durham, D. J. McLeod, and J. Cason, *Org. Synth.* IV, 510 (1963).  
 g. D. J. Cram, M. R. V. Sahvum, and G. R. Knox, *J. Am. Chem. Soc.* 85, 1111 (1963).



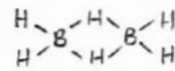
# Hydroboration

## Organoboranes

Hydroboration ของ alkenes hydroborating reagents =  $BH_3$ ,  $RBH_2$  หรือ  $R_2BH$   $\Rightarrow$  electrophiles

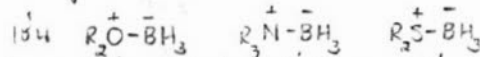
สารตัว borane

pure borane ง่าย ๆ ในรูป



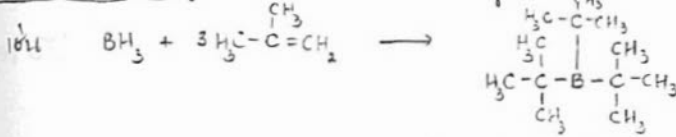
diborane

เมื่ออยู่ใน aprotic solvents ก็เป็น electron donors ของรูปในรูปของ adducts

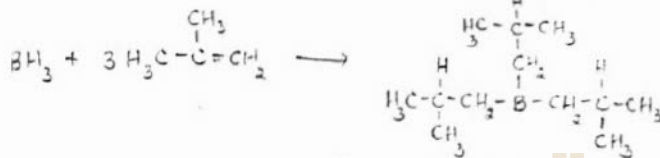


stereochemistry

B ระเบิดที่ C ที่จะมีหมู่แทนที่น้อย เพราะเกี่ยวข้องกับ steric effect ส่วน H ระเบิดที่ C ที่จะมีหมู่แทนที่มาก  $\Rightarrow$  anti Markovnikov



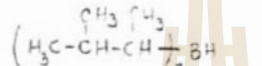
เกิด nonbonded repulsion มาก เมื่อ B ระเบิดที่ C ที่จะมีหมู่แทนที่มาก



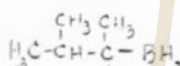
เกิด nonbonded repulsion น้อยกว่า เมื่อ B ระเบิดที่ C ที่จะมีหมู่แทนที่น้อย

ดูตัวอย่างใน Table 4.4 ในหนังสือ

ทบทวน disiamylborane =



thexylborane =



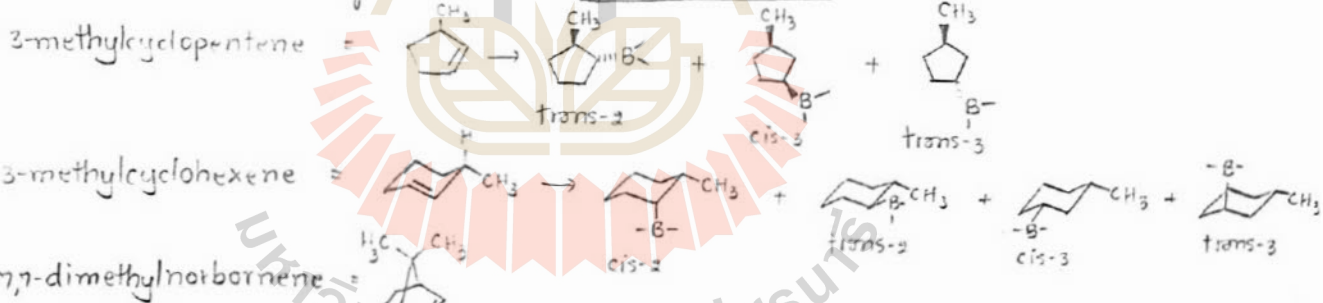
} ใช้สำหรับ  $BH_3 +$  alkene

Hydroboration เป็น syn addition

ดูใน molecular orbitals ในหนังสือ เป็นผลของ orbital interaction ระหว่าง HOMO ของ alkene (p orbital) กับ p orbital ของ B ใน four-center transition state

stereoselectivity :

สิ่ง hydroborating reagent มีอิทธิพลต่อ selectivity ของตำแหน่งที่ B จะไป attack ซึ่งดู ตัวอย่างใน Table 4.5 ในหนังสือ



Hydroboration มี thermal reversibility ที่  $T > 160^\circ C$  ดูในหนังสือ เกิด series ของ eliminations และ additions ทำให้เกิด migration ของ B ได้ alkylboranes ที่มี steric effect หรือที่คิด ตัวอย่างในหนังสือด้วย

ปฏิกิริยาที่อินทรีย์สังเคราะห์ ดูใน Scheme 4.9 ในหนังสือ

mechanism สารตัว hydroboration-oxidation เมื่ออินทรีย์ alcohols ดูในหนังสือ R-O-B bond ถูก hydrolyze เป็น ROH ใน alkaline aqueous solution โดยแทนที่ C-B bond ด้วย C-O bond และ retention of configuration

oxidizing agents ก็มี oxidize  $R_3B$  (organoboranes) ได้แก่  $H_2O_2$ ,  $O_2$  หรือ amine oxides ( $R_3N^+-O^-$ )

สารตัว hydroboration-oxidation เมื่ออินทรีย์ aldehydes และ ketones oxidizing agents =  $Cr(VI)$

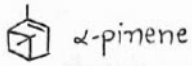
สารตัวแทนที่ B ด้วย amino group reagents ก็ใช้ได้

1.  $NH_2Cl$  (chloramine) หรือ  $NH_2SO_3H$  (hydroxylamine-O-sulfonic acid)  $\Rightarrow$  สารตัว 1 $^\circ$ -amines
2.  $RN_3$  (alkyl หรือ aryl azides) หรือ  $HNR$   $\Rightarrow$  สารตัว 2 $^\circ$ -amines

ดู mechanisms ในหนังสือ ของทั้ง 1 $^\circ$ -amines และ 2 $^\circ$ -amines

Enantioselective hydroboration กับ chiral organoboranes

ที่นิยมมากที่สุดคือ bis(isopinocampheyl) borane ดูการเตรียมในแล็บ



จึงมี enantioselectivity สูง เมื่อใช้กับ  $\alpha$ -disubstituted alkenes ตั้งแต่องานในแล็บ ซึ่งโดยปกติแล้ว F จะดี steric effect น้อยกว่า G จึงทำให้ enantioselectivity สูง ถ้าใช้กับ E-alkenes จะมี enantioselectivity ต่ำมาก

trans-dimethylborolane ดูวิธีเตรียม และ การแยกออกจาก cis isomer ในแล็บ โดยใช้ chiral aminoalcohol

จึงมี enantioselectivity สูง เมื่อใช้กับ internal alkenes ถ้าใช้กับ terminal alkenes enantioselectivity จะต่ำมาก

③ Hydroboration ของ alkynes ที่นิยมใช้ catecholborane (disubstituted borane)

ดูในแล็บ วิธีที่นิยมเกิด syn addition ของ catecholborane protonolysis ด้วย acetic acid ใน  $\alpha$ -alkenes oxidation ด้วย  $H_2O_2$  ใน ketones

ทำ E กับ  $Br_2$  ในแล็บ ใน vinyl bromide "anti addition" ดู mechanism ในแล็บ เกิด anti addition ของ  $Br_2$  และ anti elimination ของ  $Br^-$  กับ B

นอกจาก catecholborane แล้ว ยังมีกรณีใช้ 9-BBN และ dibromoborane ตั้งแต่องานในแล็บ เมื่อทำ E กับ internal alkynes ตาม

ด้วย protonolysis ด้วย MeOH  $\Rightarrow$  ใน  $\alpha$ -alkenes

อยู่ในรูป  $Br_2^-BH-S^+(C_2H_5)_2$  ใช้สังเคราะห์ E-vinyl iodides จาก terminal alkynes

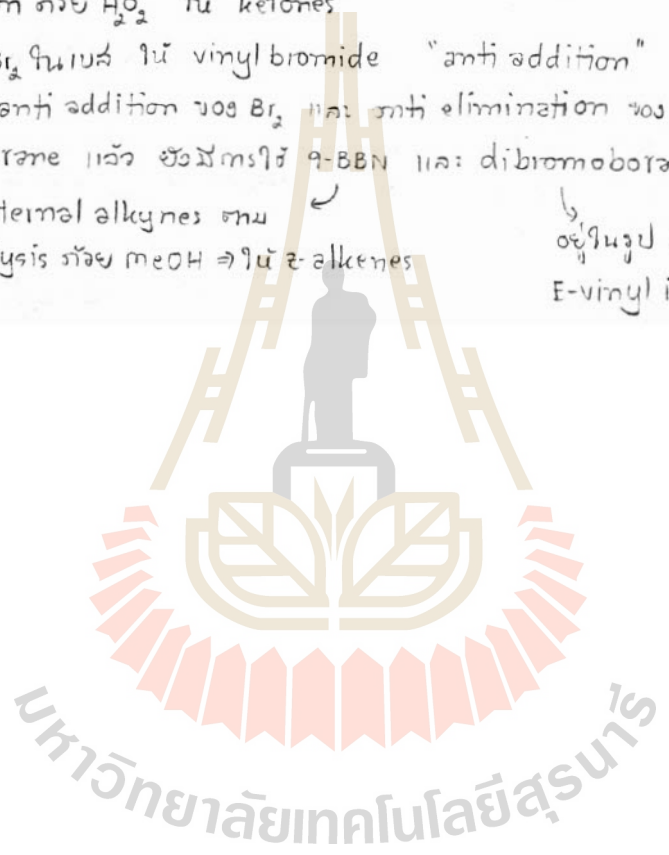


Table 4.4. Regioselectivity of Diborane and Alkylboranes toward Representative Alkenes

Percent of Boron Added at Less Substituted Carbon				
Hydroborating reagent	1-Hexene	2-Methyl-1-butene	4-Methyl-2-pentene	Styrene
Diborane <sup>a</sup>	94	99	57	80
Chloroborane-dimethyl sulfide <sup>b</sup>	99	99.5	—	98
Disiamylborane <sup>a</sup>	99	—	97	98
Triethylborane <sup>c</sup>	94	—	66	95
Triphenylborane <sup>d</sup>	99	99	97	99
Triisobutylborane <sup>e</sup>	99.9	99.8*	99.8	98.5

\* data for 2-methyl-1-pentene

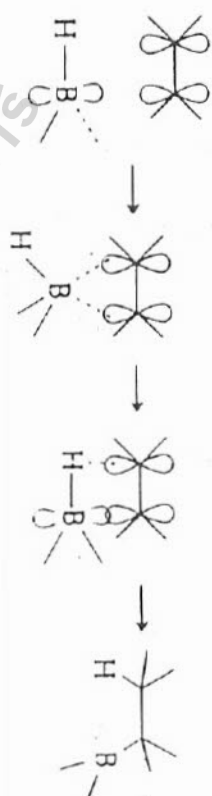
<sup>a</sup> G. Zweifel and H. C. Brown, *Org. React.* 13, 1 (1965).

<sup>b</sup> H. C. Brown, N. Ravindran, and S. U. Kulkarni, *J. Org. Chem.* 44, 2417 (1969); H. C. Brown and U. S. Racheria, *J. Org. Chem.* 51, 895 (1986).

<sup>c</sup> H. C. Brown and G. Zweifel, *J. Am. Chem. Soc.* 82, 4708 (1960).

<sup>d</sup> H. C. Brown, J. A. Sikorski, S. U. Kulkarni, and H. D. Lee, *J. Org. Chem.* 45, 4540 (1980).

<sup>e</sup> H. C. Brown, E. F. Knights, and C. G. Scouten, *J. Am. Chem. Soc.* 96, 7765 (1974).



มหาวิทยาลัยเทคโนโลยีสุรนารี

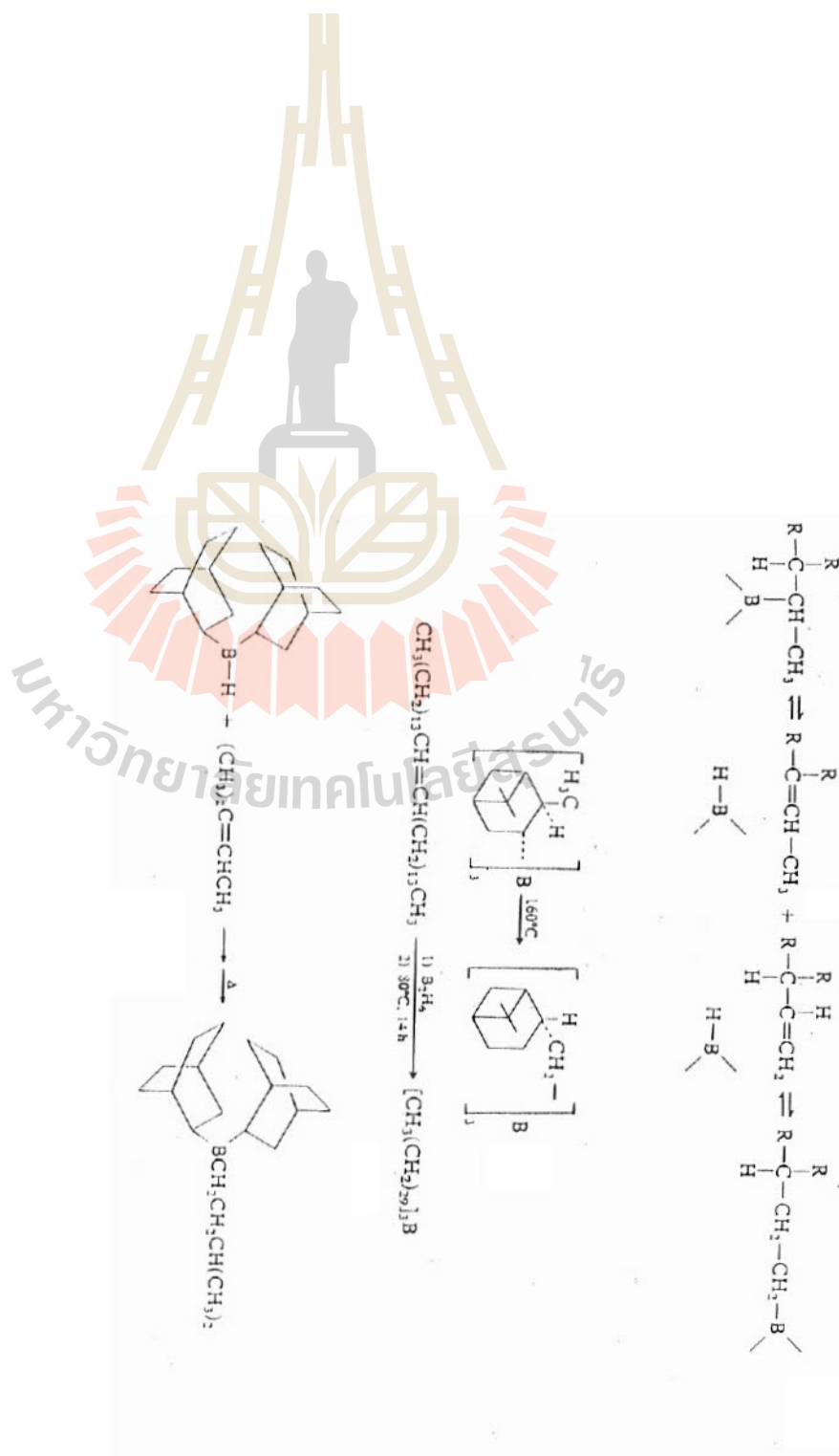
Table 4.5. Stereoselectivity of Hydroboration of Cyclic Alkenes<sup>a</sup>

Hydroborating reagent	Product composition <sup>b</sup>								
	3-Methylcyclopentene			3-Methylcyclohexene				7,7-Dimethylnorbornene	
	<i>trans</i> -2	<i>cis</i> -3	<i>trans</i> -3	<i>cis</i> -2	<i>trans</i> -2	<i>cis</i> -3	<i>trans</i> -3	<i>exo</i>	<i>endo</i>
Borane	45	55		16	34	18	32	22	78 <sup>c</sup>
Disiamylborane	40	60		18	30	27	25	—	—
9-BBN	25	50	25	0	20	40	40	3	97

a. Data from H. C. Brown, R. Liotta, and L. Brener, *J. Am. Chem. Soc.* **99**, 3427 (1977), except where noted otherwise.

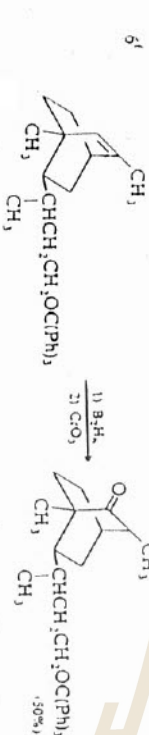
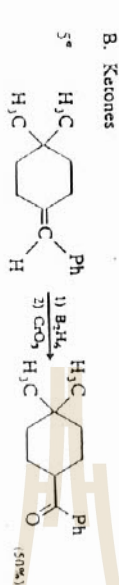
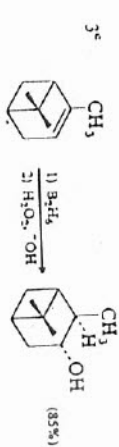
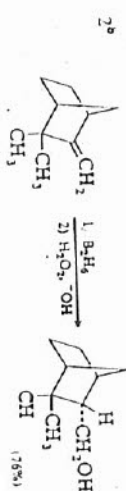
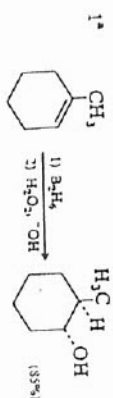
b. Product composition refers to methylcycloalkanol formed by subsequent oxidation.

c. H. C. Brown, J. H. Kawakami, and K.-T. Liu, *J. Am. Chem. Soc.* **95**, 2209 (1973).

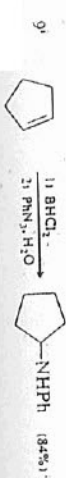


Scheme 4.9. Alcohols, Ketones, Aldehydes, and Amines from Organoboranes

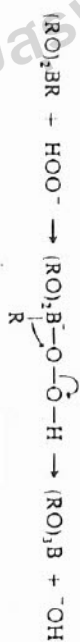
A. Alcohols

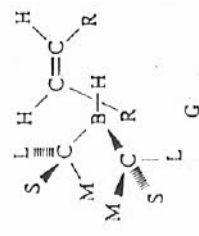
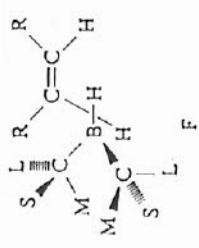
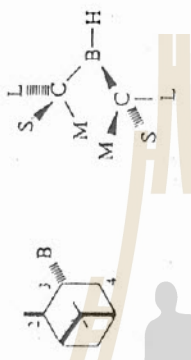
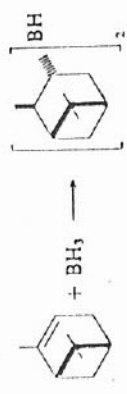
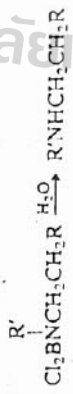
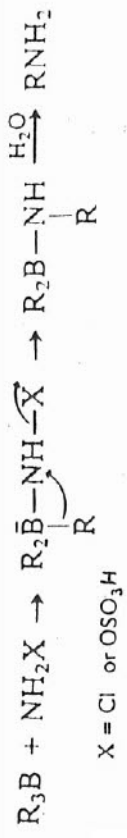


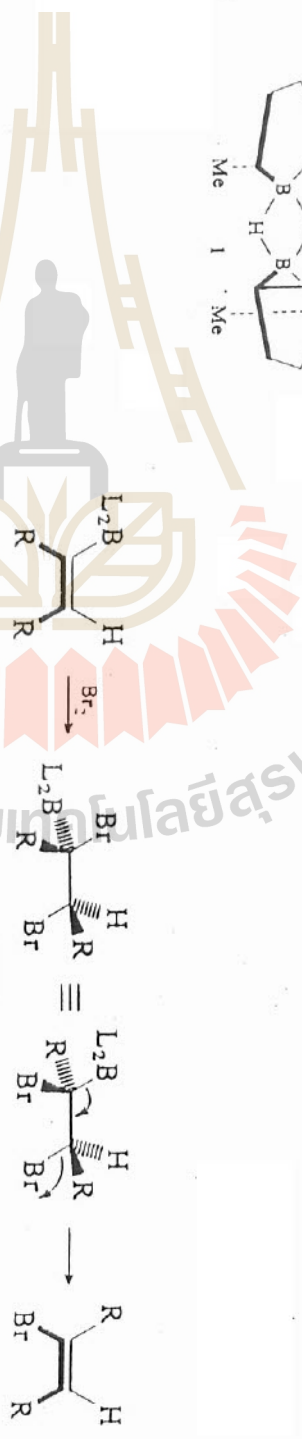
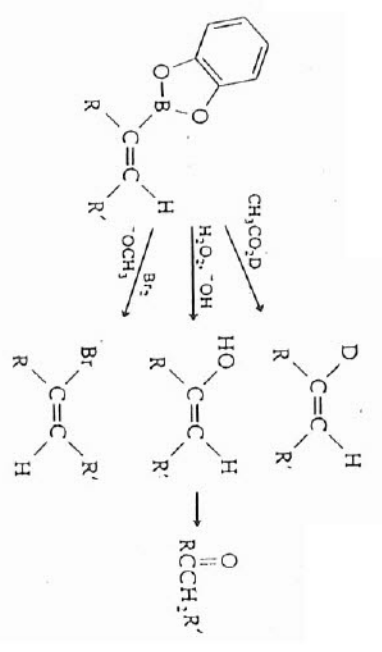
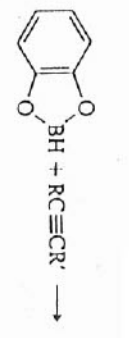
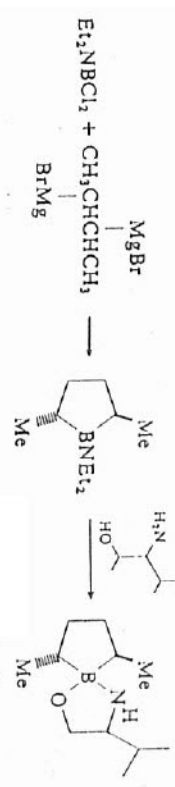
C. Amines



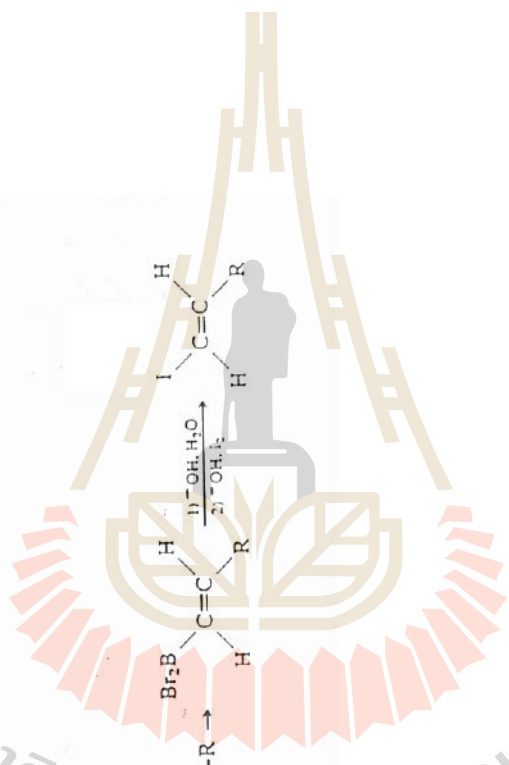
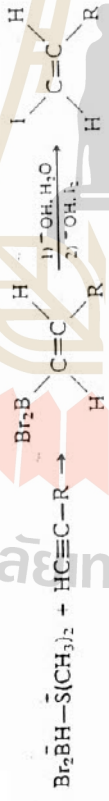
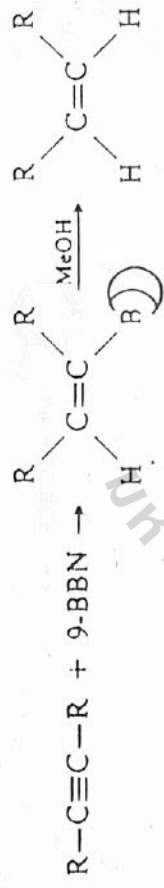
มหาวิทยาลัยเทคโนโลยีสุรนารี







มหาวิทยาลัยเทคโนโลยีสุรนารี

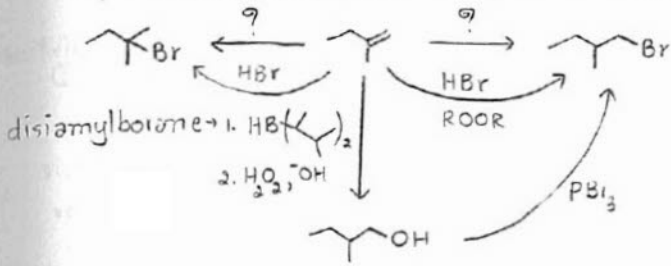


มหาวิทยาลัยเทคโนโลยีสุรนารี

Stereocontrol and ring formation "Organic Synthesis von Michael B. Smith"

stereocontrol in acyclic systems

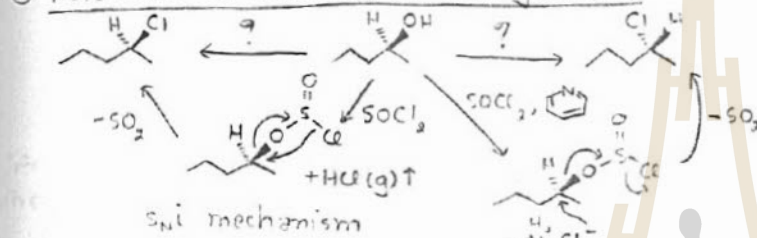
① Markovnikov/anti-Markovnikov selectivity



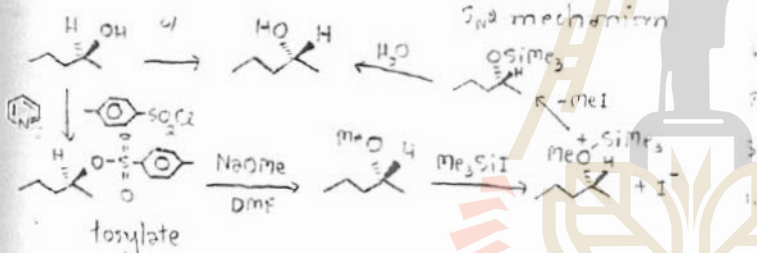
ดู mechanism ของทั้ง 3 วิธีใน แผ่น 91  
 Factor ที่ควบคุม stereochemistry ของ  $\rightarrow$  กับ HBr คือ electronic effect  
 Factor ที่ควบคุม stereochemistry ของ hydroboration คือ steric effect  
 Factor ที่ควบคุม stereochemistry ของ  $\rightarrow$  กับ HBr/ROOR คือ electronic effect

โดยทั่วไป cation และ radical addition reactions จะมี reactive intermediate ซึ่งทำให้ stereochemistry ของ product ส่วน hydroboration ไม่มี intermediate ซึ่งผ่าน four-center transition state ซึ่งทำให้ steric effect มีอิทธิพลมากกว่า electronic effect

② Retention vs inversion of configuration



ผลิตภัณฑ์ inversion of configuration  
 เปลี่ยน functional group ให้เป็น leaving group และ nucleophile  
 แบบ  $S_N2$



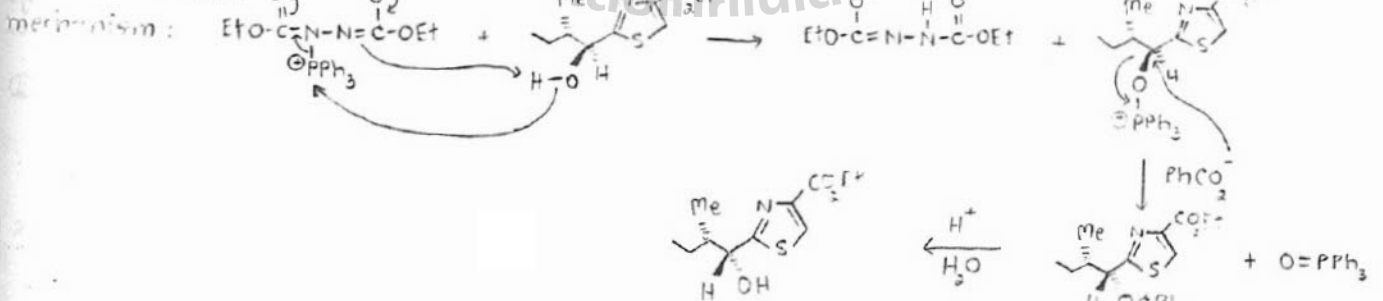
ถ้า nucleophile = alcohol จะได้ inversion of configuration  
 ควบคุม substitution ด้วย มี polar aprotic solvents เช่น DMF, DMSO  
 ใช้ Mitsunobu reaction

Mitsunobu reaction

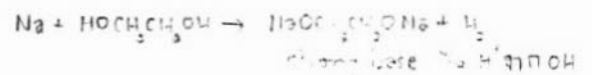
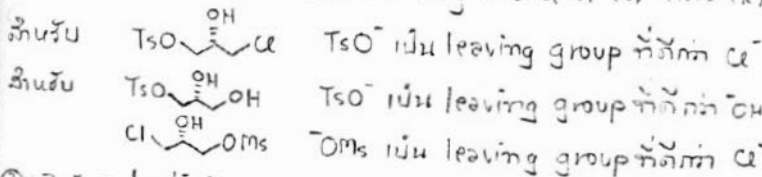
ปฏิกิริยา: ระหว่าง alcohol และ weak nucleophile เช่น  $\text{SO}_2$ , imide, carboxylate ion

และ diethylazodicarboxylate (DEAD) และ triphenylphosphine เป็น reagents  
 $\text{EtO}-\text{C}(=\text{O})-\text{N}=\text{N}-\text{C}(=\text{O})-\text{OEt} + \text{PPh}_3 \rightarrow \text{EtO}-\text{C}(=\text{O})-\text{N}=\text{N}^+(\text{PPh}_3)-\text{C}(=\text{O})-\text{OEt} \Rightarrow \text{DEAD} \text{ หรือ activate } \text{N}_2 \text{ ซึ่ง activate alcohol ต่อ}$

ดูตัวอย่างใน แผ่น 91

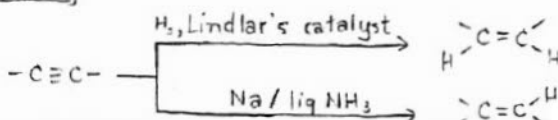


ดูตัวอย่าง ms control stereochemistry เมื่อใช้ (S)- และ (R)-epichlorohydrin จาก



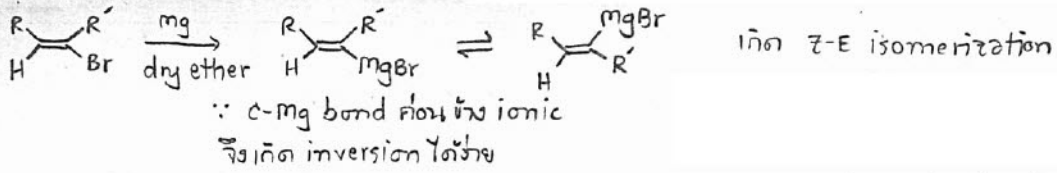
③ Z-E selectivity

alkynes



Lindlar's catalyst  $\text{Pd}-\text{CaCO}_3-\text{PbO}$

Girdard reagents จาก vinyl halides

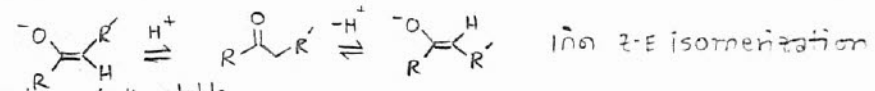


ดูตัวอย่างกรณีเกิด isomerization ของ cis- และ trans-1-hexenylmagnesium bromide ใน หน้า 91 ทำให้ได้ mixt ของ cis- และ trans-2-heptenoic acids

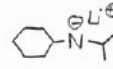
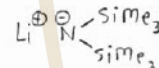
ดู Table 8.8 ในหน้า 91 ซึ่งแสดง stereoselectivity ของกรณีเกิด Girdard reagents จาก stereochemically pure vinyl halides และ subsequent reaction กับ CO<sub>2</sub> จากนั้น Z-vinyl halides จะให้ Z-RMgX เป็น major product และ E-vinyl halides จะให้ E-RMgX เป็น major product

วิธีที่ทำการเกิด isomerization ของ RMgX เหนือกว่าคือกรณี CuI (cuprous iodide) ลงไป ดังตัวอย่างใน หน้า 92

Enolate



ดู Table 9.3 ในหน้า 92 ซึ่งแสดงผลของ ketone structure และ base ที่มีต่อ enolate geometry

- เมื่อ LICA = lithium isopropylcyclohexylamide 
- LIMP = lithium 2,2,6,6-tetramethylpiperidide 
- LHDS = lithium hexamethyldisilazide 

พิกัด N-Si > N-C  
และพิกัด Si-C > C-C } มีผลต่อการเกิด Z หรือ E  
Z > E ? หมายความว่า  
ของ (Me<sub>2</sub>PhSi)<sub>2</sub>LiLi

ดูใน หน้า 92 แสดง cyclic transition state

- ถ้า R' มีขนาดใหญ่มาก ⇒ 9.27 ไม่เสถียร จึงให้ Z-enolate > E-enolate
- ถ้า L มีขนาดใหญ่มาก ⇒ 9.29 ไม่เสถียร จึงให้ E-enolate > Z-enolate เช่นในกรณีของ LIMP

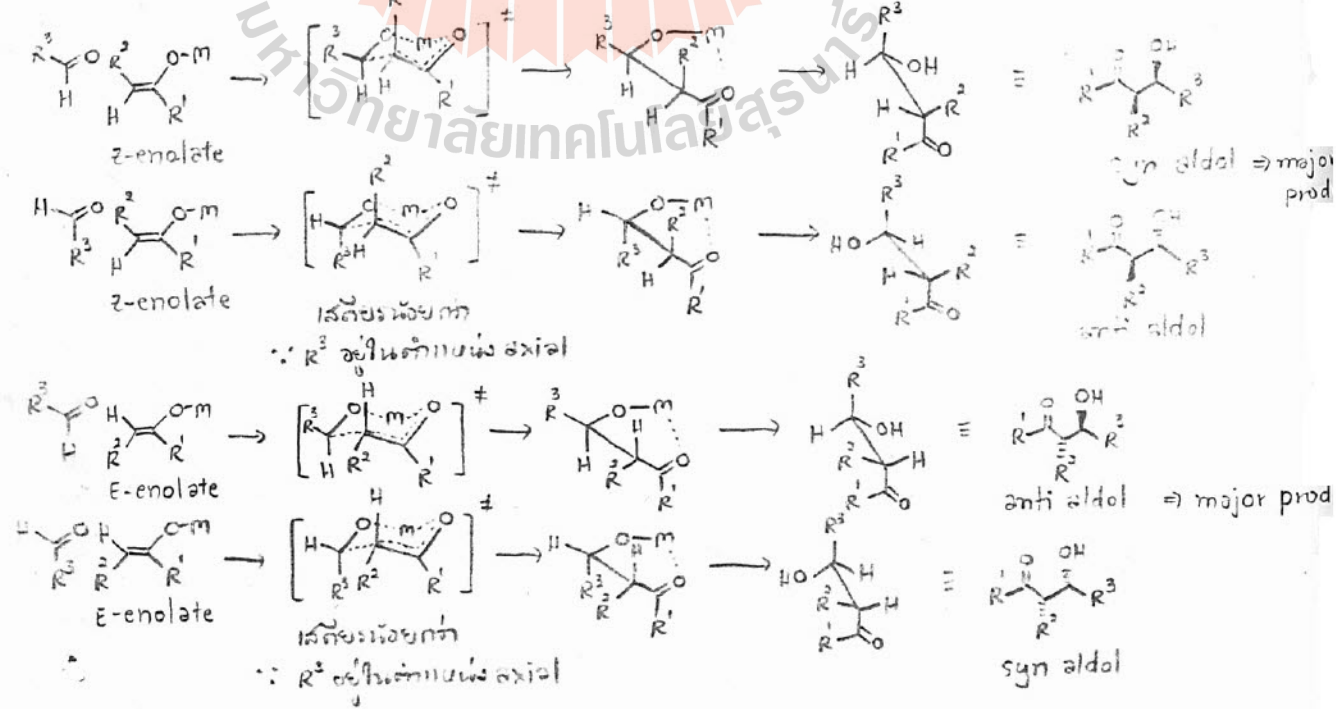
i-Pr, t-Bu, Ph, Mesityl (  = mesitylene) ⇒ จัดเป็น group ขนาดใหญ่ ∴ Z > E

HMPA (hexamethylphosphorus triamide)  ทำให้ cyclic transition state ไม่เกิด

① Syn-anti selectivity

ดูตัวอย่าง aldol condensation ใน หน้า 93 จะเห็นว่า Z-enolate จะให้ syn product

mechanism: Zimmerman model E-enolate จะให้ anti product



### ดูตัวอย่างปฏิกิริยาของ epoxide ในแอลกอฮอล์

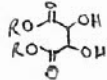
จาก 6.55 → 6.56 โดยใช้เบส เกิด ring opening แบบ  $S_N2$  ทำให้ได้ trans-diol เป็น major product

แต่ใช้ acid เป็น catalyst เกิด carbocation ทำให้ได้ mixtures ของ cis- และ trans- diols ในปริมาณที่ไม่ต่างกันมาก

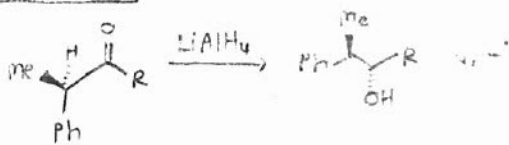
### 5) Heteroatom chelation effects

neighboring group effects ดูตัวอย่าง epoxidation ของ double bond ด้วย peroxycarboxylic acid เมื่อมี OH group อยู่ในตำแหน่ง allylic ในแอลกอฮอล์ ⇒ O จะจับกับคาร์บอนติดกับ OH และดึง H ของ hydrogen ได้ดีขึ้น

Sharpless asymmetric epoxidation ในแอลกอฮอล์ ⇒ เกิด complex ระหว่าง titanium ion กับ allylic alcohol, tartrate ester และ t-BUOOH product จะเป็น syn หรือ anti ขึ้นอยู่กับ (+) หรือ (-)-tartrate



### Cram's rule



anti product	yield
Me	48%
Et	52%
i-Pr	70%
t-Bu	96%

และกรณี  $R_2=C_1=C_2-R$  interaction  $> R_2-C_1-C_2$  interaction (ดู mechanism ในแอลกอฮอล์ประกอบ)

ดู mechanism ในแอลกอฮอล์ ⇒ ต่างจากที่โดยทั่วไปในเรื่อง reduction แต่

⇒ assume ปฏิกิริยาเป็นแบบ kinetically controlled  $R_2$  สูงกว่า  $R_1$  และ "H" เกิดขึ้นด้วย  $K_2$

Zinc borohydride reduction ในแอลกอฮอล์ ให้ 6.66 ได้ 100% แต่ถ้าใช้  $LiAlH_4$  ให้ 6.67 ได้ 100% = 2:1

reducing agent 2 ได้ 100% ถ้าใช้  $LiAlH_4$  1 ได้ 100%

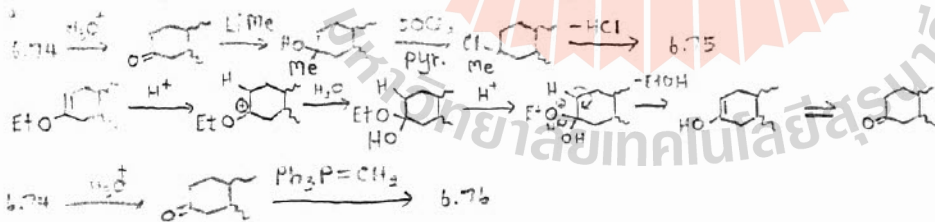
### Stereocenter in cyclic systems

#### 1) Markovnikov/anti-Markovnikov selectivity ในแอลกอฮอล์

ถ้าใช้  $HBr$  จะได้ Markovnikov product เป็น major product

ถ้าใช้ diborane ตามด้วย oxidation จะได้ 6.72 : 6.73 = 26:14 เมื่อเปลี่ยนจาก diborane เป็น  $BF_3 \cdot OEt_2$  จะได้ 6.74 ได้ 100%

รวม: ผลที่ได้ สำหรับหนึ่งของ double bond ในแอลกอฮอล์

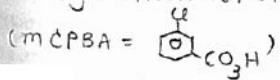


#### 2) การเกิด double bond ใน ring

การเกิด double bond โดย  $E_2$  elimination reactions   
 ถ้าใช้ internal base ⇒ จะเกิด syn elimination   
 ถ้าใช้ external base ⇒ จะเกิด anti elimination

ดูตัวอย่างในแอลกอฮอล์   
 กับรับ anti elimination สิ่งที่เกิดขึ้นระหว่าง cyclic และ acyclic compounds คือ hydrogen-c ใน ring ไม่สามารถ rotate ได้ แต่สิ่งที่เนี่ยมันกันคือได้ more substituted alkene เป็น product

กับรับ syn elimination จะได้ less substituted alkene เป็น product เพราะ less substituted  $\beta$  hydrogen ถูกดึงได้ยากกว่า



Bredt's rule carbon-carbon double bonds ไม่สามารถเกิดที่ bridgehead atoms ใน bicyclic rings ที่ซึ่งขนาดเล็กได้ ⇒ เพราะจะ strain มาก ดูตัวอย่างในแอลกอฮอล์ แสดงปฏิกิริยาของ 2-bromonorbornane

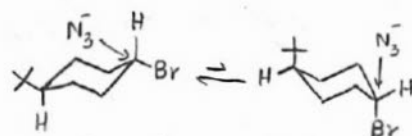
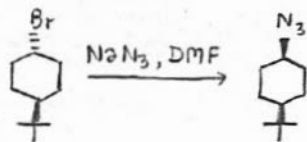
ดูตัวอย่างของ alkenes ซึ่งไม่สามารถเกิดได้ใน Figure 6.1 ในแอลกอฮอล์ ⇒ S = ผลรวมของจำนวน bridged atoms

- หมายถึง bridge ที่มี double bond อยู่

สำหรับ [3.3.1] bicyclic systems จะเห็นว่า  ไม่สามารถเกิดได้ แต่  สามารถเกิดได้

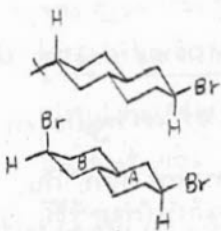
③ Diastereocontrol

S<sub>N</sub>2 reaction



approach angle  
ก่อนทำปฏิกิริยา

เกิดได้เร็วเท่า ทำใน equilibrium  
shift มากกว่า



เกิด  $\equiv$  ได้จำนวนมาก, วิธีแก้คือ เริ่มอุณหภูมิต่ำ และใช้ polar solvent เช่น DMF, DMSO

↳ อาจทำให้เกิด elimination หรือ decomposition ได้

เพราะ Br ใน ring B เท่านั้นที่เกิด  $\equiv$

ดูตัวอย่างการเกิด S<sub>N</sub>2 เมื่อ leaving group อยู่ในตำแหน่ง equatorial ในกรณีนี้ backside of the OTs group ในตำแหน่ง axial เกิดไม่ชัด

Ene reaction

indirect substitution reaction ของ compound ที่มี double bond ด้วย alkene ที่มี allylic H

ดูตัวอย่างใน แผ่นใส  $\Rightarrow$  6.113 และ 6.114 เป็น transition state ของ 6.109 E คือ Lewis acid

boatlike  $\equiv$  O ในตำแหน่ง equatorial แต่ ms transfer ของ H เกิดได้ดี จึงได้ product ที่มี OH ซ้ำลง

$\Rightarrow$  6.115 และ 6.116 เป็น transition state ของ 6.111 boatlike  $\equiv$  O ในตำแหน่ง equatorial ms transfer ของ H เกิดได้ดี แต่เป็น โดยสังขั้วสัมพันธ์กัน

④ Diastereoselectivity

ดูตัวอย่างปฏิกิริยา reduction ของ ketone ใน แผ่นใส สำหรับ 6.117 [H] เกิด path a  
สำหรับ 6.119 [H] เกิด path  $\alpha$  face (ด้านหลัง) path b  
6.121 เป็นภาพ 3D ของ 6.119

ดูตัวอย่างการควบคุม stereochemistry ใน แผ่นใส โดยการเปลี่ยนลำดับของ  $\equiv$  epoxidation ตามด้วย reduct  
mCPBA จะเกิดผลิตภัณฑ์ด้วย OH reduction ตามด้วย epoxidat

ดูตัวอย่างการเปลี่ยน stereochemistry ของ come group ใน แผ่นใส โดยการทำให้เกิด enolate ตามด้วย protonation



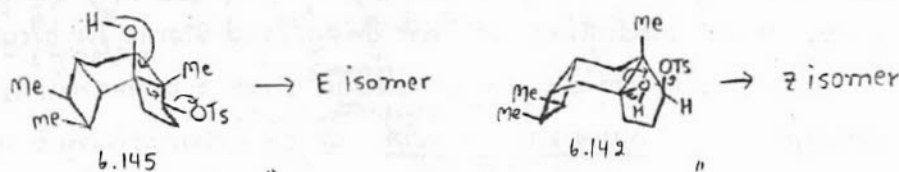
$\hookrightarrow$  A strain (1,3-diaxial interaction) มากกว่า 6.130

Glob fragmentation = 1,3 elimination (anti elimination) ดูตัวอย่างใน แผ่นใส

จะเห็นว่าเมื่อ TsO group antiperiplanar กับ lone pair ของ N จะทำให้เกิด anti elimination  $\Rightarrow$  เกิดเร็ว  
ในกรณีนี้ จะได้ product เป็น E isomer แต่เมื่อ TsO group อยู่ในตำแหน่ง axial elimination จะเกิดได้ช้า  
ใน product เป็น Z isomer เหมือนกับ S<sub>N</sub>2 reaction จึงได้ mixture ของ products

ดูตัวอย่างการเกิด Glob fragmentation ภาวการณ์ แผ่นใส

ถ้าเริ่มที่จาก 6.142 เมื่อเกิด Glob fragmentation จะมี 2 double bond } ตามด้วย enolization ของ  $\alpha$  hydro  
ถ้าเริ่มที่จาก 6.145 เมื่อเกิด Glob fragmentation จะมี E double bond } หนึ่งอันได้ trans ring junction ซึ่งเกิด



"C-OTs antiperiplanar กับ O-H"

⑤ Heteroatom chelation effects

neighboring group effects ดูตัวอย่างใน แอลกอฮอล์ ⇒ OH group ในตำแหน่ง allylic สามารถเกิด reaction กับ peroxyacid ได้ ทำปฏิกิริยา epoxidation เกิดกันเกิดขึ้นกับ OH ในขณะทำ acetate group ทำปฏิกิริยา epoxidation เกิดกันตรงข้าม เมลเดคมมาการของ acetate group

mechanism  
แอลกอฮอล์

- ดูอีกตัวอย่างใน แอลกอฮอล์ ซึ่งแสดง chelation effect ของ N ⇒ เมื่อจาก Os(VIII) coordinate กับ N ได้ไม่ชัด จึงเกิดทางตั้งที่เกาะกันของได้ออกซิเจน ได้มี diol สมกับ elimination ของ OH ในตำแหน่ง α กับ amine ได้ iminium ion ซึ่งเกิดปฏิกิริยา reduction ใน amine ส่วน Tl(III) coordinate กับ N ได้ชัด acetate จึงเข้าทำปฏิกิริยาใน iminium ion reduction ของ iminium ion และ acetate group ทำปฏิกิริยาได้ 6.165 (NaBH<sub>4</sub> reduce ester → alcohol ได้ แต่ ε ก็ลดช้ามาก)

กรณี photo-  
c ใน steroids  
แอลกอฮอล์

- ดู photolytic elimination ใน แอลกอฮอล์ photolysis จากทำปฏิกิริยา carbonyl oxygen อยู่ใน triplet state และดึง H ที่ C<sub>α</sub> เมื่อ n=1 จะได้ yield สูงสุด ส่วน H ที่ C<sub>β</sub> carbonyl oxygen ไม่สามารถดึงได้

Acyclic stereocontrol โดยใช้ cyclic precursors stereocontrol ใน cyclic systems ที่ใช้ทำปฏิกิริยาใน acyclic systems เมื่อจากมี conformational bias ดูตัวอย่างการทำปฏิกิริยาใน แอลกอฮอล์ ซึ่งแสดง stereocontrol 6.183 จาก 6.179 6.179 จากเปลี่ยนไปเป็น cyclic ketal สมกับ epoxidation ทำปฏิกิริยาได้ cis-epoxide ใน 6.180 ring opening ด้วย dimethylcuprate ทำปฏิกิริยาได้ trans-hydroxymethyl ใน 6.181 เมื่อ treat ด้วยกรด seven-membered ketal จากเปลี่ยนไปเป็น five-membered ketal และ primary alcohol

ดูตัวอย่างการเปลี่ยน sugars ไปเป็น acyclic portions ของ natural products ใน แอลกอฮอล์ วิธีมีใช้ Chiron approach  
↳ chiral cyclic molecules  
เมื่อ 6.186 คือ target molecule  
↳ fragment ซึ่งแบ่งตัวเป็นส่วนของ chiral centers

Ring forming reactions

- ① Baldwin's rules ใช้ทำนาย cyclization reactions ว่าเป็นที่โปรด (favored) หรือเกิดที่ยาก (disfavored)  
โดยพิจารณา 1. ring closures ทำปฏิกิริยา endo และ exo  
↳ electron flow อยู่ใน ring ที่เกิดขึ้น  
↳ electron flow อยู่ภายนอก ring ที่เกิดขึ้น  
2. hybridization ของ atom ที่ถูก attached ต่อกันเป็น sp<sup>3</sup> (tet), sp<sup>2</sup> (trig) และ sp (dig)  
3. จำนวน atoms ใน ring ที่เกิดขึ้น

ดูใน แอลกอฮอล์ Figure 5.2 ใน แอลกอฮอล์ และดู Baldwin's rules ใน แอลกอฮอล์  
สำหรับ tet systems เกิด backside attack attack angle X-C-Y ≈ 180° ∴ exo process เกิดได้ง่าย แต่ endo process เกิดได้ยาก  
↳ ดูใน แอลกอฮอล์  
สำหรับ trig systems (ดูใน แอลกอฮอล์) จาก sp<sup>2</sup> → sp<sup>3</sup> attack angle X-C-Y ≈ 109° ∴ exo process เกิดได้ง่าย แต่ endo process สำหรับ ring ขนาดเล็ก เกิดได้ยาก  
↳ ดูใน แอลกอฮอล์  
สำหรับ dig systems (ดูใน แอลกอฮอล์) จาก sp → sp<sup>2</sup> attack angle X-C-Y ≈ 180° ∴ endo process เกิดได้ง่าย แต่ exo process สำหรับ ring ขนาดเล็ก เกิดได้ยาก (ดู 6.206)

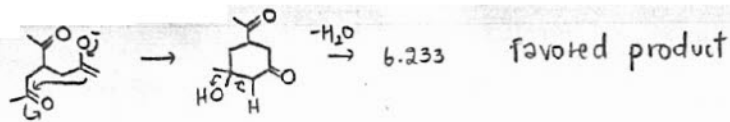
ดูตัวอย่างของ 5-exo-trig และ 6-endo-trig reactions ใน แอลกอฮอล์ พบว่า 5-exo-trig product : 6-endo-trig product = 12:1 ในขณะทำ alkynyl derivative เกิดปฏิกิริยาได้ช้ากว่า 6.212 1000 เท่า และใน แอลกอฮอล์ 5-exo-dig product

ผลของอิเล็กตรอน sp atoms ชอบ exo mode มากกว่า endo mode  
ดูตัวอย่างของปฏิกิริยาที่ไม่เป็นไปตาม Baldwin's rules ซึ่งเกี่ยวข้องกับ electronic factor ที่ทำปฏิกิริยาเกิด 5-endo-trig เกิดได้ ใน แอลกอฮอล์ โดยปฏิกิริยาแรกต่อมี force ในปฏิกิริยาเกิด ส่วนปฏิกิริยาที่สองใช้ mild condition เนื่องจากในกรณีหลัง N มี nucleophilicity สูงกว่า

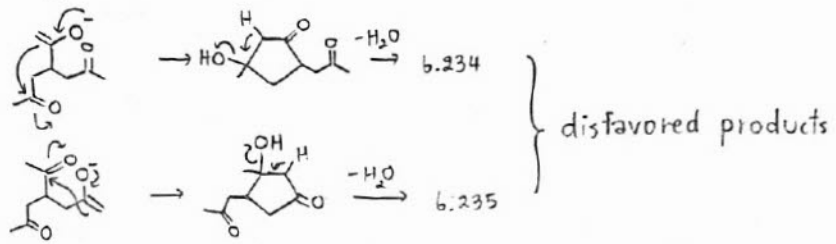
Baldwin's rules สำหรับ ketone enolates ต้องคำนึงถึง orientation ของ p orbitals ของ enolate ด้วย โดยแบ่งออกเป็น endo และ exoexo → สำหรับ thermodynamic enolates ดูตัวอย่างใน แอลกอฮอล์ ซึ่ง Baldwin's rules สำหรับ kinetic enolates  
↳ สำหรับ kinetic enolates

ketone enolates แสดงใน แอลกอฮอล์ เกิดปฏิกิริยา  
ดูตัวอย่าง favored และ disfavored products ของปฏิกิริยาของ triketone 6.232 ใน แอลกอฮอล์

การเกิด 6-endo-exo-trig



การเกิด 5-endo-exo-trig



โดยทั่วไป enolates จะเกิด 5-exo-tet reactions ที่ O ดังนั้น 6.236 ใน แผนผัง ซึ่ง lone pair ของ O จะต้องมี angle ที่เหมาะสม สำหรับ 6-exo-tet reactions enolates จะเกิดที่ C ดังนั้น 6.238 ซึ่ง orbital ของ C จะต้องมี angle ที่เหมาะสม

สำหรับ 3-membered ring ซึ่งจัดว่าอยู่ระหว่าง tet และ trig systems จะมีลักษณะของการเกิด exo และ endo processes ดังนั้นใน แผนผัง ตัวอย่างของ  $\pi$  ได้แก่ปฏิกิริยาของ 6.248 ซึ่งใน iodonium intermediate path a ก็คือ 5-exo process  $\Rightarrow$  favored และ path b ก็คือ 5-endo process  $\Rightarrow$  disfavored ซึ่งโดยทั่วไป 5-exo mode จะเกิดไว้อีก

หากในกรณีที่ 2 จะไม่ปฏิบัติตาม Baldwin's rules เนื่องจากมีขนาด atom ใหญ่กว่า, ความเป็นขั้วบวก และ มี d orbital ที่สามารถจับ  $e^-$  ได้ ดังนั้น 6.251 ใน แผนผัง สามารถเกิด 5-endo-trig process ได้ เพราะ attack angle  $\leq 90^\circ$  สามารถทำได้

② Macrocycles ใช้ไม่ได้กับ Baldwin's rules

เมื่อ bifunctional long-chain molecules มีความเข้มข้นต่ำ จะเกิด intramolecular cyclization ใน monocyclic product ดังนั้นใน แผนผัง เมื่อมีความเข้มข้นสูงจะเกิด coupling reaction (intermolecular reaction) ใน polymer ดังนั้นของกรณี high dilution method ภาววิธานการเตรียม large membered ring ใน แผนผัง โดย Sieber เมื่อปี 6.258 ละใน solvent ที่มี  $\text{K}_2\text{CO}_3$  หรือ  $\text{OH}^-$  ด้วยอัตรา  $6.6 \times 10^{-4}$  (mol/L)/วินาที ใน 6.260 77% เมื่อ  $n=9$  และ main side product = dimeric ester 6.259

Relative preference ระหว่าง intramolecular และ intermolecular reactions ดังจะเห็นได้จาก

① effective molarity (EM)  $\Rightarrow EM = \frac{k_{\text{intra}}}{k_{\text{inter}}}$  ใช้ไม่ได้กับ 5-, 6-membered rings

$$\text{② } \frac{C_c}{M_0} = \frac{1}{2\alpha} \ln(1+2\alpha) \quad \text{เมื่อ } \alpha = \frac{M_0}{(k_R/k_P)}$$

$$\text{③ } \frac{\eta_c}{\eta_m} = \frac{2}{1 + \sqrt{1 + 8\nu_f k_P/k_R}} = \frac{2}{1 + \sqrt{1 + 8\beta}}$$

$M_0 =$  initial concentration ของ monomer  
 $\eta_c =$  จำนวนโมลของ cyclic monomer ที่เกิดขึ้น  
 $\nu_f =$  constant feed rate ในหน่วย mol L<sup>-1</sup> s<sup>-1</sup>  
 $\beta = \nu_f \frac{k_P}{k_R}$  ไม่ขึ้นหน่วย

Figure 6.3 ใน แผนผัง แสดง reactivity ของการเกิด lactone ที่มี ring size ต่างกัน จะเห็นว่าเกิด 5-membered ring มี reactivity สูงที่สุด

Figure 6.4 ใน แผนผัง แสดง  $\Delta H^\ddagger$  ของการเกิด lactone ที่มี ring size ต่างกัน จะเห็นว่า cyclic compounds มี  $\Delta H^\ddagger$  มากกว่า linear compounds

หรือใน แผนผัง เมื่อ chain ยาวขึ้น  $\Delta H^\ddagger$  ของการเกิด lactone จะลดลง โดย 18-23-membered ring มี  $\Delta H^\ddagger \approx \Delta H^\ddagger_{\text{inter}}$

• Figure 6.5 ใน แผนผัง แสดง  $\Delta S^\ddagger$  ของการเกิด lactone ที่มี ring size ต่างกัน จะเห็นว่าเกิด ring จะมี  $\Delta S^\ddagger < 0$

สำหรับ  $C_3-C_6$   $\Delta S^\ddagger$  จะไม่เกี่ยวข้องกันกับ ring size

- $C_3$  และ  $C_4$  solvation ของ reactive end ของ chain จะสำคัญมาก
- แต่  $> C_5$  solvation จะไม่เกี่ยวข้อง

## ตัวอย่างของ macrolactonization

- สำหรับ  $\omega$ -hydroxythioesters ใช้ mercury (II) ในกรณีที่มี functional groups ที่ปลายทั้งหัวและหางใกล้เคียงกัน  
ตัวอย่างใน แผ่นใส ใน 6.270 สูงถึง 90% yield โดยสารตั้งต้น thioester สามารถเปลี่ยนไปเป็น phosphonate ester  
ของ acid ที่จับกับ thallium salt ของ 2-methyl-2-propanethiol

- สำหรับ  $\omega$ -hydroxyacids ใช้ reagents 6.280 - 6.283 ใน แผ่นใส

6.280 = 2,2'-dipyridyl disulfide  $\Rightarrow$  Corey-Nicolaou reagent

6.281 = 2-chloro-1-methylpyridinium iodide  $\Rightarrow$  Mukaiyama reagent

6.282 = 2,2'-dithio-(4-*t*-butyl-1-isopropyl)imidazole

6.283 = *N*-(trimethylsilyl)imidazole

reagents เหล่านี้ทำให้เกิด macrolactonization ได้ mixture ของ products 6.276 และ diolide 6.277 ซึ่ง  
เกิดจาก intermolecular coupling ของ carboxylate 6.278 ตามด้วย macrolactonization โดยที่หมู่ diolides  
จะเกิดเป็นต่อมระฆัง 6-, 7-membered ring lactones และ ring ขนาดใหญ่เกิดได้ยากกว่า ring ขนาดเล็ก  
ดูตัวอย่างกรณี 6.280 สำหรับกรณี lactone ใน แผ่นใส

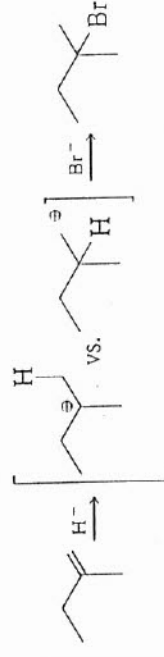
- สำหรับ  $\omega$ -hydroxyacids สามารถใช้ *n*-Bu<sub>2</sub>SnO (dibutyltin dioxide) ได้ด้วย ดังตัวอย่างใน แผ่นใส โดย Sn  
เกิด complex กับทั้ง carbonyl group และ OH group



## Stereocontrol in acyclic systems

### 1. Markovnikov/anti-Markovnikov

#### selectivity



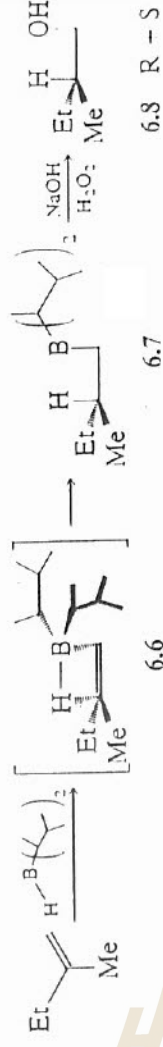
6.1

### 2. Retention vs inversion of configuration

### 3. Z-E selectivity

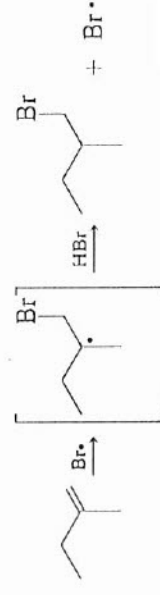
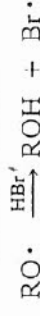
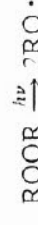
### 4. Syn-anti selectivity

### 5. Heteroatom chelation effects



6.8 R - S

6.7



6.9

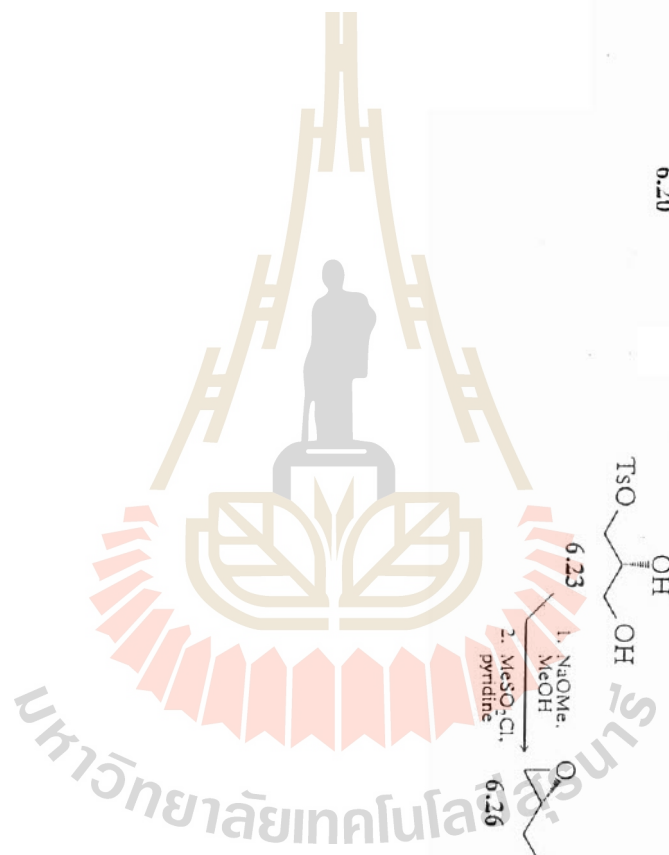
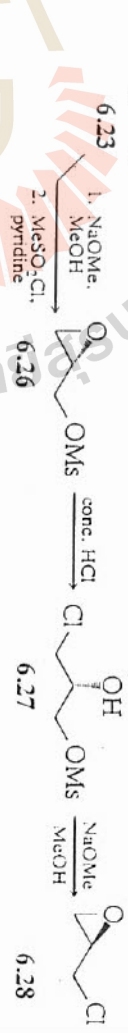
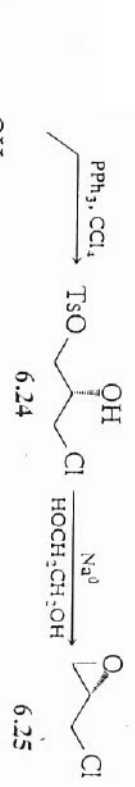
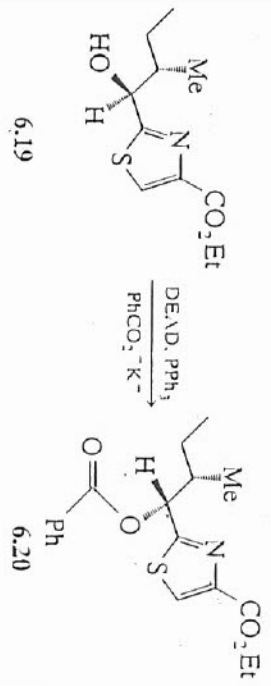
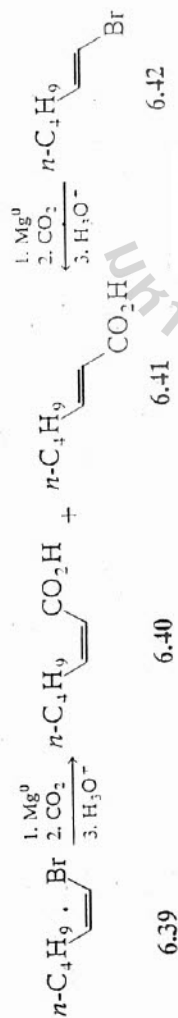


TABLE 8.8  
 Stereoselectivity in the formation of Grignard reagents  
 from stereochemically pure vinyl halides  
 and subsequent reaction with  $\text{CO}_2$ .



Halide	Z:E	RMgBr Z:E	RCOOH Z:E
(Z)-1-bromo-1-propene	98.5:1	80-90:20-10	85-95:undetected
(E)-1-bromo-1-propene	5:95	30-40:70-60	15-5:85-95
(Z)-1-bromo-1-hexene	97:1	75-85:25-15	45-55:55-45
(E)-1-bromo-1-hexene	1:99	40-50:60-80	35-5:65-55

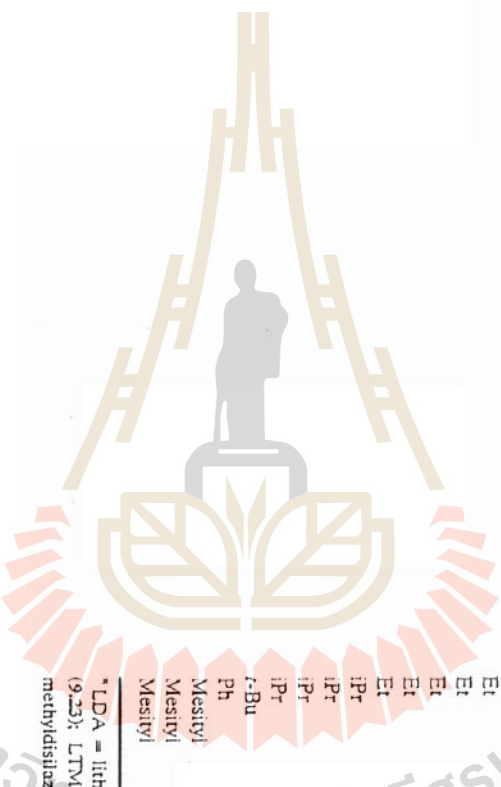
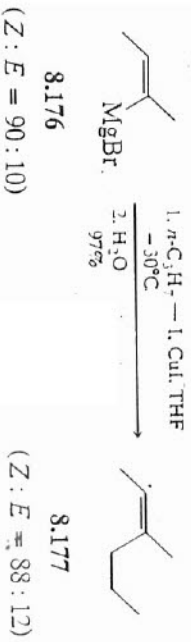
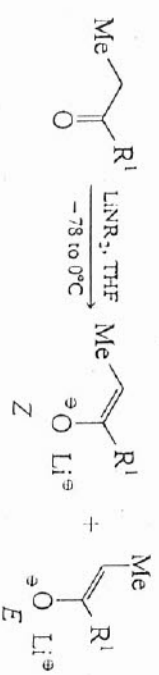
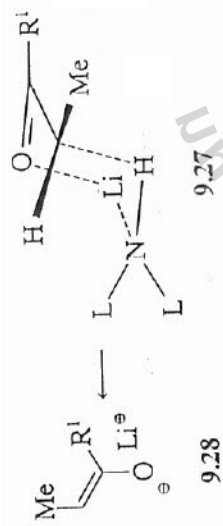
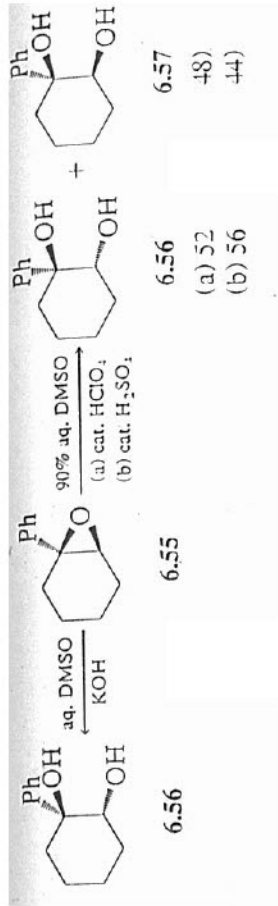


TABLE 9.3  
The influence of ketone structure and base on enolate geometry.

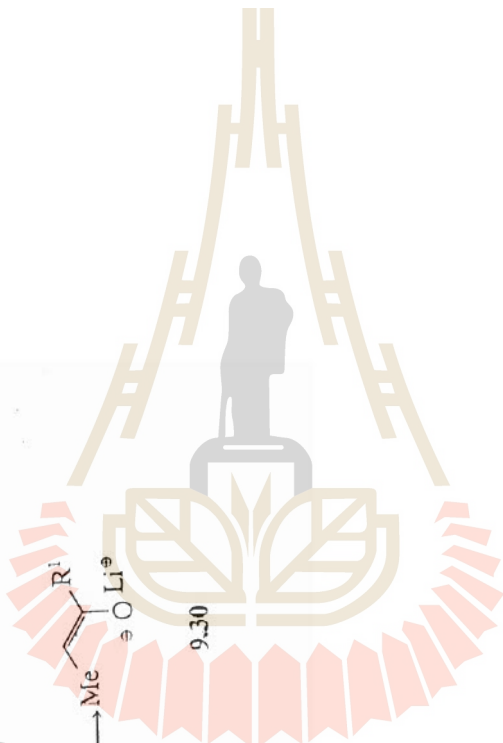


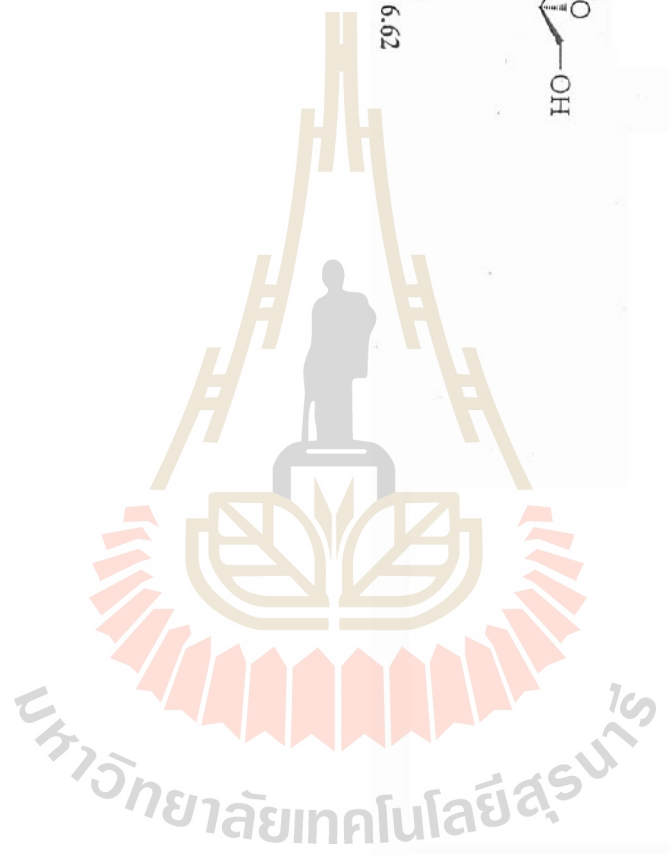
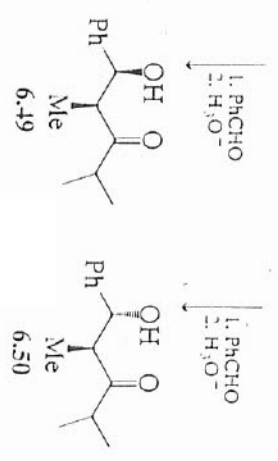
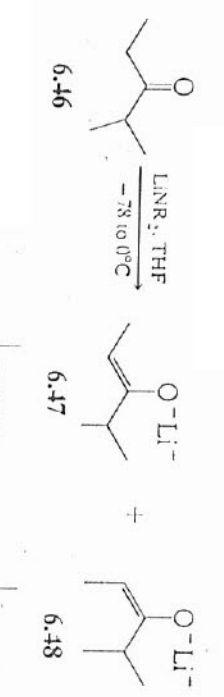
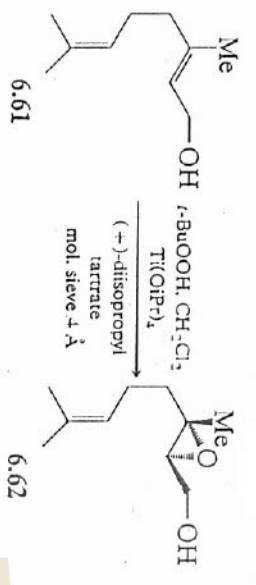
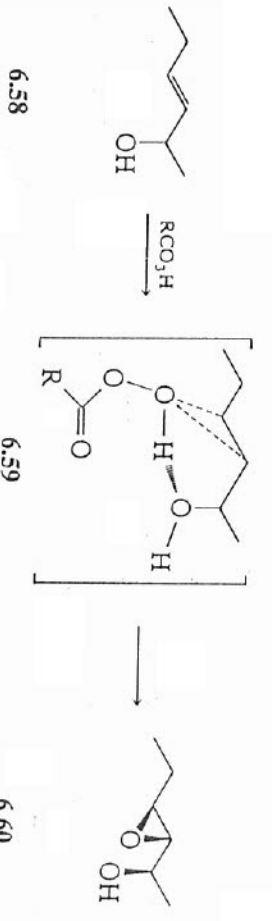
R <sup>1</sup>	LiNR <sub>2</sub> <sup>*</sup>	Z : E
Et	LTMP	14 : 86
Et	LTMP/HMPA	92 : 8
Et	LDA	23 : 77
Et	LICA	35 : 65
Et	LHDS	66 : 34
Et	(Me <sub>2</sub> PhSi) <sub>2</sub> NLi	100 : 0
i-Pr	LDA	60 : 40
i-Pr	LICA	59 : 41
i-Pr	LHDS	> 98 : 2
i-Pr	LTMP	32 : 68
t-Bu	LDA	> 98 : 2
Ph	LDA	> 98 : 2
Mesityl	LDA	5 : 95
Mesityl	LICA	4 : 96
Mesityl	LHDS	87 : 13

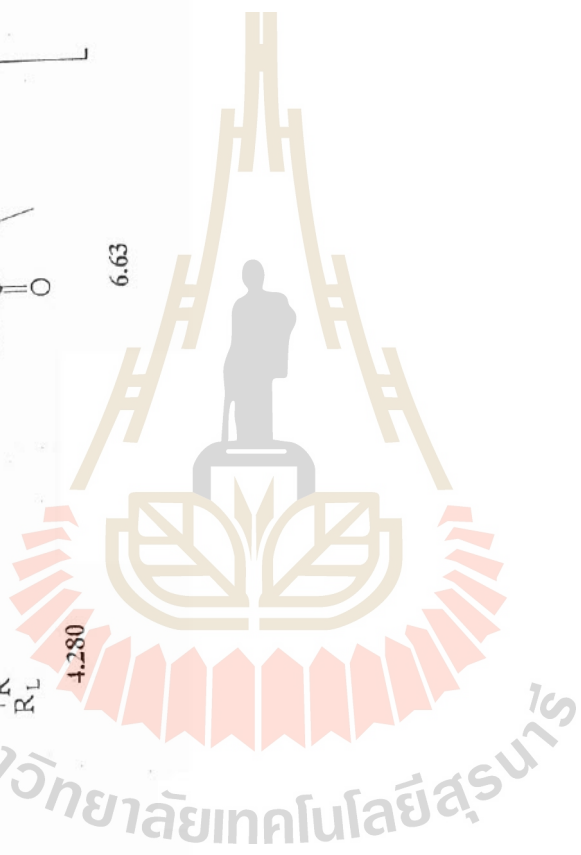
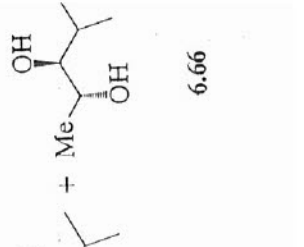
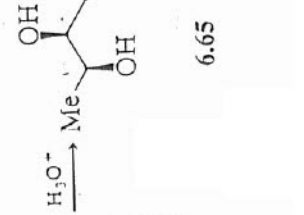
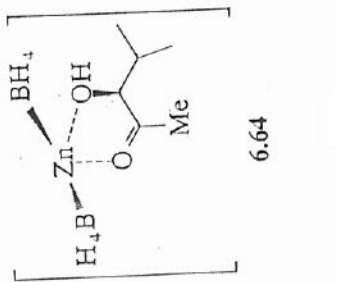
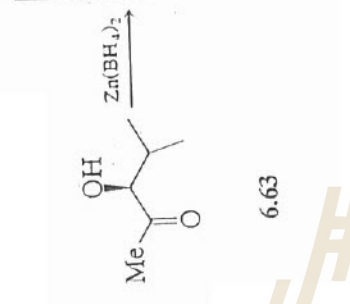
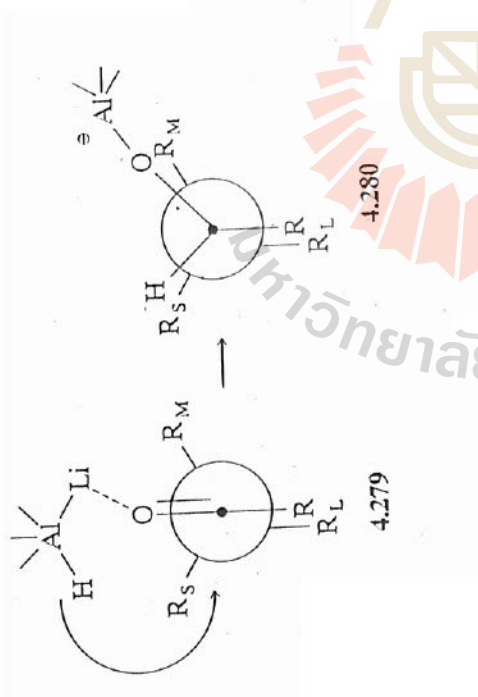
\* LDA = lithium diisopropylamide (9.15); LICA = lithium isopropylcyclohexylamide (9.23); LTMP = lithium 2,2,6,6-tetramethylpiperdide (9.17); LHDS = lithium hexamethyldisilazide (9.18).



มหาวิทยาลัยเทคโนโลยีสุรนารี







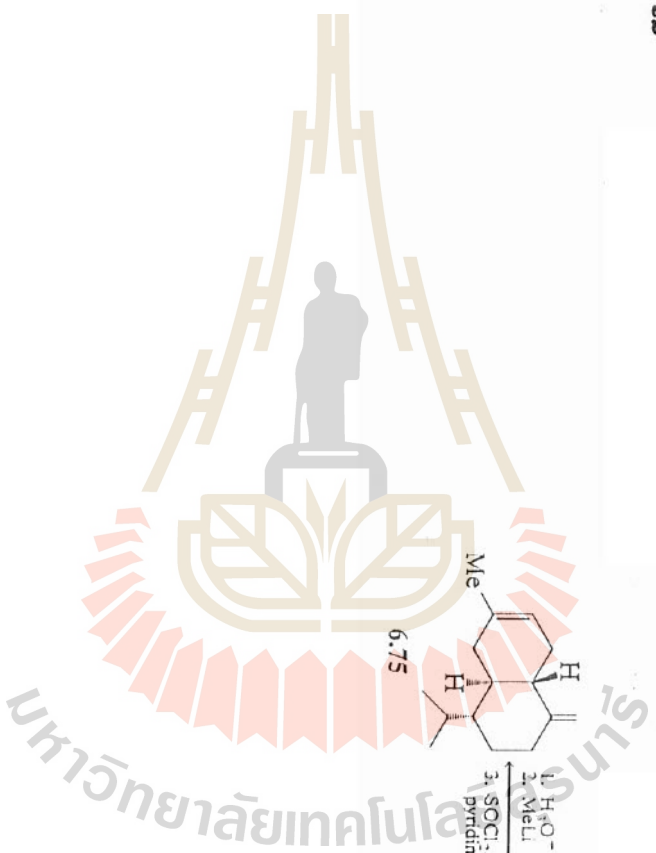
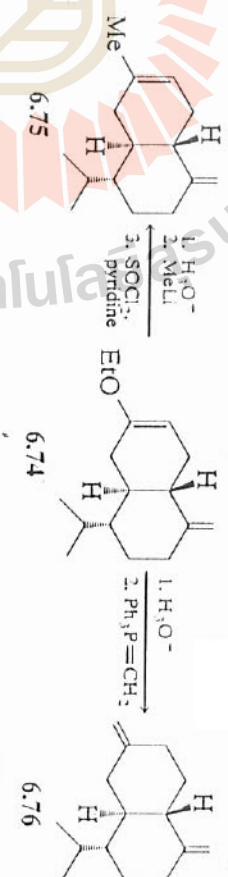
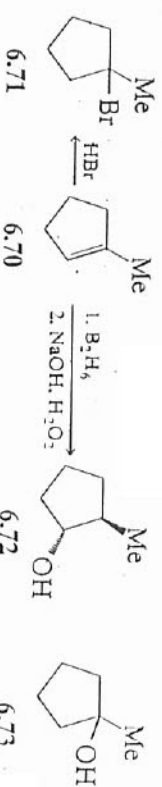
1. Markovnikov / anti-Markovnikov selectivity

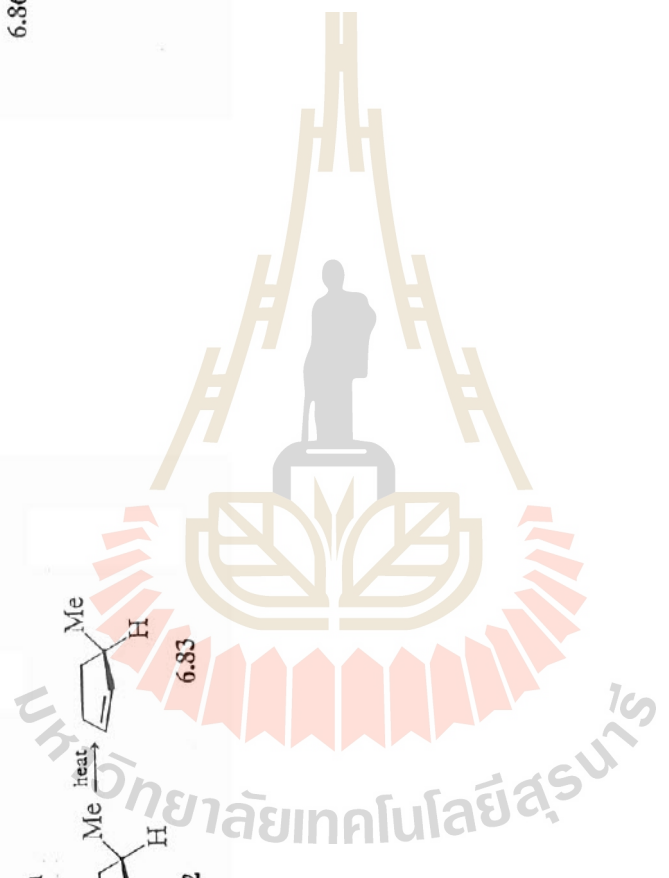
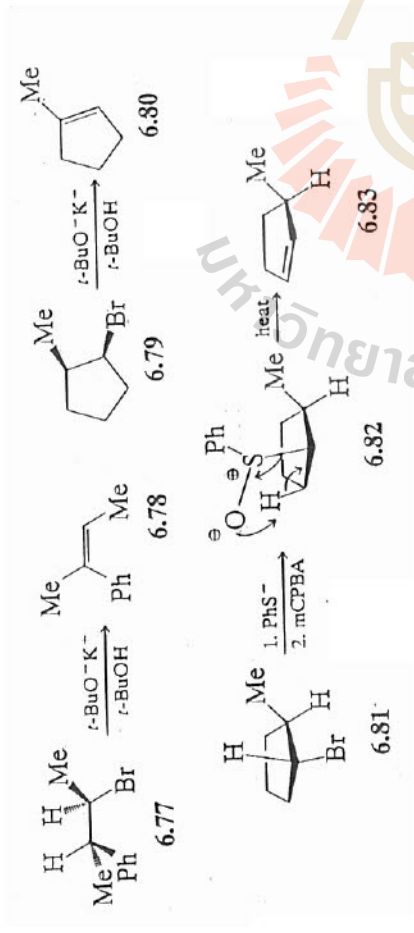
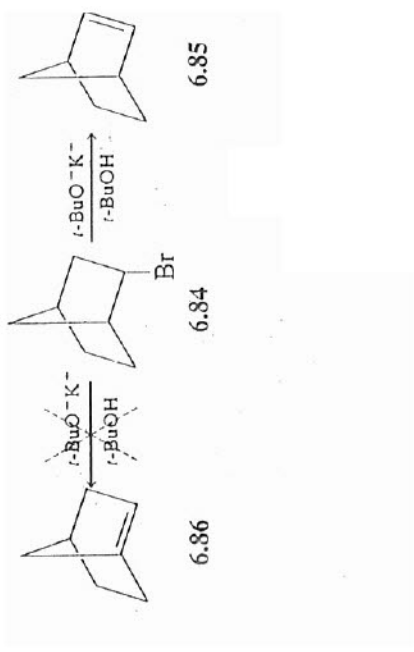
2. การเลือก double bond ในการ

3. Diastereocontrol

4. Diastereoselectivity

5. Heteroatom chelation effects





มหาวิทยาลัยเทคโนโลยีสุรนารี

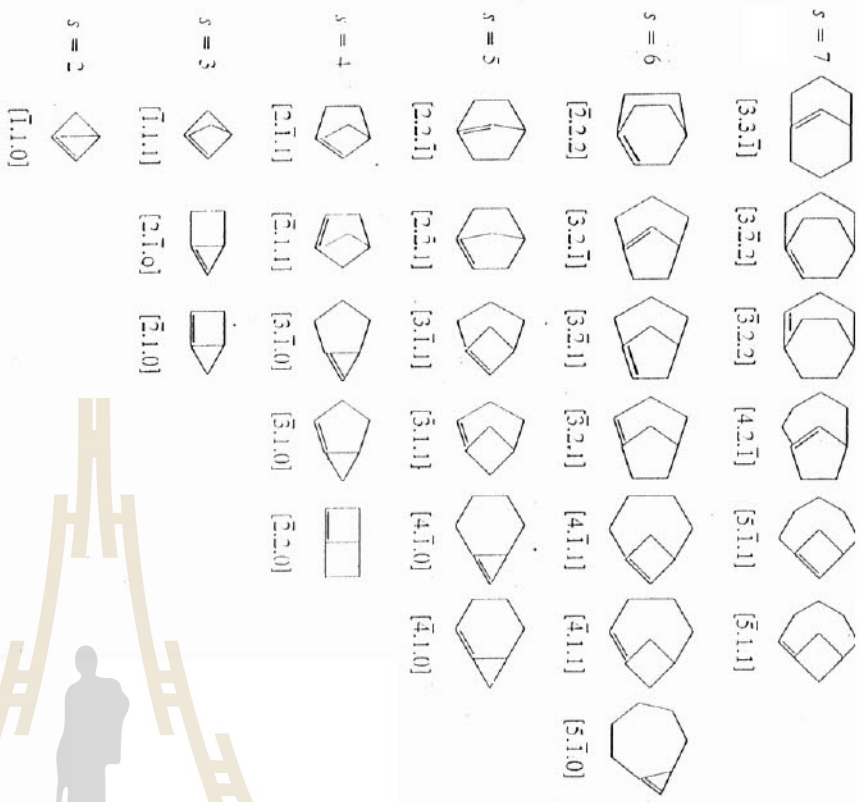
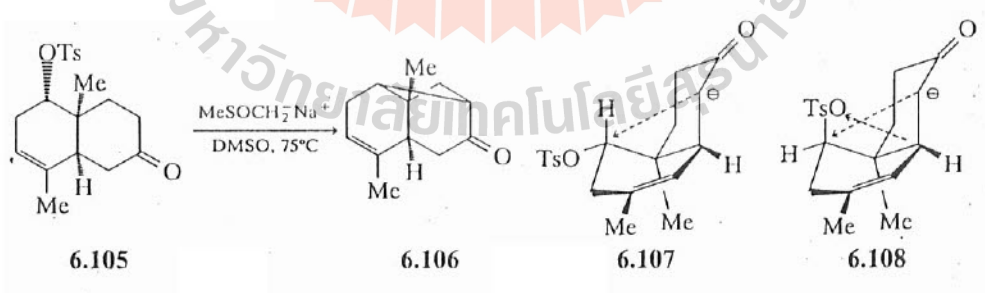
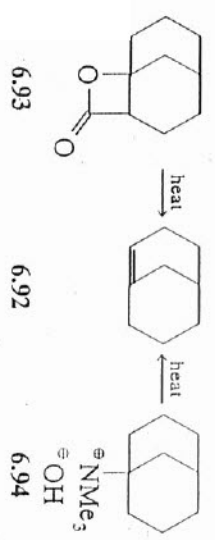
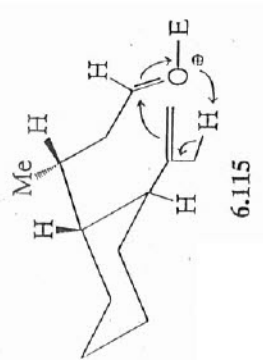
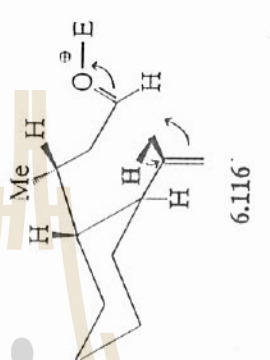
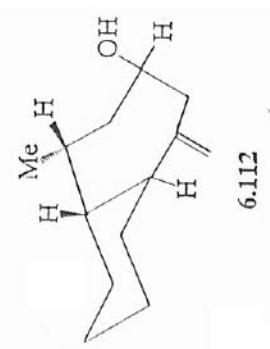
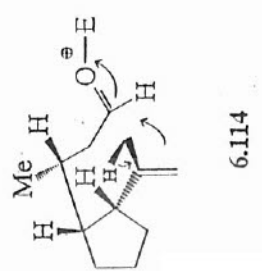
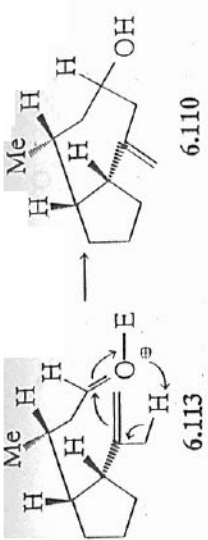
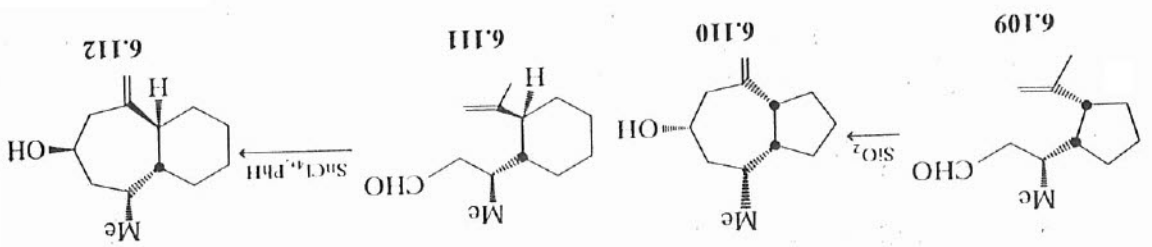


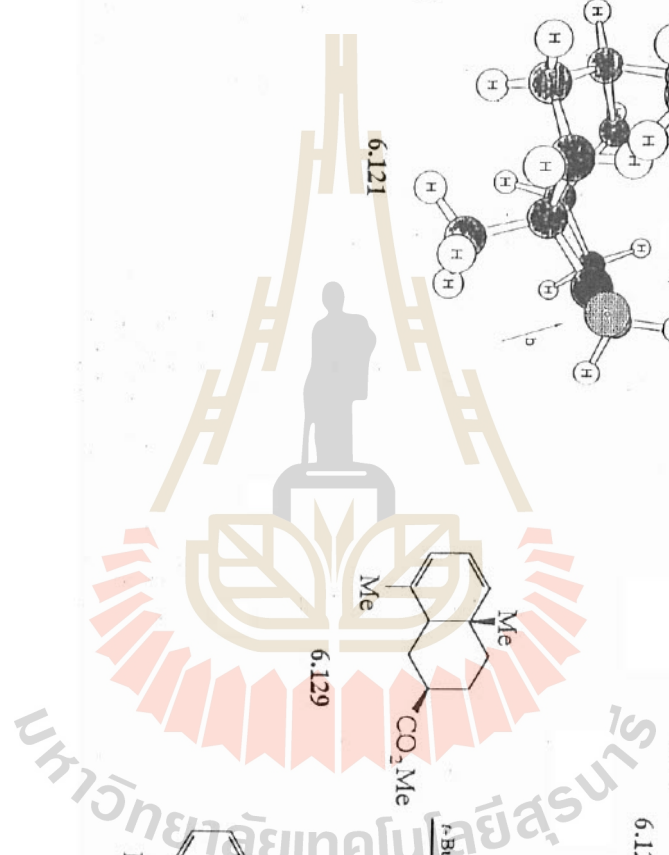
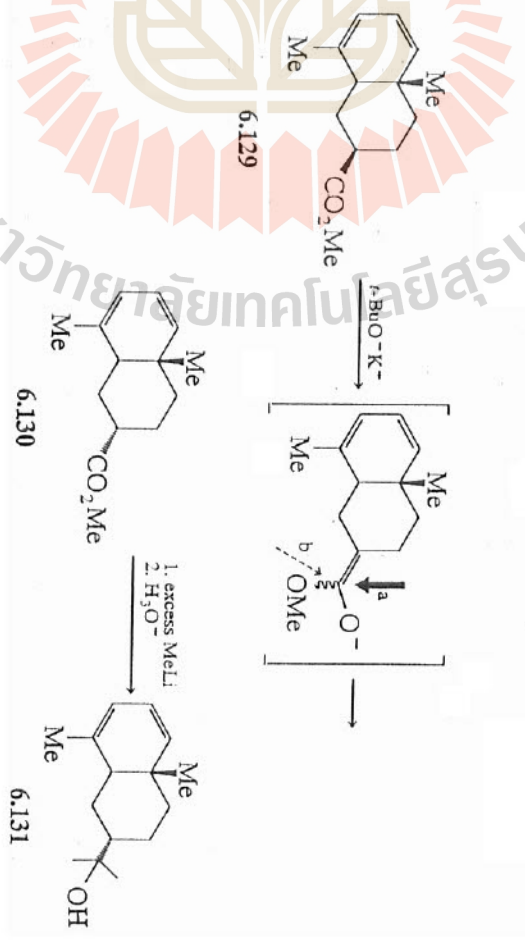
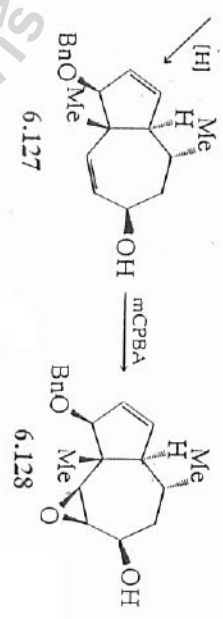
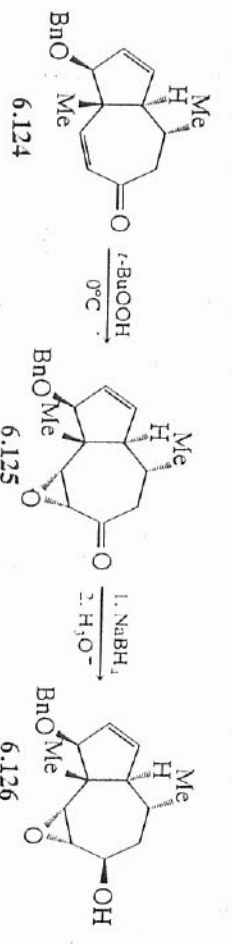
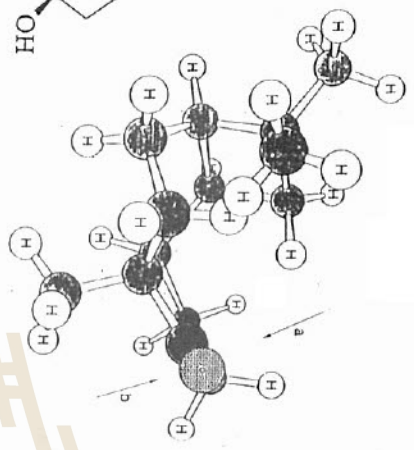
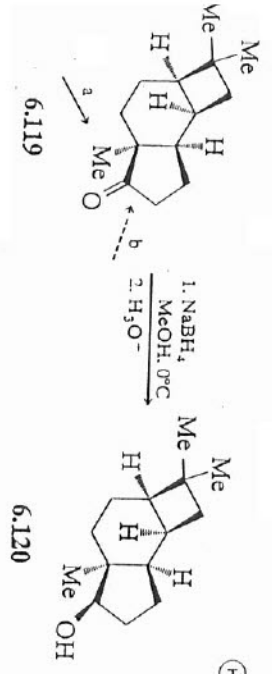
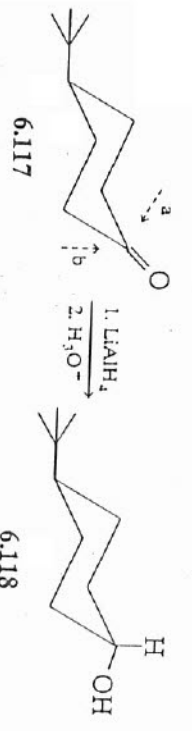
FIGURE 6.1  
 Typical Bredt alkenes. Reproduced with permission from Köbrich, G.; Hrgovc, Chem. Int. Ed., Engl., 1973, 12, 464. Copyright 1973 VCH Weinheim.

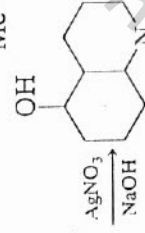
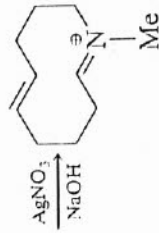
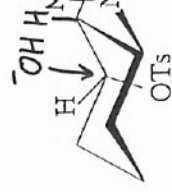
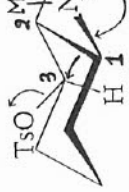
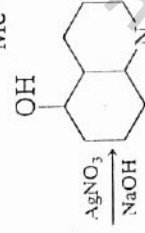
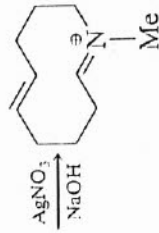
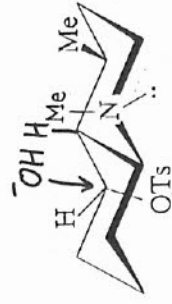
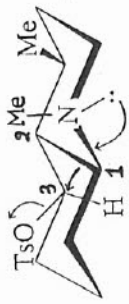




มหาวิทยาลัยเทคโนโลยีสุรนารี



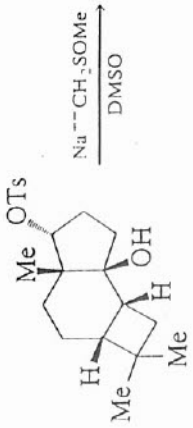




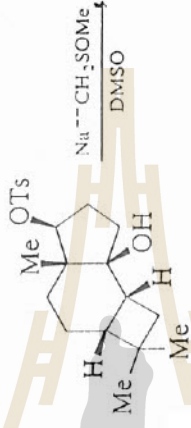
2.238

2.239

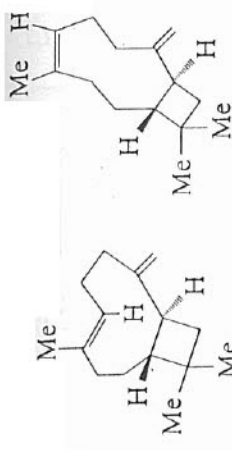
2.240



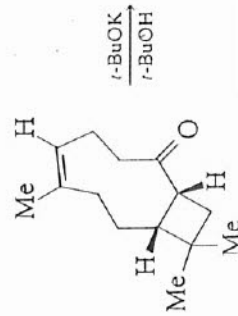
6.142



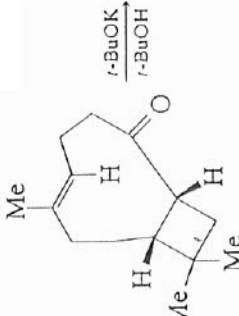
6.145



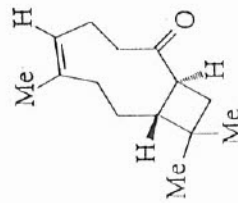
6.141



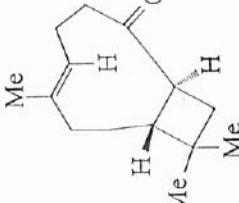
6.143



6.146

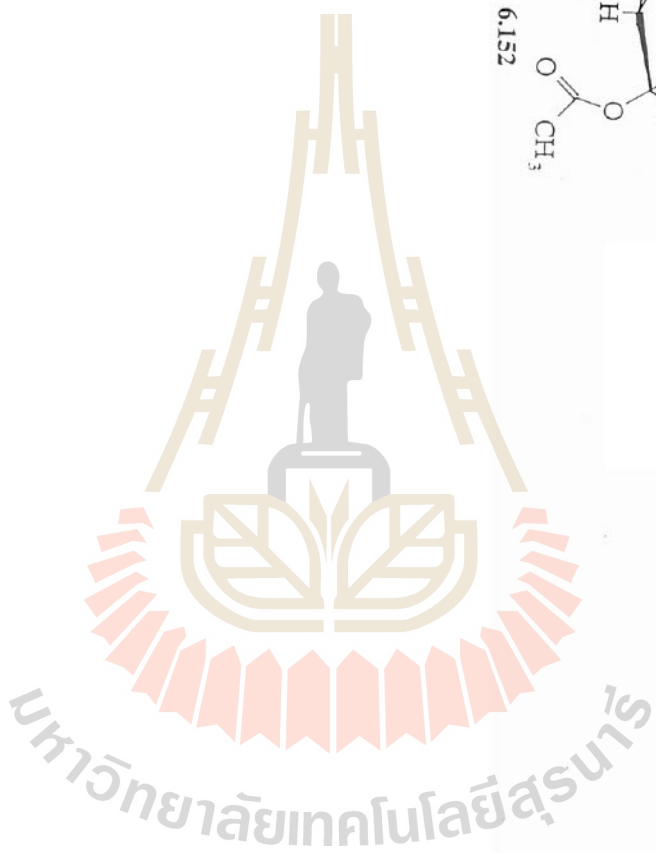
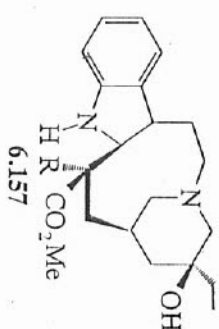
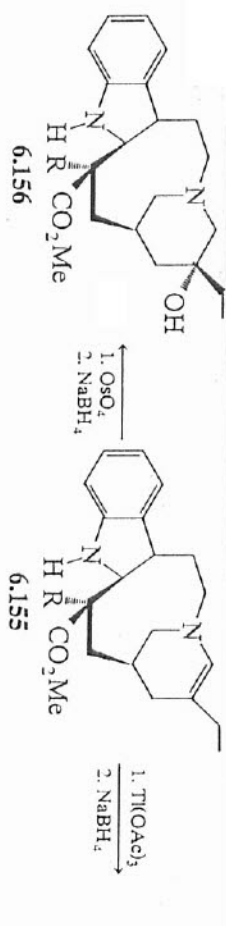
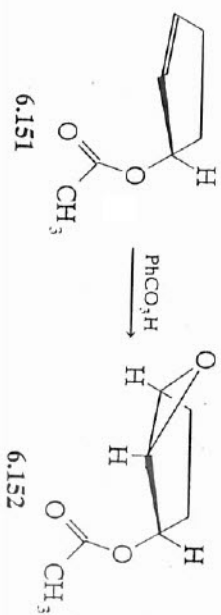
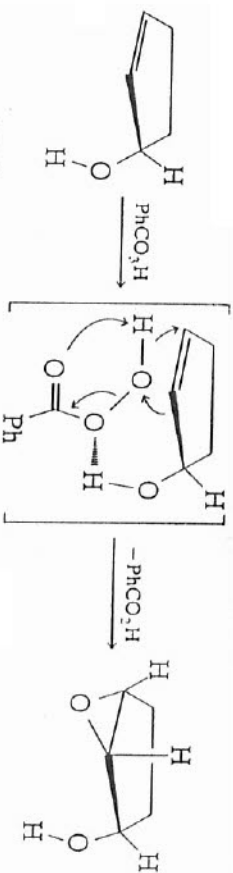


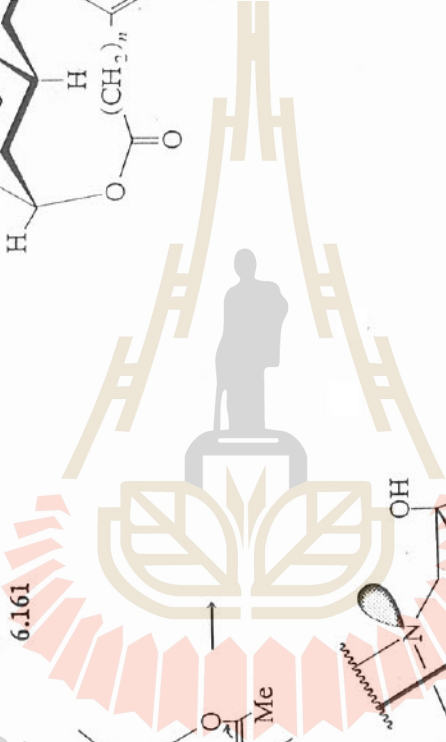
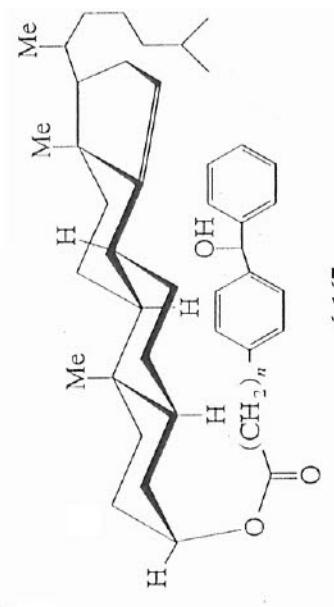
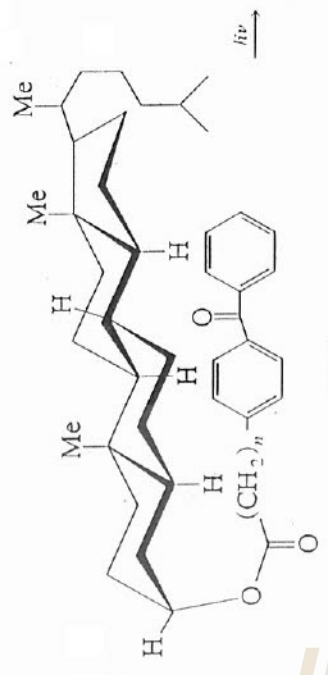
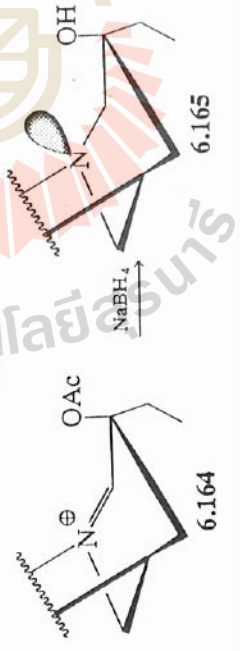
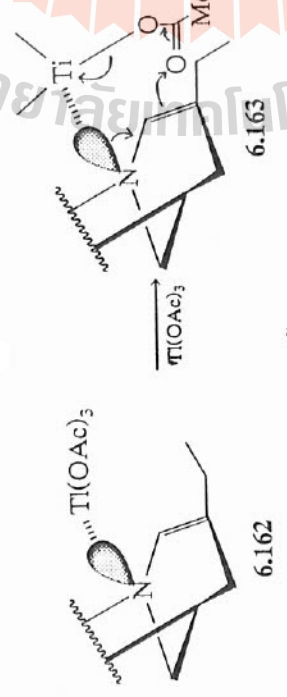
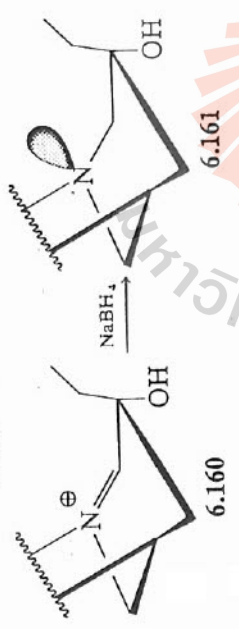
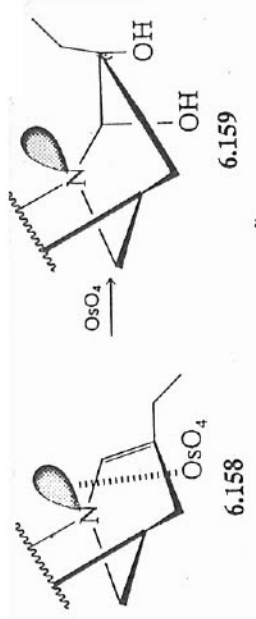
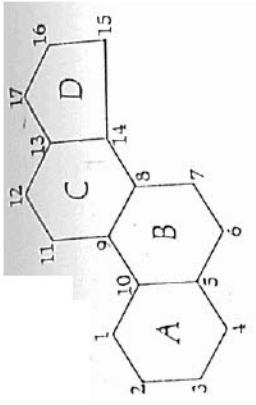
6.144

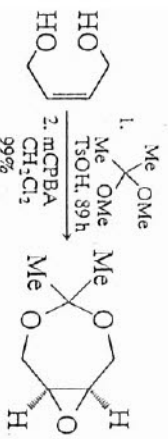


6.147

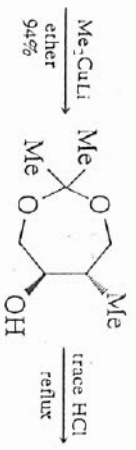




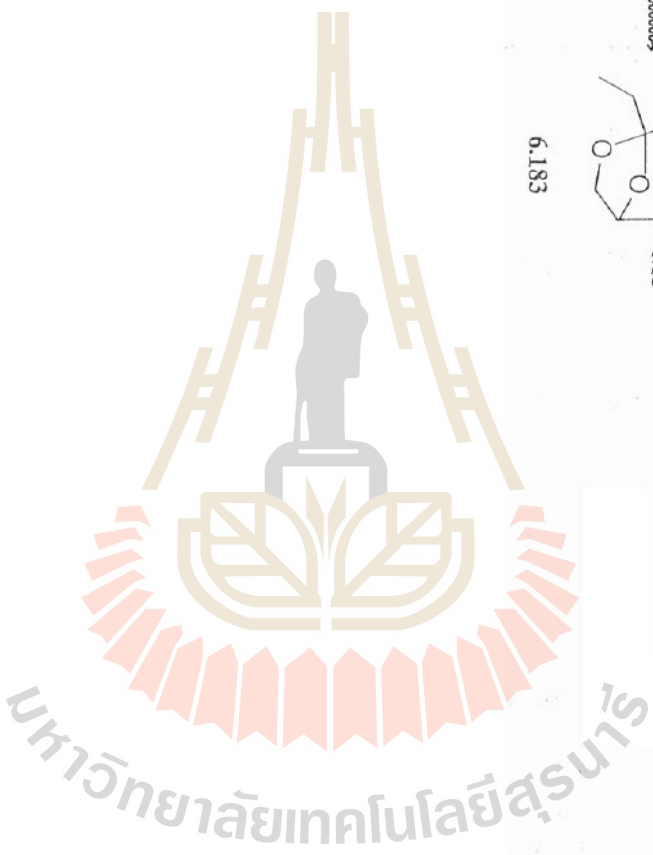
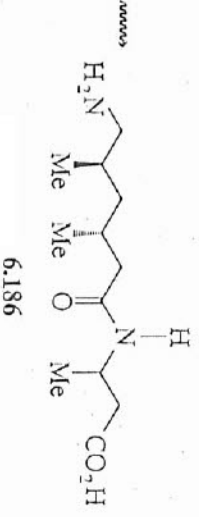
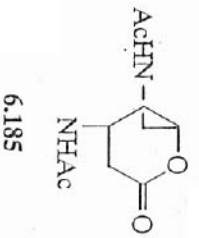
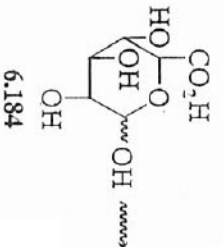
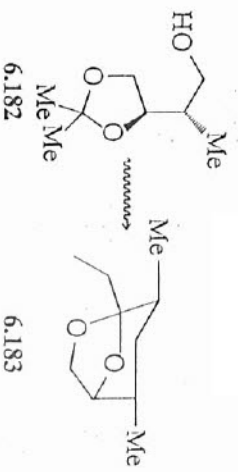


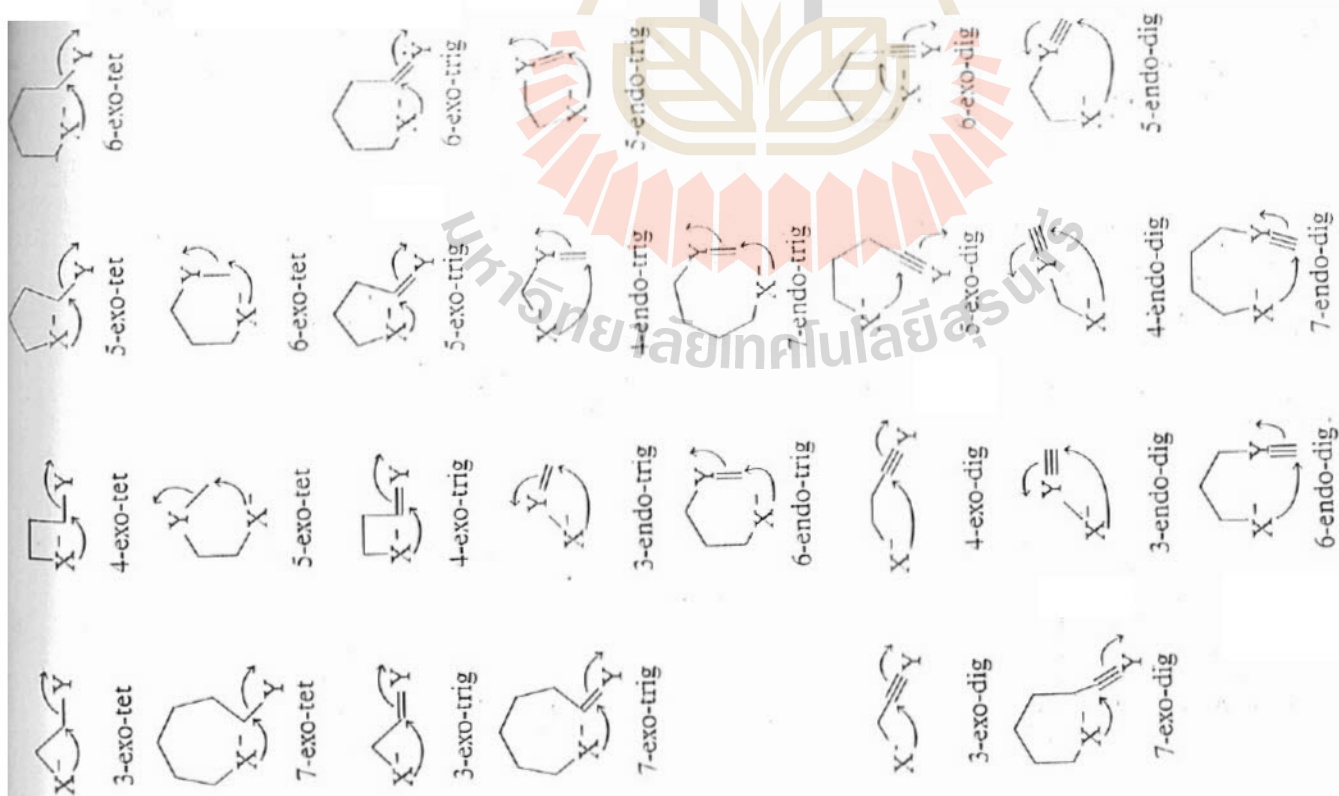


6.180



6.181

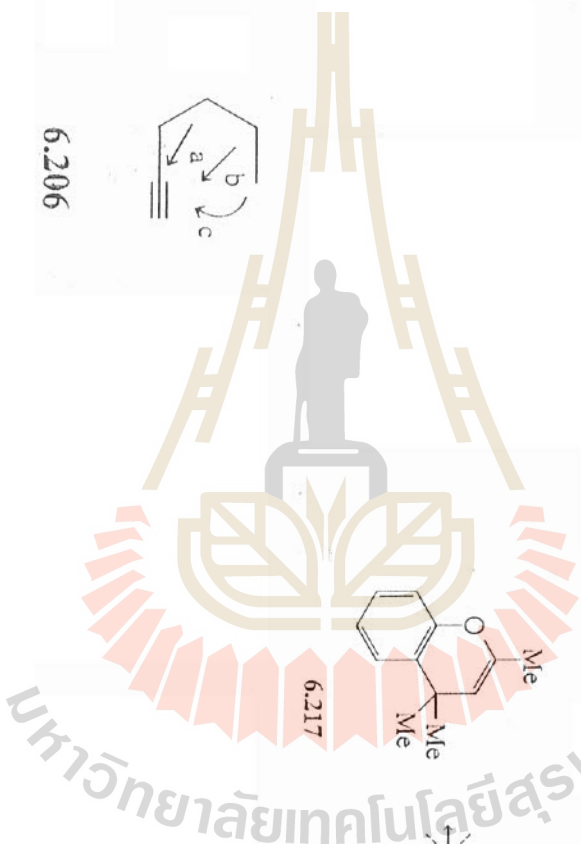
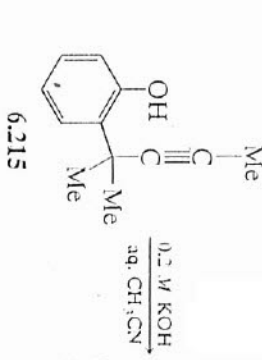
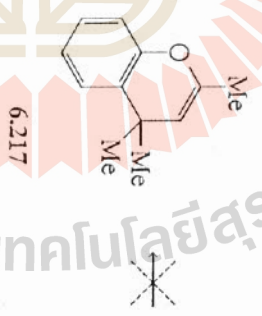
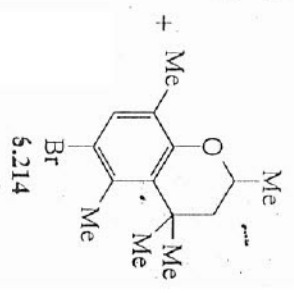
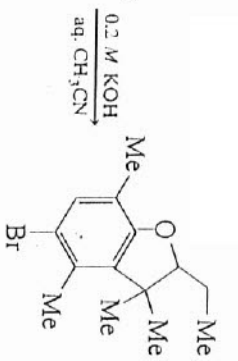
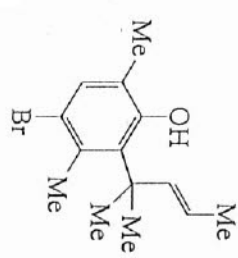
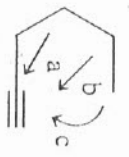
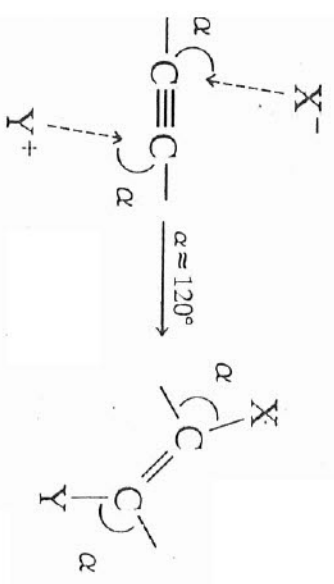
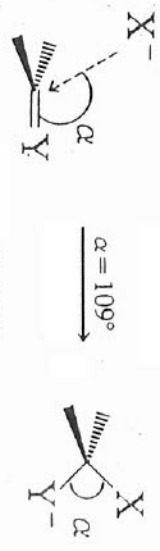


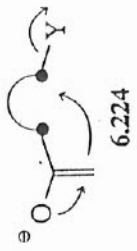
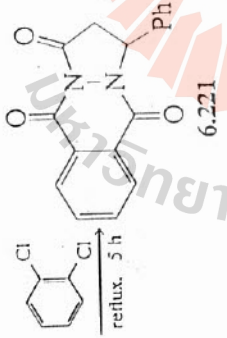
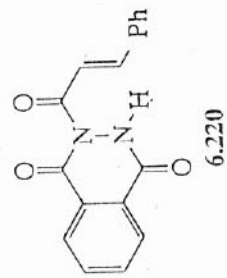
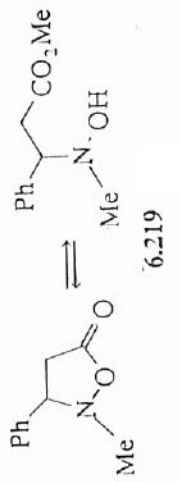
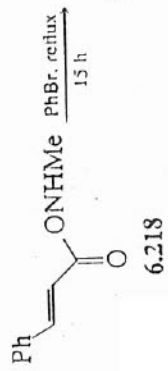


### Baldwin's rules:

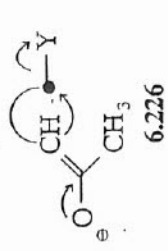
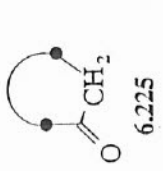
- (1) For tet systems:
  - 3-7-exo-tet are favored,
  - 5-6-endo-tet are disfavored.
- (2) For trig systems:
  - 3-7-exo-trig are favored,
  - 6-7-endo-trig are favored,
  - 3-5-endo-trig are disfavored.
- (3) For dig systems:
  - 5-7-exo-dig are favored,
  - 3-7-endo-dig are favored,
  - 3-4-exo-dig are disfavored.

FIGURE 6.2  
Ring closures categorized by Baldwin's rules.

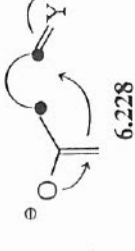
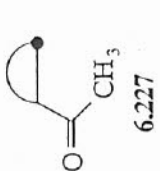




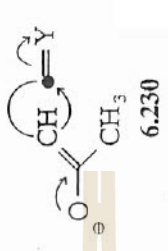
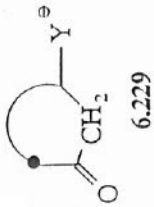
enolendo-exo-tet



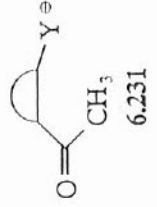
enolexo-exo-tet



enolendo-exo-trig

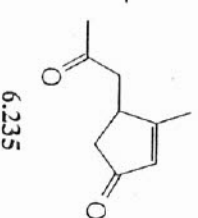
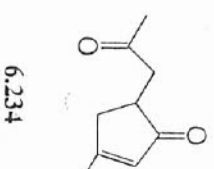


enolexo-exo-trig

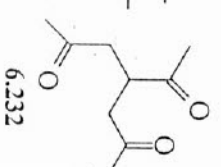


มหาวิทยาลัยเทคโนโลยีสุรนารี

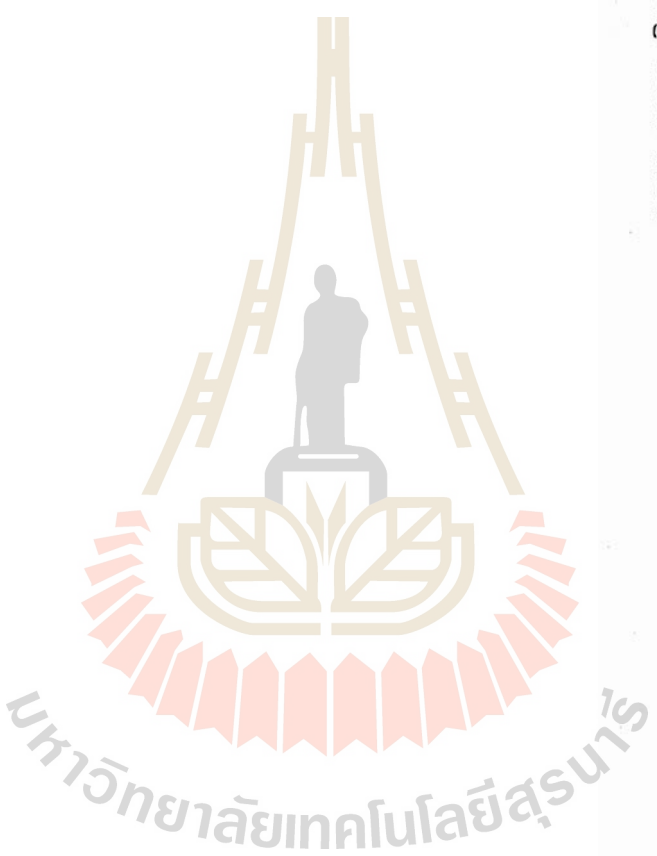
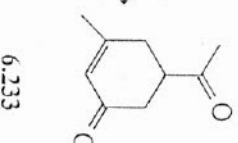
- 6-7-enolendo-exo-tet favored
- 3-5-enolendo-exo-tet disfavored
- 3-7-enolexo-exo-tet favored
- 3-7-enolexo-exo-trig favored.
- 6-7-enolendo-exo-trig favored
- 3-5-enolendo-exo-trig disfavored

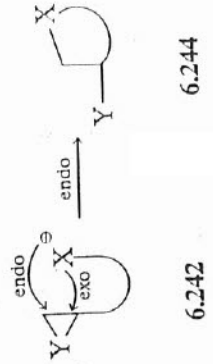
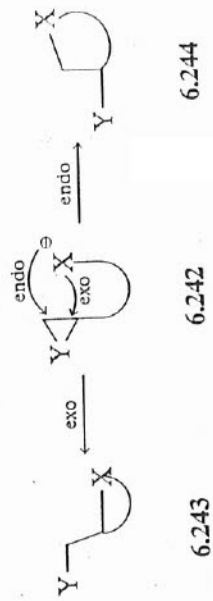
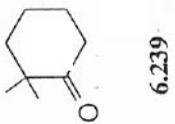
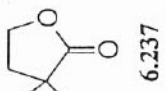
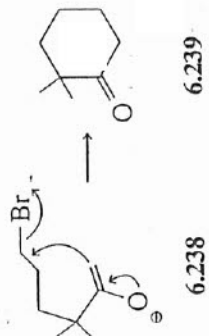
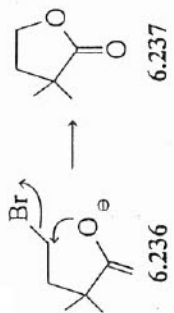
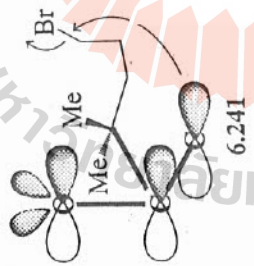
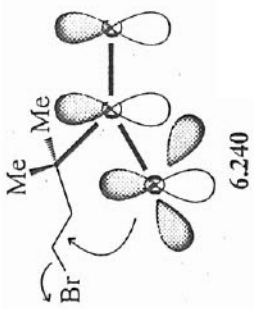


3-enolendo-  
exo-trig

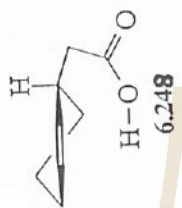
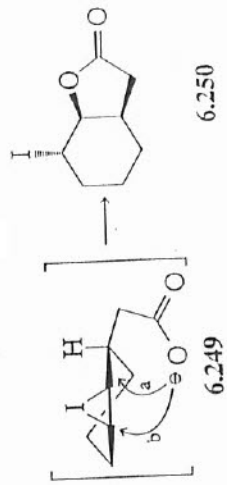


6-enolendo-  
exo-trig

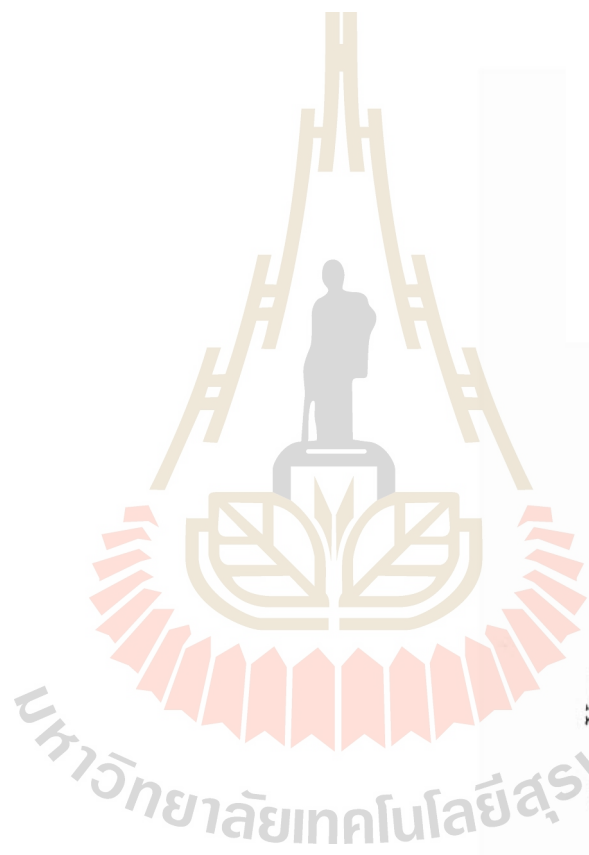
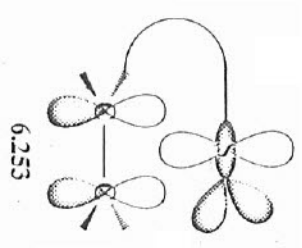
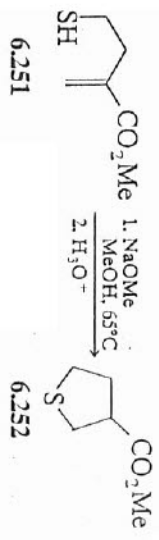




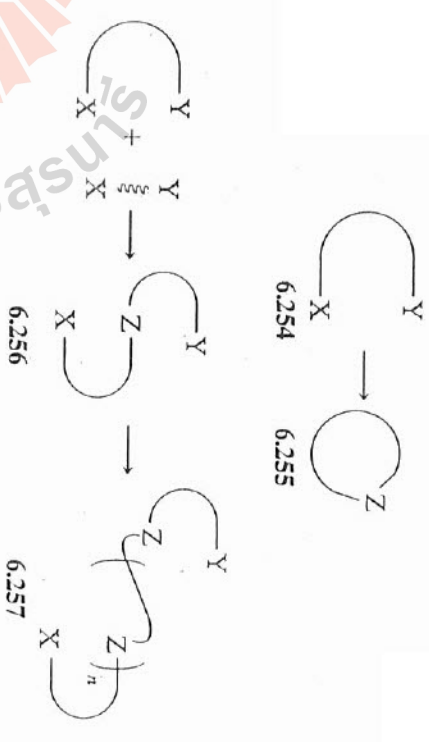
6.244



6.250



มหาวิทยาลัยเทคโนโลยีสุรนารี



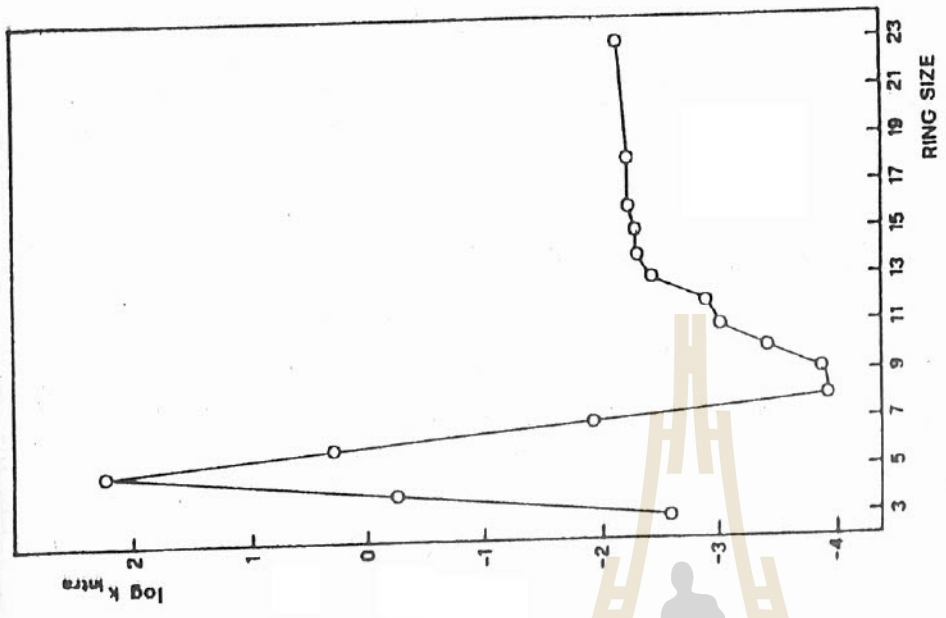
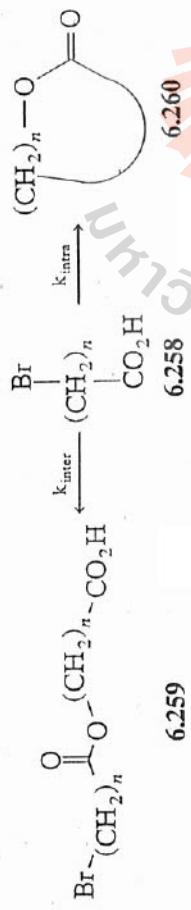


FIGURE 6.3  
 Reactivity profile for lactone formation. "Reprinted with permission from Illuminati, G.; Mandolini, L. *Accts. Chem. Res.*, 1981, 14, 95. Copyright 1981 American Chemical Society."

มหาวิทยาลัยเทคโนโลยีสุรนารี

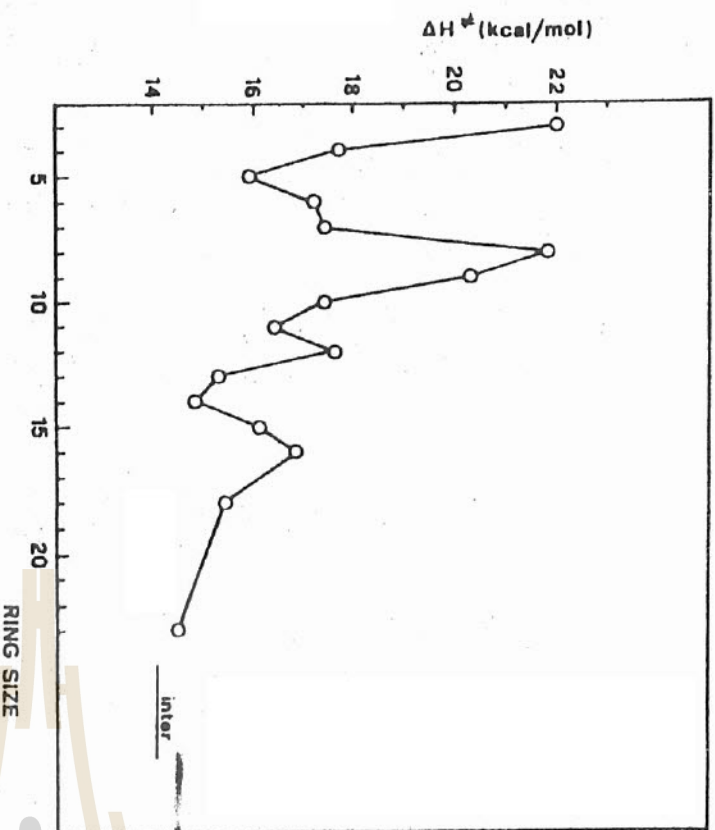


FIGURE 6.4  
 $\Delta H^\ddagger$  profile for lactone formation. "Reprinted with permission from Illuminati, G.; Mandolini, L.  
*Accs. Chem. Res.*, 1981, 14, 95. Copyright 1981 American Chemical Society."

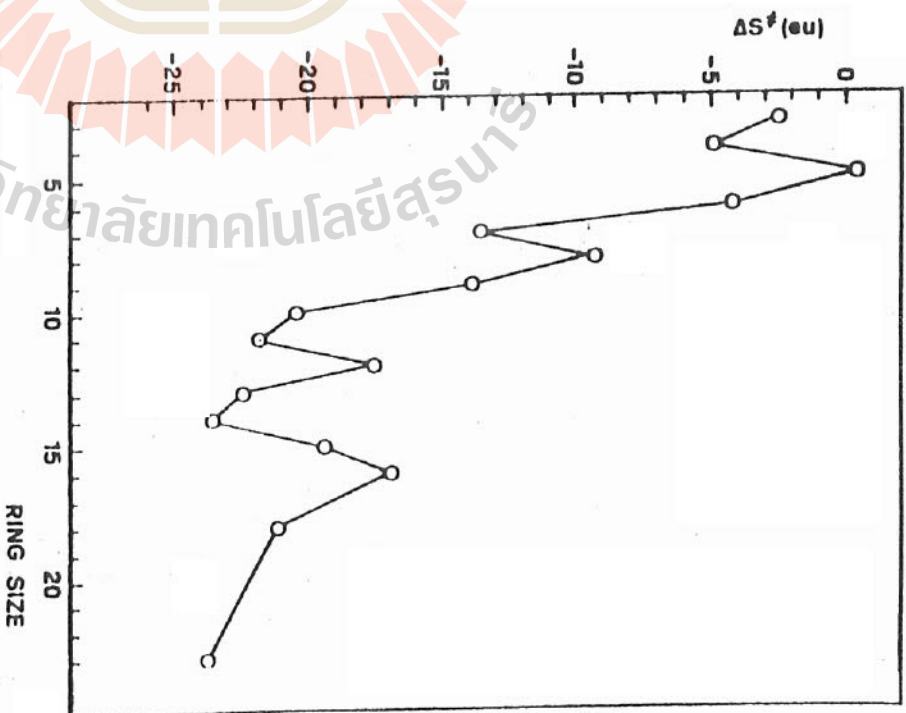
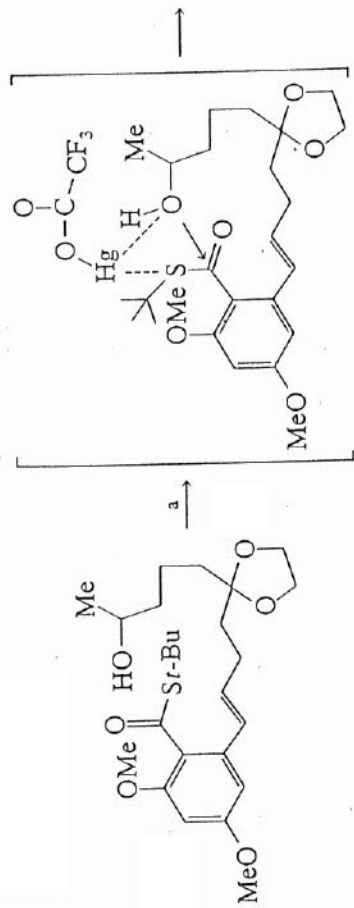
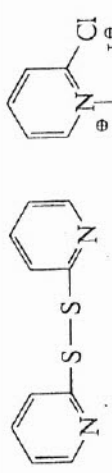
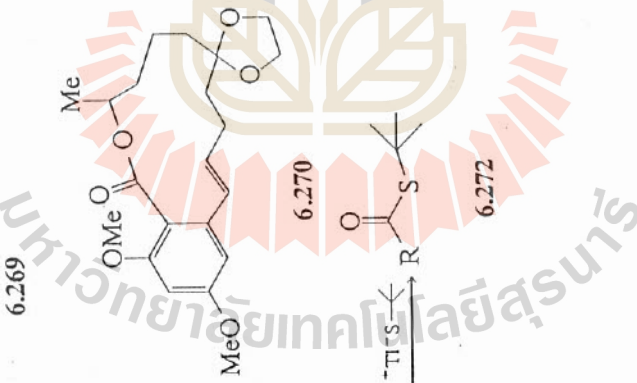


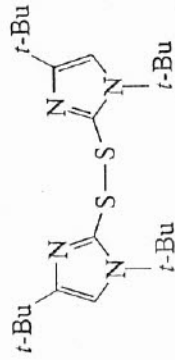
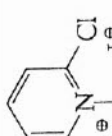
FIGURE 6.5  
 $\Delta S^\ddagger$  profile for lactone formation. "Reprinted with permission from Illuminati, G.; Mandolini, L.  
*Accs. Chem. Res.*, 1981, 14, 95. Copyright 1981 American Chemical Society."



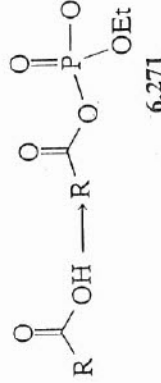
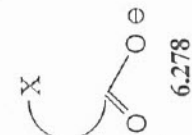
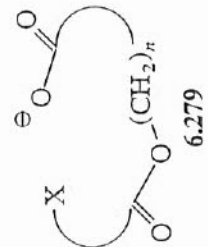
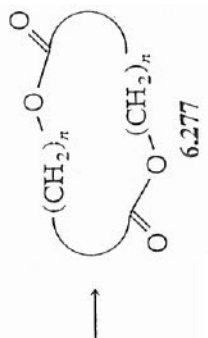
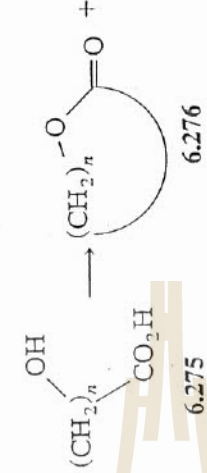
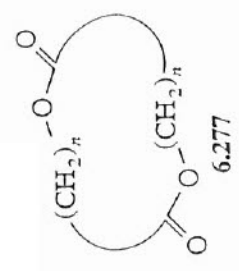
(a)  $\text{Hg}(\text{O}_2\text{CCF}_3)_2$ ,  $25^\circ\text{C}$ ,  
5 min,  $> 90^\circ$



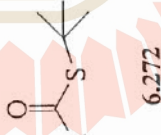
6.281



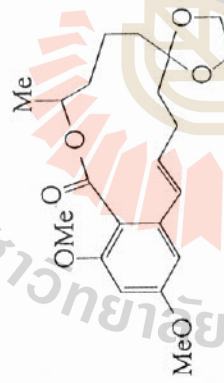
6.283



6.272



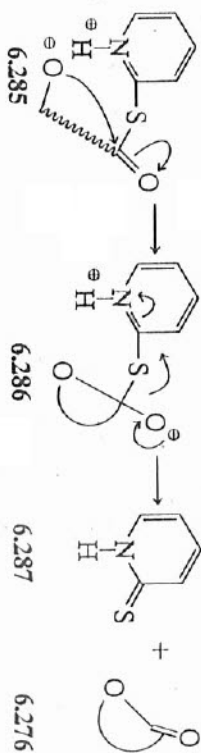
6.270





6.280

6.284

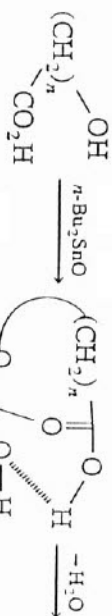


6.285

6.286

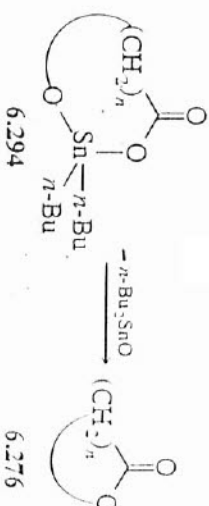
6.287

6.276



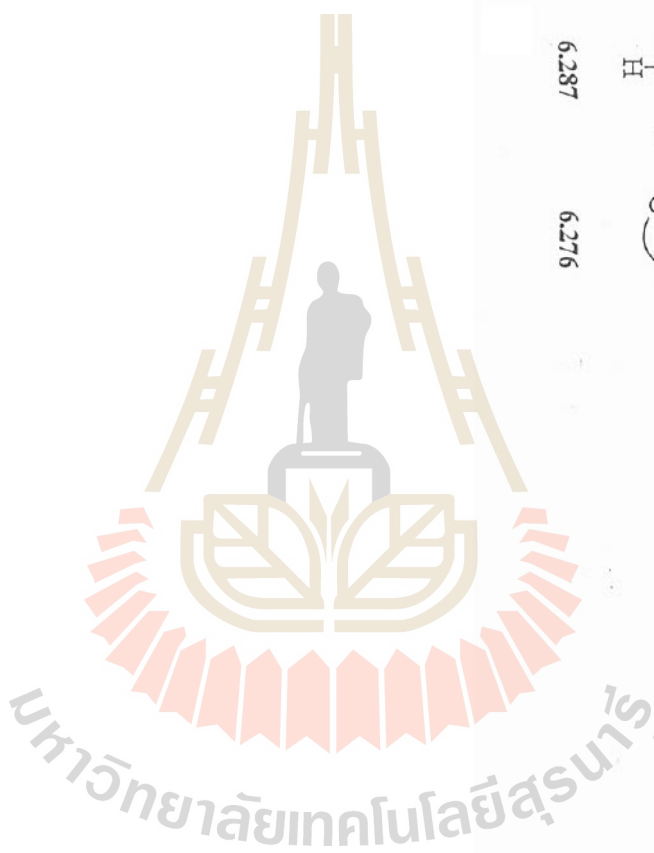
6.275

6.293



6.294

6.276



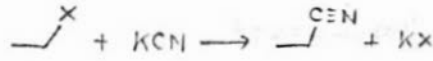
Nucleophilic species that form carbon-carbon bonds

โดยทั่วไป nucleophilic carbon = organometallic compound เมื่อ metal = Mg, Li, Na, K, transition metal

① Cyanide (N≡C<sup>-</sup>)

Reactions of cyanide

1.1 nitrile formation



"S<sub>N</sub>2 reaction" เกิดได้ดีกับ 1°, 2° substrates

X = Br, Cl, I, OSO<sub>2</sub>R (sulfonate esters)

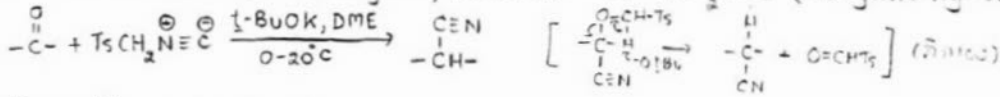
3° substrates จะเกิด elimination ใน alkene

ต้องใช้ polar aprotic solvents เช่น DMSO, DMF, THF จะทำได้ดี yield ได้มากขึ้น

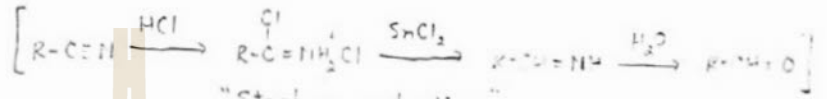
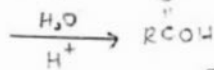
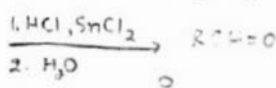
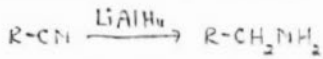
ดูตัวอย่างปฏิกิริยาในแบบฝึก 2 ปฏิกิริยาแรก ใช้ classical conditions ปฏิกิริยาหลัง ใช้ polar aprotic solvent

4 ใช้ phase transfer catalysis โดย 2 ปฏิกิริยาหลังใน yield สูง ปฏิกิริยาหลังใช้ mechanism of trifluoromethylation

กับรับ substrates ที่เป็น aldehydes, ketones ใช้ TsCH<sub>2</sub>N≡C<sup>-</sup> (tosylmethylisocyanide = Tosmic)



Transformation of CN group



"Stephen reduction"

1.2 isocyanide formation (R-N≡C<sup>+</sup>)

และทำปฏิกิริยา nucleophilicity

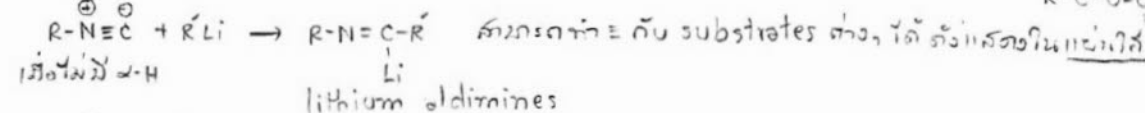
conditions ที่ทำปฏิกิริยาเกิด isocyanides 1. ใช้ KCN, NaCN ใน refluxing alcohol → nitriles + isocyanides (หรือ isocyanides) 2. ใช้ AgCN หรือ C-Ag กับ alkyl halides covalent bond จะทำปฏิกิริยาได้

จะเกิด isocyanides มากกว่า nitriles เพราะ C-K, C-Ha จะเป็น ionic bond จะเกิด nitriles มากกว่า

1. hydrolysis ด้วย cold H<sup>+</sup>/H<sub>2</sub>O → R-NH<sub>2</sub> + HCOOH ใน nitriles ปกติเกิด nitriles

2. thermolysis ด้วยอุณหภูมิตั้ง 140-240°C ทำให้ isocyanides rearrange เป็น nitriles ด้วยตัวเร่งปฏิกิริยา

Transformation of isocyanides



1.3 Rosenmund-von Braun reaction



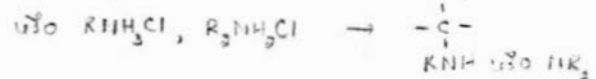
ถ้าใช้ KCN, NaCN ปฏิกิริยาไม่เกิด, มาเติม amine จะทำปฏิกิริยาเกิด

1.4 Strecker synthesis ใช้ได้ทั้ง aliphatic และ aromatic aldehydes และ ketones



หรือ NH<sub>3</sub> + HCN

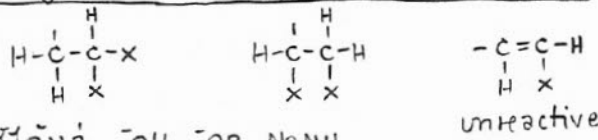
หรือ NH<sub>4</sub>CN



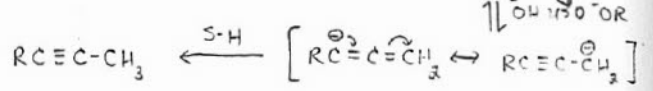
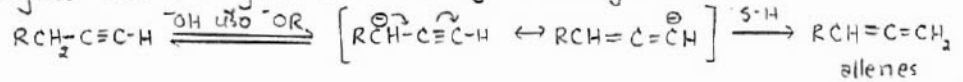
3) Acetylides  $RC\equiv CH \xrightarrow{\text{base}} RC\equiv C^{\ominus}M^{\oplus}$  base ที่ใช้ได้แก่  $NaH, LiNH_2, NaNH_2, KNH_2, LiNR_2, RLi, RMgBr$

2.1 การเตรียม terminal alkynes

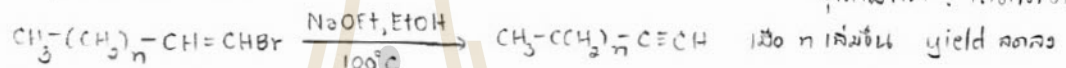
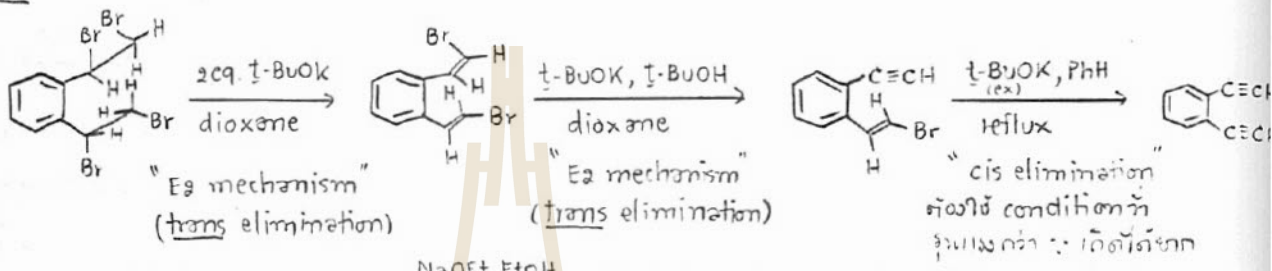
2.1.1 Dehydrohalogenation ของ dihalides และ vinyl halides สามารถทำได้แก่



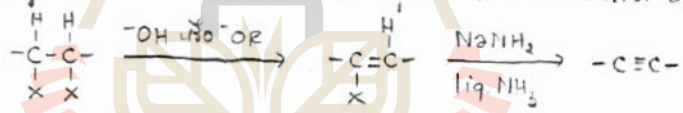
base ที่ใช้ได้แก่  $OH^-, OR^-, NaNH_2$  stronger base ใช้ mild condition จึงไม่ทำให้เกิด alkyne isomerization  
 แต่ใช้กับ vinyl halides จะต้องใช้ condition ที่รุนแรง และทำให้เกิด isomerization ของ 1-alkynes เป็น 2-alkynes ซึ่ง thermodynamically stable กว่า



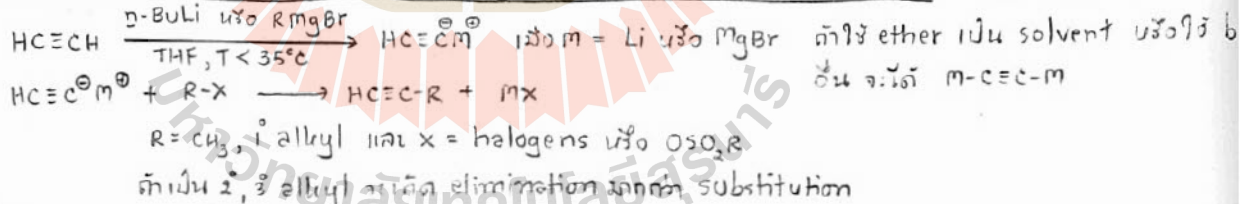
ตัวอย่าง



- โดยทั่วไป จะเกิด trans elimination แต่ถ้าใช้  $NaNH_2 / liq NH_3$  ทั้ง cis และ trans elimination จะเกิดได้หมด mild condition
- การใช้ nonamide base กับ dihalides ปฏิกริยาช้ากว่าขยู่กับ vinyl halides จึงนิยมใช้  $NaNH_2 / liq NH_3$  ที่ขั้นที่ 2 เพื่อได้ yield สูงขึ้น โดยไม่ต้องใช้ condition ที่รุนแรง และลดการเกิด alkene byproducts



2.1.2 Reactions ของ metal acetylides กับ alkyl halides หรือ sulfonate esters "S<sub>N</sub>2 reactions"



2.2 Reactions ของ acetylides

2.2.1 S<sub>N</sub>2 reactions สามารถทำได้แก่ alkyl halides หรือ sulfonate esters (ดูวิธี 2.1.2)  
 epoxides (เข้า attack C ที่เกาะของ)

ดูตัวอย่างปฏิกิริยาในแผ่นที่ 5 EDA = ethylenediamine

2.2.2 nucleophilic addition reactions สามารถทำได้แก่ aldehydes, ketones

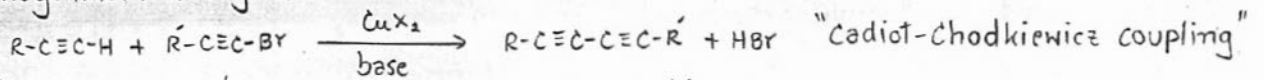
ดูตัวอย่างปฏิกิริยาในแผ่นที่ 5

สำหรับ α,β-unsaturated aldehydes, ketones จะเกิด 1,2 addition เมื่อ β C เกาะ (ไม่เกิด 1,4 add  
 ดูตัวอย่างในแผ่นที่ 5 ซึ่งที่นั่น β-C มี วนอยู่

2.2.3 Coupling reactions ของ alkynes

- สำหรับ symmetrical diynes  $2R-C\equiv C-H \xrightarrow[\text{pyridine}]{CuX_2 (\text{stoich.})} R-C\equiv C-C\equiv C-R$  "Eglinton reaction"
- สำหรับ unsymmetrical diynes  $R-C\equiv C-C\equiv C-R \xrightarrow[2. \text{oxidation ด้วย air, } KMnO_4, H_2O_2, \text{ etc.}]{1. CuX_2 (\text{cat.}), NH_3 (\text{หรือ } NH_4Cl)}$  "Glaser reaction"
- นำมาเกิดเป็น radical

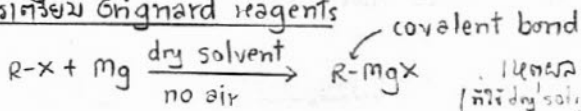
กลูบริน Unsymmetrical diynes



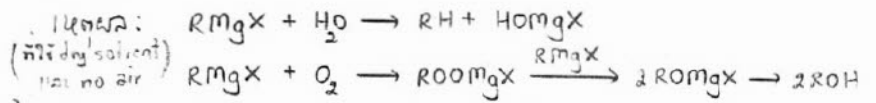
ไม่เหมาะใช้  $S_N2$  reaction เหมือนกับ ordinary alkyl halides ไม่เกิด  $\equiv$

③ Grignard reagents ( $RMgX$ )

3.1 การเตรียม Grignard reagents

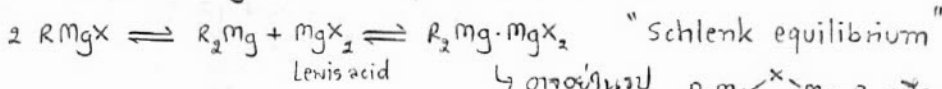


ถ้า  $R = 1^\circ, 2^\circ, 3^\circ$  alkyl solvent = ether  
 $R = \text{vinyl, aryl}$  solvent = THF

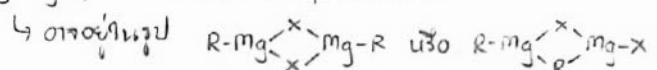


ช่วย stabilize  $RMgX$  ด้วยพันธะ  $\pi$  ในออร์บิทัล

ใน solution Grignard reagents จะตั้ง equilibrium เกิดขึ้น



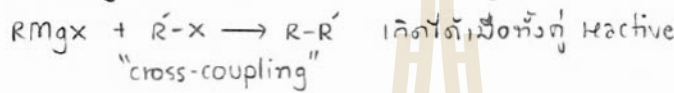
Lewis acid



โดยตำแหน่งของ equilibrium ขึ้นอยู่กับ  $R, X, \text{solvent}$ , ความเข้มข้น, อุณหภูมิ ในบางกรณีอาจเกิด trimers ด้วย

3.2 Reactions ของ Grignard reagents

3.2.1 coupling ของ alkyl halides โดยใช้ Grignard reagents



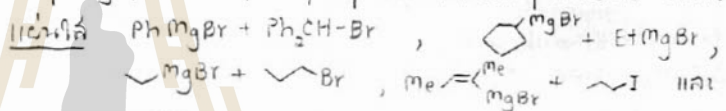
เช่น  $R-X = CH_3I, \text{ allyl bromide, benzyl bromide}$

$RMgX = \text{ allylmagnesium halides}$

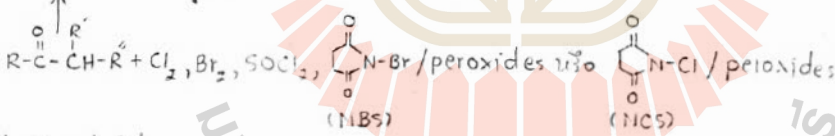
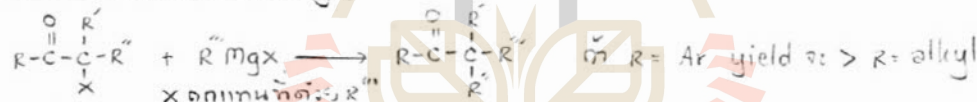
ถ้าใช้ transition metal เป็น catalyst = Kharasch reaction อาจมี by-products เป็น symmetrical coupling products, disproportionation products ด้วย

เช่น  $Co(II), Fe(III), Mn(II), Ag(I)$

เช่น yield ของ cross-coupling products สูง ถ้า  $RX$  เป็น  $i$

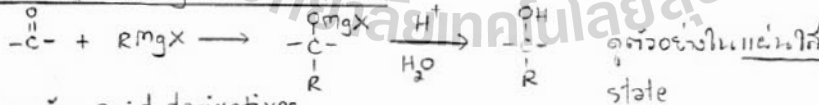


3.2.2 reactions กับ  $\alpha$ -halocarbonyls



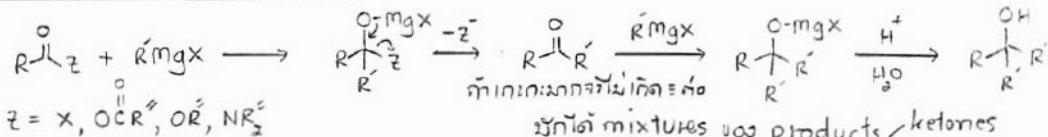
ดูตัวอย่างใน แผ่นที่ 13

3.2.3 reactions กับ aldehydes และ ketones



ถ้าทำหน้าเกิด cyclic transition state

3.2.4 reactions กับ acid derivatives



จะได้ mixtures ของ products  $\begin{cases} \text{ketones} \\ \text{alcohols} \\ \text{starting materials} \end{cases}$

-จะได้ ketones หากถ้า  $Z = Cl, T$  ถ้า  $Cl$  หรือ  $T$  มี metal catalysts ด้วย

เช่น ใช้ oxalic acid เมื่อเปลี่ยน dioxane protecting group ให้เป็น aldehyde

-จะได้ alcohols หากถ้า  $Z = Cl$ , ใช้  $RMgX$  หากเกินพอ และ condition ธรรมดา

ถ้า  $Z = OR'$  ใช้  $\geq 2 \text{ eq. } RMgX$  ด้วยจะได้  $\geq 2$  product ต่างๆ

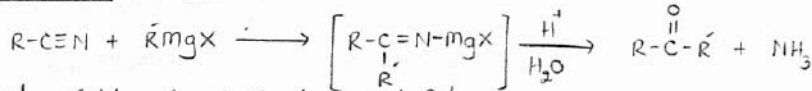
ในกรณีทำสารตั้งต้นมีหลายหมู่ฟังก์ชัน  $RMgX$  จะไม่สะดวกที่จะไป attack carbonyl group ได้ ทำให้เกิด

$S_N2$  reaction แทน ด้วย  $RCOO^-$  เป็น leaving group และ  $I^-$  เป็น nucleophile

เมื่อ  $Z = NR_2$  products ที่ได้จะเป็น ketones แต่ % yield จะต่ำ เพราะ  $NR_2$  เป็น poor leaving group ปฏิกิริยาที่เกิดขึ้น แล้วก็ได้ 8.106 จะไม่ทำ  $\epsilon$  กับ  $R'MgX$  โดย hydrolysis จะทำให้ amine ถูกถอดออกไป แล้วได้ ketone เป็น product

ในกรณีของ lactams O=C1NCCC1 จะได้ products เป็น R2C=NR amines และ RNH-C(=O)-R amido ketones ดังตัวอย่างใน แล้วก็ได้

### 3.2.5 Reaction กับ nitriles

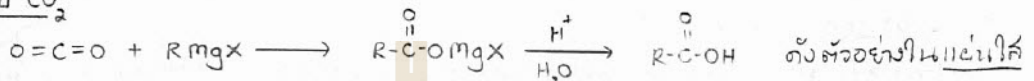


ถ้า  $R = aryl$  yield จะสูง ดังตัวอย่างใน แล้วก็ได้

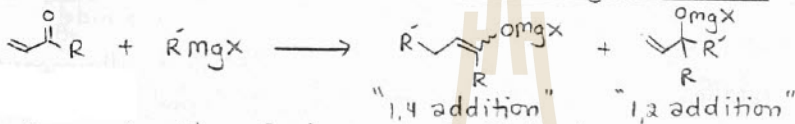
ถ้า  $R'$  ใหญ่ yield จะต่ำ และ hydrolysis ของ iminium salt ได้ไม่ดีพอ ตัวอย่าง condition ที่รุนแรง ดังตัวอย่างใน แล้วก็ได้ ในขั้น hydrolysis ใช้  $INHCl$ , reflux ได้ 8.115 35%

ถ้า ทั้ง  $R$  และ  $R'$  ใหญ่ ไม่ทำ  $\epsilon$  ดังตัวอย่างใน แล้วก็ได้

### 3.2.6 Reaction กับ $CO_2$



### 3.2.7 Conjugate addition กับ $\alpha,\beta$ -unsaturated carbonyl derivatives



- เกิดมากเมื่อ  $R$  มีผลดึงอิเล็กตรอน, หรือมี  $\pi$ -withdrawing group ปรากฏ, หรือใช้  $Cu(I)$   
- ไม่เกิดเมื่อ  $R=H$

- เมื่อพิจารณาทิศทางของ group ที่มาต่อ ดังตัวอย่างใน แล้วก็ได้ ถ้า  $R'$  มีผลดึงอิเล็กตรอน ทิศทาง attack ที่ carbonyl group ตาม path a จะทำให้อิทธิพลของผลึกมากกว่า  $R'$  และ  $R''$  จึงเกิด  $\epsilon$  ที่หมู่  $\alpha$  ได้ดีกว่า
  - $\Rightarrow$  1,4 addition ถ้า  $R'$  มีผลดึงอิเล็กตรอน  $R''$  ทำ attack ตาม path a ได้เร็วกว่า เมื่อเกิด four-center transition state
  - $\Rightarrow$  1,2 addition ถ้า  $R$  มีผลดึงอิเล็กตรอน จะทำให้อิทธิพลของผลึกมากกว่า  $R$  และ  $R'$  ใน six-center transition state
  - $\Rightarrow$  1,4 addition เกิดน้อยกว่า ดังตัวอย่างปฏิกิริยาใน แล้วก็ได้ จะมีผลดึงอิเล็กตรอน  $R'$  มีผลดึงอิเล็กตรอน saturated aldehydes, ketones เกิด  $\epsilon$  ได้ดีกว่า conjugated esters ซึ่ง reactive น้อยกว่า conjugated ketone ดังตัวอย่างใน แล้วก็ได้ จะเห็นว่า  $\epsilon$  เกิดที่ aldehyde ไม่ใช้ที่ conjugated ester
- ในกรณีที่ conjugated carbonyl derivatives มี electron-withdrawing group มาต่อที่หมู่  $\alpha$  1,4 addition เกิดได้ช้ามาก ดังตัวอย่างใน แล้วก็ได้ (1,4 addition)
- ในกรณีที่เติม  $Cu(I)$  จะทำปฏิกิริยา conjugate addition เกิดด้วยขั้นตอน
  1. เกิด  $R_2MgCu$  หรือ  $RCu$  ซึ่ง reactive มาก
  2. coordination ของ  $Cu$  กับ carbonyl ทำปฏิกิริยา six-center transition state เกิดได้ช้า ดังตัวอย่างปฏิกิริยาใน แล้วก็ได้

### 3.2.8 Reaction กับ epoxides โดยทั่วไปเป็น $S_N2$ reaction

$R'MgX$  จะทำ attack ที่ คาร์บอนน้อย ดังตัวอย่างใน แล้วก็ได้ สำหรับปฏิกิริยาที่ 2  $Cu(I)$  ที่เติมลงไปอาจ coordinate กับ  $Mg$  และ  $OH$  group ทำปฏิกิริยา Grignard reagent attack ที่  $C$  ที่อยู่ใกล้กับ  $OH$  group

ในกรณีที่ cationic rearrangement และ  $S_N1$  reaction อาจเกิดแข่งกับ  $S_N2$  reaction ถ้า epoxide ต่ออยู่กับ  $\alpha C$  ดังตัวอย่างใน แล้วก็ได้ เมื่อทำปฏิกิริยาใน Grignard solution จะมี  $MgX_2$  ซึ่งทำหน้าที่ Lewis acid อยู่ด้วย ทำปฏิกิริยาเกิด acid-catalyzed rearrangement ของ epoxide 8.146 ได้ ketone ซึ่งทำ  $\epsilon$  กับ  $MeMgI$  ใน 8.149 สำหรับ 8.150 Lewis acid ทำปฏิกิริยาเกิด  $S_N1$  reaction ได้ carbocation 8.152 ซึ่งเกิด  $\epsilon$  กับ nucleophilic  $PhMgBr$  ใน 8.153

แล้วก็ได้ แสดงอัตราการเกิด ring opening เปรียบเทียบกับ addition to carbonyl จะเห็นว่า ring opening เกิดได้ดีกว่า

3.2.9 reduction ของ aldehydes, ketones เกิดเมื่อ aldehydes หรือ ketones ในกรณี, R MgX มี  $\beta$ -hydrogen

และทำปฏิกิริยา carbonyl ได้ ตัวแสดงใน แผนผัง transition state ที่เกิดขึ้นจะเหมือนกับปฏิกิริยาของ Meerwein-Ponndorf-Verley reduction และ Oppenauer oxidation



3.2.10 enolization ของ aldehydes, ketones เกิดเมื่อ aldehydes หรือ ketones ในกรณี และมี  $\alpha$ -hydrogen และ R MgX

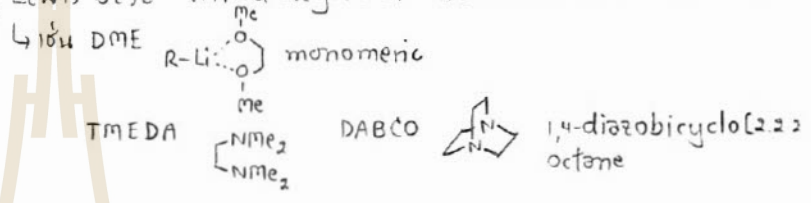
ในกรณี ตัวแสดงใน Table 8.12 ใน แผนผัง ซึ่ง R MgX จะทำปฏิกิริยาที่  $\alpha$ -hydrogen มากกว่าที่ carbonyl carbon ทำให้ไม่เกิด addition และในกรณีที่ไม่เกิดจะเกิด reduction แข่งขันกับ addition

4 Organolithium reagents เป็นทั้ง nucleophile และ base

R-Li จะอยู่ในรูปของ associated aggregates โดย degree of association ขึ้นกับ covalent bond เช่น hexamers, tetramers

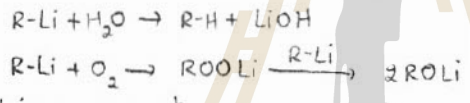
1. โครงสร้างของ R  $\Rightarrow$  straight chain  $\Rightarrow$  degree of association  $>$  branched chain
2. solvent  $\Rightarrow$  ที่มี coordinating ability สูง (polar มาก) degree of association จะต่ำ

ตัวแสดงใน Table 8.13 ใน แผนผัง มาคือ strong Lewis base จะทำให้ degree of association ลดลง และ R-Li มี reactivity เพิ่มขึ้น (C-Li polar มากขึ้น)



กรณี R-Li ทั่วไป ควร standardize ก่อน เนื่องจาก

1. R-Li สามารถทำ  $\equiv$  กับ solvent โดยเฉพาะ ether ได้ ดังตัวอย่างใน แผนผัง
2. เมื่อเปิดขวดที่บรรจุ R-Li solution แล้ว R-Li สามารถทำ  $\equiv$  กับ H<sub>2</sub>O และ O<sub>2</sub> ในอากาศได้



4.1 มาเตรียม Organolithium reagents

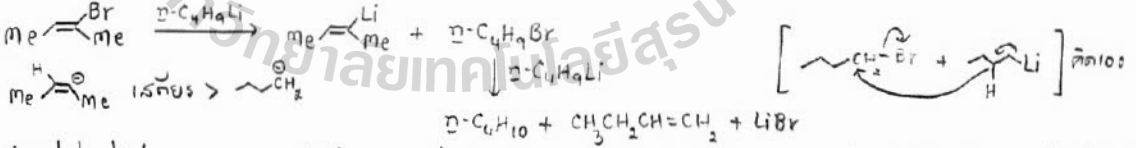
4.1.1 Lithium-halogen exchange

4.1.1.1 R-X + 2Li  $\xrightarrow{\text{dry solvent}}$  R-Li + LiX solvent ได้แก่ ether, THF, pentane, hexane

mechanism: Li transfer 1  $\equiv$  กับ R-X ตัวแสดงใน แผนผัง Li ต้องมี Na ปะปนด้วย  $> 0.02\%$   $\equiv$  จึงจะเกิดได้ ตามปกติ

4.1.1.2 R-X + R'-Li  $\rightleftharpoons$  R-Li + R'-X "Wittig-Gilman reaction"

ถ้า R-H เป็นกรด  $>$  R'-H จะดูว่าจะต้องไปรวมกัน ดูตัวอย่างใน แผนผัง  $\text{CH}_3\text{CH}_2\text{CH}_2\text{Li}$  เป็นกรด  $>$   $\text{CH}_3\text{CH}_2\text{CH}_2\text{Br}$  ในกรณีที่ ตัวใช้ 2 eq. R'-Li R'-Li อีก 1 eq. ใช้สำหรับทำ  $\equiv$  กับ halides ที่เกิดขึ้น

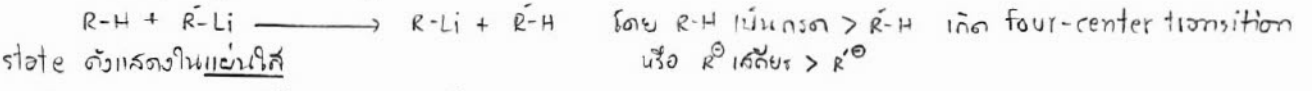


เมื่อทำ  $\equiv$  กับ vinyl halides organolithium ก็ได้ จะเกิด isomerize ออกมา ด้วยกว่าเมื่อใช้ R MgX จึงมีปฏิกิริยาที่ stereodefined alkenyllithium ดูตัวอย่างใน แผนผัง

Side reactions ของ 4.1.1.1 คือ R-X + Li  $\rightarrow$  R-R + LiX + R-Li

4.1.1.2 คือ R-X + R'-Li  $\rightarrow$  R-R + R'-R + R-R "Wurtz coupling" เมื่อ R-X เป็น reactive halides เช่น allyl halides, benzyl halides จึงได้คือใช้ organotin แทน R-X ดังตัวอย่างใน แผนผัง

4.1.2 Lithium-hydrogen exchange



4.2 Reactions ของ organolithium reagents

4.2.1 reactions กับ aldehydes, ketones เกิด  $\equiv$  nucleophilic addition เช่นเดียวกับ R MgX แต่สิ่งที่ต่างกันคือ

1. RLi ไม่มีปัญหาที่จะเกิด reduction กับ aldehydes, ketones ที่กรณี ตัวแสดงใน แผนผัง
2. RLi มักเกิด 1,2 addition กับ  $\alpha,\beta$ -unsaturated aldehydes, ketones เนื่องจาก
  - มี nucleophilicity มากกว่า R MgX
  - มี coordinating ability น้อยกว่า R MgX ดังตัวอย่างใน แผนผัง

4.2.2 reactions กับ acid derivatives คล้ายกับ  $RMgX$  แต่  $RLi$  จะมี reactivity สูงกว่า กับ esters ให้น ketones และ 3 alcohols แต่โดยทั่วไปให้ 3 alcohols ดังตัวอย่างในเล่มนี้  
 กับ acid halides ให้น starting materials และ 3 alcohols ถ้าใช้ excess  $RLi$  ให้น 3 alcohols  
 กับ amides ให้น ketones โดยอาจเกิด side reaction ให้น enolate anions ( $RLi$  ถึง  $\alpha-H^+$  จาก amides)  
 ถ้าใช้ excess  $RLi$  ให้น nitriles ดังตัวอย่างในเล่มนี้

กับ carboxylic acids ให้น ketones และ 3 alcohols ดังตัวอย่างในเล่มนี้

4.2.3 reactions กับ nitriles ให้น ketones โดยเกิดผ่าน iminium salts ดังตัวอย่างในเล่มนี้

4.2.4 reactions กับ  $CO_2$  ให้น carboxylic acids ดังตัวอย่างในเล่มนี้

4.2.5 reactions กับ epoxides ไม่เกิดปฏิกิริยา acid-catalyzed rearrangement อย่างในกรณีของ  $RMgX$  ให้น alcohols ดังตัวอย่างในเล่มนี้

4.2.6 intramolecular addition to alkenes และ alkynes ดูตัวอย่างในเล่มนี้ ซึ่งบางครั้งเกิด lithium-halogen exchange ตามด้วย cyclization

⑤ Sulfur carbonyls ได้แก่  $\alpha$ -carbonyls จาก thioethers  $RS(=O)R'$  sulfoxides  $R_2S=O$  sulfones  $R_2SO_2$  sulfonate esters  $ROSO_2R'$

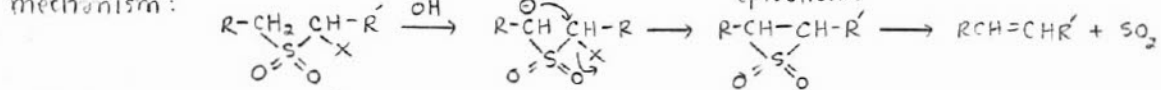
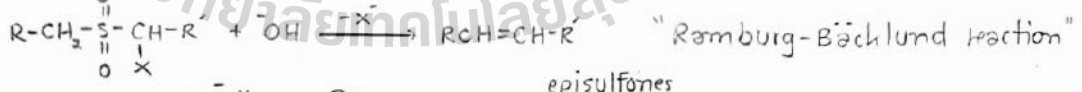
เมื่อเกิด nucleophilic addition หรือ nucleophilic substitution และ hydrogenolysis ของพันธะ C-S สามารถทำได้โดยใช้ dissolving metal, aluminum amalgam, sodium amalgam, Raney Nickel

5.1 ปฏิกิริยาของ thioethers ดูในเล่มนี้ HMPA (ที่เติมลงไปใน  $\epsilon$ -และ  $\delta$ ) และ DABCO (ที่เติมลงไปใน  $\epsilon$  และ  $\delta$ ) ช่วย Li-H exchange เกิดได้ง่ายขึ้น ปฏิกิริยาที่ 2 เป็นตัวอย่างของกรณีใช้ dissolving metal ในการ remove sulfur moiety สำหรับปฏิกิริยาในเล่มนี้คือ sulfide ถูก oxidized เป็น sulfoxide เมื่อ heat จะเกิด syn elimination ให้น alkene 8.349 ส่วนใน  $\epsilon$  ที่ 2 OH ถูกเปลี่ยนเป็น mesylate และ DBU (1,6-diazabicyclo-[5.4.0]undecene-7)  ทำให้เกิด elimination ให้น 8.352 ซึ่ง  $MeO^-$  จะทำ add ที่ carbonyl C และ  $Me$  ที่  $\alpha$  carbon

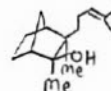
5.2 ปฏิกิริยาของ sulfoxides ดูในเล่มนี้ ซึ่งเมื่อใช้ของเหลวของเหลวใช้ aluminum amalgam ในการ remove sulfur moiety

5.3 ปฏิกิริยาของ sulfones ดูในเล่มนี้ ( $PhSO_2^-$  = phenylsulfinate โทรมักใช้แทนเป็น  $Ph-S(=O)_2^-$ )  $^-OAc$  เติมลงไปในที่แทนที่  $Cl^-$  ซึ่งใน  $\epsilon$  ใช้ sodium amalgam ในการ remove sulfur moiety สำหรับ  $\epsilon$  ที่ 3 เกิด ring opening ตามด้วย intramolecular displacement ของ  $Br^-$

ในกรณีของ  $\alpha$ -halosulfones เมื่อทำ  $\epsilon$  กับ base ให้น alkenes



ตัวอย่างในเล่มนี้ ใน  $\epsilon$  ที่ 2  $CCl_4$  ใช้สำหรับเปลี่ยน 8.373 เป็น  $\alpha$ -chlorosulfone

5.4 ปฏิกิริยาของ sulfonate esters ดูในเล่มนี้ ในกรณีที่ 2  $LiAlH_4 + AlCl_3 \rightarrow AlH_3 + LiCl$   
 ภาควิทยาใน  ซึ่ง  $POCl_3$  จะเปลี่ยน OH ให้นเป็น Cl ตามด้วย elimination  $\rightarrow$  9.9 ในการ remove sulfur moiety

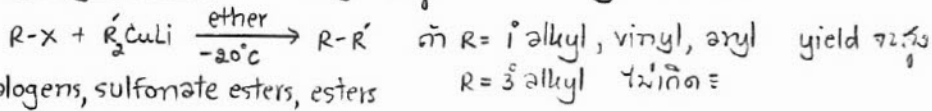
⑥ Organocopper reagents

6.1 Lithium dialkyl cuprates ( $R_2CuLi$ )

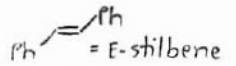
6.1.1 มาตราส่วน  $CuX + 2RLi \xrightarrow[-26^\circ C]{ether} R_2CuLi$  "Gilman reagent" ซึ่งมีขั้วออกซิเดชันที่เหมือนปฏิกิริยา disproportionation  
 ความเสถียรขึ้นกับปริมาตรของ R และ X  
 ถ้า R = 2, 3 alkyl จะเกิด disproportionation ง่าย  
 ถ้า X = I จะทำ  $R_2CuLi$  เสถียรกว่า X = Br

### 6.1.2 reactions ของ R<sub>2</sub>CuLi

6.1.2.1 Coupling reactions จะให้ yield สูงกว่ากรณีใช้ RMgX หรือ RLi



x = halogens, sulfonate esters, esters



- เมื่อทำกับ vinyl halides จะให้ stereoselectivity สูงกว่ากรณีใช้ RMgX หรือ RLi ดังตัวอย่างใน แผ่นใส
- เมื่อทำกับ alkyl halides จะต้องใช้ excess R<sub>2</sub>CuLi เนื่องจากเป็น reagent ที่ reactive มาก จึงเกิดคือทำใน cuprate ซึ่ง reactivity ลดลงโดยเปลี่ยน ligand จาก alkyl group เป็น alkynyl หรือ allyl group เนื่องจากมีค่าลบ ความแข็งแรงของพันธะตัวให้  $Cu-C \equiv C- > Cu-C=C- > Cu-C-$  ช่วยให้เกิด selective transfer ของ group R ที่ตัวกรณี ตัวเมตงในแผ่นใส จะเป็นตัว alkynyl group เท่านั้นที่ถูก transferred ไปยัง benzyl iodide โดย 8.476 เติมน้ำได้จาก 8.479 และ vinyl bromide 8.480
- เมื่อทำกับ aryl halides จะใช้ CuCl<sub>2</sub> และ LiBr ลงไปด้วย เพื่อช่วยใน reaction เกิดได้ช้าขึ้น ดังตัวอย่างใน แผ่นใส

6.1.2.2 reactions กับ epoxides จะตัวอย่างใน แผ่นใส 8.484 จะเข้า attack C ที่เบากว่าของ epoxide ใน 8.486 ซึ่ง acid hydrolysis จะทำปฏิกิริยา pyrolysis เปลี่ยนเป็น carbonyl ตามด้วย cyclization ใน 8.487

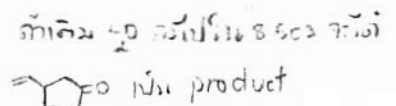
6.1.2.3 reactions กับ acid halides ให้ product เป็น ketones ถ้าทำที่อุณหภูมิสูง เป็นวิธีที่ช้าที่สุดกับระบบกรดไขมัน ketones จาก acid halides ดังตัวอย่างใน แผ่นใส  $Cl-C(=O)-C(=O)-Cl$  oxalyl chloride ใช้กับระบบเปลี่ยน COOH ในเป็น  $C(=O)-Cl$

6.1.2.4 reactions กับ aldehydes และ ketones

- กับ aldehydes จะเกิด 3 ชนิด แต่กับ aldehydes ที่เกาะกับ ตัวให้อิเล็กตรอนสูง ( > -20°C ) ทำปฏิกิริยา R<sub>2</sub>CuLi เกิด disproportionation ดังที่เห็น (Me<sub>2</sub>SiCl)
- กับ ketones จะเกิด 3 ชนิด จึงเกิดคือใช้ chlorotrimethylsilane ลงไปด้วย เพื่อลดการเกิด diastereoselectivity สูงขึ้นด้วย ดังตัวอย่างของ aldehyde และ ketone ใน แผ่นใส
- กับ α,β-unsaturated ketones เกิด conjugate addition (หรือ 1,4 addition)



สามารถทำกับ alkyl halides ที่เติมลงไปได้ ดังตัวอย่างใน แผ่นใส

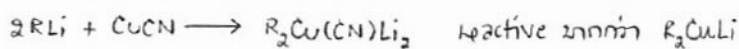


กรณีใช้ Me<sub>2</sub>SiCl จะช่วยใน rate ของ conjugate addition ที่เพิ่มขึ้น และทำปฏิกิริยา diastereoselectivity สูงขึ้นด้วย ดังตัวอย่างใน แผ่นใส โดยถ้าไม่มี Me<sub>2</sub>SiCl ratio ของ enolate 8.497 : 8.498 = 56 : 44 เมื่อมี Me<sub>2</sub>SiCl > 99 : 1

Steric effects จะมีส่วนต่อ conjugate addition ดังแสดงใน แผ่นใส

- กับ α,β-unsaturated aldehydes มีทั้งเกิด 1,2 addition > 1,4 addition
- กับ α,β-unsaturated esters เกิด conjugate addition แต่เกิดช้ามาก ถ้าใช้ RCu·BF<sub>3</sub> แทน R<sub>2</sub>CuLi จะเกิดช้าขึ้น

### 6.2 Higher order cuprates

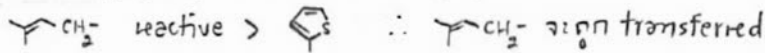


#### reactions ของ R<sub>2</sub>Cu(CN)Li<sub>2</sub>

6.2.1 reactions กับ halides ให้ yield สูงถึง 100% ทำปฏิกิริยากับ 2° alkyl halides ดังตัวอย่างใน แผ่นใส

- mechanism ที่จะเป็น one electron transfer ไม่ใช่ S<sub>N</sub>2 reaction inversion of configuration จะมากกว่า หรือขึ้นกับ -organocuprate ถ้าเป็น symmetrical cuprates => จะน้อย
- ถ้าเป็น mixed cuprates => จะมาก ในที่นี้ Et reactive > Me ∴ Et group จะถูก transferred
- กรณีของ halides ถ้าเป็น bromides จะเกิด complete inversion

สารประกอบที่ 2 leaving group = triflate ( $-\text{SO}_2\text{CF}_3$ )



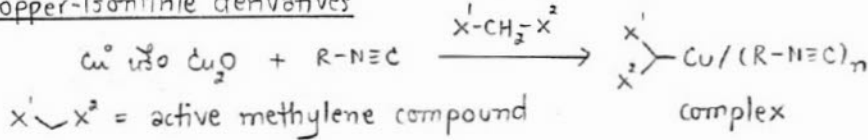
6.2. reactions กับ epoxides ในขั้นตอน Gilman reagent โดยจะ attack C ที่เกาะกับออกไซด์ตัวอื่นใน

ซึ่งผลของ yield เปรียบเทียบระหว่างการใช้ higher order cuprates และ Gilman reagent

6.2.3. reactions กับ  $\alpha, \beta$ -unsaturated carbonyls เกิด conjugate addition ตัวอื่นใน

ในกรณีที่ใช้ mixed cuprates อาจได้ products ที่เกิดจากการ transfer ของ R group ทั้งสอง แต่ในปริมาณที่

6.3 Copper-isocyanide derivatives



reactions ของ copper-isocyanide complex

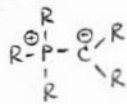
6.3.1 Wittig type reaction เมื่อทำปฏิกิริยากับ aldehydes และ ketones จะให้ alkenes



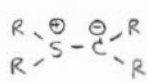
6.3.2 Michael addition  $\text{X}'-\text{CH}_2-\text{X}'' + -\text{C}=\text{C}-\text{X}''' \xrightarrow{\text{base}} \text{X}'-\text{CH}-\overset{\text{X}'''}{\underset{\text{H}}{\text{C}}}-\overset{\text{X}''}{\text{C}}-\text{X}'''$  "conjugate addition"



Ylides carbanionic carbon ต่อกับ positive atom โดยตรง



phosphorus ylides



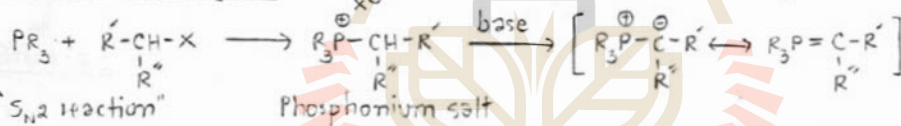
sulfur ylides



nitrogen ylides

7.1 Phosphorus ylides (หรือ phosphorane) "Wittig reagents"

7.1.1 การเตรียม Wittig reagents



- R group จะต้องมี  $\alpha$ -H หรือหากจะทำได้ isomeric ylides เช่น  $\text{Ph}-\overset{\oplus}{\text{P}}(\text{Ph})-\text{CH}_2-\text{Ph} \xrightarrow{\text{base}} \text{Ph}-\overset{\oplus}{\text{P}}(\text{Ph})-\text{CH}(\text{Ph})-\text{Ph} + \text{Ph}-\overset{\oplus}{\text{P}}(\text{Ph})-\text{C}(\text{Ph})_2$

โดยทั่วไปจึงนิยมใช้  $\text{Ph}_3\text{P}$  (phosphine) และ triarylphosphines อื่นๆ

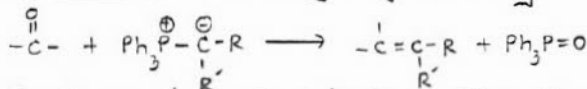
- ถ้า R หรือ R' เป็น  $\alpha$ -withdrawing group จะทำให้ carbanionic carbon มี nucleophilicity และ reactivity

ลดลง ทำปฏิกิริยากับ aldehydes แต่ไม่ทำกับ ketones

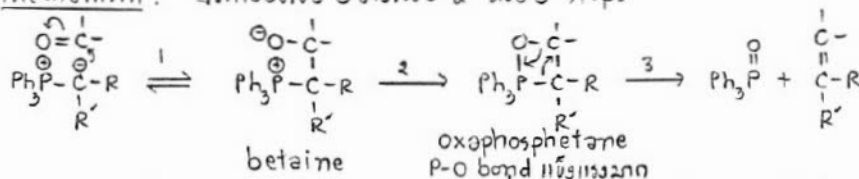
- base ที่ใช้ขึ้นกับ acidity ของ  $\alpha$  proton ของ ylides โดย P จะทำกับ  $\alpha$  proton เป็นกรดมากขึ้น

ใช้ได้แก่  $\text{NaH}$ ,  $\text{KH}$ ,  $n\text{-BuLi}$ ,  $t\text{-BuLi}$

7.1.2 Wittig reaction เมื่อ Wittig reagents ทำปฏิกิริยากับ aldehydes และ ketones จะให้ products เป็น alkenes



mechanism: ปฏิกิริยาด้วย 2 หรือ 3 steps



step 1 จะเป็น equilibrium reaction เมื่อ R หรือ R' เป็น  $\alpha$ -withdrawing group  $\Rightarrow$  stable ylides

สำหรับ stable ylides step 1 และ 2 อาจเกิดแบบ simultaneous (ไม่มี betaine เกิดขึ้น)

ดูตัวอย่างปฏิกิริยาใน

ของสมการ ซึ่งจะได้  $\text{C}=\text{C}$  โดยในขั้นที่ 3 ylides จะดึง  $\alpha$  H ได้ 2 ตำแหน่ง แต่จะดึงออก

ของสมการ ซึ่งจะได้  $\text{C}=\text{C}$  โดยในขั้นที่ 3 ylides จะดึง  $\alpha$  H ได้ 2 ตำแหน่ง แต่จะดึงออก

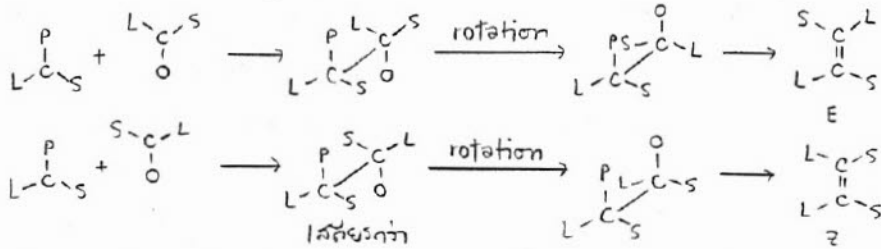
กรณีเกิด E-Z isomers จูโนในขั้นที่ betaine 8.620 จะทำปฏิกิริยาเกิด anti-oxaphosphetane 8.622 เมื่อเกิด reaction elimination

กรณี (E)-alkene 8.624 ในขั้นที่ betaine 8.621 จะทำปฏิกิริยาเกิด syn-oxaphosphetane 8.623 เมื่อเกิด reaction elimination

กรณี (Z)-alkene 8.625

บทบาท 1. stable ylides (มี e withdrawing group หนัก) หรือ ylides ที่เกิดจาก trialkylphosphines (P เป็น + หนัก) จะ favor กรณีเกิด anti-oxaphosphetanes ซึ่ง thermodynamically stable มากกว่า syn-oxaphosphetanes เนื่องจาก step 1 มี equilibrium เกิดขึ้น ทำให้ได้ major product เป็น (E)-alkenes

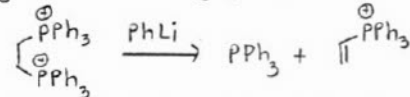
2. unstable ylides (ไม่มี e withdrawing group หนัก) หรือ ylides ที่เกิดจาก triarylphosphines (P เป็น + หนัก) จะกรณี (Z)-alkenes เป็น major product เนื่องจาก step 1 เป็น irreversible reaction และในกรณีเกิด betaine



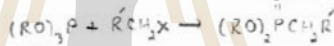
3. solvent และ กรณีมี salt จะส่งผลต่อ E-Z ratio

Side reactions ของ ylides

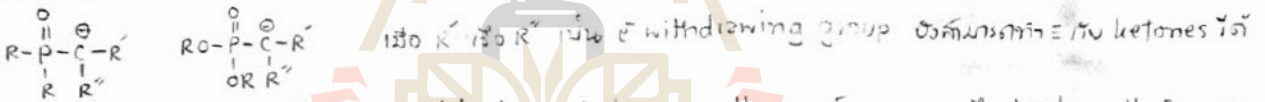
- ในกรณีที่ ylides มี leaving group ในตำแหน่ง beta กับ P จะทำปฏิกิริยาเกิด fragmentation เช่น



- ในกรณีที่ ylides มี heteroatom substituent อาจเกิด decomposition ใน carbene ด้วยในขั้นที่ ซึ่งเมื่อทำกับ ylide 8.611 จะได้ product เป็น bis-enol ether 8.614 นอกจากนี้ยังเกิด SN2 และ nucleophilic addition ได้ด้วย ดังตัวอย่างปฏิกิริยาที่ 2 และ 3



7.1.3 Ylides จาก phosphine oxides และ phosphonate esters => reactive กับ phosphoranes

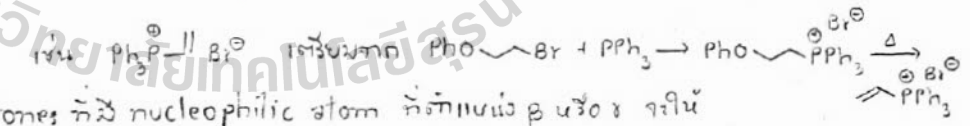


ปฏิกิริยากับ aldehydes หรือ ketones = Horner-Emmons หรือ Wadsworth-Emmon reaction

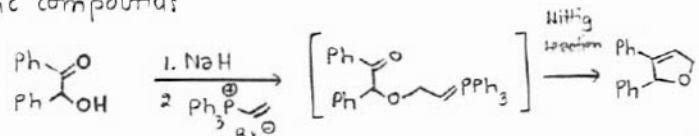
ดูตัวอย่างปฏิกิริยาในขั้นที่

กับ phosphine oxides จะได้ product เป็น beta-hydroxyphosphine oxides ต่อมา เมื่อ treat ด้วย base จะทำปฏิกิริยา alkene แล้วด้วยปฏิกิริยาที่ 2 จะได้ by-product เป็น phosphite ester (RO-P(O)-OR) ซึ่งกลายเป็น ketone จาก alkenes ได้ด้วย

7.1.4 Alkenylphosphonium salts



เมื่อทำกับ aldehydes หรือ ketones ที่มี nucleophilic atom ที่ตำแหน่ง beta หรือ gamma จะเกิด heterocyclic compounds

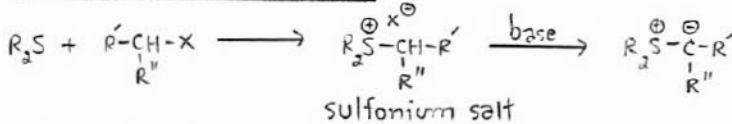


เมื่อทำกับ organocuprate จะเกิด normal Wittig reagent ดังตัวอย่างในขั้นที่

7.2 Sulfur ylides

Sulfonium ylides และ sulfoxonium ylides

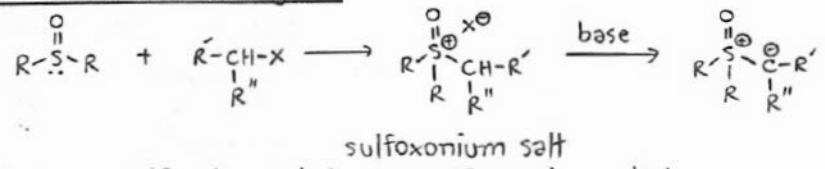
7.2.1 กรณีของ sulfonium ylides



base ที่ใช้ได้แก่ RO<sup>-</sup>/ROH, NaH/DMSO, RLi หรือ LiNR<sub>2</sub> ใน THF หรือ ether  
ถ้า X<sup>-</sup> = good nucleophile เช่น I<sup>-</sup> step 1 จะเป็น reversible reaction เนื่องจาก R<sub>2</sub>S เป็น good leaving group ระวังได้คือ ใช้ nonnucleophilic counterion เช่น BF<sub>4</sub><sup>-</sup>, ClO<sub>4</sub><sup>-</sup> และหลีกเลี่ยงการใช้ highly

electrophilic species เช่น  $Ag^+$  salt ในกรณีที่เกิด cationic intermediate ซึ่งเกิด rearrangement ได้ ตัวต่อข้างใน ข้างใน โดยทั่วไป straight chain product จะเป็น major product

7.2.2 การเตรียม sulfoxonium ylides



7.2.3 Reactions ของ sulfonium ylides และ sulfoxonium ylides

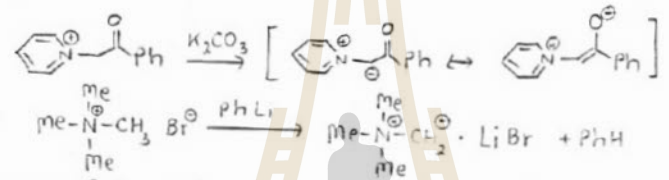
- เมื่อทำกับ aldehydes และ ketones จะเกิด epoxides เป็น product เมื่อจาก  $R_2S$  และ  $R-S(=O)-R$  เป็น leaving group ที่ดี ตัวต่อข้างใน ข้างใน

สิ่งที่ต่างกันระหว่าง sulfonium ylides และ sulfoxonium ylides คือ nucleophilic addition ของ sulfonium ylides จะเป็น irreversible reactions ในขณะที่ของ sulfoxonium ylides จะเป็น reversible reactions ดังใน ข้างใน 7.24 เกล็ดย่นกว่า 7.23  $\rightarrow$  kinetic product  axial attack ไม่มี torsional strain  $\rightarrow$  thermodynamic product

ข้างใน  $\rightarrow$  2. เมื่อทำกับ  $\alpha, \beta$ -unsaturated ketones sulfonium ylides จะเกิด 1,2 addition ซึ่ง irreversible ในขณะที่ 1,2 addition ของ sulfoxonium ylides เป็น reversible process 7.25 1,4 addition มักจะเกิดได้ค่อนข้างสมบูรณ์

7.3 Nitrogen ylides

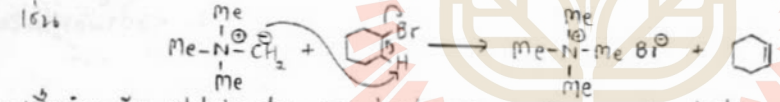
7.3.1 การเตรียม



เมื่อเกิด complex จะทำเป็น quaternary ammonium ylides เกล็ดย่น ไม่ decompose ใน carbene ทั่วไป solvent ที่ coordinate กับ LiBr ได้ดี เช่น DME, ether จะทำเป็นเกิด polymethylene

7.3.2 Reactions ของ nitrogen ylides  $\Rightarrow$  เป็น base และ carbocation ที่ strong กว่า phosphorus ylides และ sulfonium ylides

- เมื่อทำกับ alkyl halides จะเกิด elimination reaction



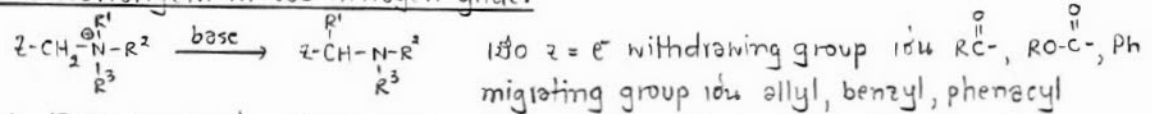
- เมื่อทำกับ aldehydes และ ketones จะเกิด nucleophilic addition ดังตัวอย่างใน ข้างใน สำหรับปฏิกิริยาแรกใช้ 2 eq. PhLi ทำในวิธี 7.762 และ/หรือ 7.763 ซึ่งทำกับ benzophenone มาด้วย hydrolysis ใน 7.764 12% และ 7.765 20% สำหรับปฏิกิริยาที่ 2 จัดว่าเป็น Knoevenagel reaction ใน alkene เป็น product



ในที่นี้ z และ z' คือ pyridinium และ cyanide

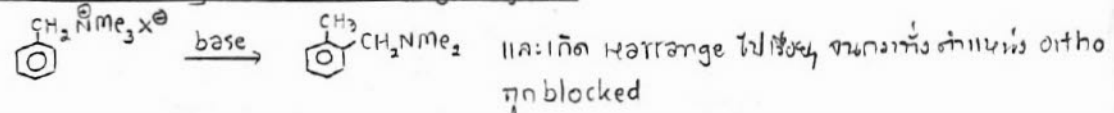
- สามารถเกิด Michael addition กับ  $\alpha, \beta$ -unsaturated carbonyl compounds
- เมื่อทำกับ esters จะเกิด nucleophilic addition ใน ammonium ketones ดังใน ข้างใน ซึ่งจะปฏิกิริยาได้เหมือนกันเมื่อทำกับ nitriles

7.3.3. Stevens rearrangement ของ nitrogen ylides

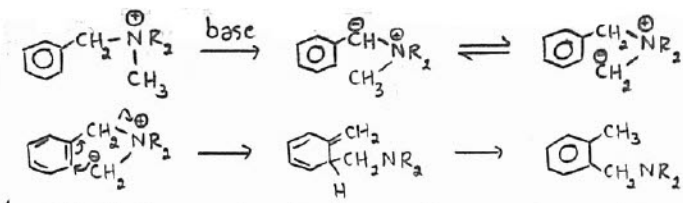


ดูตัวอย่างปฏิกิริยาใน ข้างใน สำหรับ mechanism อาจเป็นได้ทั้ง radical pair, ion pair หรือ concerted 1,2-shift โดย migrating group จะไม่ retention of configuration

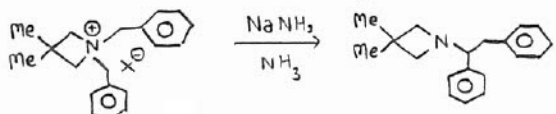
7.3.4. Sommelet-Hauser rearrangement ของ nitrogen ylides



mechanism:



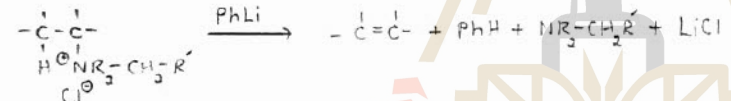
ดูตัวอย่างใน แผ่นที่ 1 ไม่ได้แสดงกรณีเกิด deprotonation ของ benzylic H แต่จะเกิด equilibrium ใน 8.777



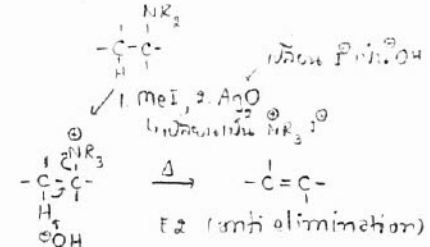
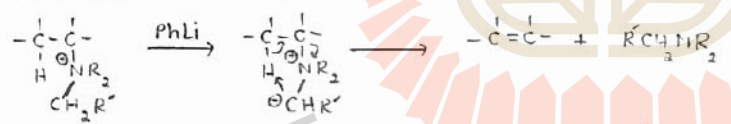
ดูกรณีข้างต้นด้วย Stevens rearrangement และ Sommelet-Hauser rearrangement ใน แผ่นที่ 1  
 8.786 กับ base จาใน ylides 8.787 และ 8.793 (เกิดจากกรณีเฉพาะ)  
 Stevens products ได้จาก 8.788, 8.789, 8.794 → มีโครงสร้างที่เฉพาะเจาะจง 8.788 และ 8.789 ึ่งเกิดโดย  
 เกิดจาก benzyl migration ← เกิดจาก methyl migration  
 Sommelet-Hauser products ได้จาก 8.790 และ 8.791

ผลใน polar aprotic solvents major product = Sommelet-Hauser product 8.790  
 ใน nonpolar solvents major product = Stevens product 8.788  
 ใน DMSO (เพิ่ม nucleophilicity ของ base) major product = displacement product 8.792  
 เมื่อ base = RO<sup>-</sup> จะเกิด S<sub>N</sub>2 reaction จาใน major product = (S<sub>N</sub>2) displacement product 8.792 หรือ  
 จากเป็นเบสที่แข็งแรงจะทำให้เกิด ylide จาก 8.786

7.3.5 Hofmann elimination reaction ของ nitrogen ylides



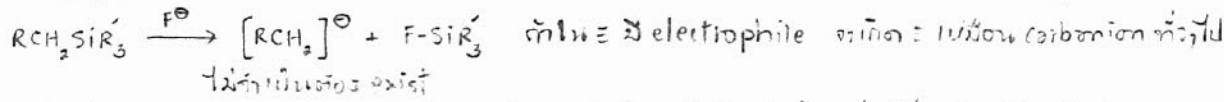
mechanism E<sub>i</sub> ⇒ syn elimination



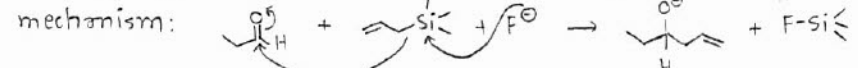
⑧ Organosilanes

8.1 การสังเคราะห์  $\text{R}_3\text{Si-X} + \text{R}^1\text{R}^2\text{Si-X} \rightarrow \text{R}^1\text{R}^2\text{Si-R}^3$  ดูตัวอย่างการสังเคราะห์ใน แผ่นที่ 1

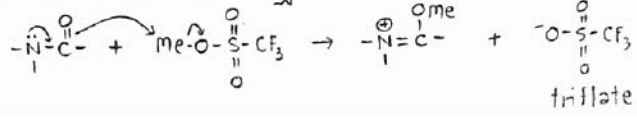
8.2 Reactions ของ organosilanes



- 180° กับ aldehydes หรือ ketones ใน alcohols เป็น products ตัวอย่างใน แผ่นที่ 1 BU<sub>4</sub>HF = TBAF (tetrabutylammonium fluoride) ใช้กับ generate carbocation จาก organosilane

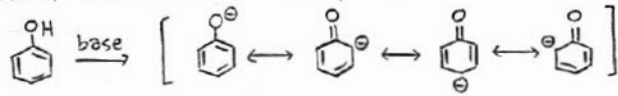


- Michael type addition ดูตัวอย่างใน แผ่นที่ 1 มีกับ DMF เป็น solvent และกับ HMPA เพื่อเพิ่ม yield  
 - ดูตัวอย่าง fluoride-silane carbocation reaction เพื่อ generate imidate ylide ใน แผ่นที่ 1 ในที่นี้ใช้ CsF ใน ms generate carbocation จาก organosilane เมื่อ ylide 8.865 เกิด [3+2] cycloaddition กับ methyl arylate จาก product เป็น 8.866 สังเกตปฏิกิริยาข้างบนเกิด O-alkylation ของ amide

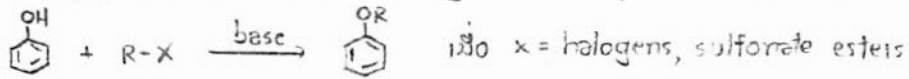


ⓐ Phenolic carbanions

เมื่อ phenol ทำปฏิกิริยากับ base จะเกิด phenoxide ion ซึ่งมีโครงสร้าง resonance ดังสมการ



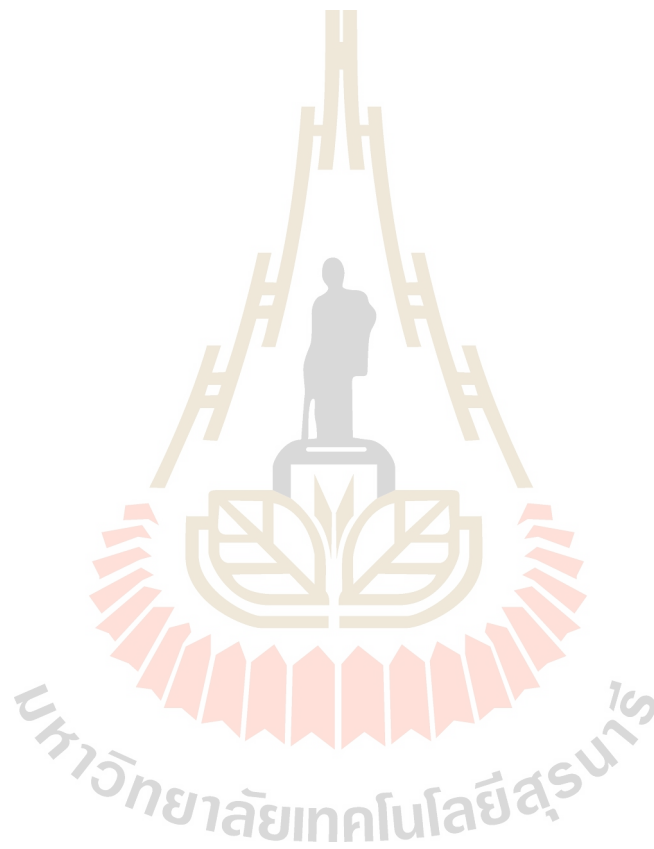
ถ้าเติม electrophile ลงไป จะเกิด O-alkylation ใน product เป็น ether  $\Rightarrow$  Williamson reaction



ถ้า electrophilic center ทำปฏิกิริยากับ phenolic moiety อยู่แล้ว จะเกิด C-alkylation ใน product เป็น spirocyclic ketone ดังตัวอย่างปฏิกิริยาในแผนผัง



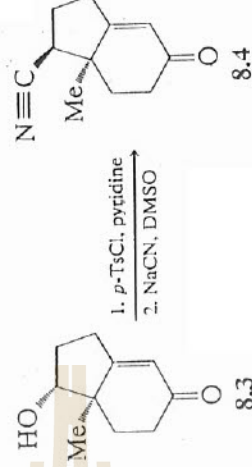
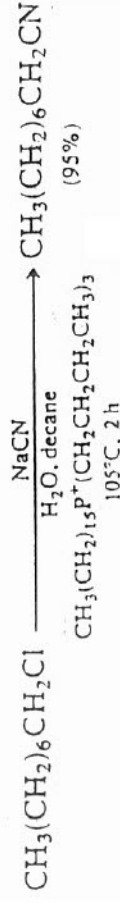
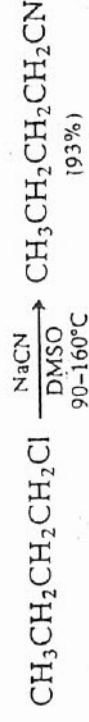
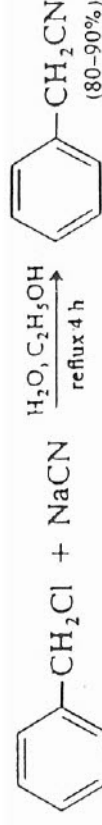
สภาวะปฏิกิริยาที่ 2 ไม่ได้เริ่มต้นจาก phenol โดยตรง แต่ phenolic anion จะเกิด in situ

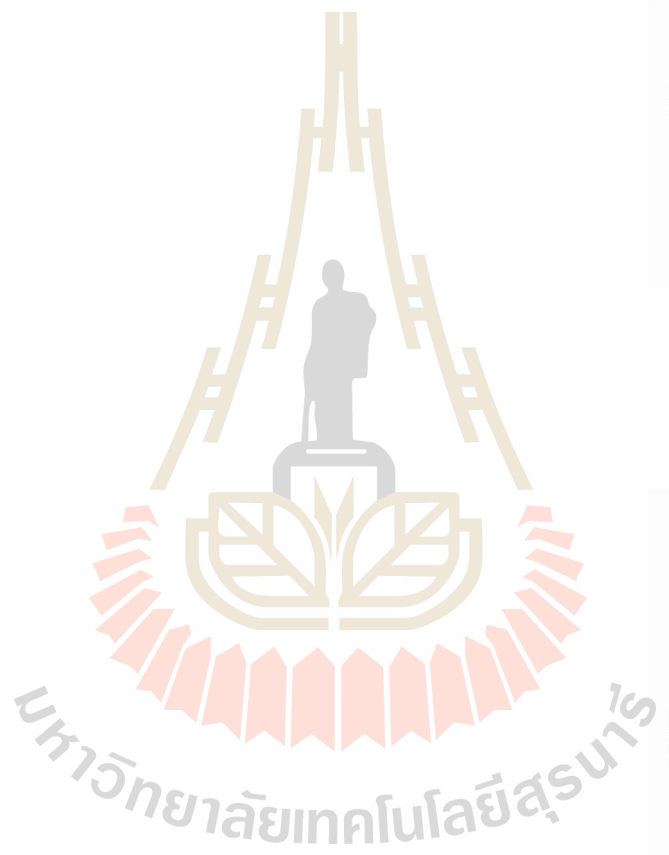
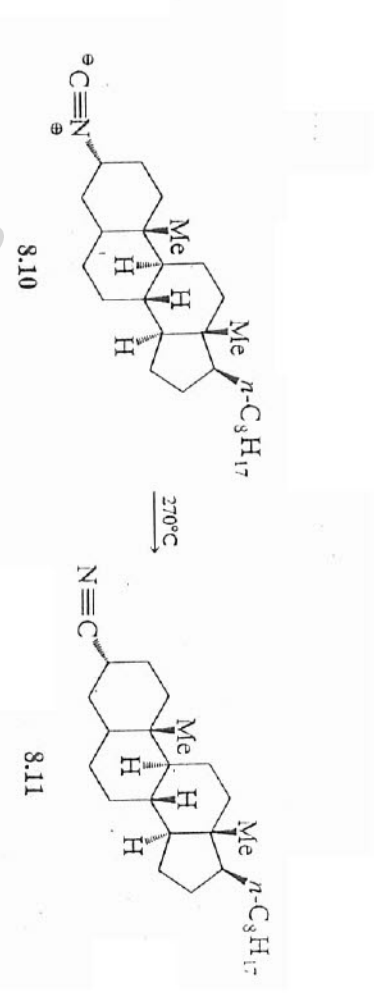
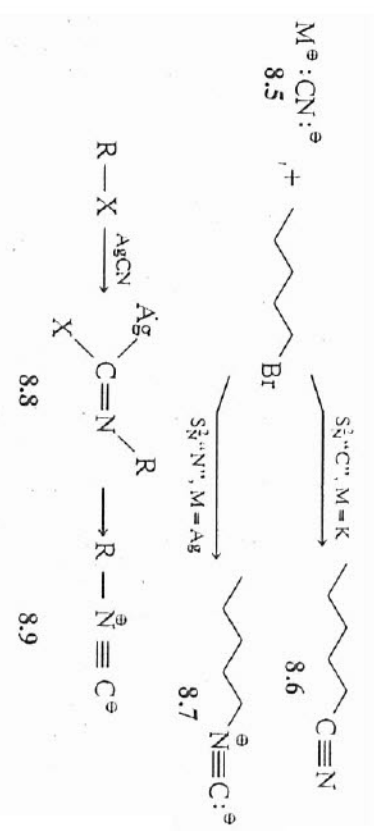


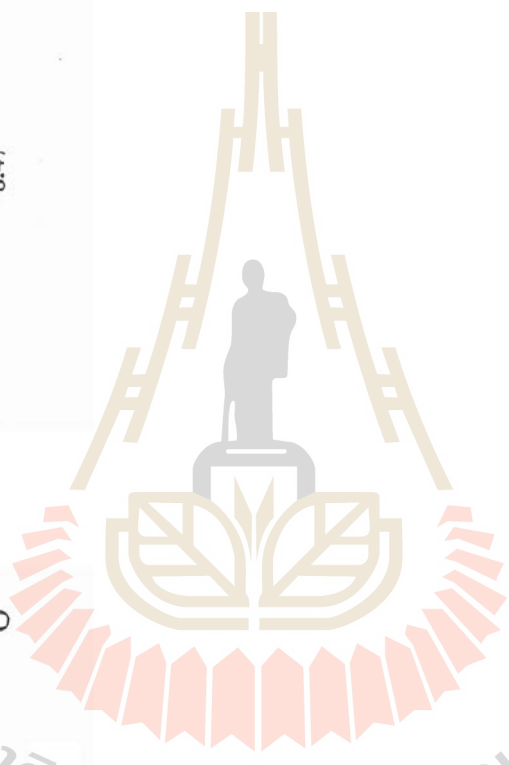
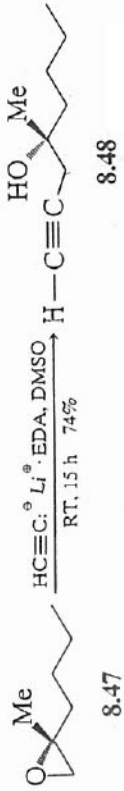
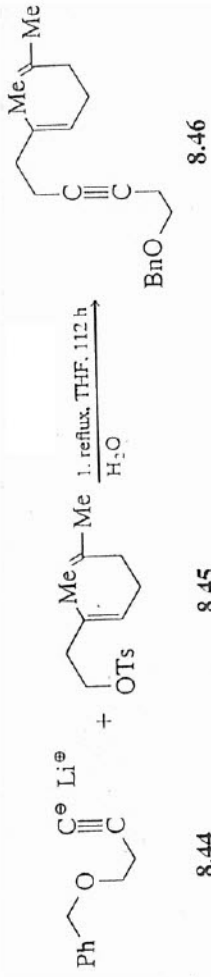
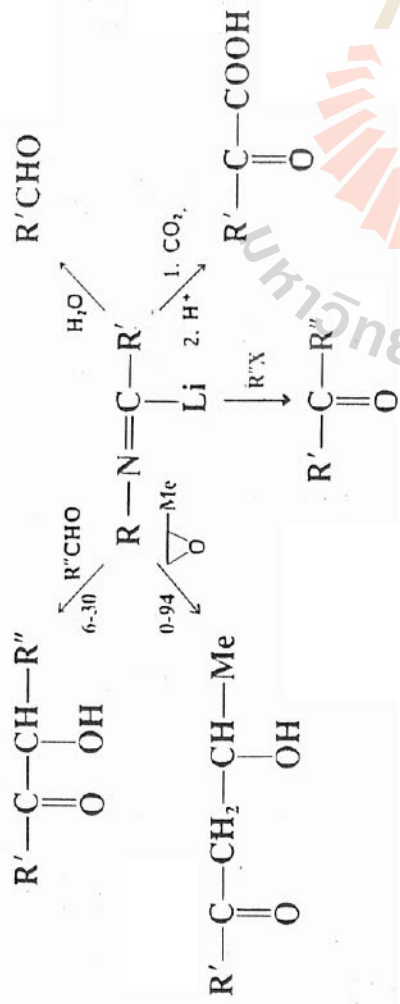
## Nucleophilic species that form carbon-carbon bonds

### bonds

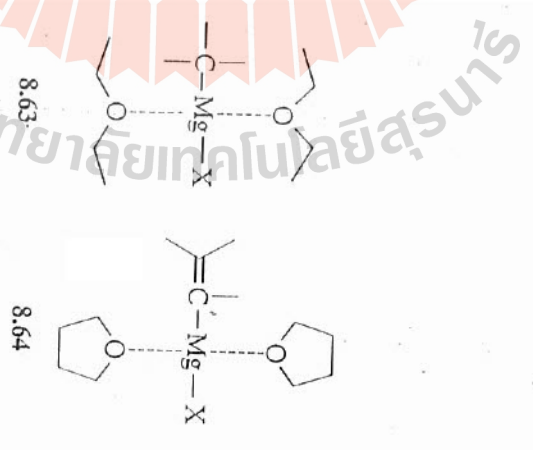
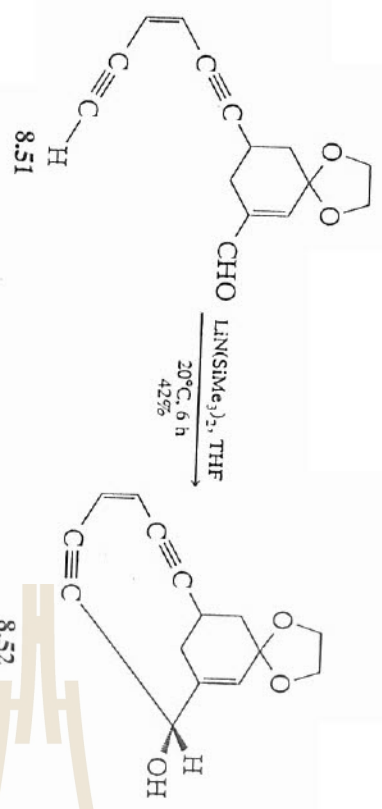
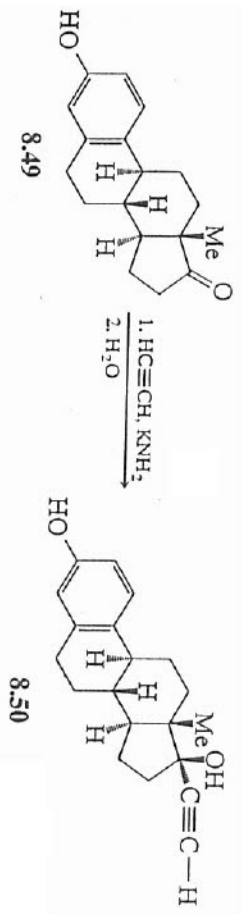
- cyanide
- acetylides
- Grignard reagents
- organolithium reagents
- sulfur carbanions
- organocopper reagents
- ylides
- organosilanes
- phenolic carbanions



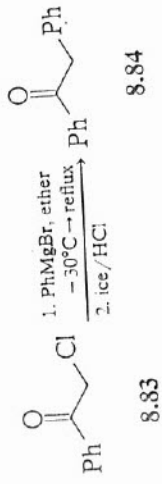
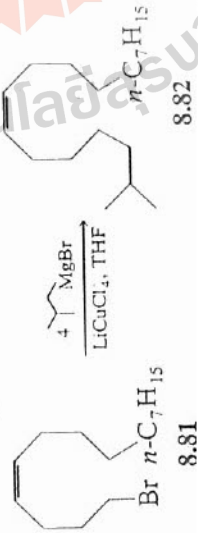
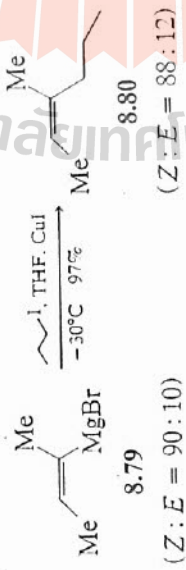
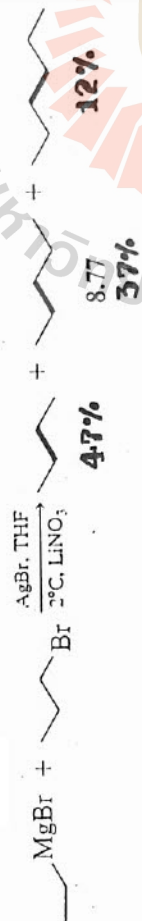
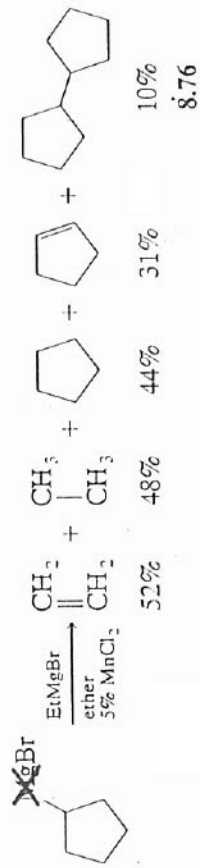
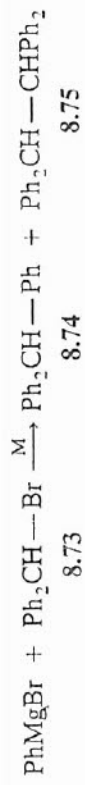


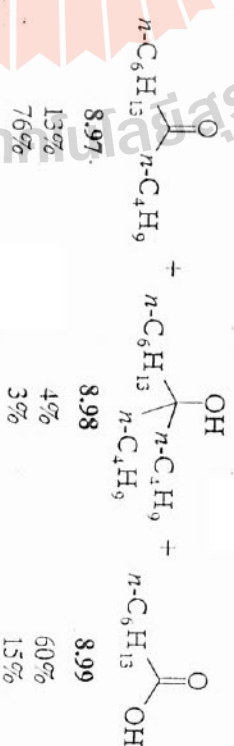
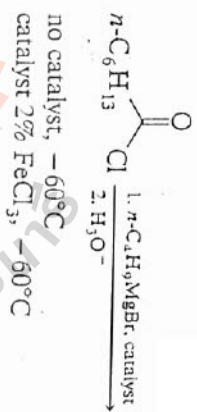
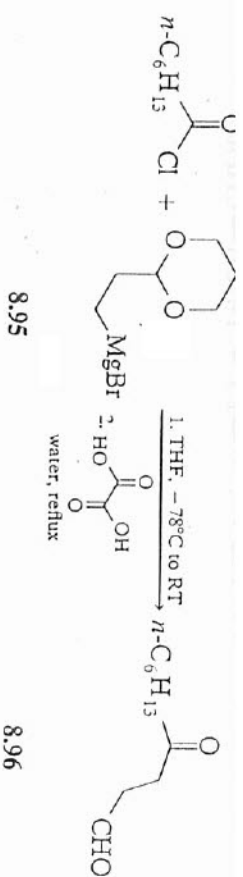
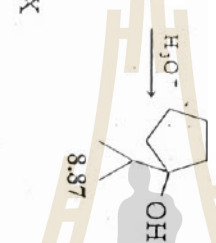
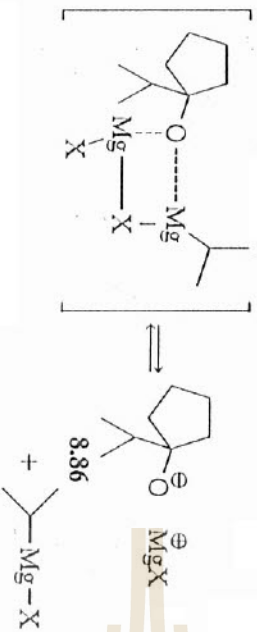
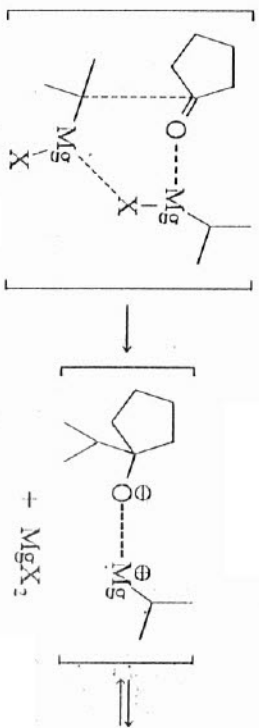
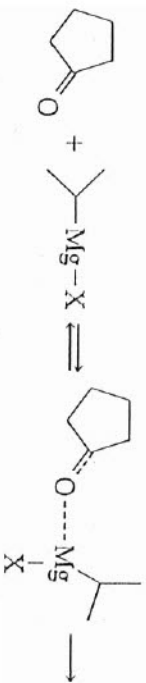


มหาวิทยาลัยเทคโนโลยีสุรนารี



มหาวิทยาลัยสุรนารี



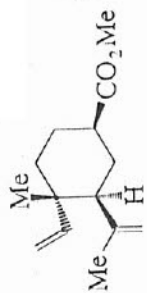


มหาวิทยาลัยเทคโนโลยีพระจอมเกล้าธนบุรี

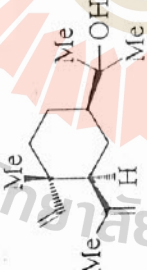
8.97  
13%  
76%

8.98  
4%  
3%

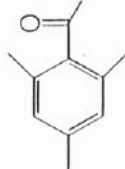
8.99  
60%  
15%



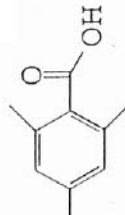
8.102



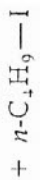
8.103



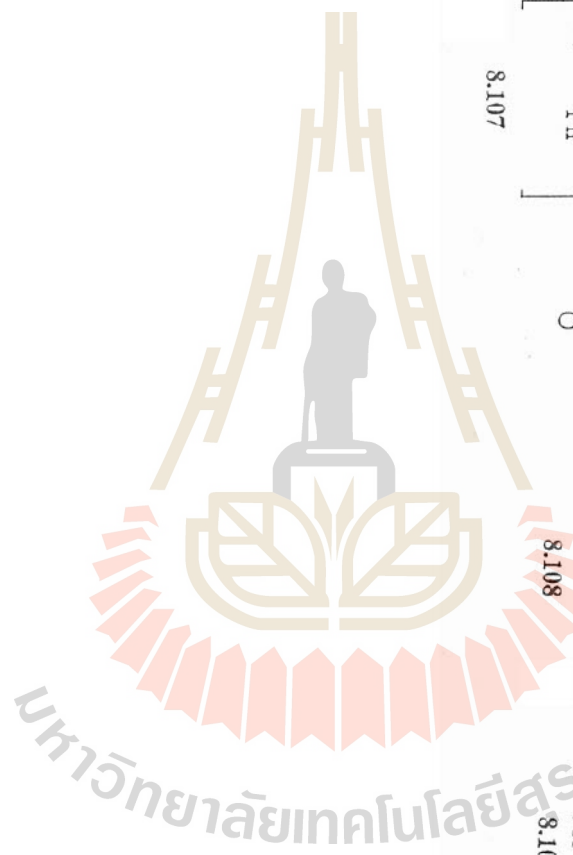
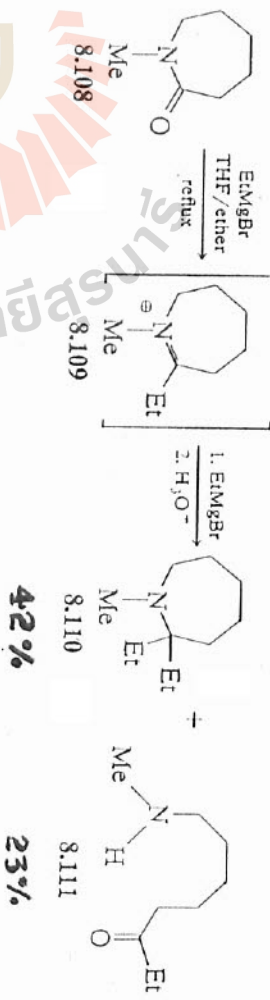
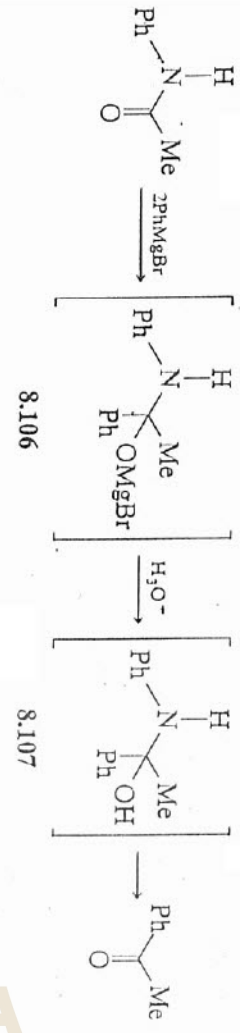
8.104

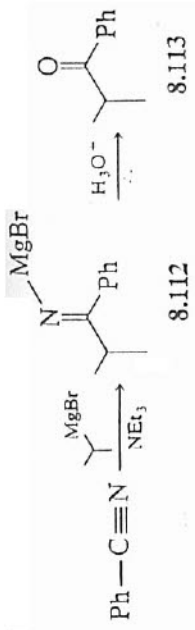


8.105

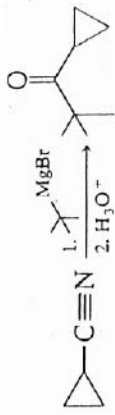


มหาวิทยาลัยเทคโนโลยีสุรนารี

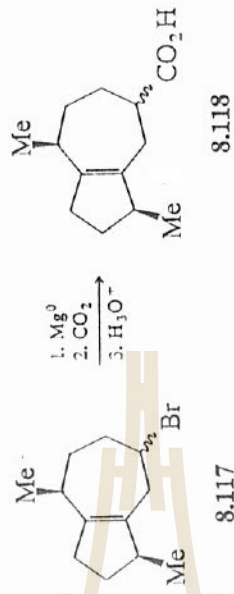
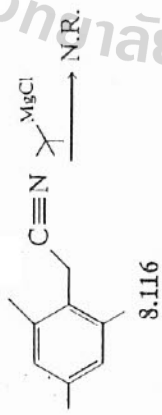




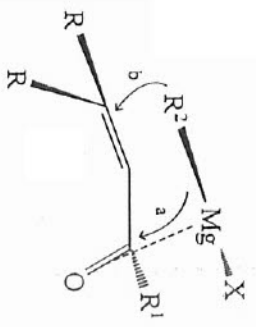
8.113



8.115



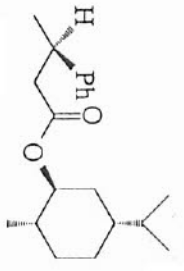
8.118



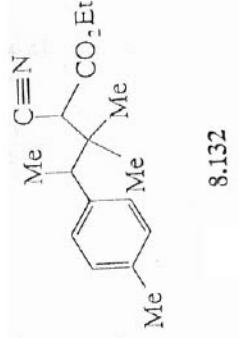
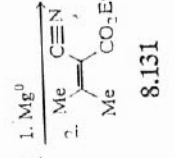
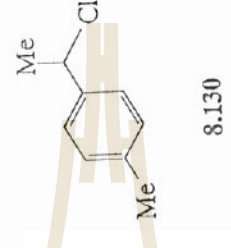
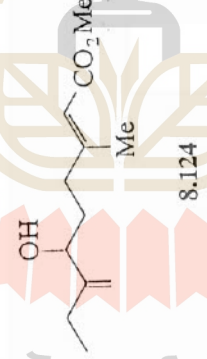
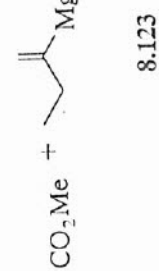
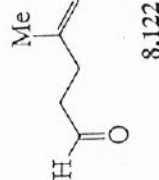
8.128



8.129

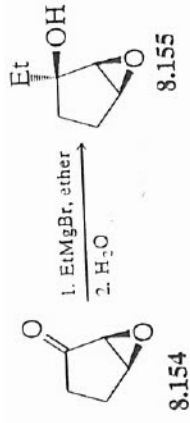
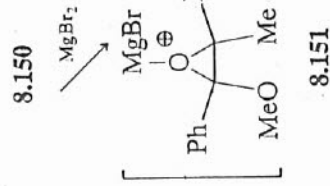
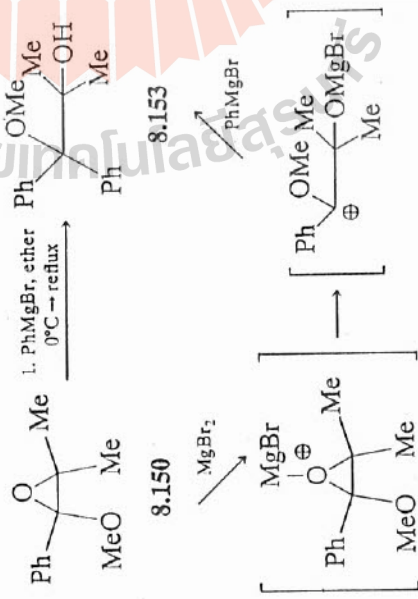
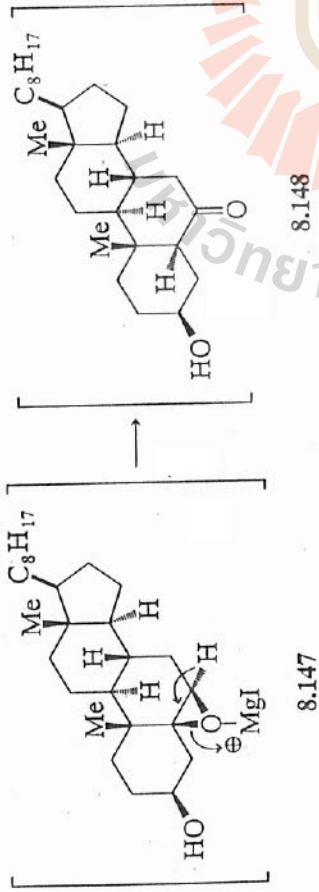
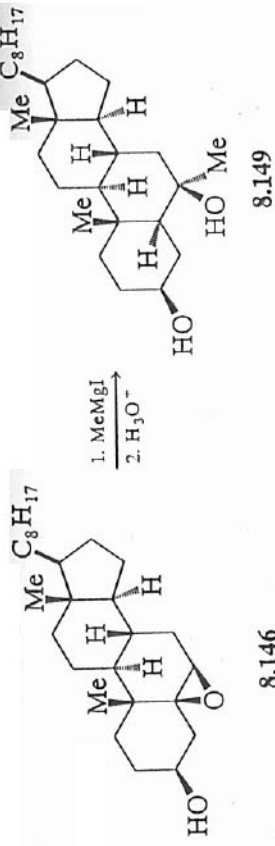


มหาวิทยาลัยเทคโนโลยีสุรนารี



มหาวิทยาลัยเทคโนโลยีสุรนารี





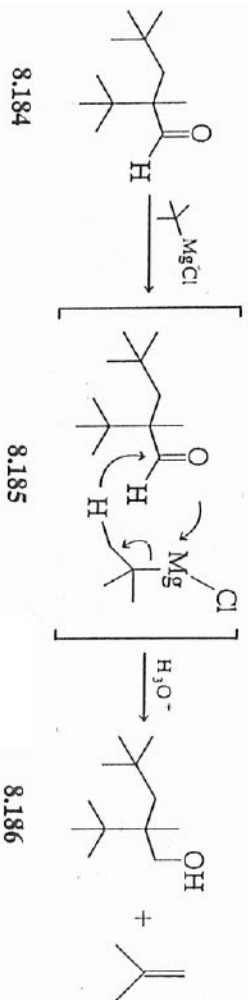


TABLE 8.12  
Competition for nucleophilic addition, reduction, and enolization  
in reactions of diisopropyl ketone with Grignard reagents.

RMgX	RMgX / ketone	% Enol	% Reduction	% Addition
EtMgBr	1.3	1	21	78
	1.5	1	19	80
	2.5	1	15	80
	1.2	2	21	77
	1.2	2	51	46
	2.5	1	37	62
<i>n</i> -PrMgCl	1.2	1	64	35
<i>n</i> -PrMgBr	1.2	1	60	36
<i>n</i> -PrMgCl	1.4	2	69	30
<i>n</i> -PrMgBr	1.2	2	72	0
<i>i</i> -PrMgCl	1.2	29	65	0
<i>i</i> -PrMgBr	1.4	30	65	0
<i>i</i> -PrMgI	1.4	30	70	0

Source: Reprinted with permission from Cowan, D. O.; Mosher, H. S. *J. Org. Chem.*, 1962, 27, 1. Copyright 1962 American Chemical Society.

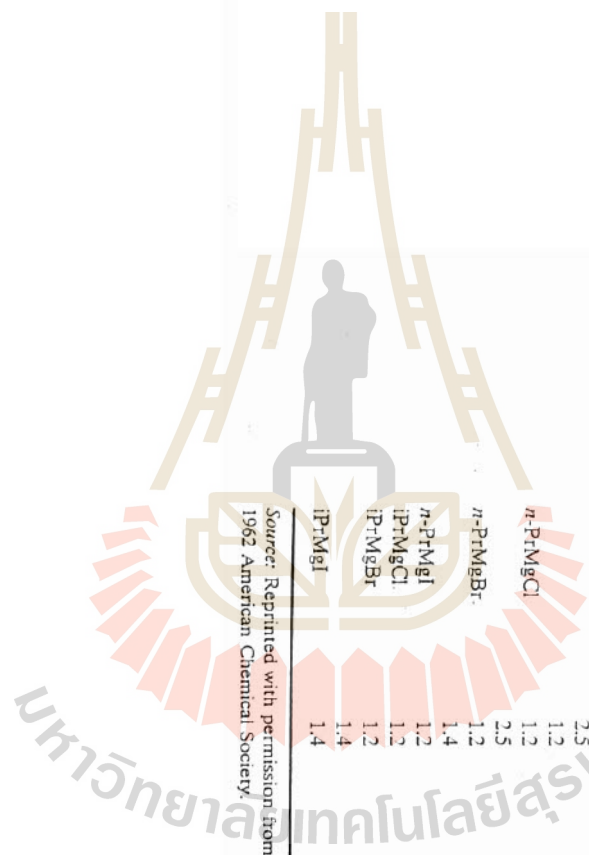


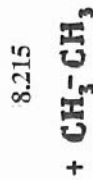
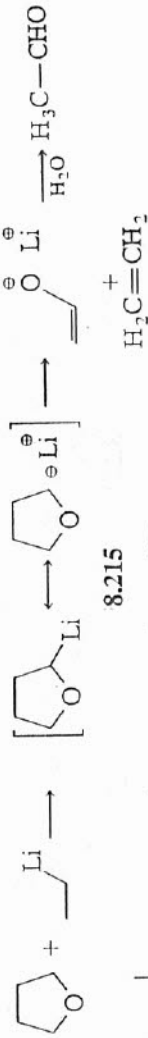
TABLE 8.13<sup>194</sup>

Association of organolithium reagents  
in common solvents.

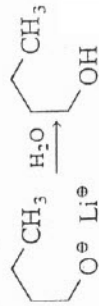
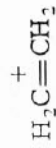


R	Solvent	n
Et	Cyclohexane	6
	Hexane	6
	Et <sub>2</sub> O	2
	Benzene	6,2
n-Bu	Cyclohexane	6
	Benzene	6,2
	Et <sub>2</sub> O	6
+ TMEDA	Hexane	1
t-Bu	Hexane	+
	Benzene	+
Ph	Et <sub>2</sub> O	2

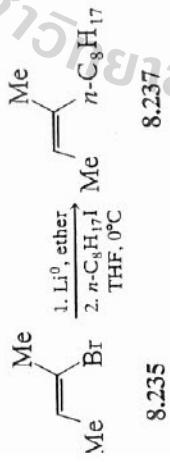
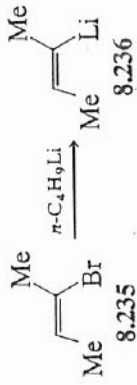
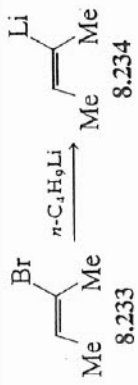
Source: Reprinted with permission from Mallan.  
J. M.; Bebb, R. L. *Chem. Rev.*, 1969, 69, 695. Copyright 1969 American Chemical Society.



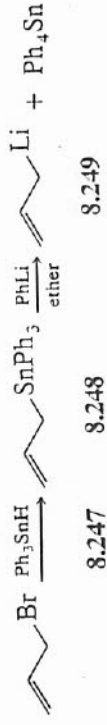
8.215

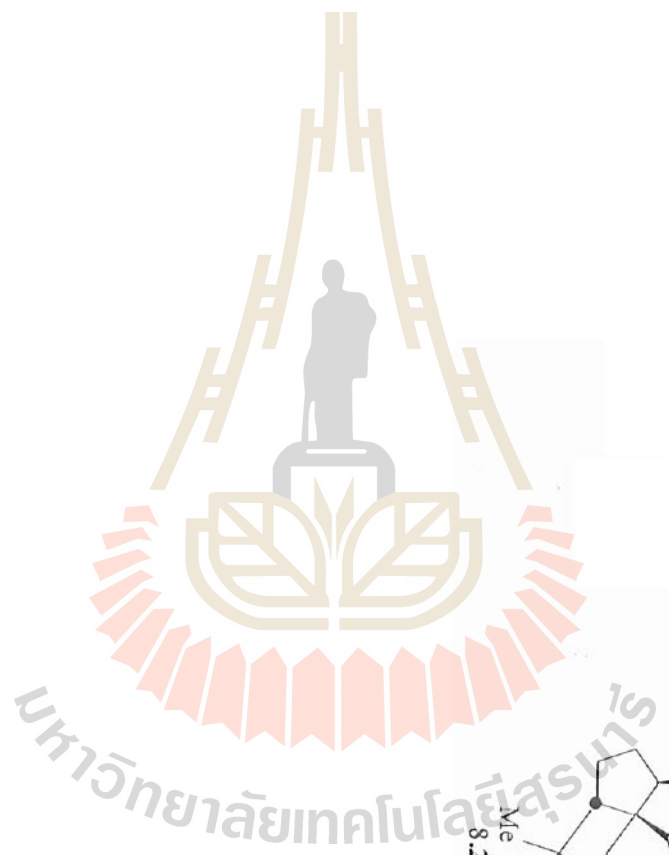
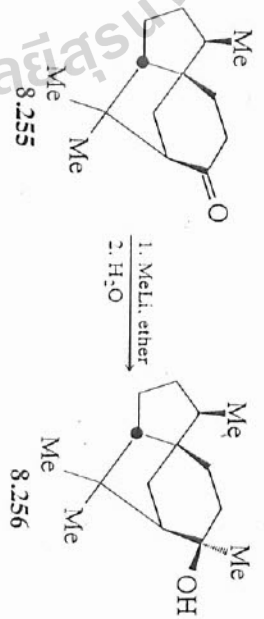
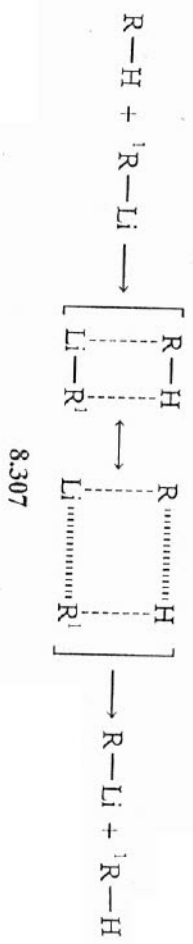




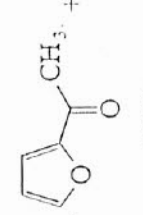
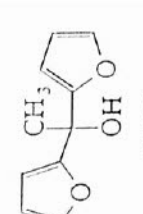
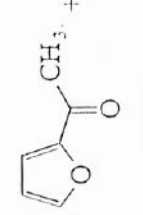
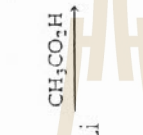
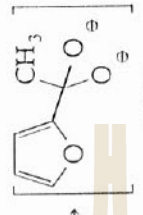
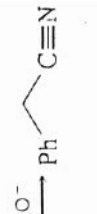
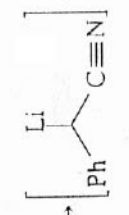
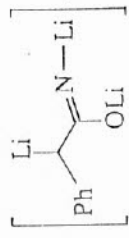
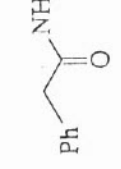
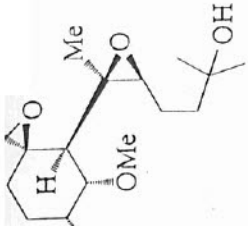
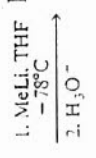
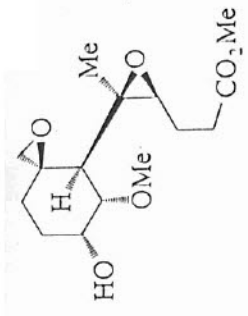
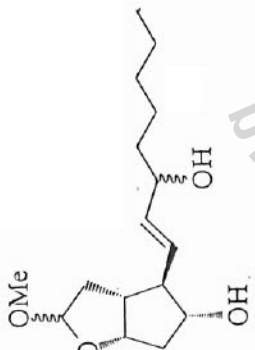
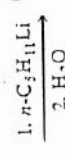
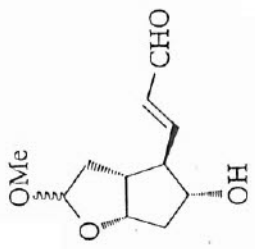


**947-Z**

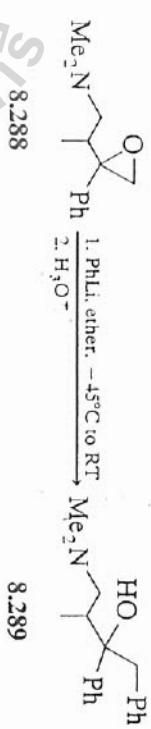
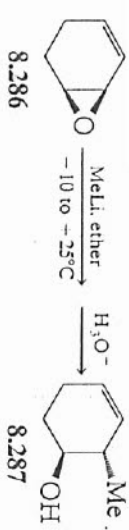
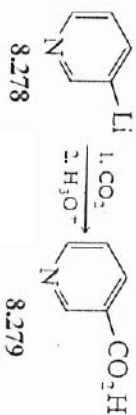
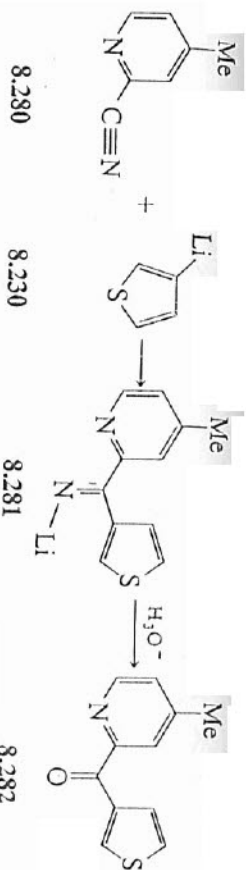




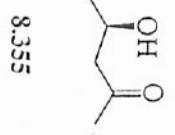
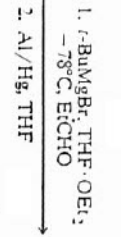
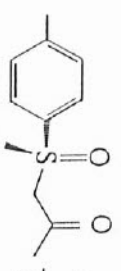
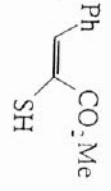
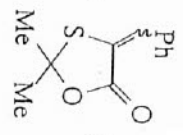
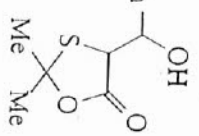
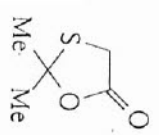
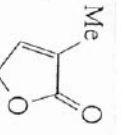
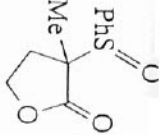
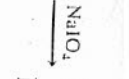
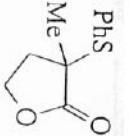
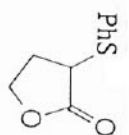
มหาวิทยาลัยเทคโนโลยีสุรนารี

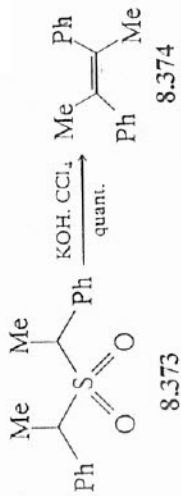
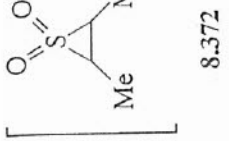
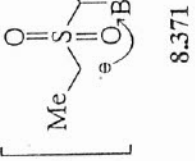
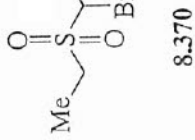
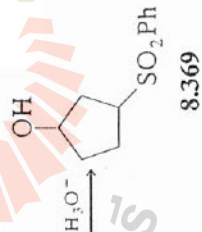
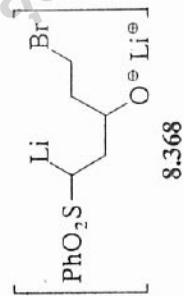
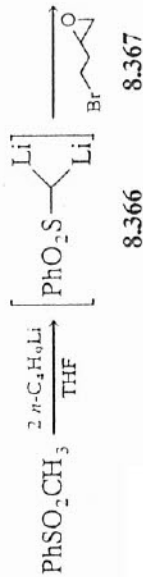
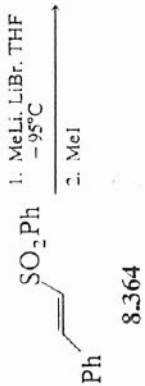
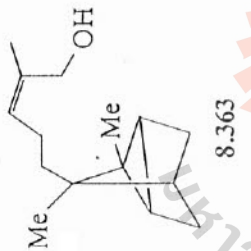
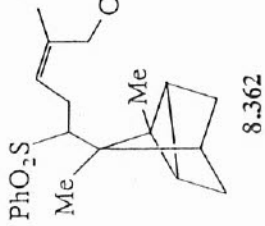
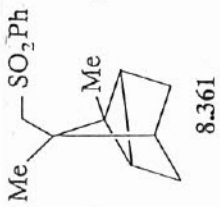
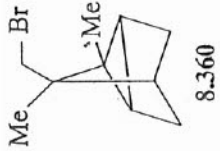


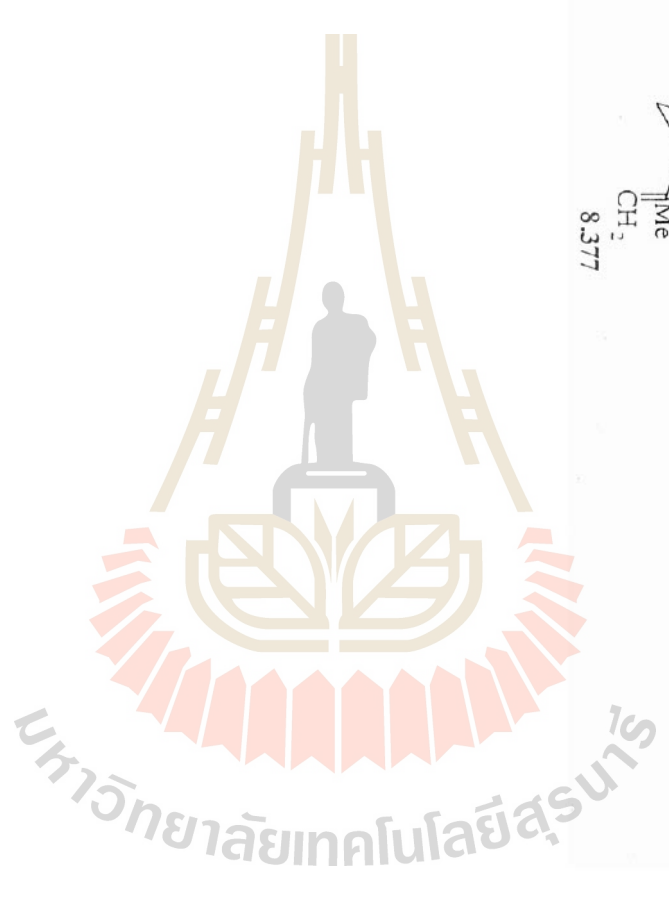
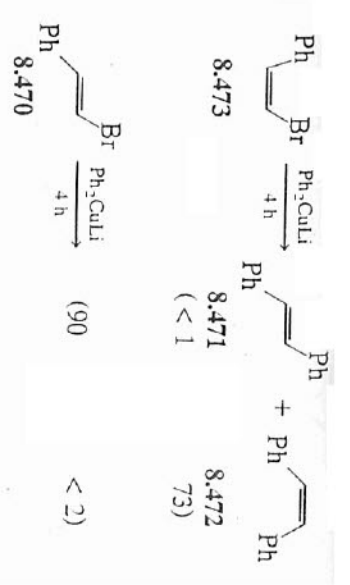
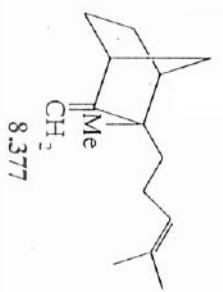
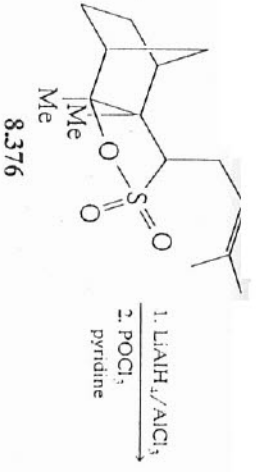
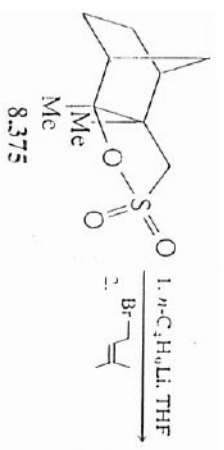
มหาวิทยาลัยเทคโนโลยีสุรนารี

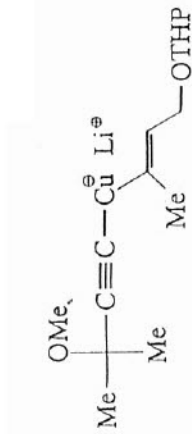




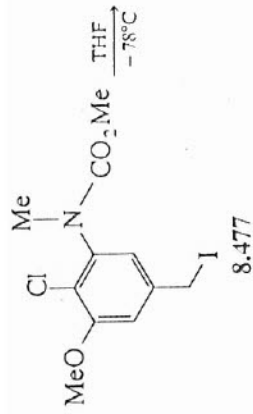




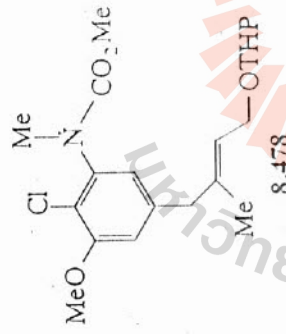




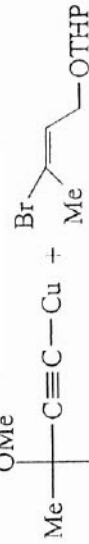
8.476



8.477



8.478

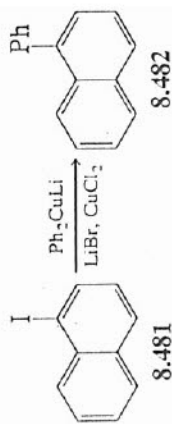


8.479

8.480

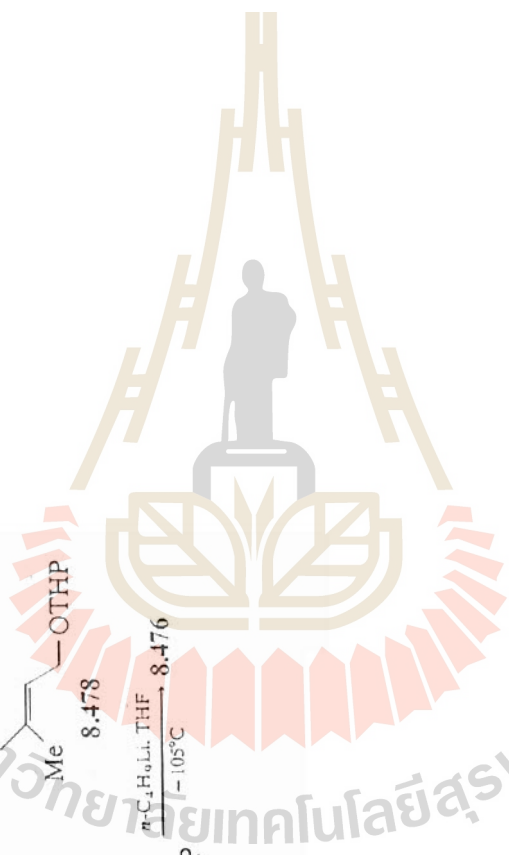


8.476

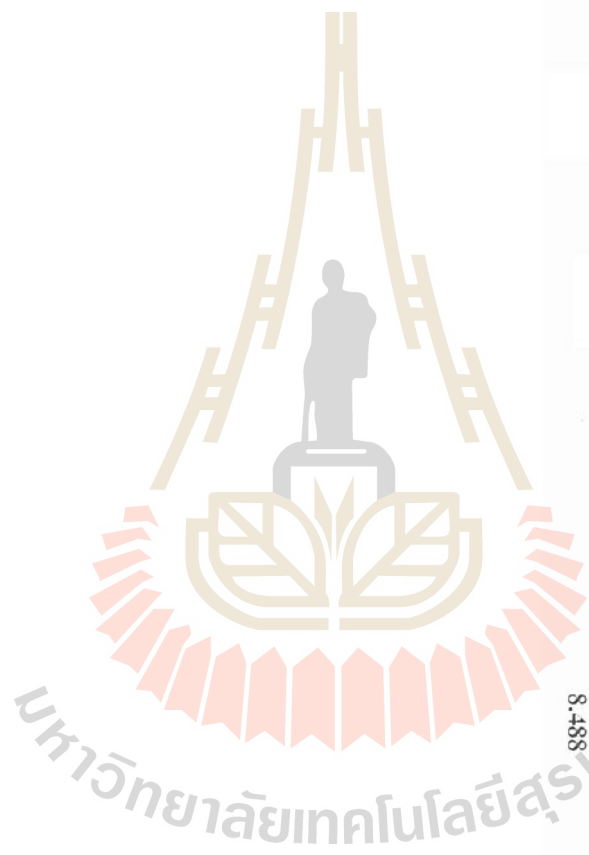
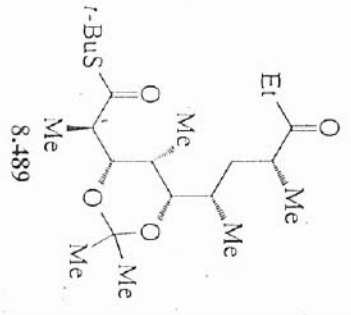
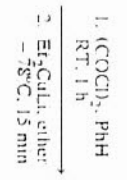
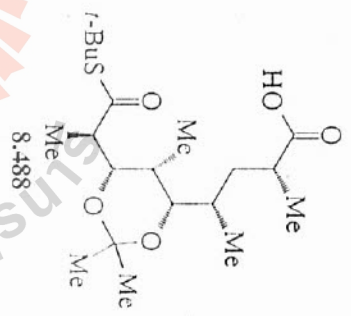
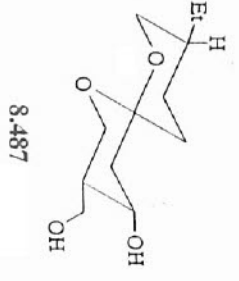
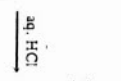
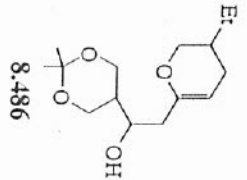
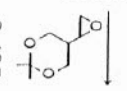
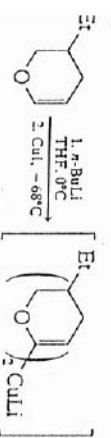


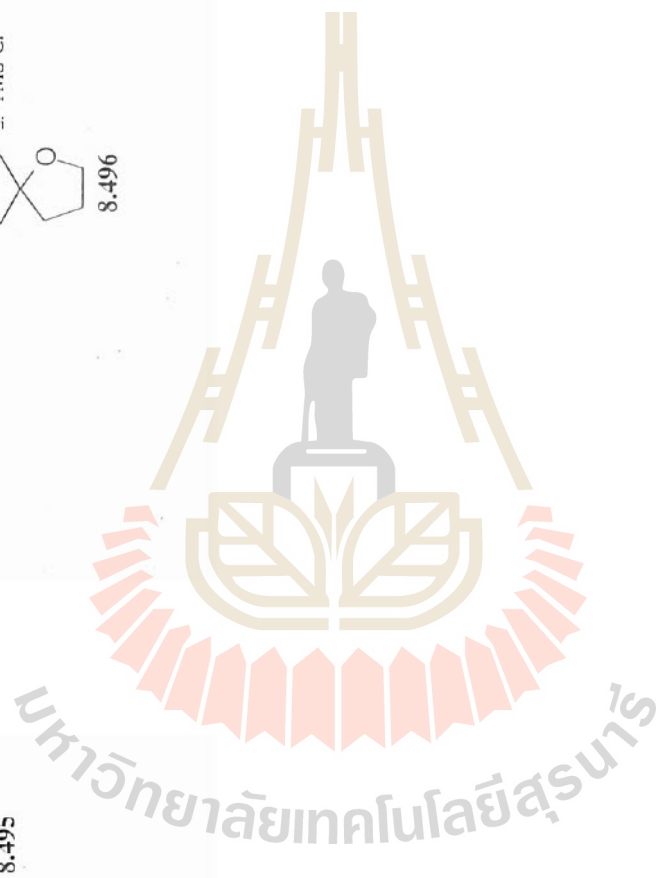
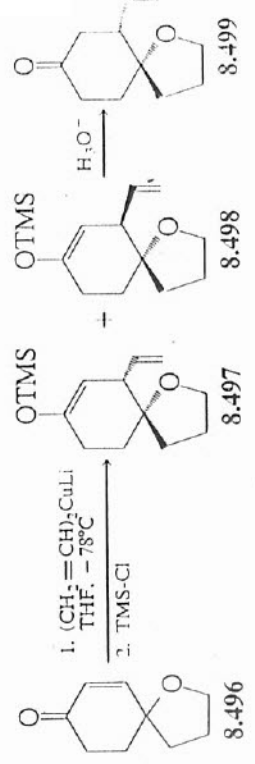
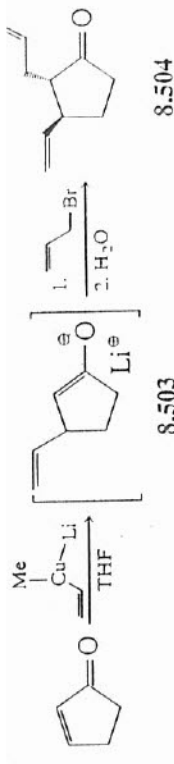
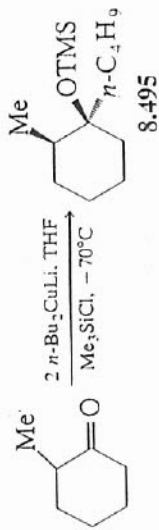
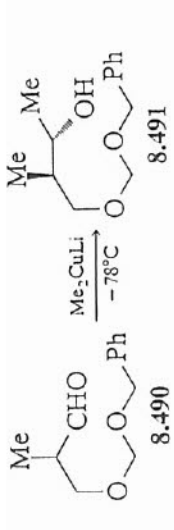
8.481

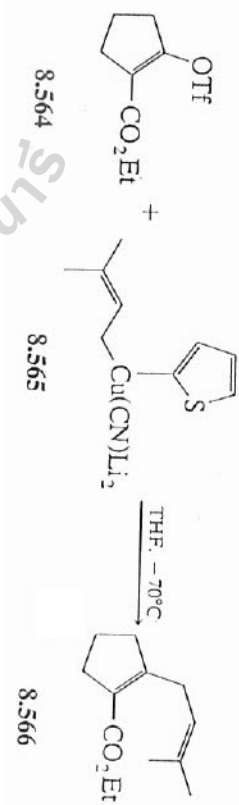
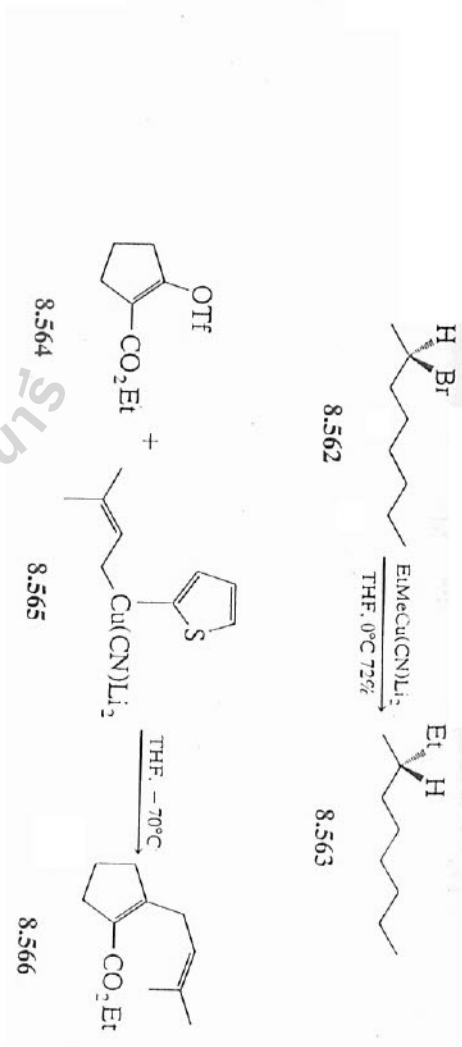
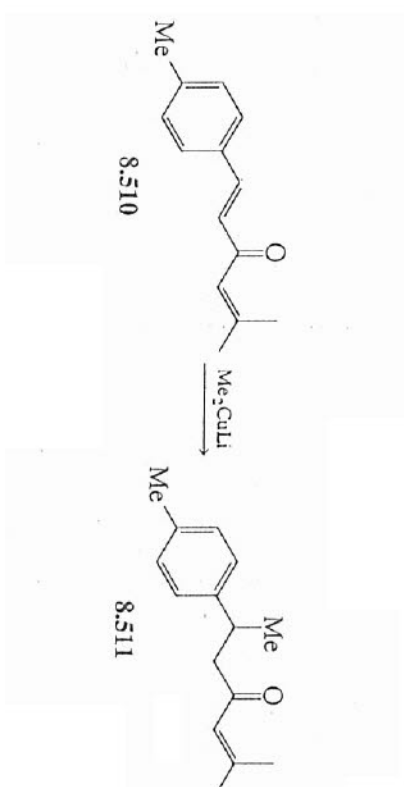
8.482

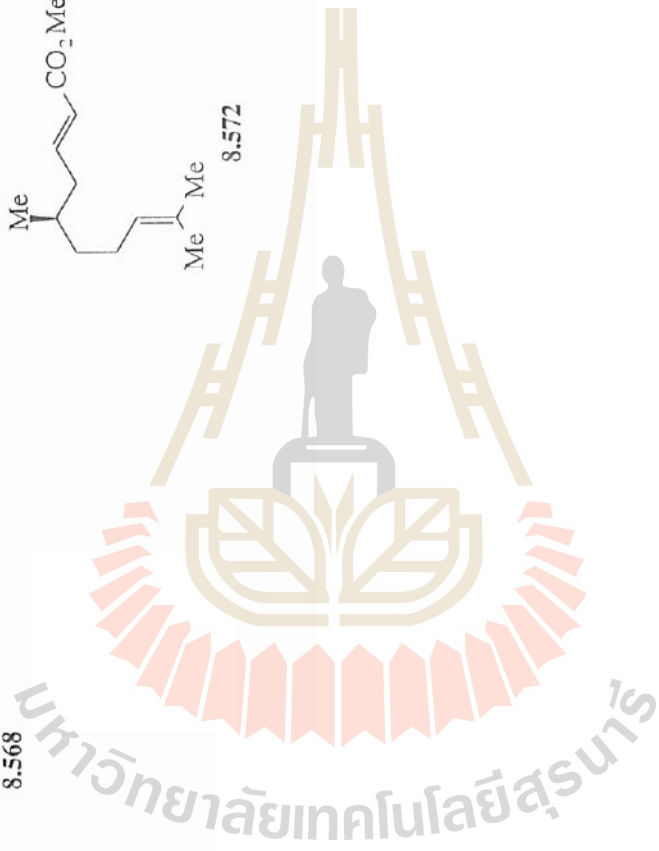
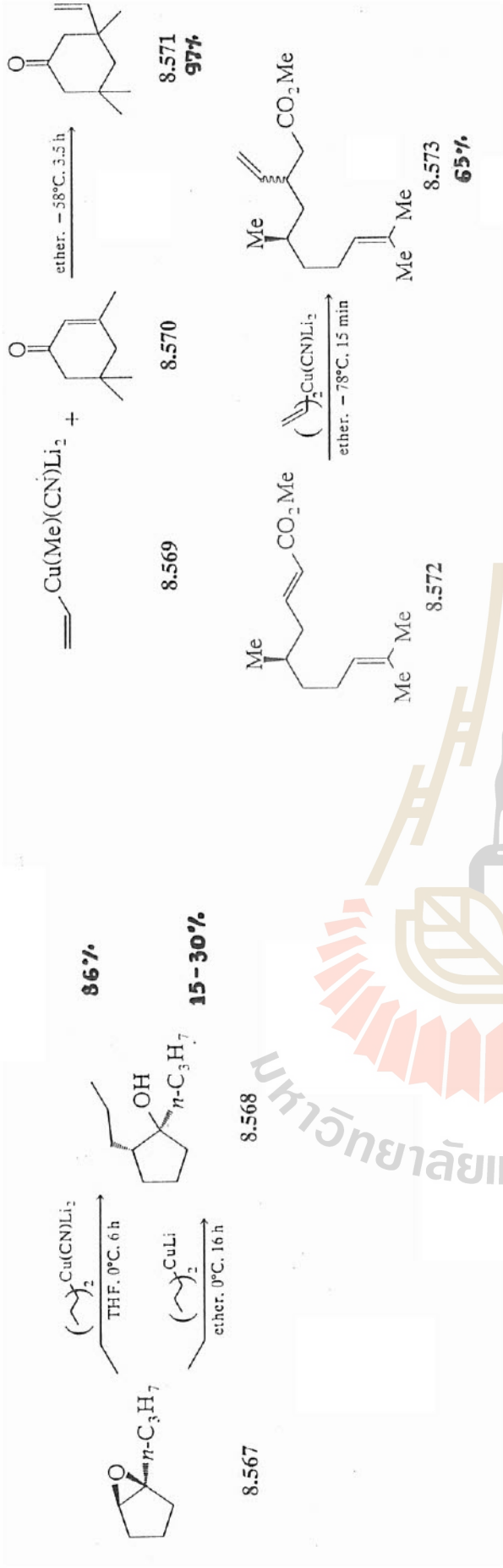


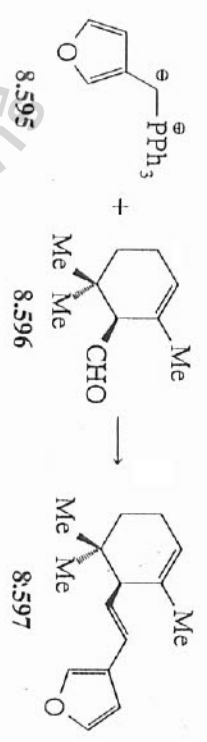
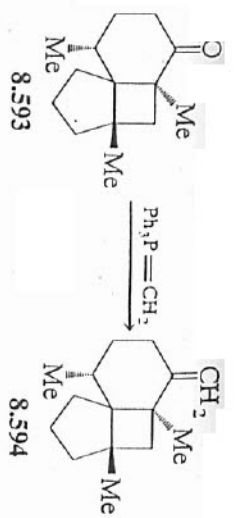
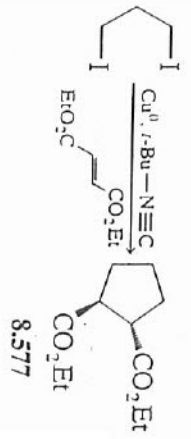
มหาวิทยาลัยเทคโนโลยีสุรนารี





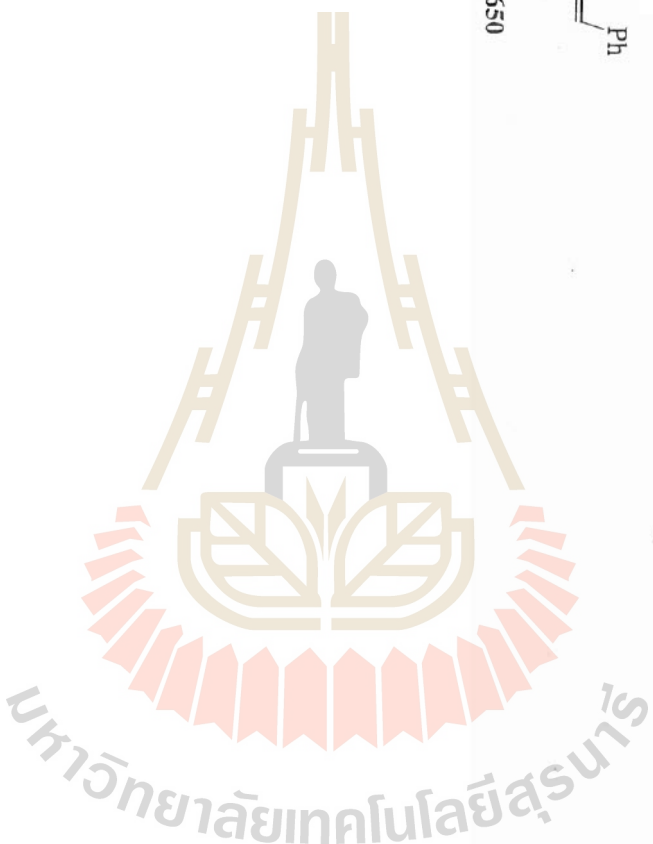
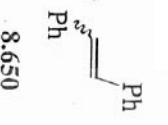
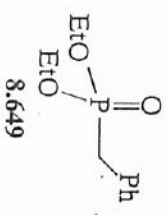
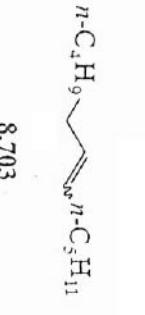
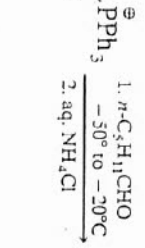
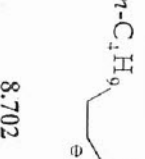
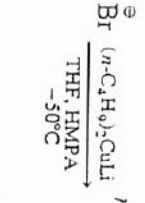
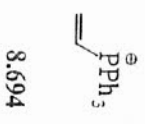
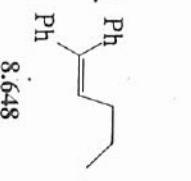
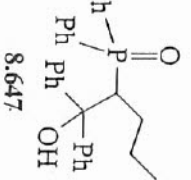
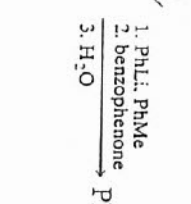
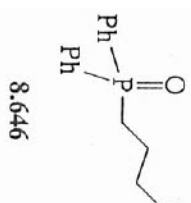




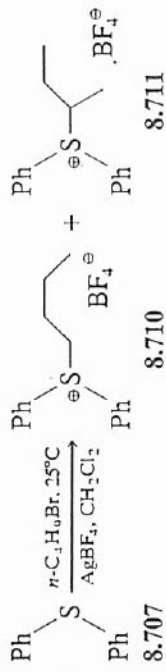


มหาวิทยาลัยเทคโนโลยีสุรนารี



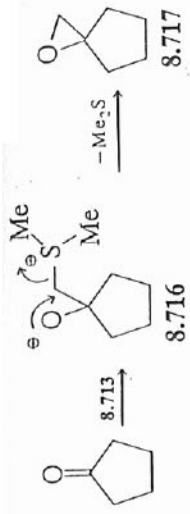


มหาวิทยาลัยเทคโนโลยีสุรนารี

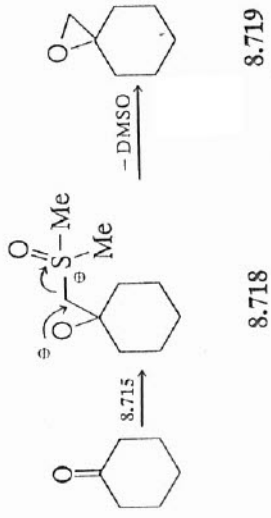


8.711

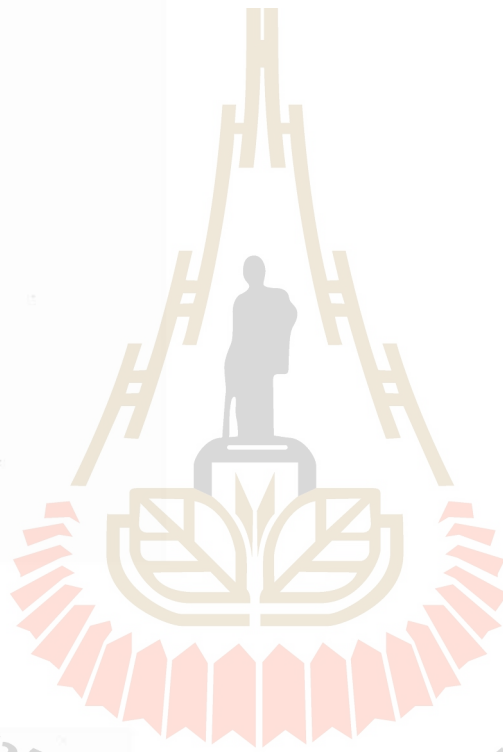
8.710



8.717



8.719



มหาวิทยาลัยเทคโนโลยีสุรนารี

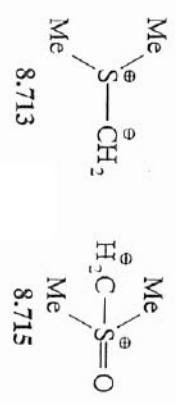


8.722

+ 8.713  
+ 8.715

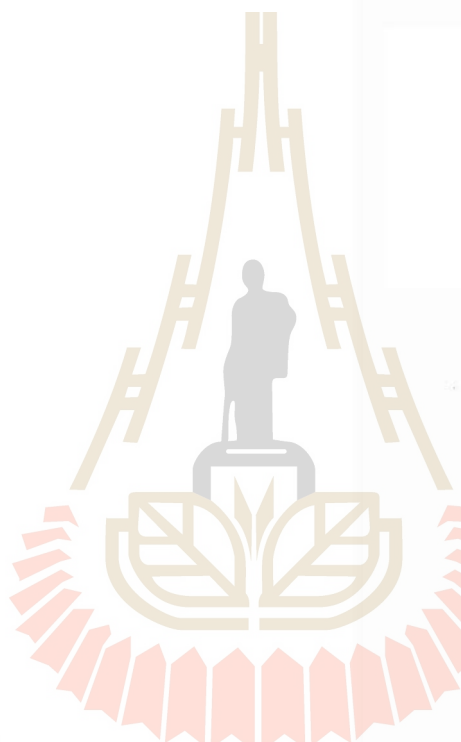
8.723  
(5  
(0)

8.724  
(1  
(100)

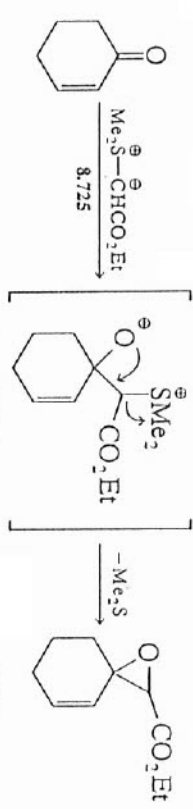


8.713

8.715

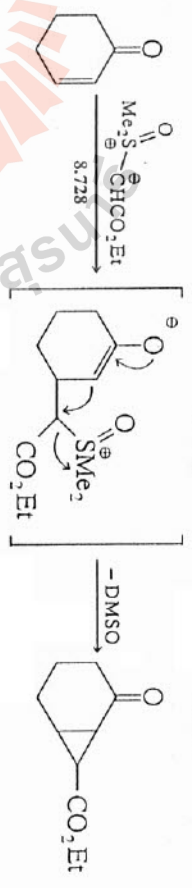


มหาวิทยาลัยเทคโนโลยีสุรนารี



8.726

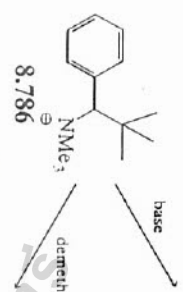
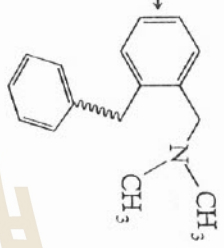
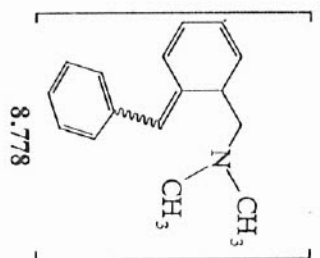
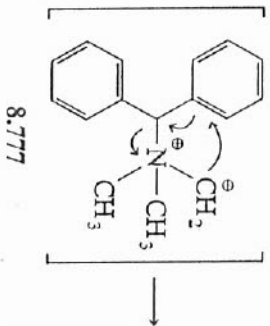
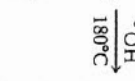
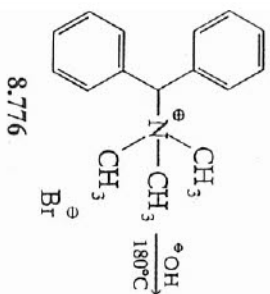
8.727



8.729

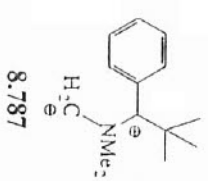
8.730





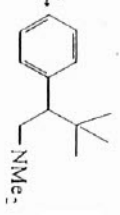
base

demethylation

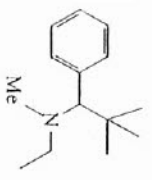


Stevens

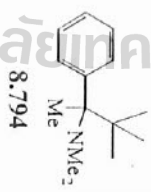
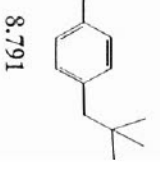
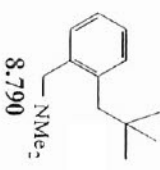
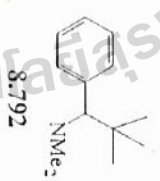
8.788



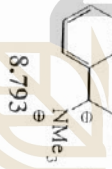
8.789



Sommelet-Hauser

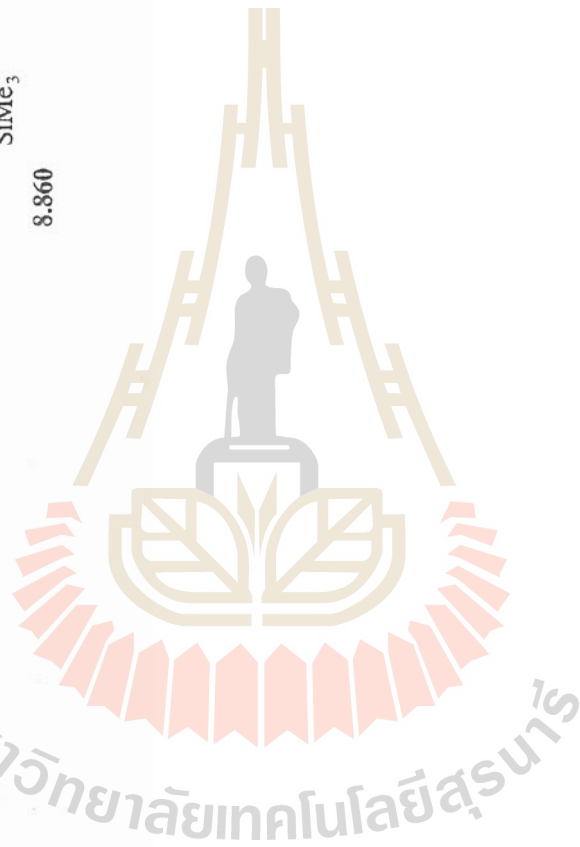
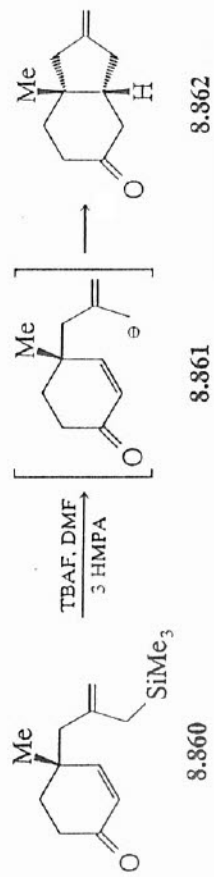
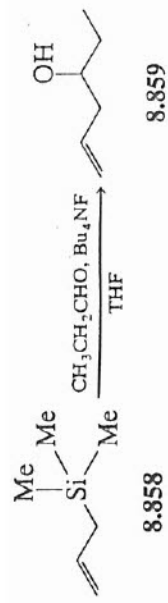
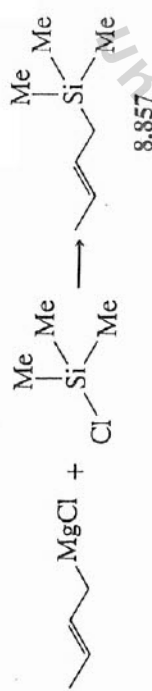
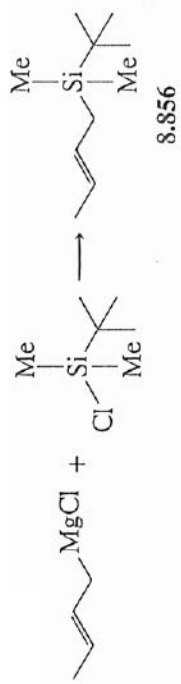


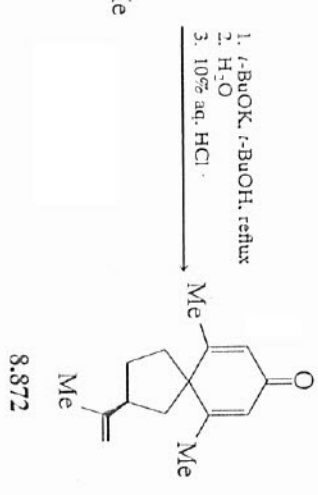
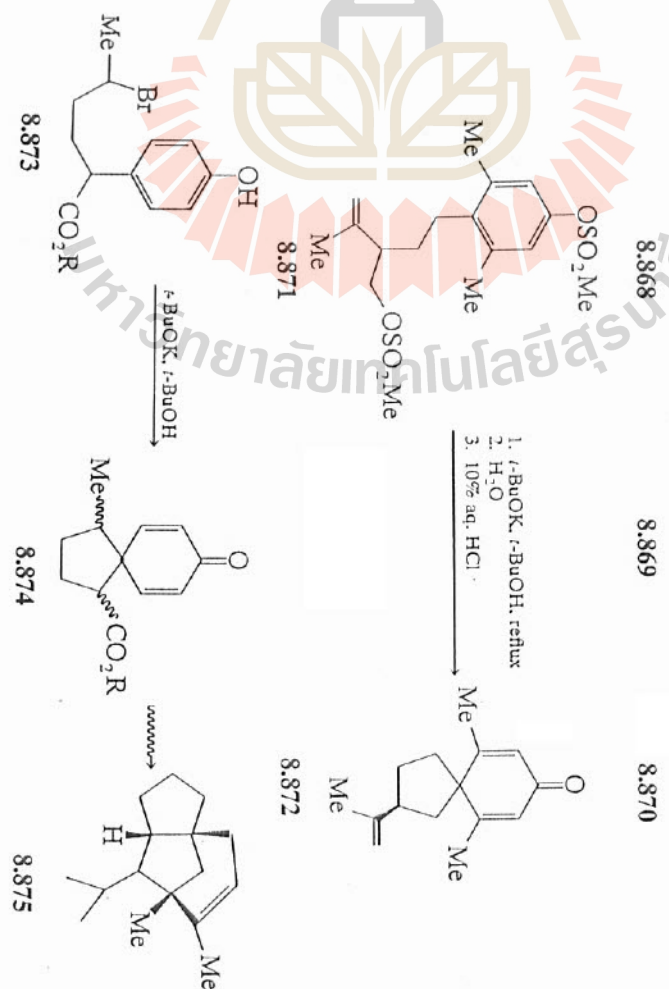
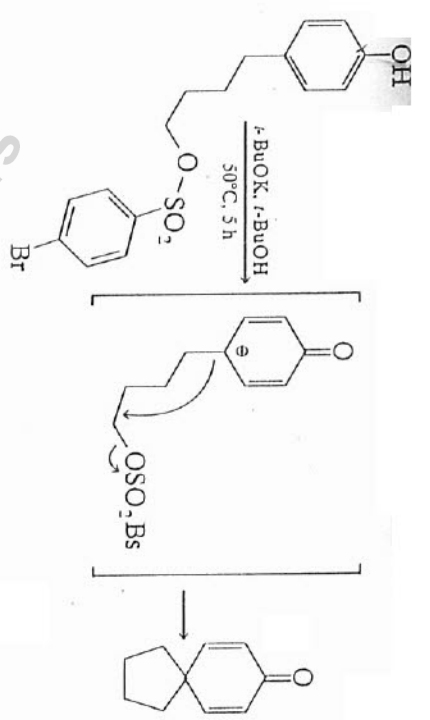
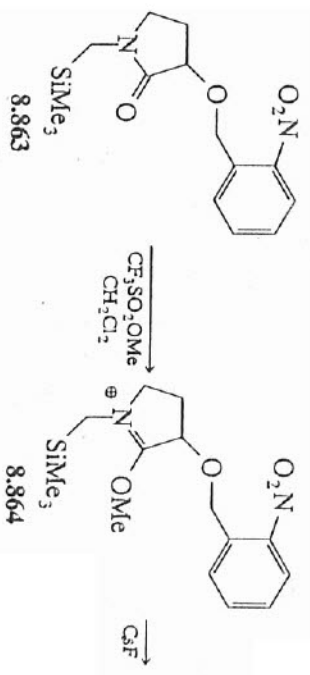
Stevens



base

มหาวิทยาลัยเทคโนโลยีพระจอมเกล้าธนบุรี





# Pericyclic carbon-carbon bond forming reactions

Frontier molecular orbital (FMO) theory สัมพันธ์กับ exothermic reactions มากกว่า reactant-like transition state (ในกรณีที่ endothermic reactions มี product-like transition state)

FMO ใช้อธิบาย reactivity และ regioselectivity ได้

↳ จาก HOMO-LUMO coefficients

โดยทั่วไป  $\epsilon$  withdrawing groups จะทำให้อิทธิพลของ coefficients ของ HOMO และ LUMO ของ  $\epsilon$  donating groups จะทำให้อิทธิพลของ HOMO และ LUMO เปลี่ยนไป และ HOMO coefficient ลดลง แต่ LUMO coefficient ใกล้เคียงค่าเดิม ดู Figure 11.2 ในหนังสือ

โดย energy ของ HOMO = -ionization potential (-IP) ของโมเลกุล  
energy ของ LUMO = -electron affinity (-EA) ของโมเลกุล

Allowed และ forbidden reactions สำหรับ concerted reactions เท่านั้น

สามารถทำนายได้โดยวิธี orbital-symmetry rules (หรือ Woodward-Hoffmann rules)  $\hookrightarrow$  มี maximum bonding เกิดขึ้นในขณะเกิด transition state

ถ้า HOMO ของสารหนึ่ง และ LUMO ของอีกสารหนึ่ง มี symmetry เหมือนกัน = allowed reactions  
ถ้า HOMO ของสารหนึ่ง และ LUMO ของอีกสารหนึ่ง มี symmetry ต่างกัน = forbidden reactions

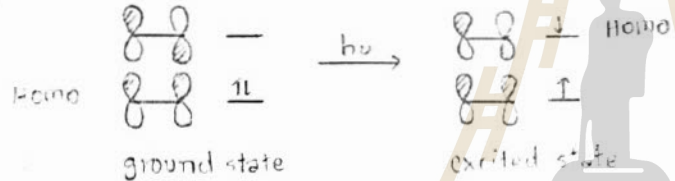
โดยพิจารณา mode ของการเกิด bond หรือการแตก bond ดังนี้

ถ้าเกิดบนหน้าเหมือนกัน = suprafacial process

ถ้าเกิดบนหน้าตรงข้ามกัน = antarafacial process

กรณี thermal conditions โมเลกุลที่มี  $\epsilon$  จะมี ground state HOMO ในขณะเกิด

กรณี photochemical conditions โมเลกุลที่มี  $\epsilon$  จะมี excited state HOMO ในขณะเกิด



จึงสามารถทำนายได้ว่า thermally allowed หรือ forbidden reactions และ photochemically allowed หรือ forbidden reactions

## II. Cycloaddition reactions ดู Table 11.3 ในหนังสือ

เกิด HOMO<sub>diene</sub> - LUMO<sub>alkene</sub> interaction

### 1.1 [4+2] cycloadditions

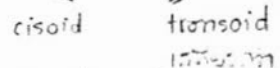
1.1.1 Diels-Alder reactions เป็น  $\pi$  ระหว่าง diene และ dienophile ( $\pi$ - $\pi$ - $\sigma$  system) ซึ่ง thermally allowed

ดู Figure 11.9 ในหนังสือ mode ของการเกิด bond =  $m_s + n_s \Rightarrow$  suprafacial ทั้ง butadiene และ ethene

ดูตัวอย่างปฏิกิริยาในหนังสือ

- ในกรณีเกิด  $\pi$  dienes จะต้องมี cisoid conformation

สำหรับ acyclic dienes เช่น C=CC=C  $\rightleftharpoons$  C=CC=C เมื่อเกิด  $\rightleftharpoons$  equilibrium จะ shift ไปทางซ้าย



สำหรับ dienes ที่ไม่สามารถมี cisoid conformation ได้ จะไม่เกิด  $\pi$  เช่น C1=CC=CC=C1

ดูตัวอย่างปฏิกิริยาของ 11.30 ในหนังสือ 11.32 เกิดจาก [4+2] cycloaddition ในขณะที่ 11.33 เกิดจาก [2+2] cycloaddition

จากนั้นที่ 11.32 เป็น major product เนื่องจาก Me groups ทั้งสองทำให้อิทธิพลเกิด cisoid conformation ได้ยาก

Diene reactivity จะขึ้นกับ  $\sigma$  ของ alkenes  $\Rightarrow$  ที่ทำ  $\pi$  ดูตัวอย่างในหนังสือ

ถ้า  $\epsilon$  =  $\epsilon$  withdrawing group เช่น CHO  $\Rightarrow$  จะเกิดช้า } เมื่อเทียบกับ ethene  
ถ้า  $\epsilon$  =  $\epsilon$  donating group เช่น OAc  $\Rightarrow$  จะเกิดเร็ว }

โดยทั่วไป เมื่อ diene ทำ  $\pi$  กับ simple alkenes และ electron rich alkenes จะต้องมี condition หนึ่ง (T หรือ P สูง)

เหตุผล เกิดขึ้นกับ HOMO<sub>diene</sub> - LUMO<sub>alkene</sub> energy difference ( $\Delta E$ ) ตัวอย่างใน Figure 11.9 ในหนังสือ

ดูปฏิกิริยาของ 11.38 ในหนังสือ จะเห็นว่า  $\pi$  เกิดที่ double bond ที่ติดกับ Me group  $\Rightarrow$  ใม่มีที่ติดกับ OMe group

② ชนิดของ substituent ที่ต่อกับ diene

ถ้าเป็น  $\sigma$ -withdrawing group จะทำปฏิกิริยา Homo<sub>diene</sub> ซึ่งมีพลังงานลดลง  $\Rightarrow$  ทำปฏิกิริยา  $\Delta E$  เพิ่มขึ้น  $\equiv$  จะเกิดผลิตภัณฑ์ที่เป็น  $\sigma$ -donating group จะทำปฏิกิริยา Homo<sub>diene</sub> ซึ่งมีพลังงานเพิ่มขึ้น  $\Rightarrow$  ทำปฏิกิริยา  $\Delta E$  ลดลง  $\equiv$  จะเกิดปฏิกิริยา

Cis-trans geometry (conrotatory vs disrotatory)

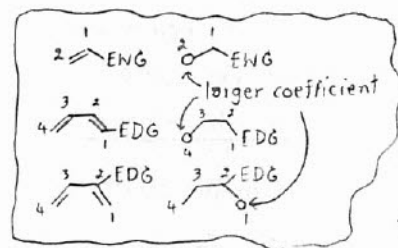
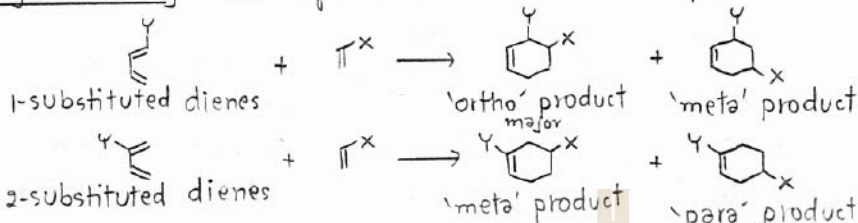
orbitals เดียวกันทิศทางตรงข้ามกัน  
orbitals เดียวกันทิศทางเดียวกัน

ดู conrotatory และ disrotatory ใน แผ่นใส

สำหรับ [4+2] cycloaddition ซึ่ง thermally allowed แบบ  $m_s + n_s$  จะเกิด disrotatory ดังตัวอย่างปฏิกิริยาของ

11.49 และ 11.49 ใน แผ่นใส

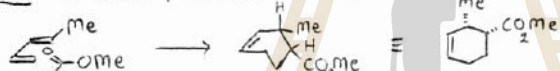
Regioselectivity ขึ้นกับหมู่แทนที่บน dienes และ dienophiles



major product จะกำหนดได้จาก HOMO-LUMO coefficients ดังแสดงใน แผ่นใส  
ในกรณีที่ 1-substituted diene ทำปฏิกิริยากับ alkene ที่มี heteroatom โดยทั่วไป 'ortho' product จะเป็น major product  $\Rightarrow$  ortho effect ไม่ว่าหมู่แทนที่บน diene จะเป็นอะไรก็ตาม

Endo selectivity dienophiles ที่มีหมู่แทนที่ จะจัดเรียงตัวกันบนหมู่แทนที่ของ dienes ไม่ใช่ออกนอกระยะของวง ดังนั้นแล้วแสดงใน แผ่นใส โดยทั่วไปจะ ratio 2-4:1  $\Rightarrow$  endo rule หรือ Alder endo rule

ดูปฏิกิริยาใน แผ่นใส จะพบว่า product 11.70 และ 11.71 เป็น endo product



endo selectivity จะเห็นได้ชัดใน cyclic dienes ดังตัวอย่างใน แผ่นใส 11.94 = endo product, 11.95 = exo product  
endo rule จะเกี่ยวข้องกับ secondary orbital interaction ซึ่งทำปฏิกิริยาเป็น orientation ที่ stabilized ที่สุด และด้วย free energy ต่ำสุด ดังแสดงใน แผ่นใส

วิธีการเพิ่ม rate ของ Diels-Alder reactions

1. ใช้ Lewis acids เป็น catalyst  $\Rightarrow$  สามารถ form complex กับ heteroatom ของ dienes หรือ dienophiles ได้



ทำปฏิกิริยา  $\sigma$  HOMO และ LUMO ซึ่งมีพลังงานลดลงอย่างมาก ดัง Figure 11.11 ใน แผ่นใส ซึ่งในที่นี้ dienophile อยู่ใน protonated form  $\Rightarrow$  จะเกิดเร็วและเกิดได้ดีกว่า

② alkene moiety มี HOMO และ LUMO coefficients ต่างกันมากขึ้นระหว่าง C ทั้งสอง ดังแสดงใน แผ่นใส ได้เช่นกัน  
ทำปฏิกิริยา orbital overlap มีประสิทธิภาพมากขึ้น  $\Rightarrow$  จะมีความ regioselectivity สูง

2. ใช้ aqueous solvent ทำปฏิกิริยาเกิด hydrophobic effect  $\Rightarrow$  nonpolar compounds เข้ามาใกล้กันมากขึ้น เมื่อลด water-hydrocarbon interfacial area  $\Rightarrow$  จะเกิดเร็วขึ้น การเติมสารที่ทำปฏิกิริยา hydrophobic effect เพิ่มขึ้น rate จะเพิ่มขึ้น เช่น LiCl, NaCl (ทำปฏิกิริยาเกิด salting out) หรือสารที่มี hydrophobic cavity

3. ใช้ความดันสูง (> 5 kbar)

จาก  $\frac{d \ln k}{dP} = \frac{\Delta V^\ddagger}{RT}$   $\Delta V^\ddagger$  = volume of activation ( $V_{T.S} - V_{reactants}$ ) ถ้ามีค่าลบ จะเกิดการเร่งปฏิกิริยา  
เร็วได้ การเพิ่ม P จะทำปฏิกิริยา  $\Delta V^\ddagger$  ลดลง แต่ถ้า  $P > 10$  kbar จะใช้สมการนี้ในการหาพลังงานกระตุ้น

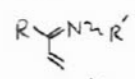
1.1.2 Inverse electron demand Diels-Alder reactions เกิด LUMO<sub>diene</sub>-HOMO<sub>alkene</sub> interaction เมื่อ diene ที่มี  $\sigma$ -withdrawing group ทำปฏิกิริยากับ alkene ที่มี  $\sigma$ -donating group ดังตัวอย่างปฏิกิริยาใน แผ่นใส

1.1.3 Heteroatom dienes และ heteroatom alkene dienophiles

heteroatom dienophiles ได้แก่  $R-C(=O)-R'$

aldehydes และ ketones imines

heteroatom dienes ได้แก่



conjugated aldehydes และ ketones 1-azadienes

2-azadienes

1.1.3.1 aldehydes และ ketones ดูตัวอย่างปฏิกิริยาของ 11.205, 11.207, 11.210, 11.171 ใน แผ่นใส

สำหรับ electron poor aldehydes และ ketones เกิด  $\pi$ - $\pi^*$  ได้

สำหรับ simple aldehydes และ ketones ต้องการ Lewis acid จึงจะเกิด  $\pi$ - $\pi^*$  ได้ ไม่เช่นนั้นต้องใช้ T, P, สูง ในกรณีของปฏิกิริยาสุดท้ายใน แผ่นใส เมื่อ 11.212 เกิด hydrolysis จากนั้น 11.213

1.1.3.2 imines ดูตัวอย่างปฏิกิริยาของ 11.223, 11.226, 11.233 ใน แผ่นใส

simple imines  $\Rightarrow$  ไม่เสถียร มักจะเกิด generate in situ

stabilized imines ได้แก่ N-Tosyl imines } มี  $e^-$  withdrawing group มาต่อที่ N  
N-Acyl imines }

1.1.3.3 conjugated aldehydes และ ketones เป็นได้ทั้ง dienes และ dienophiles ดังตัวอย่างปฏิกิริยา ใน แผ่นใส

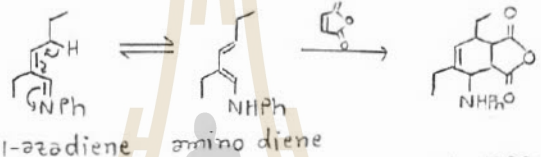
$\hookrightarrow$  ศึกษารหัสสำหรับเตรียม pyridine

โดยทั่วไปจะทำ  $\pi$ - $\pi^*$  กับ  $e^-$  poor alkenes แต่กับ  $e^-$  rich alkenes ก็ยังสามารถทำ  $\pi$ - $\pi^*$  ได้ ดังปฏิกิริยาที่ 2 ใน แผ่นใส

1.1.3.4 azadienes

สำหรับ 1-azadienes ก็สามารถเกิด isomerization ได้ จากนั้น amino dienes ซึ่งจากเกิด Diels-Alder reaction

ตามปกติ เช่น



1-azadiene amino diene

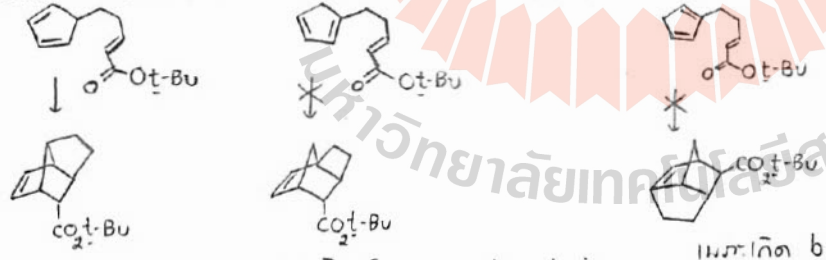
ถ้าไม่สามารถเกิด isomerization ได้ จะเกิด  $\pi$ - $\pi^*$  ดังตัวอย่างปฏิกิริยาของ 11.243 ใน แผ่นใส (N เป็นส่วนหนึ่งของวง)

สำหรับ 2-azadienes เช่น 11.245 เมื่อไม่เกิด isomerization จะเกิด  $\pi$ - $\pi^*$  ดังตัวอย่างปฏิกิริยาใน แผ่นใส อีกด้วย

1.1.4 Intramolecular Diels-Alder reactions

- geometry ตัวอย่างเช่น ตัวอย่างใน แผ่นใส 11.251a  $\Rightarrow$  trans-diene มี geometry ไม่เหมาะสม เกิด  $\pi$ - $\pi^*$  ได้ดี 11.252a  $\Rightarrow$  cis-diene มี geometry ไม่เหมาะสม เกิด distortion ของ  $CH_2$  group จึงเกิด  $\pi$ - $\pi^*$  ได้ไม่ดี

- ความยาวของโซ่ที่เชื่อมระหว่าง diene และ alkene moieties ตัวอย่างเช่น ตัวอย่างปฏิกิริยาใน แผ่นใส นอกจากความยาวแล้ว ยังขึ้นกับ nature ของโซ่ด้วย ดังตัวอย่างต่อไปนี้



แบบเกิด four-membered ring

แบบเกิด bridgehead  $\pi$  bond

11.256 (endo product) = major product

ดูต่อไปใน แผ่นใส เมื่อความยาวเพิ่มขึ้น 1 carbon และ 2 carbons ผลก็คือจะแตกต่างกัน 11.256 เป็น major product

- regioselectivity หรือ orientation ของ alkene ดังตัวอย่างใน แผ่นใส ถ้าโซ่ที่เชื่อมสั้น จะเกิดผลของ 11.273 เท่านั้น

11.274 เป็น (E)-diene จะไม่ได้อะไร product 11.277 แต่ (Z)-diene ในตัว ดูตัวอย่างปฏิกิริยาใน แผ่นใส อีกด้วย

11.278 เป็น (E)-diene major product = 11.279

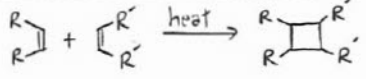
ในกรณีของ 11.281 ก็สามารถมี orientation ได้ 2 แบบ < 11.282 = exo mode  $\Rightarrow$  ให้อะไร trans product 11.284 = endo mode  $\Rightarrow$  ให้อะไร cis product

สรุปว่า major product = trans product แบบ exo transition state ซึ่งมีความต่ำกว่า

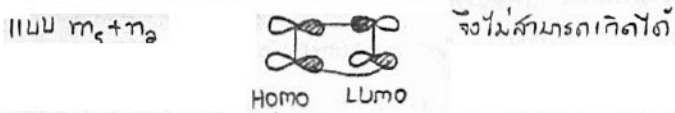
1.2 [2+2] Cycloadditions และปฏิกิริยาที่เกี่ยวข้อง

1.2.1 Thermal [2+2] cycloadditions

1.2.1.1 ปฏิกิริยาระหว่าง alkene และ alkene ให้ product เป็น cyclobutane derivatives

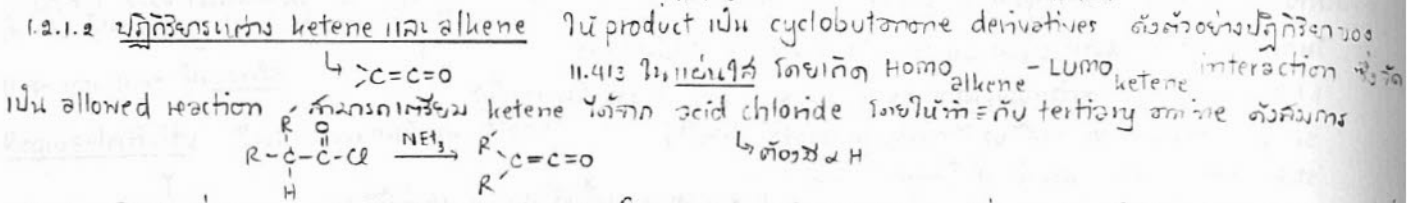


กรณีเกิด Homo-LUMO interaction 11.401 concerted mechanism จัดเป็น forbidden reaction เนื่องจาก  $\epsilon$  2 orbital



แต่พบว่ายังมีหลายปฏิกิริยาที่เกิดขึ้นได้ แสดงว่า 1. จะต้องเกิดผ่าน mechanism อื่น เช่น mechanism ที่เกิดผ่าน radical หรือ dipolar intermediate ดังแสดงใน 11.401, 11.402 และตัวอย่างปฏิกิริยาของ 11.405 โดย regiochemistry ของ 11.407 สามารถทำนายได้โดยพิจารณาจาก HOMO coefficients ของ 11.405 และ LUMO coefficients ของ methyl acrylate

2. เกิด HOMO-HOMO interaction หรือ LUMO-LUMO interaction ดังแสดงใน 11.403 11.404



ตัวอย่างปฏิกิริยาที่มัก generate ketene in situ ใน 11.420 เมื่อ  $R = Me$  ใน 11.422 = 20% (เมื่อ  $R = H$  ใน 11.422 = 3% เพราะจัดว่าเป็น unactivated alkene จึงมักต้องใช้ ketenimmonium salt  $R_2C=C=N^+R'_2$  ketene  $\leftarrow$  electrophilic ketene) ดังแสดงใน 11.421 เกิด hydrolysis บ้างจาก cycloaddition ให้นิ product เป็น cyclobutane 11.422 = 75% ( $R = H$ )

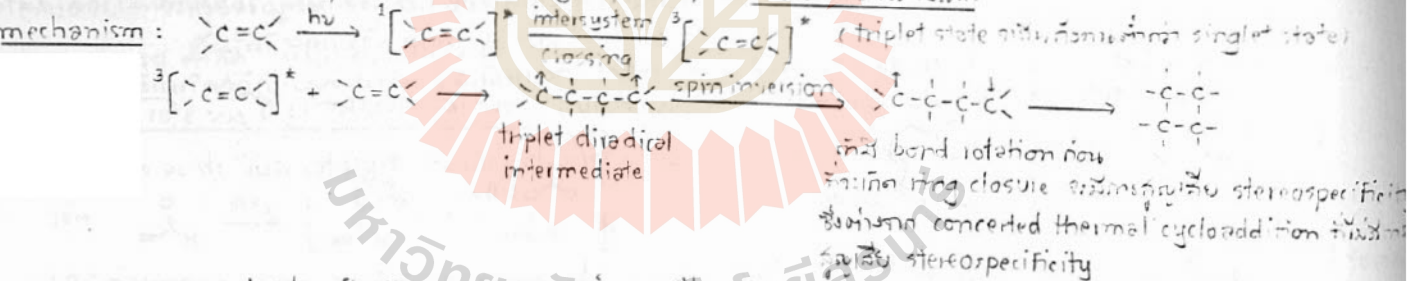
โดยทั่วไป  $e^-$  withdrawing group บน ketene จะทำให้  $\epsilon$  เกิดเร็วขึ้น ดังตัวอย่างปฏิกิริยาของ 11.409 เปรียบเทียบกับ 11.408 ใน 11.412 เกิดจาก ene reaction

นอกจาก alkene และ ketene ยังสามารถเกิด thermal [2+2] cycloaddition กับ allene ได้ ดังตัวอย่างใน 11.414 และ N-substituted isocyanates สามารถเกิด thermal [2+2] cycloaddition กับ alkene ได้ ดังตัวอย่างใน 11.415 ให้นิ product เป็น  $\beta$ -lactams ดังแสดงใน 11.416 เกิดจาก

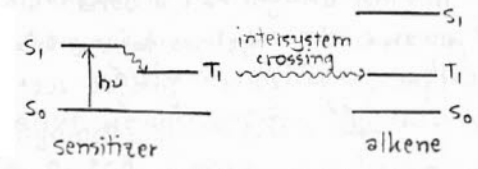
1.2.2 Photochemical [2+2] cycloadditions 1.2.2.1 ปฏิกิริยาของ alkene กับ allene ดู Frontier ใน 11.417

สำหรับ [2+2] cycloaddition HOMO  $e^-$ -substituted alkene - LUMO  $e^-$ -substituted allene interaction  $\Rightarrow$  symmetry forbidden เมื่อ  $R = e^-$  withdrawing group แต่ LUMO  $e^-$ -substituted alkene - LUMO  $e^-$ -substituted allene interaction  $\Rightarrow$  symmetry allowed

ดู  $\lambda_{max}$  ที่ irradiate ในแต่ละ functional groups ต่างๆ ใน Table 11.19 ใน 11.418

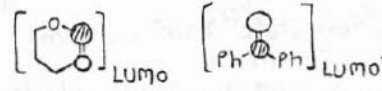


ตัวอย่างปฏิกิริยาใน 11.451 สำหรับ  $\epsilon$  ของ 11.451 เป็นกรณีของ sensitized และ unsensitized photocyclization benzophenone = sensitizer ทำให้เกิด triplet diradical intermediate ใน 11.452



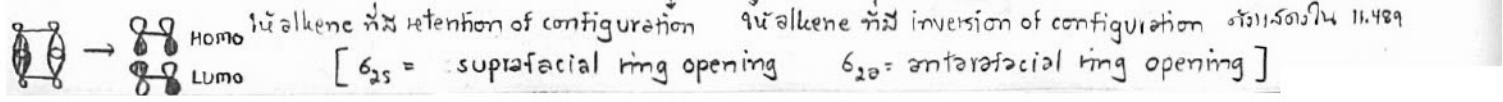
เมื่อ direct photolysis ทำให้เกิด singlet intermediate ซึ่งเกิด cyclization ก่อนที่จะเกิด intersystem crossing ทำให้ใน 11.453 เป็น major product โดยเกิด 11.454 น้อยมาก

Regioselectivity ซึ่งแก้ LUMO\* และ LUMO coefficients ดังตัวอย่างปฏิกิริยาใน 11.456 สำหรับ 11.472 มาเกิด 1,2 dimethyl on cyclobutane ring จากตัวอย่าง



1.2.2.2 ปฏิกิริยาของ carbonyl compound และ alkene "Paterno-Büchi reaction" ให้นิ product เป็น oxetane ดังแสดงใน 11.457 โดยเกิดผ่าน diradical intermediate โดยทั่วไป carbonyl compound จะถูก excited

1.2.3 [2+2] Cycloreversion reactions เมื่อ  $6_{2s} + 6_{2a}$  cycloreversion  $\Rightarrow$  thermally allowed ดังตัวอย่างใน 11.459

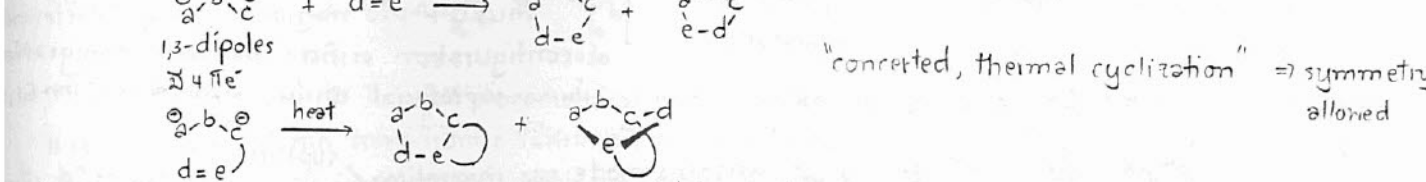


9. การเกิดพันธะ 2 cyclobutene rings ดังที่อธิบายในแผนผังโครงสร้าง การแตกของ bond เกิดได้ 2 แบบคือ path a และ b ขึ้นอยู่กับชนิดของหมู่แทนที่ R หรือ R' (FVP = Flash vacuum pyrolysis)

1.2.4 Cyclobutene ring opening thermal process = conrotatory } อยู่ในแผนผัง

กลไกของ Woodward-Hoffmann เกี่ยวข้องกับ photochemical process = disrotatory } อยู่ในแผนผัง

ดูตัวอย่างปฏิกิริยาของ benzocyclobutene derivatives ในแผนผัง ซึ่งสามารถใช้ประโยชน์ในการสังเคราะห์ natural products ได้



เกิดได้ทั้ง Homo dipole - LUMO dipolarophile และ LUMO dipole - Homo dipolarophile interaction เนื่องจาก symmetry allowed จะเกิด interaction แบบไหนขึ้นอยู่กับ  $\Delta E$  ส่วน regioselectivity ขึ้นอยู่กับ Homo และ LUMO coefficients

ตัวอย่างของ dipoles ได้แก่ ozone, nitrile ylides, nitrile oxides, nitrones, diazoalkanes

azomethine ylides, azomethine imines, alkyl azides

1.3.1 Ozone (อยู่ในแผนผัง) ปฏิกิริยาที่เกิดได้ทั้ง ozonolysis ของ alkene จะเห็นว่าเกิดได้ทั้ง Homo<sub>ozone</sub> - LUMO<sub>alkene</sub> และ LUMO<sub>ozone</sub> - Homo<sub>alkene</sub> interaction ซึ่งในที่นี้เป็น  $\pi$  ระหว่าง ozone และ ethene (Figure 11.21 ในแผนผังโครงสร้าง)



และทำให้ออกว่า Ozone จะเกิด  $\pi$  กับ  $e^-$  rich alkenes ได้ดีกว่า  $e^-$  poor alkenes

1.3.2 nitrile ylides ดู Figure 11.22 ในแผนผัง จะเห็นว่าเกิด Homo<sub>nitrile ylide</sub> - LUMO<sub>alkene</sub> interaction เพราะมี  $\Delta E$  น้อยกว่า และทำให้ออกว่า จะเกิด  $\pi$  กับ  $e^-$  poor alkenes ได้ดีกว่า  $e^-$  rich alkenes ทั้งนี้เมื่อพิจารณาของ nitrile ylides เป็นที่ทราบ

HOMO-LUMO interaction ของปฏิกิริยาแบบนี้ได้  $\pi$  ระหว่าง 11.535 และ methyl acrylate ในแผนผังโครงสร้าง แสดง regioselectivity จากข้อมูลใน Figure 11.22 ทำให้ออกว่า 11.537 เป็น preferred product ซึ่งแสดง regioselectivity

1.3.3 nitrile oxides ดู  $\pi$  ของ 11.538 ในแผนผัง เมื่อพิจารณากรณีกับพลังงาน พบว่าเกิด LUMO<sub>nitrile oxide</sub> - Homo<sub>alkene</sub> interaction

ปฏิกิริยาที่ 2 แสดงการเตรียม nitrile oxide จาก nitrile alkane โดย heat กับ phenyl isocyanate และในกรณี dipolarophile เป็น alkyne derivative

1.3.4 nitrones เกิด Homo<sub>nitrone</sub> - LUMO<sub>alkene</sub> interaction และทำให้ออกว่า จะเกิด  $\pi$  กับ  $e^-$  poor alkenes ได้ดีกว่า  $e^-$  rich alkenes  $\pi$  ของ 11.551 และ 11.553 ในแผนผัง แสดง regioselectivity ในกรณีของ propene จะเห็นว่า coefficients มีค่าใกล้เคียงกันมาก ทำให้ออกว่า poor regioselectivity

1.3.5 diazoalkanes เกิด Homo<sub>diazoalkane</sub> - LUMO<sub>alkene</sub> interaction และทำให้ออกว่า จะเกิด  $\pi$  กับ  $e^-$  poor alkenes ได้ดีกว่า

$\pi$  ของ 11.554 ในแผนผัง แสดง regioselectivity  $\pi$  ขึ้นอยู่กับแสดงการเกิด Photolysis ของ cycloadduct ที่ได้ ทำให้ออกว่า N<sub>2</sub> และถูกออกด้วย โดยเกิดผ่าน discrete diradical intermediate ใน product เป็น cyclopropane derivative

1.3.6 azomethine ylides เกิด HOMO<sub>azomethine ylide</sub> - LUMO<sub>alkene</sub> interaction coefficients สั้นหรือ simple

azomethine ylides จะมีค่าใกล้เคียงกันมาก ทำให้ออกว่า poor regioselectivity ดังแสดงในแผนผัง

เนื่องจาก azomethine ylides มีโครงสร้าง resonance เช่น  $R-N^+=CH_2 \leftrightarrow R-N^--CH_2$  เมื่อทำ  $\pi$  กับ alkene มักจะเป็น mixtures ของ regioisomers

1.3.7 azomethine imines  $\pi$  ของ 11.598 ในแผนผัง แสดง regioselectivity ส่วนใน  $\pi$  2 แสดงการเตรียม azomethine imine จาก aldehyde และ substituted hydrazine derivative โดย major product = 11.602 (มี regioselectivity ใน  $\pi$  ของ 11.599)

1.3.8 alkyl oxides ฤ regioselectivity ใน แอลไนด์ ปฏิกิริยาเกิด cycloadduct แล้ว สามารถเกิด thermal และ photochemical decomposition ทำใน  $N_2$  อุณหภูมิสูง ดังตัวอย่างใน แอลไนด์เดียวกัน โดยปกติจะ เกิดเช่น nitrene type intermediate ( $R-N: = \text{nitrene}$ )

2. Sigmatropic rearrangements  $\equiv$  ที่ 6-bond (หมู่แทนที่) เกิดที่ขั้ว conjugated system ไปยังตำแหน่งใหม่

2.1 [m,n]-Sigmatropic hydrogen shifts

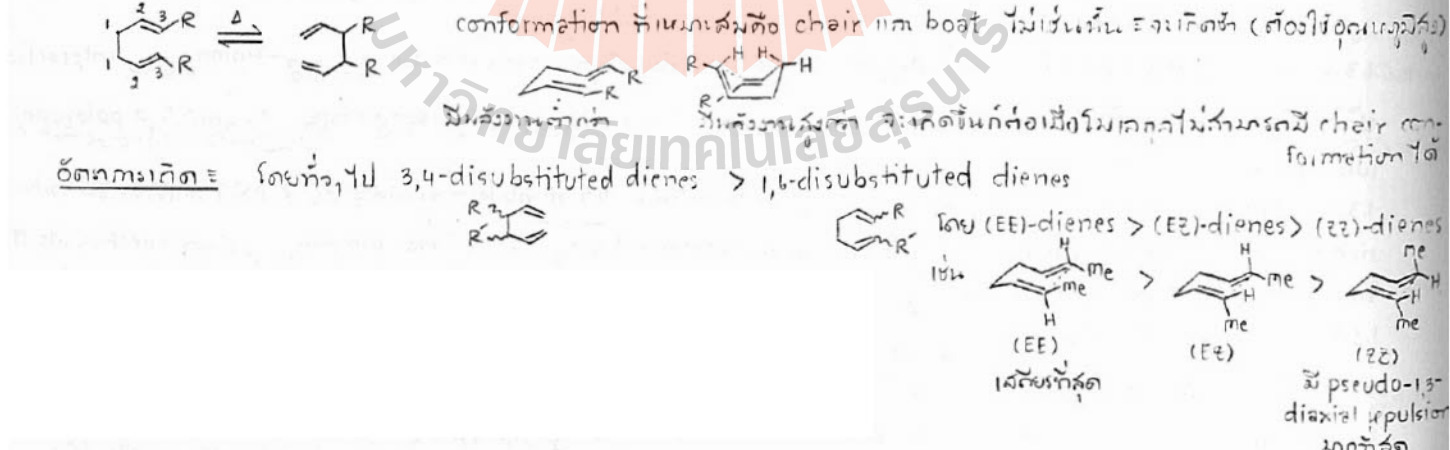
thermally allowed	$4q e^-$ antarafacial	$4q+2 e^-$ suprafacial	} สันรับ H หรือ migrating group ที่ retention of configuration จะเกิด $\equiv$ เช่น mode of migration เป็นแบบ suprafacial เท่านั้น $\Rightarrow$ ในกรณี [1,3] หรือ [1,5] shift
hv allowed	suprafacial	antarafacial	

ตัวอย่าง  $\xrightarrow{h\nu}$   $[1,3] \Rightarrow 4e^-$   $\xrightarrow{\Delta}$   $[1,5] \Rightarrow 6e^-$  คู่ตัวอย่าง mode ของ migration  $\left\{ \begin{array}{l} \text{suprafacial} \\ \text{antarafacial} \end{array} \right.$  ใน แอลไนด์ เมื่อทำ H หรือ contact กับปลายทั้งสองด้านในแนวเดียวกันใน T.S. โมเดลจึงต้องมี cisoid conformation มีออร์บิทัล symmetry rules ในกรณีของ conjugated system จาก HOMO สำหรับ thermal process และ LUMO\* สำหรับ photochemical process เช่น [1,3]-sigmatropic rearrangement ดังแสดงใน แอลไนด์ เมื่อ D = HOMO และ E = LUMO\* จะเห็นว่า สันรับ thermal [1,3]-sigmatropic H shift migration เป็นแบบ antarafacial ในทางทฤษฎีเกิดได้ แต่จริงแล้วเกิดยาก (เกิด เนื่องจากใช้พลังงานสูง) ส่วน photochemical [1,3]-sigmatropic H shift migration เป็นแบบ suprafacial คู่ตัวอย่างปฏิกิริยาใน แอลไนด์ สันรับ 11.638  $[1,5] \text{ shift} \Rightarrow$  thermally allowed สันรับ 11.640 เกิด [1,5] shift ที่จุดเบสิคมีน้อย ทำให้เกิดปัญหาเกี่ยวกับ regiochemical control เมื่อทำ = Diels-Alder ซึ่งผลิตภัณฑ์คือ  $\tau < 0^\circ C$  เพื่อป้องกันไม่ให้เกิด [1,5]-sigmatropic rearrangement ดังแสดงใน แอลไนด์เดียวกัน สันรับ thermal [1,7]-sigmatropic H shift (3e-) migration เป็นแบบ antarafacial สามารถเกิดได้ เนื่องจากใช้พลังงานสูงเกิดได้ ดังแสดงใน แอลไนด์

2.2 Vinyl cyclopropane rearrangements เมื่อเกิด [1,3]-sigmatropic rearrangement จาก product เป็น cyclopentene derivatives  $\rightarrow$  migration เป็นแบบ antarafacial  $\Rightarrow$  thermally allowed สันรับ C shift จะเกิดที่ขั้วกลางตัวทำปฏิกิริยาเป็น thermal หรือ photochemical process คู่ตัวอย่างใน แอลไนด์ สันรับ  $\equiv$  แทน เป็นกรณีของ vinyl cyclopropane derivative จาก diazoalkane ที่มี diene อยู่ด้วย เมื่อ decompose ที่  $N_2$  อุณหภูมิสูง จะเกิด carbene type intermediate สันรับ  $\equiv$  ที่ 2 จะปฏิกิริยาของ vinyl cyclopropane derivative อีกวิธีหนึ่ง C สามารถใช้ back orbital ได้ ยึดติดตัวเป็น thermal [1,3] shift  $\Rightarrow$  จะมี retention of configuration แต่ตัวเป็น thermal [1,5] shift จะมี retention of configuration ดังแสดงใน แอลไนด์

2.3 Cope rearrangement

2.3.1 "Normal" Cope rearrangement = [3,3]-sigmatropic rearrangement ใน 1,5-dienes



เนื่องจาก equilibrium เกิดขึ้น conformation ที่เสถียรกว่าจะเกิด  $\equiv$  ได้เร็วกว่า ดังตัวอย่างใน แอลไนด์ สันรับ 11.669 conformation 11.670a และ 11.670b มีพลังงานเท่ากัน และใน product เป็น (EZ)-diene เหมือนกัน พบว่าเมื่อ  $R = Me$  จะใน 11.671 = 99.7% และ 11.675 = 0.3% (เกิดจาก boat conformation (ในกรณีนี้))

11.672 conformation 11.673 มีพลังงานต่ำกว่า 11.674 จึงทำนายได้ว่า major product = (EE)-diene พบว่าเมื่อ  $R = Me$  ใน product เป็น (EE)-diene  $\rightarrow$  ใน product เป็น (ZZ)-diene

จะใน 11.675 = 90%, 11.676 = 10%, 11.671 < 1% (เกิดจาก boat conformation (ในกรณีนี้))

สารปฏิกิริยา 11.677 product 11.680 เกิดจาก C1=CC=C(C=C1)C=C(C1=CC=C(C=C1)C=C1)C=C1 → C1=CC=C(C=C1)C=C(C1=CC=C(C=C1)C=C1)C=C1 9 ในกรณีที่ 11.678 เป็น pseudodiequatorial

pseudodiaxial

สารปฏิกิริยา 11.681 เมื่อ heat จะให้ mixture ของ 11.681 และ 11.682 = 60 : 40 เมื่อ 11.681 และ 11.682 มีพลังงานต่างกันไม่มากนัก

เกิดการเกิด Cope rearrangement ซึ่งประสิทธิผลสูง product diene จะน้อยกว่า starting diene มาก,

อัตราการเกิดจะเพิ่มขึ้นตาม strain เนื่องจาก strain ทำให้ activation energy ลดลง

เช่น อัตราการเกิด: C1=CC=CC=C1 << C1=CC=C(C=C1)C=C1 < C1=CC=C(C=C1)C=C1

E<sub>a</sub> (kcal/mol) 33.5 23.1 19.4

① โมเลกุลมี stereochemical bias ล้วนต้องเป็น axial เพื่อเตรียมพร้อมสำหรับ trans- และ cis-isomer

11.677 และ 11.684 เนื่องจาก trans-isomer ไม่สามารถมี chair หรือ boat conformation โดยไม่มี cyclobutane ring ติดตัว

จึงเกิดสาร 9 ในกรณีที่ cis-isomer มีได้ทั้ง chair และ boat conformation จึงเกิดสาร

สารปฏิกิริยา 11.691 และ 11.693 เนื่องจาก five-membered ring เสถียรกว่า nine-membered ring มาก, จึงเกิดสาร

trans,trans-isomer มี chair transition state เกิด rearrangement 9 ใน 11.692 เพียงอย่างเดียว

trans,cis-isomer มี boat transition state ซึ่งมีความตึงเครียด ทำให้เกิด mixture ของ 11.691 และ 11.692 = 5:95

คู่ตัวของ Cope rearrangement ทำให้มีผลต่อความเร็วในการเกิด reversible rearrangement จาก mixture ของ starting material และ product กันรับ 3 ที่ 9 mixture ของ 11.697 และ 11.698 = 1:2 เมื่อเกิดความร้อนถึง 230°

อุณหภูมิ axial ปฏิกิริยาของ 11.706 เป็นตัวอย่างของ enolate accelerated Cope rearrangement ⇒ enolate moiety ช่วยใน Cope rearrangement เกิดง่ายขึ้น เมื่ออุณหภูมิถึง 150° จาก 11.705 45% แต่เมื่อ heat ด้วย E ที่ 25° จาก 11.706

เมื่อเกิด Cope rearrangement 9 ใน 11.707 32% และเมื่อเกิด hydrolysis จาก 11.705

2.3.2 Oxy-Cope rearrangement เมื่อ diene มี O ที่ตำแหน่ง C<sub>2</sub> หรือ C<sub>6</sub> จะทำให้เกิด reversible rearrangement

ถ้าอยู่ในรูปของ OH = oxy-Cope rearrangement ถ้าอยู่ในรูปของ O<sup>-</sup> = anionic oxy-Cope rearrangement

คู่ตัวอย่างใน axial rearrangement ของ 11.694 ต้องใช้ความร้อนสูงถึง 250° ในกรณีที่ 11.708 ใช้ความร้อนเพียง 55° เมื่อเกิด

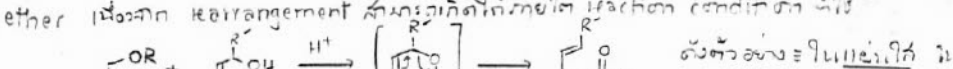
tautomerization จาก 11.710 (keto-enol tautomerism) ทำให้เกิด equilibrium shift ไปทาง ketone จึง

สามารถยับยั้งการเกิด reversible Cope rearrangement ได้ ส่วน 11.715 เป็นตัวอย่างของ anionic oxy-Cope rearrangement

2.3.3 Aza-Cope rearrangement เกิดเมื่อโมเลกุลมี N ในรูปของ iminium salt ใน "diene" คู่ตัวอย่างของ 11.719 ใน axial

2.4 Claisen rearrangement

2.4.1 "Normal" Claisen rearrangement = allyl vinyl ether rearrangement



อัตราการเกิดจะเพิ่มขึ้นตาม Cope rearrangement: E,E > E,Z > Z,Z derivatives คู่ตัวอย่างใน axial 11.725 เป็นตัวอย่างของ E,E derivative เกิดใน chair conformation โดย Me group ที่ติดอยู่ใน

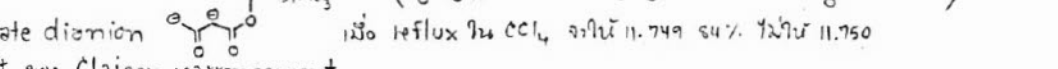
ตำแหน่ง pseudoequatorial สารปฏิกิริยา 11.730 เป็นตัวอย่างของ allyl allyl ether rearrangement ซึ่งมักพบเกิดซ้ำ ต่อมี catalyst

ใน product 11.731 เมื่อเกิด cyclization จาก 11.732

2.4.2 Variant of Claisen rearrangement

2.4.2.1 McBee-Saicy reaction เมื่อ vinyl ethers มี allyl alcohol จาก Claisen rearrangement products โดยไม่

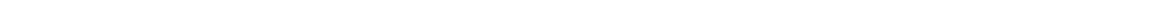
มีหมู่แทน allyl vinyl ether เนื่องจาก rearrangement สามารถเกิดได้ภายใต้ reaction condition นี้



11.739 และ β-bromoselenide 11.740 จาก 11.741 เกิด oxidation จาก 11.742 ซึ่งเกิด syn elimination

จาก allyl vinyl ether 11.743 เมื่อเกิด Claisen rearrangement จาก 11.744

2.4.2.2 Carroll reaction หรือ Kimel-Cope rearrangement



คู่ตัวอย่างใน axial สารปฏิกิริยา 11.748 เมื่ออุณหภูมิถึง 170° จาก 11.749 และ 11.750 (57:33) รวมกัน 50% เมื่อมี

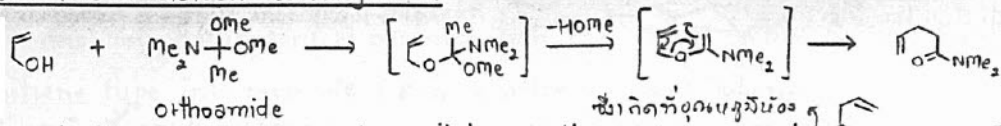


heat ด้วย aeq. LDA จาก 11.749 enolate dianion เมื่อ reflux ใน CCl<sub>4</sub> จาก 11.749 54% จาก 11.750

2.4.2.3 Johnson Ester variant of Claisen rearrangement



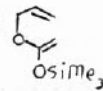
2.4.2.4 Eschenmoser-Claisen rearrangement



orthoamide

ซึ่งเกิดที่อุณหภูมิสูง

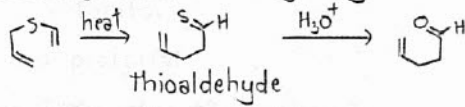
2.4.2.5 Ireland-Claisen rearrangement = silyl enol ether rearrangement



ดูตัวอย่างใน 11.413 สำหรับ 11.40

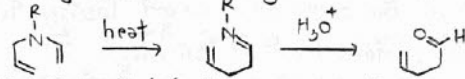
11.765 LHMDS = lithium hexamethyldisilazide  $\text{LiN}(\text{SiMe}_3)_2$

2.4.3 Thio-Claisen rearrangement = allyl vinyl sulfide rearrangement



thioaldehyde

2.4.4 Aza-Claisen rearrangement = allylic enamine rearrangement

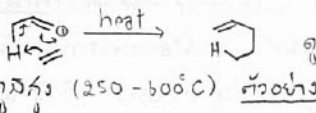


ดูตัวอย่างใน 11.413

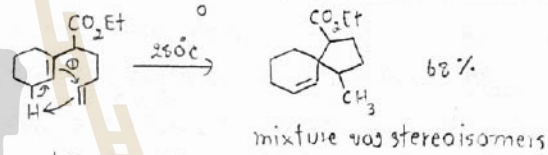
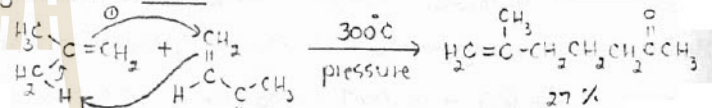
สำหรับ 11.412 เมื่อ allyl amine ทำ

กับ 2-methylpropenal จะให้ allyl imine 11.796 เมื่อทำกับ acid chloride จะได้ N-acyl derivative ซึ่งถูก reduced ด้วย  $\text{LiAlH}_4$  ให้ tertiary amine 11.798 เมื่อทำกับ acid จะให้ ammonium salt ซึ่งเกิด rearrangement ใน product เป็น 11.799 reduction ของ iminium salt จะทำไม่ได้ 11.800

3. Ene reaction เป็น addition reaction ของ electrophilic double bond (enophile) ด้วย alkene (ene) โดยมีการ transfer ของ allylic hydrogen จาก alkene เกิด HOMO<sub>ene</sub>-LUMO<sub>enophile</sub> interaction เช่น



โดยทั่วไปจะร้อนที่อุณหภูมิสูงๆ (250-600°C) ตัวอย่าง



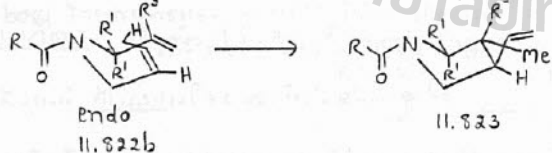
mixture ของ stereoisomers

จะเกิดได้ด้วยวิธี (วิธีอุณหภูมิสูงๆ) ที่ 1 ใช้ e<sup>-</sup> poor enophile ตัวอย่าง ใน 11.413

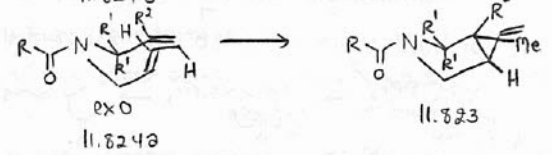
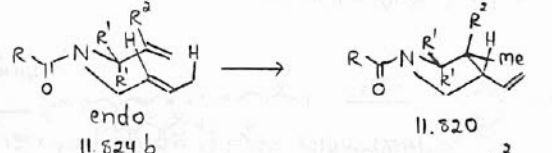
2 ใช้ Lewis acid เป็น catalyst ตัวอย่าง ใน 11.413

3.1 Ene reactions ของ 1,6-dienes ให้ product เป็น five-membered rings ดูตัวอย่างใน 11.413 cis-trans mixture

ของ 11.816 เกิด ene reaction ให้ cis isomer 11.818 = 35% yield เมื่อทำกับ 11.817 เป็น transition state สำหรับ cis amide 11.819 และ trans amide 11.821 ใน 11.413 เมื่อเกิด ene reaction จะให้ product 11.820 กับ 11.820 ในกรณีของ cis amide จะให้ทั้ง exo and endo orientation



ในกรณีของ trans amide จะให้ทั้ง exo and endo orientation เช่นกัน

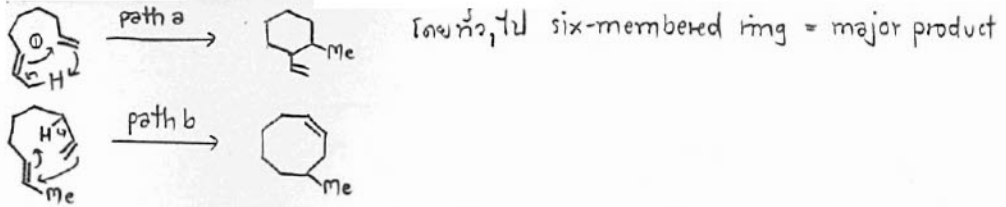


11.822 a มีพลังงาน < 11.822 b ∴ product = 11.820

11.824 b มีพลังงาน < 11.824 a ∴ product = 11.820

ดูตัวอย่าง ene reaction ของ 1,6-diene 11.831 ใน 11.413 ซึ่งเกิดผ่าน endo transition state

3.2 Ene reactions ของ 1,7-dienes common หรือค่า 1,6-dienes



เนื่องจาก six-membered ring เกิดง่ายกว่า five-membered ring ene reactions ของ 1,7-dienes จึงต้องใช้จุดอุณหภูมิสูงกว่า 1,6-dienes ถึงจะพอทำปฏิกิริยาได้ สันธวิบ 11.838 เมื่อใช้จุดอุณหภูมิ 400°C = ไม่เกิด สันธวิบ 11.840 เมื่อมี  $\delta^-$  withdrawing group มาต่อที่ enophile moiety = สามารถเกิดได้ที่จุดอุณหภูมิ 400°C และเมื่อมี  $\delta^-$  withdrawing group 2 อัน = ยิ่งเกิดง่ายขึ้น (≡ 11.842) สันธวิบ 11.845 เป็นส่วนหนึ่งของ carbonyl enophile ซึ่งทำให้ ene reaction เกิดได้ง่ายขึ้น



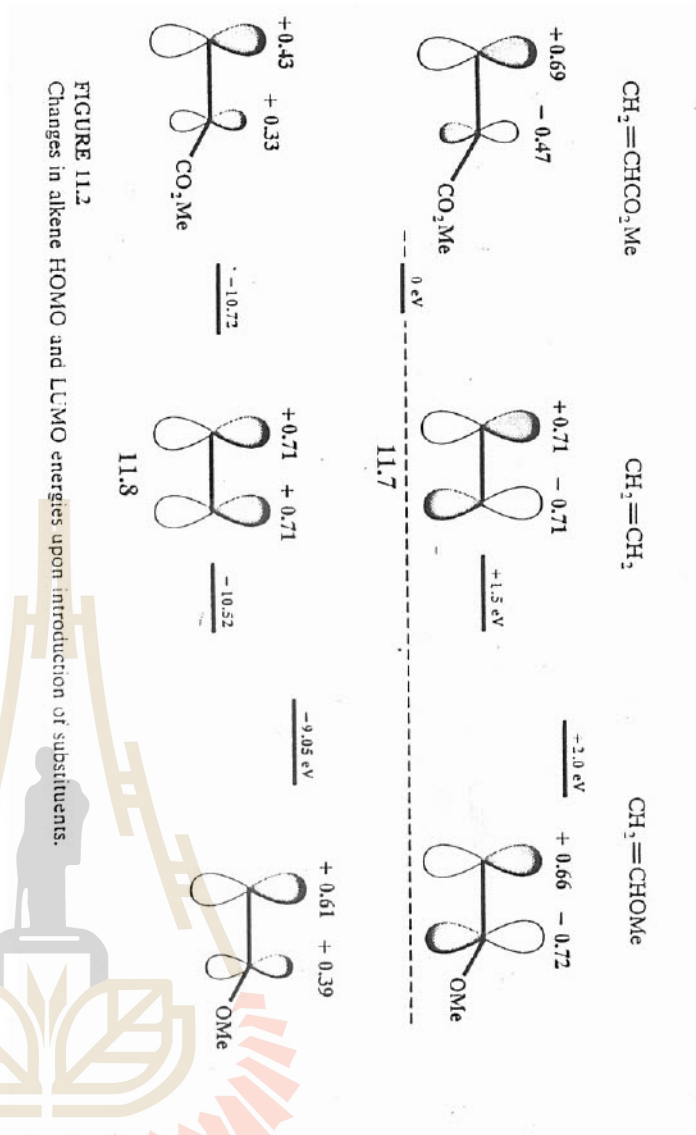


FIGURE 11.2  
Changes in alkene HOMO and LUMO energies upon introduction of substituents.

มหาวิทยาลัยเทคโนโลยีสุรนารี

TABLE 11.3  
Rules for  $[m + n]$  cycloadditions.

$m + n$	Allowed (ground state, thermal) Forbidden (excited state, $h\nu$ )	Allowed (excited state, $h\nu$ ) Forbidden (ground state, thermal)
$4q$	$m_s + n_a$ $m_a + n_s$	$m_s + n_s$ $m_a + n_a$
$4q + 2$	$m_s + n_s$ $m_a + n_a$	$m_s + n_a$ $m_a + n_s$

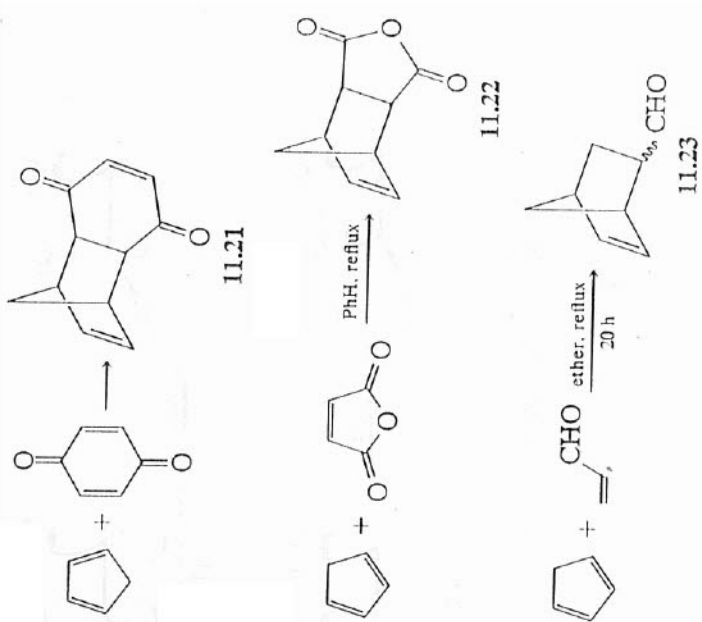
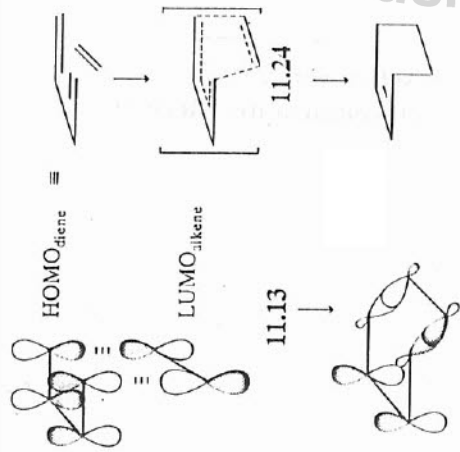
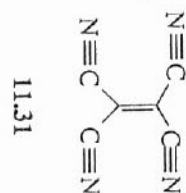
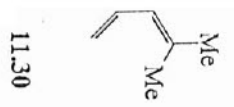


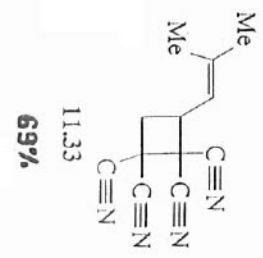
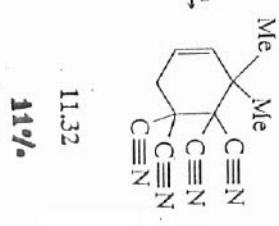
FIGURE 11.8

Diels-Alder reactions of butadiene and ethene

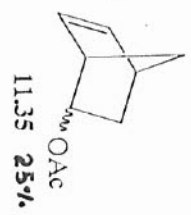
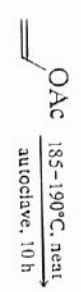
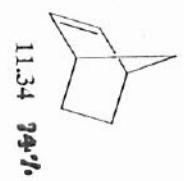
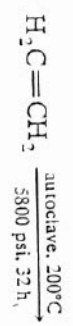
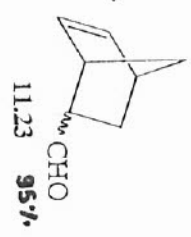
มหาวิทยาลัยเทคโนโลยีสุรนารี

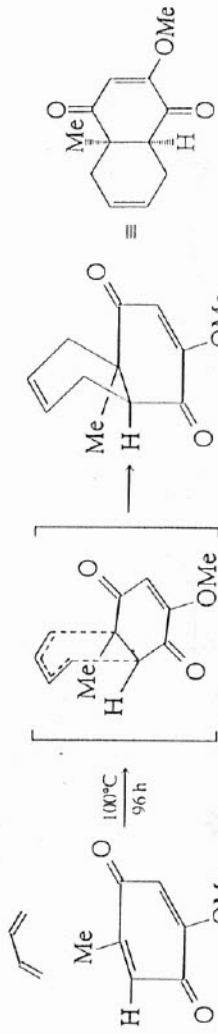


RT, 30 h



มหาวิทยาลัยเทคโนโลยีสุรนารี





มหาวิทยาลัยเทคโนโลยีสุรนารี

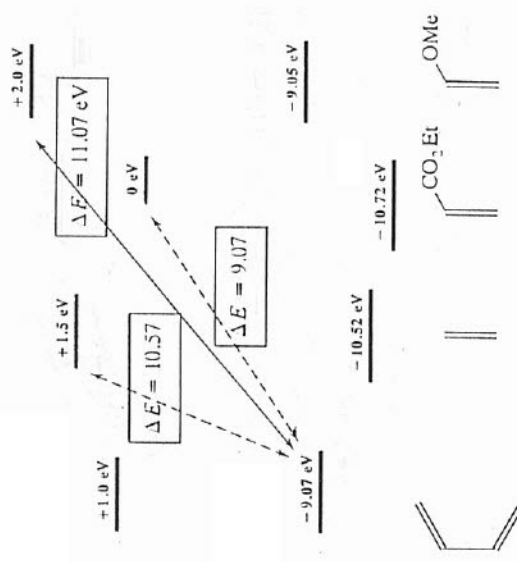
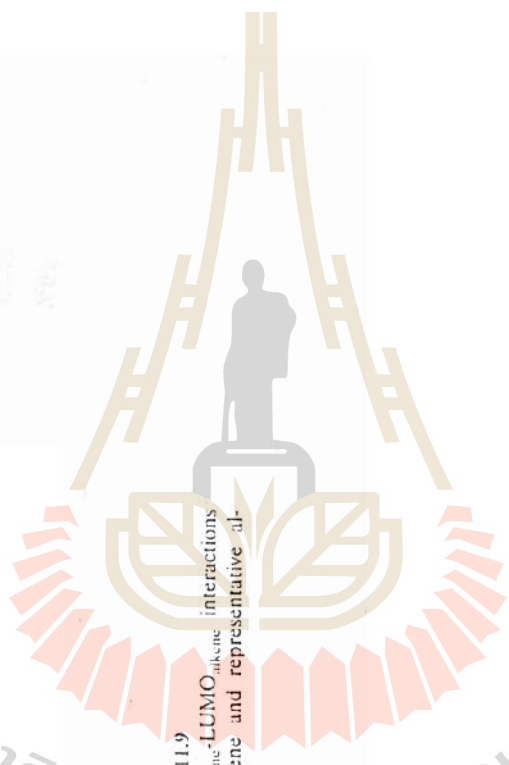
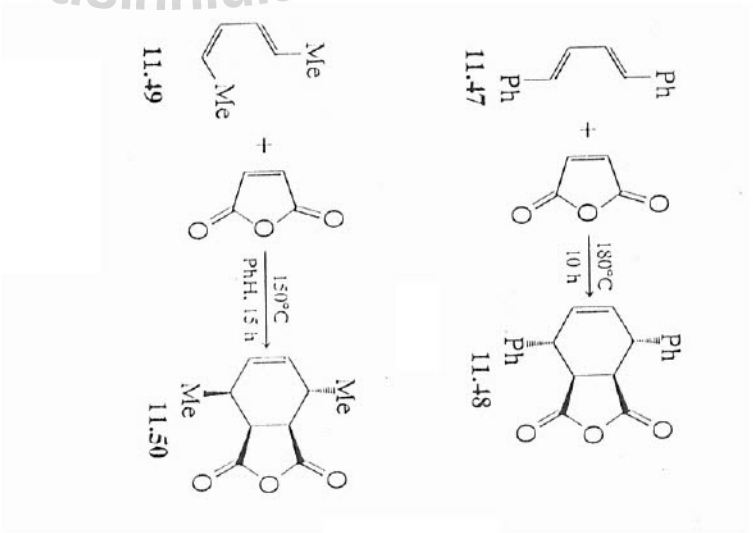
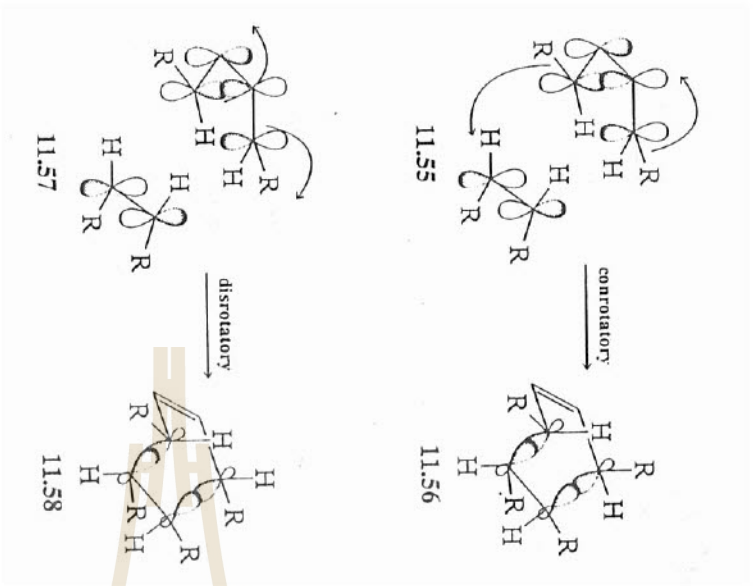
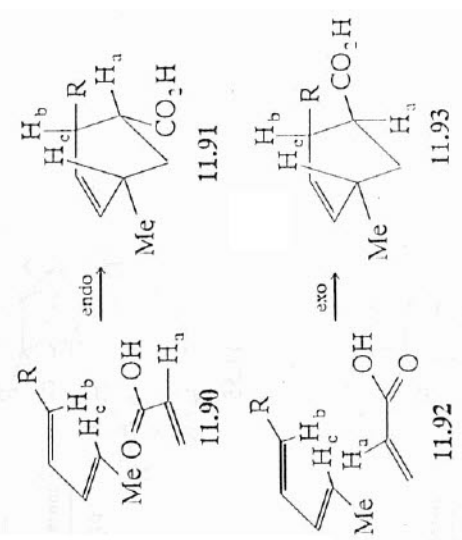
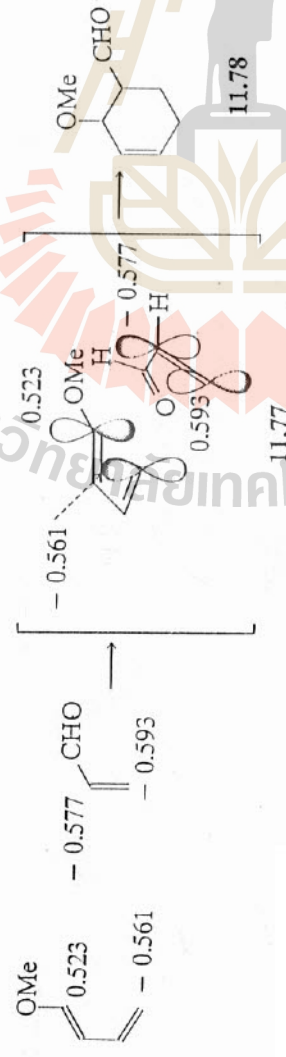
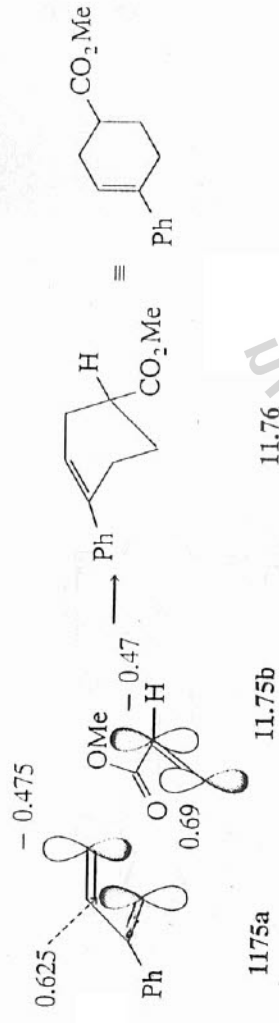
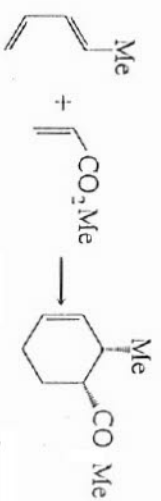


FIGURE 11.9  
HOMO<sub>diene</sub>-LUMO<sub>alkene</sub> interactions  
of butadiene and representative al-  
kenes.

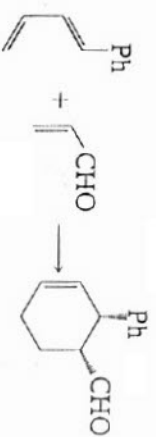




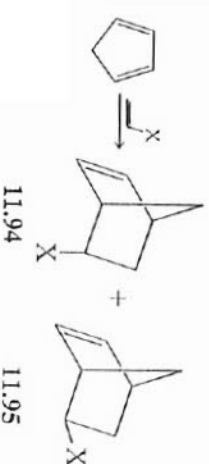




11.70



11.71



11.94

11.95

TABLE 11.5  
Endo / exo selectivity in Diels-Alder reactions  
of cyclopentadiene.

X	11.94 : 11.95
CO <sub>2</sub> H	75 : 25
CO <sub>2</sub> Me	76 : 24
CONH <sub>2</sub>	10 : 1
CHO	Only 11.94
C≡N	60 : 40
CH <sub>2</sub> OH	80 : 20
CH <sub>2</sub> Br	Only 11.94
CH <sub>2</sub> NH <sub>2</sub>	Only 11.94
CH <sub>2</sub> C≡N	Only 11.94
CH <sub>2</sub> CO <sub>2</sub> H	Only 11.94
NO <sub>2</sub>	Mostly 11.94
OAc	81 : 19
OCHO	Only 11.94
Br	Mostly 11.94

Source: Reprinted with permission from Martin, J. G.; Hill, R. K. *Chem. Rev.* 1961, 61, 537. Copyright 1961 American Chemical Society.

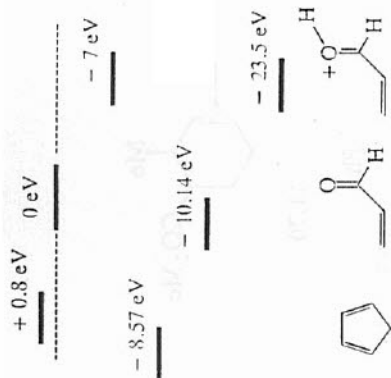
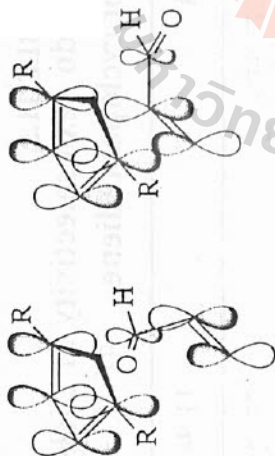
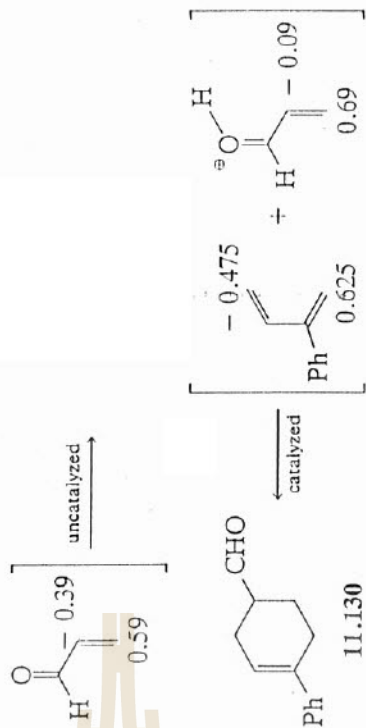
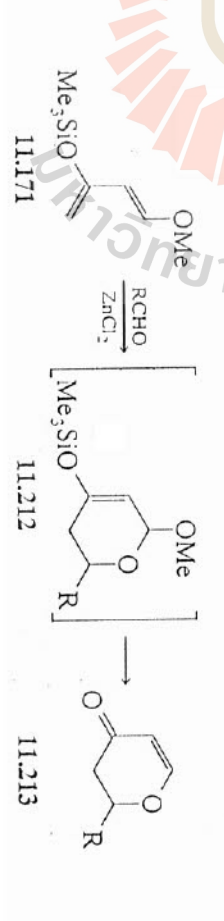
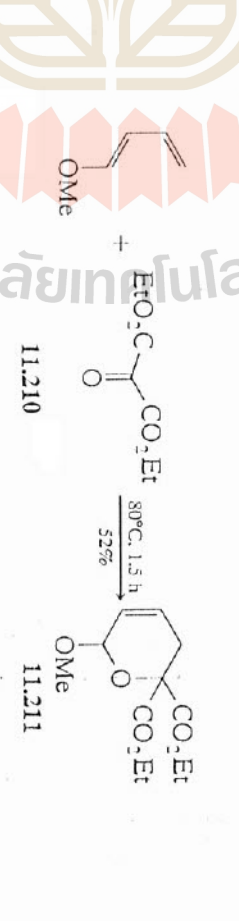
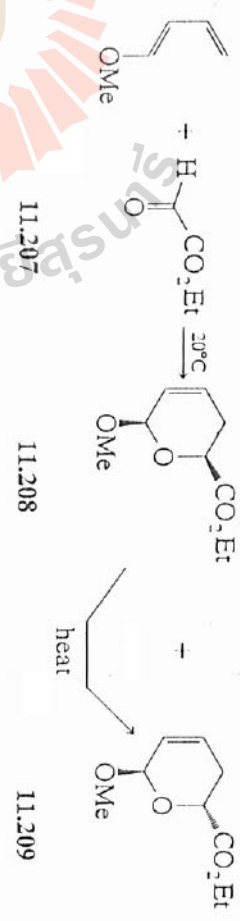
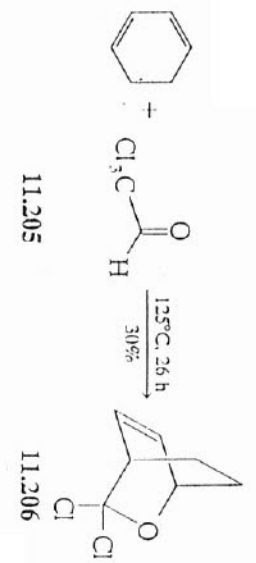
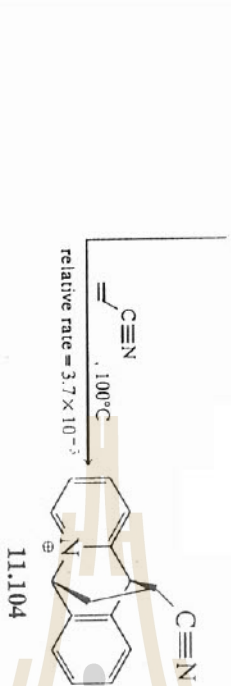
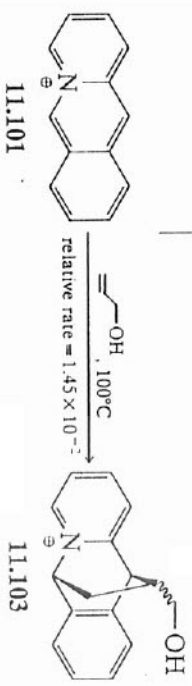
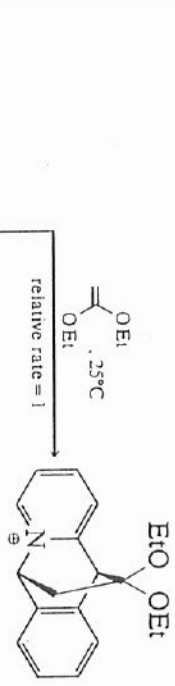
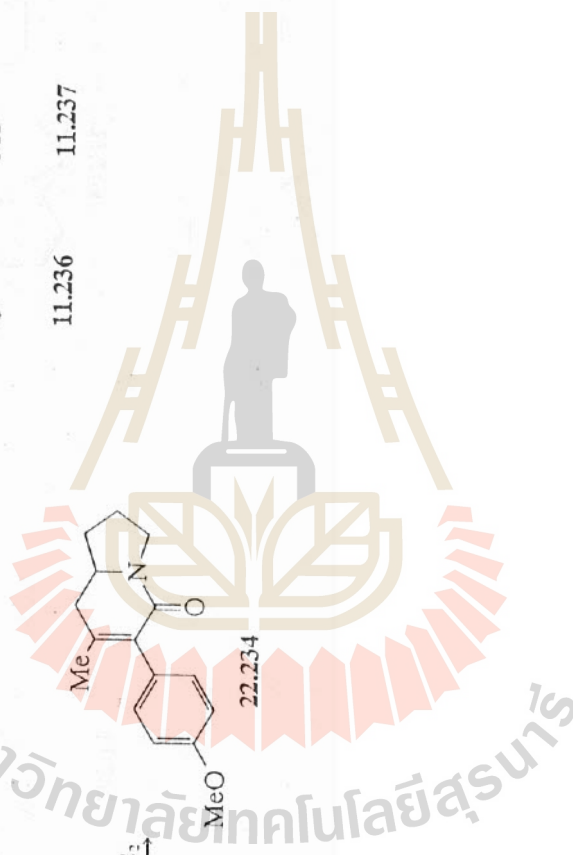
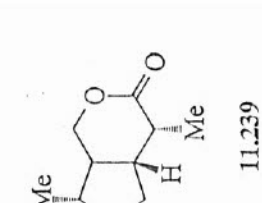
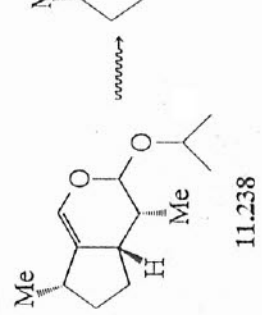
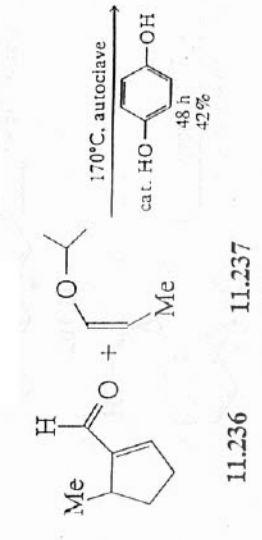
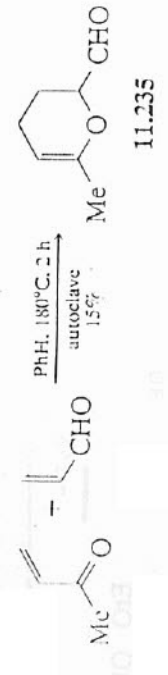
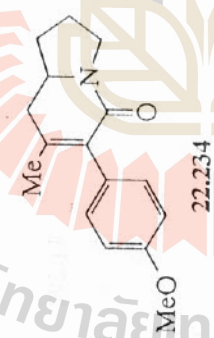
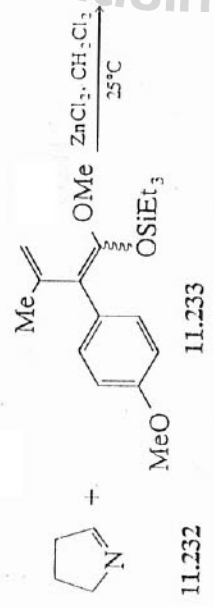
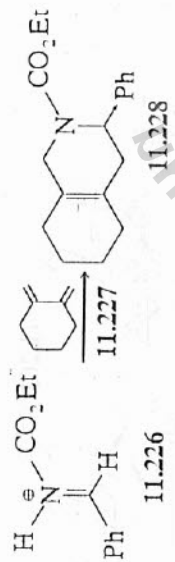
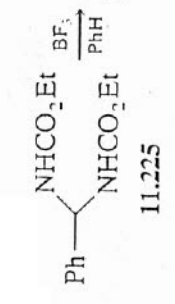
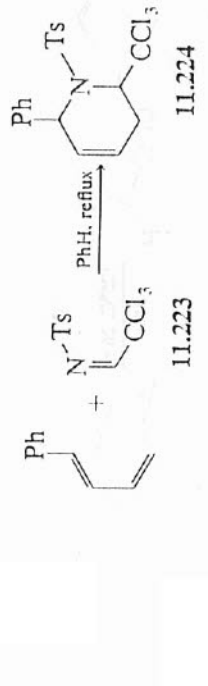


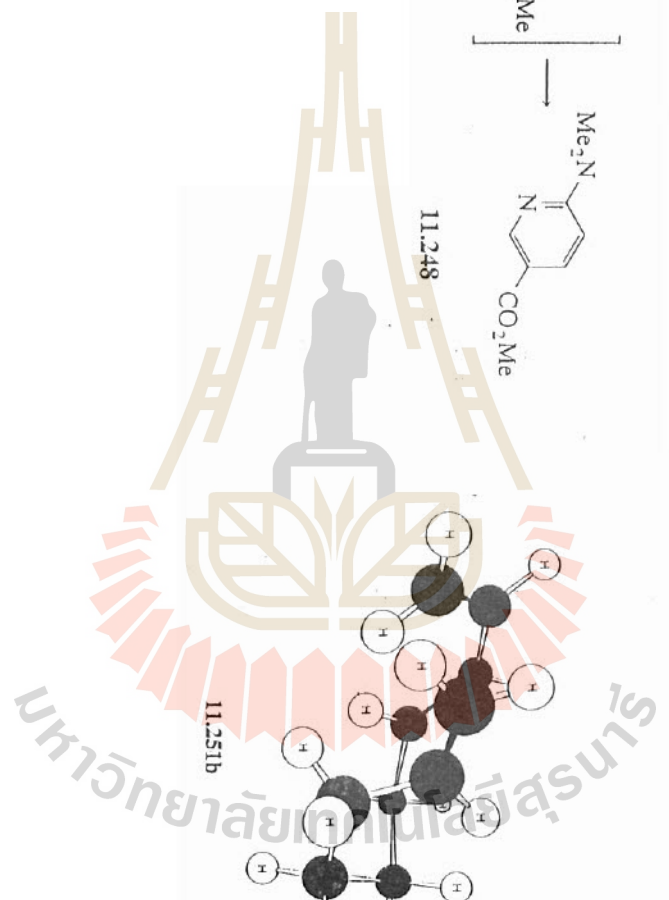
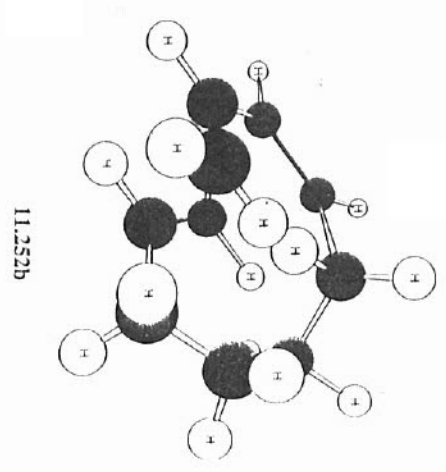
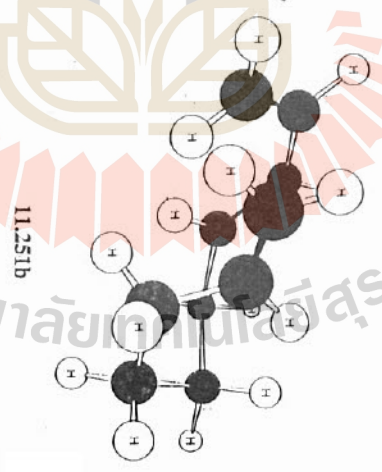
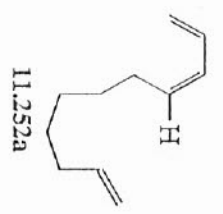
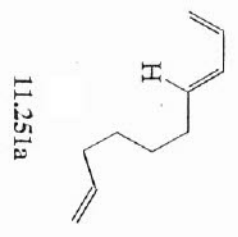
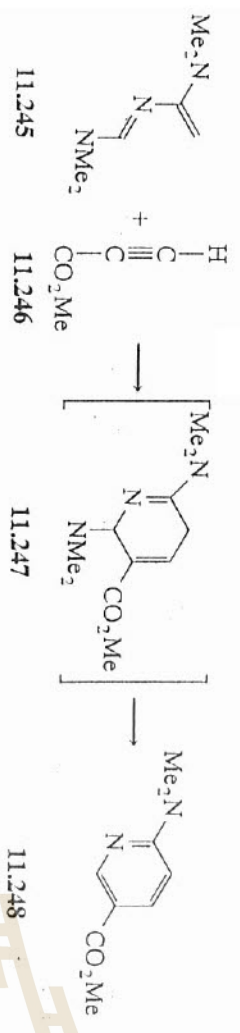
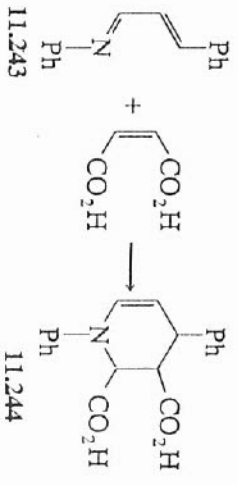
FIGURE 11.11

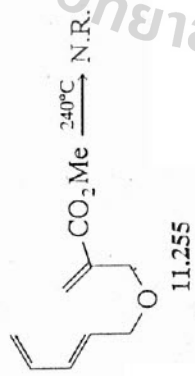
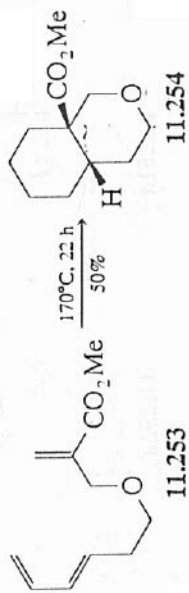
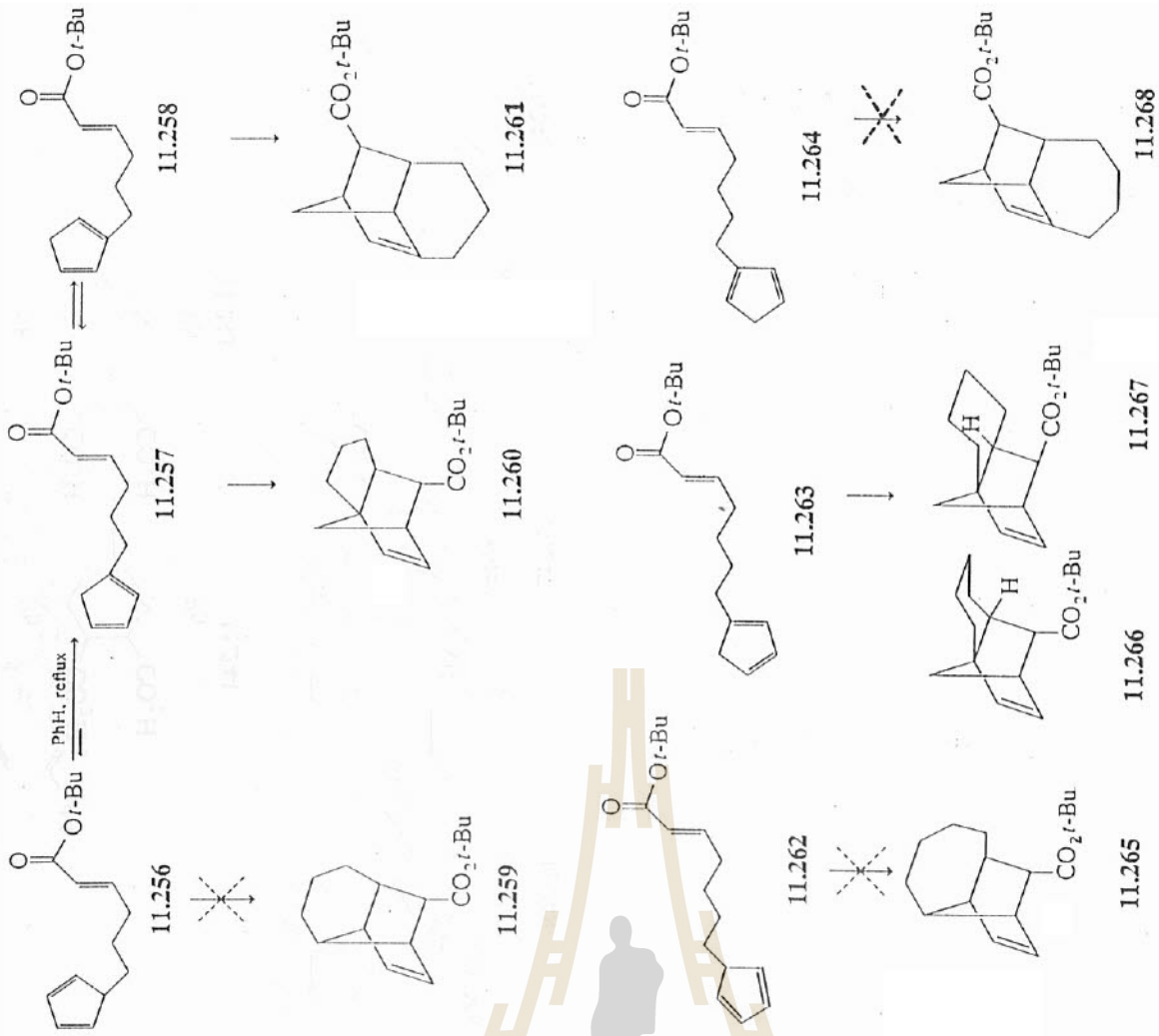
HOMO-LUMO diagram for protonated acrolein. Source: Reprinted with permission from Fleming, I. *Frontier Molecular Orbitals and Organic Chemical Reactions*, Wiley, London, 1976, p 163. Copyright 1976 by John Wiley and Sons, Inc.



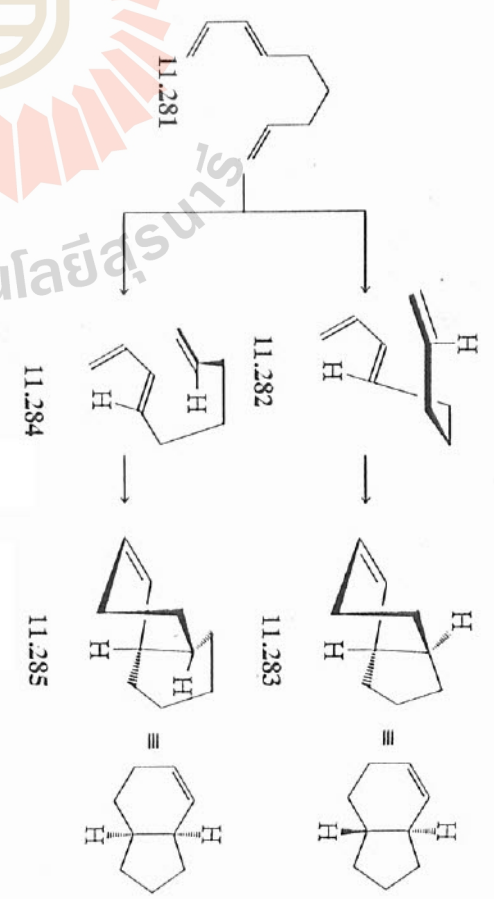
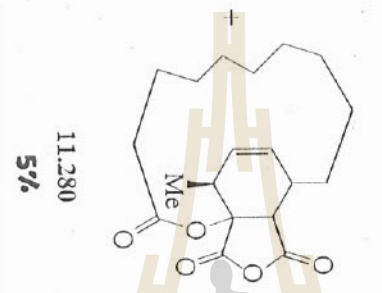
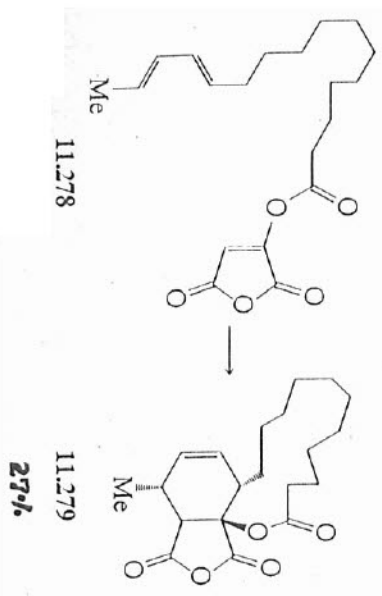
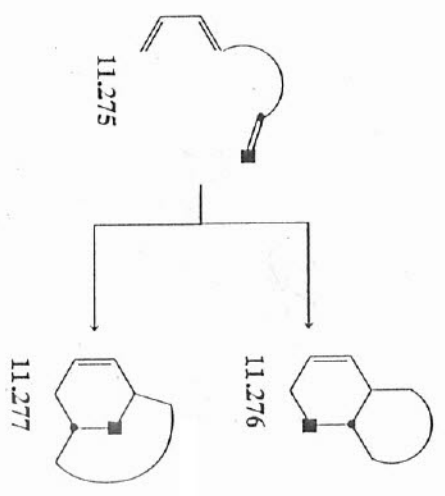




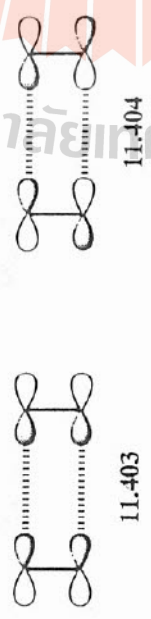
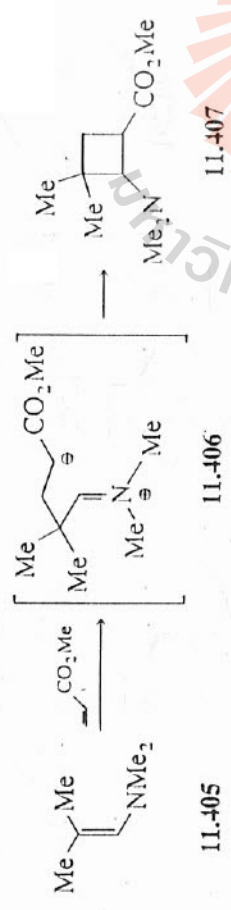
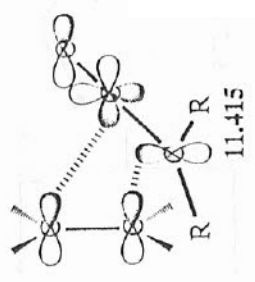
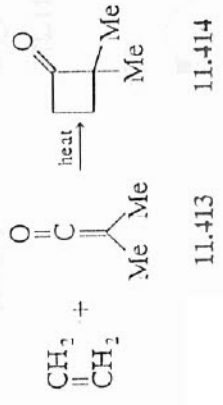
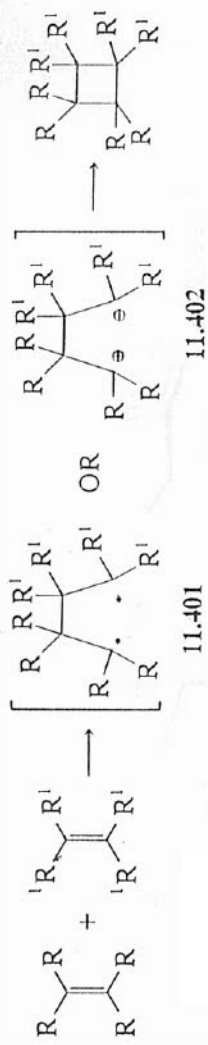




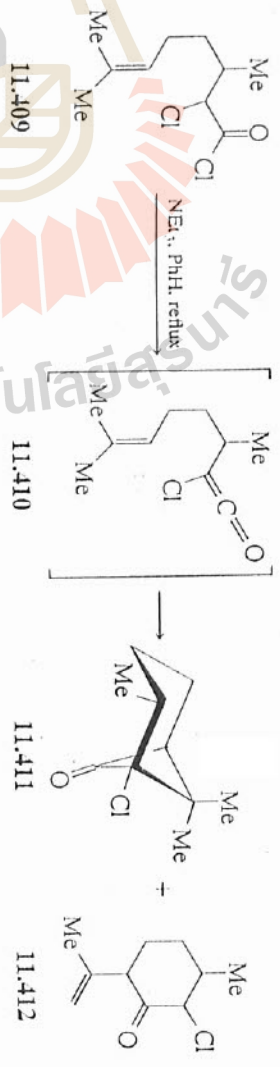
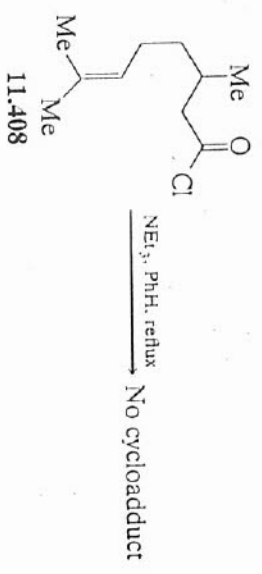
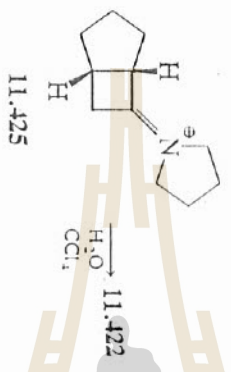
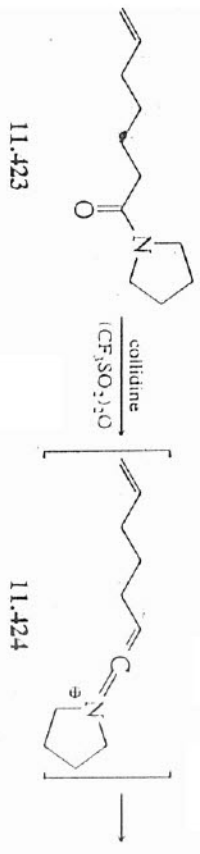
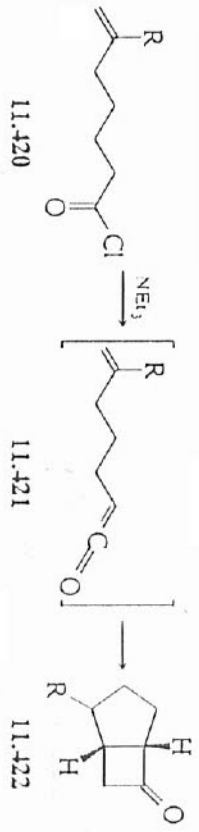
มหาวิทยาลัยเทคโนโลยีสุรนารี



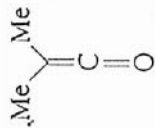
มหาวิทยาลัยเทคโนโลยีสุรนารี



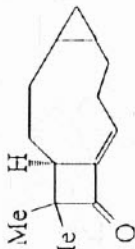
มหาวิทยาลัยราชภัฏสุรินทร์



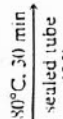
มหาวิทยาลัยเทคโนโลยีสุรนารี



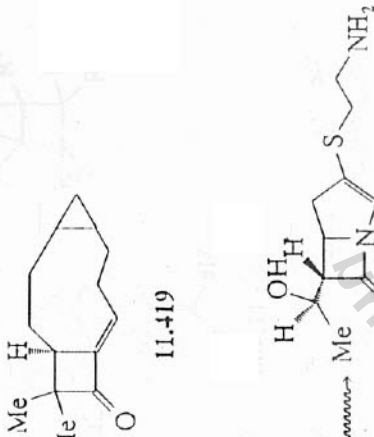
11.413



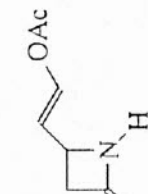
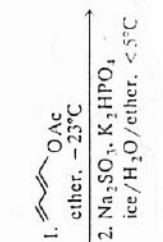
11.418



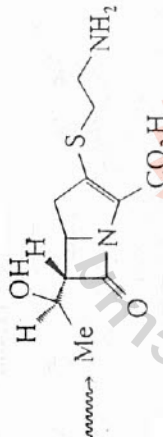
11.419



11.436



11.437



11.438

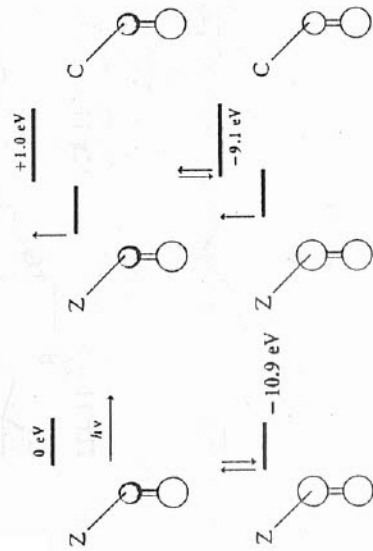


FIGURE 11.15  
Photochemically induced electron promotion in cycloaddition reactions of alkenes. Source: Reprinted with permission from Fleming, I. *Frontier Molecular Orbitals and Organic Chemical Reactions*, Wiley, London, 1976, p 128. Copyright 1976 by John Wiley and Sons, Inc.

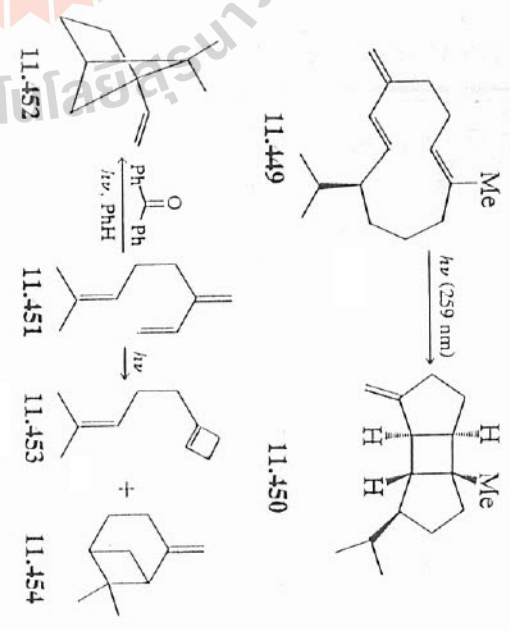
TABLE 11.18.  
Absorption maxima for representative molecules  
and functional groups.

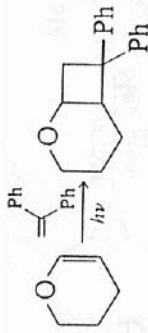
Molecule	Transition	$\lambda_{\text{max}}$ nm	$E_{\text{max}}$ kcal/mol (kJ/mol)
$C_4H_9-I$	$n \rightarrow \sigma^*$	224	127.7 (534.6)
$CH_2=CH_2$	$\pi \rightarrow \pi^*$	165	173.3 (725.4)
$HC \equiv CH$	$\pi \rightarrow \pi^*$	173	165.3 (691.9)
Acetone	$n \rightarrow \pi^*$	150	190.7 (798.5)
	$n \rightarrow \sigma^*$	188	152.1 (636.7)
$CH_2=CHCH=CH_2$	$n \rightarrow \pi^*$	279	102.5 (429.1)
	$\pi \rightarrow \pi^*$	217	131.8 (551.7)
$CH_2=CHCHO$	$\pi \rightarrow \pi^*$	210	136.2 (570.1)
	$n \rightarrow \pi^*$	315	90.8 (380.1)
Benzene	$\pi \rightarrow \pi^*$	180	159.8 (665.2)
	$n \rightarrow \pi^*$	200	143.0 (598.6)
	$\pi \rightarrow \pi^*$	255	112.2 (469.7)

Functional group

Functional group	$\lambda_{\text{max}}$ nm	$E_{\text{max}}$ kcal/mol (kJ/mol)
$RCH=CHR$	165	173.3 (725.4)
	193	148.2 (620.4)
$RC \equiv CR$	173	165.3 (691.9)
$R(C=O)-R$	188	152.1 (636.7)
	279	102.5 (429.1)
RCHO	290	98.6 (412.7)
RCOOH	< 208	< 137.5 (> 575.6)
$-C \equiv N$	< 160	< 178.8 (> 748.5)
$-N=N-$	347	82.4 (344.9)
$R_2C=N-$	190	150.5 (630.0)

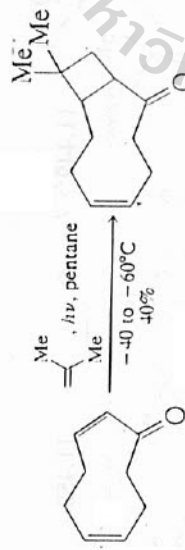
Source: Reprinted with permission from Silverstein, R. M.; Bassler, G. C.; Morrill, T. C. *Spectrophotometric Identification of Organic Compounds*, 4th Ed., Wiley, New York, 1981, p 308 and 312. Copyright 1981 by John Wiley and Sons, Inc.





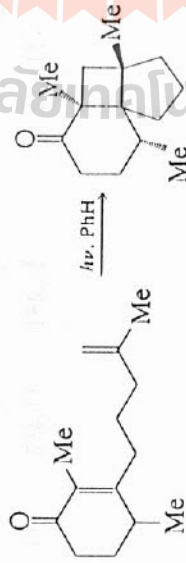
11.466

11.467



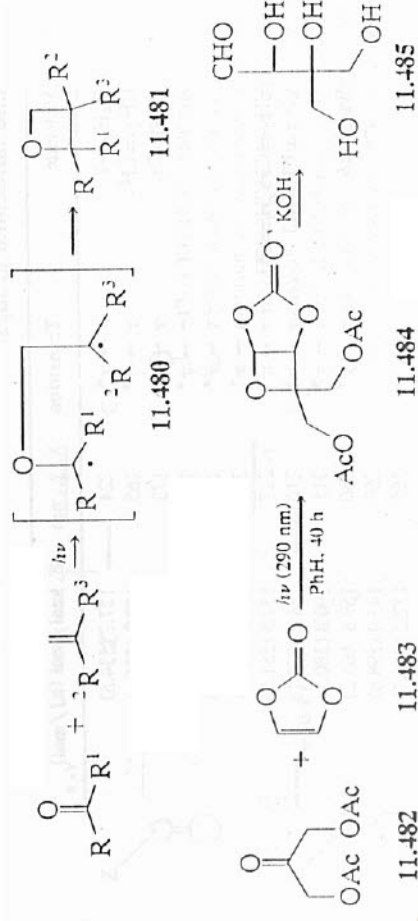
11.470

11.471



11.472

11.473



11.480

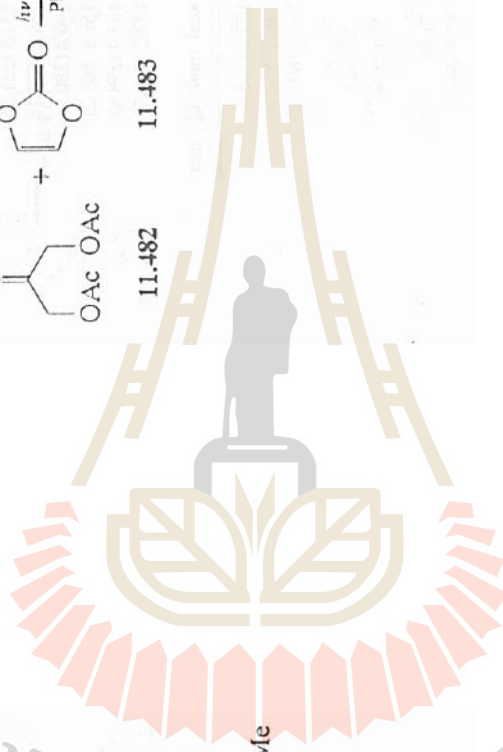
11.481

11.482

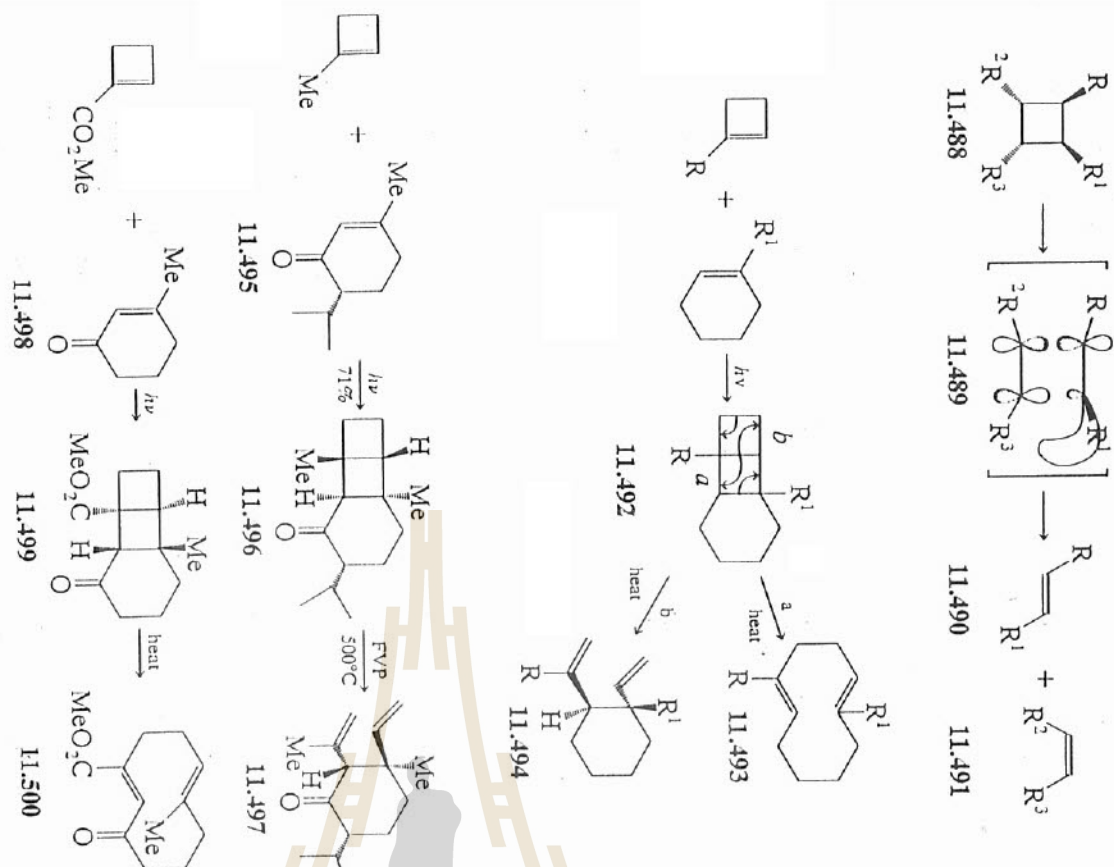
11.483

11.484

11.485

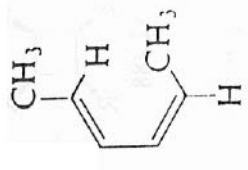
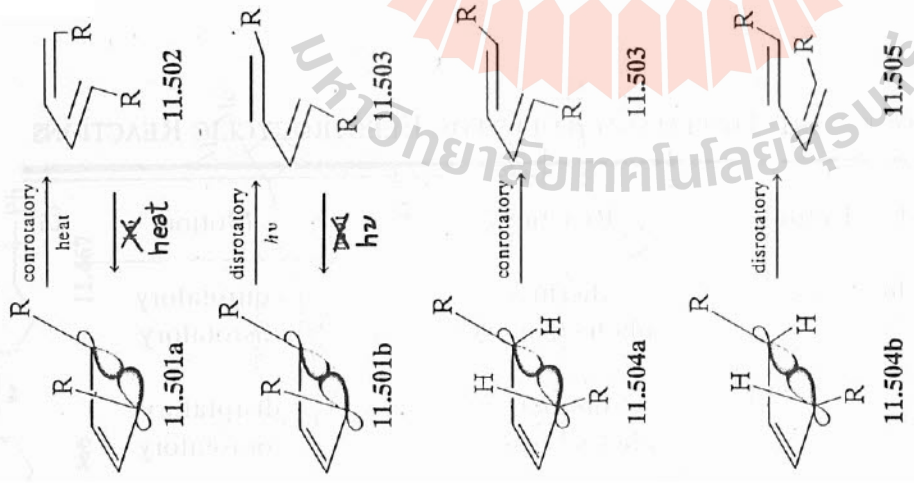


มหาวิทยาลัยราชภัฏนครราชสีมา

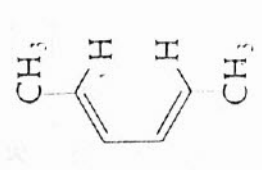


**Table 33.1** WOODWARD-HOFFMANN RULES FOR ELECTROCYCLIC REACTIONS

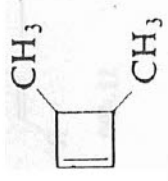
Number of $\pi$ electrons	Reaction	Motion
$4n$	thermal	conrotatory
$4n$	photochemical	disrotatory
$4n + 2$	thermal	disrotatory
$4n + 2$	photochemical	conrotatory



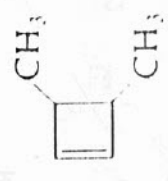
*cis,trans*-2,4-Hexadiene



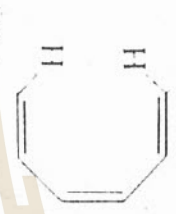
*trans,trans*-2,4-Hexadiene



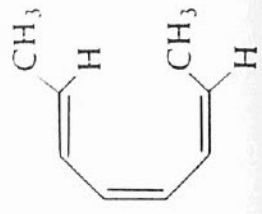
*cis*-3,4-Dimethylcyclobutene



*trans*-3,4-Dimethylcyclobutene



*trans,cis,trans*-2,4,6-Octatriene



*cis*-5,6-Dimethyl-1,3-cyclohexadiene

*trans,cis,cis*-2,4,6-Octatriene

*trans*-5,6-Dimethyl-1,3-cyclohexadiene

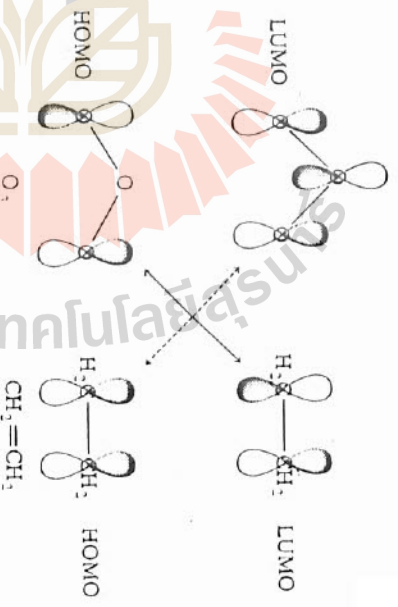
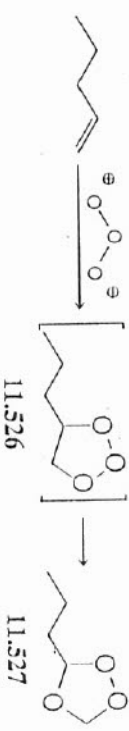
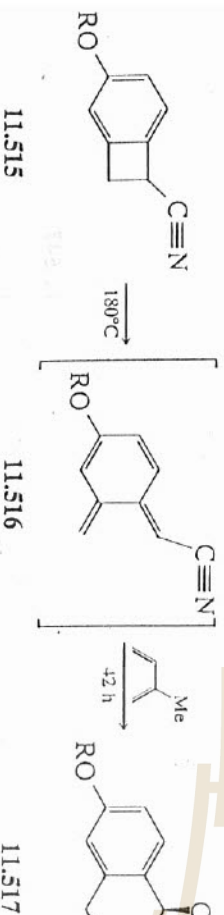
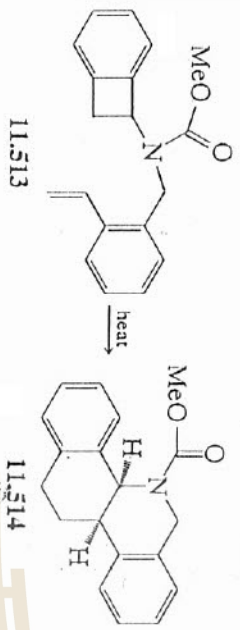
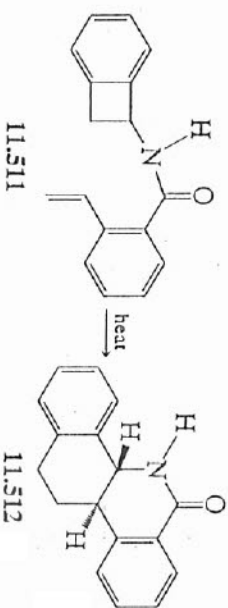
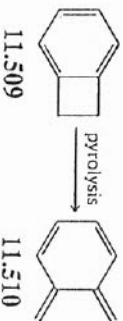


FIGURE 11.21  
Frontier orbital interactions of  
ozone and ethene. Source:  
Reprinted with permission  
from Fleming, I. *Frontier  
Molecular Orbitals and Organic  
Chemical Reactions*. Wiley,  
London, 1976, p 93. Copyright  
1976 by John Wiley and Sons,  
Inc.

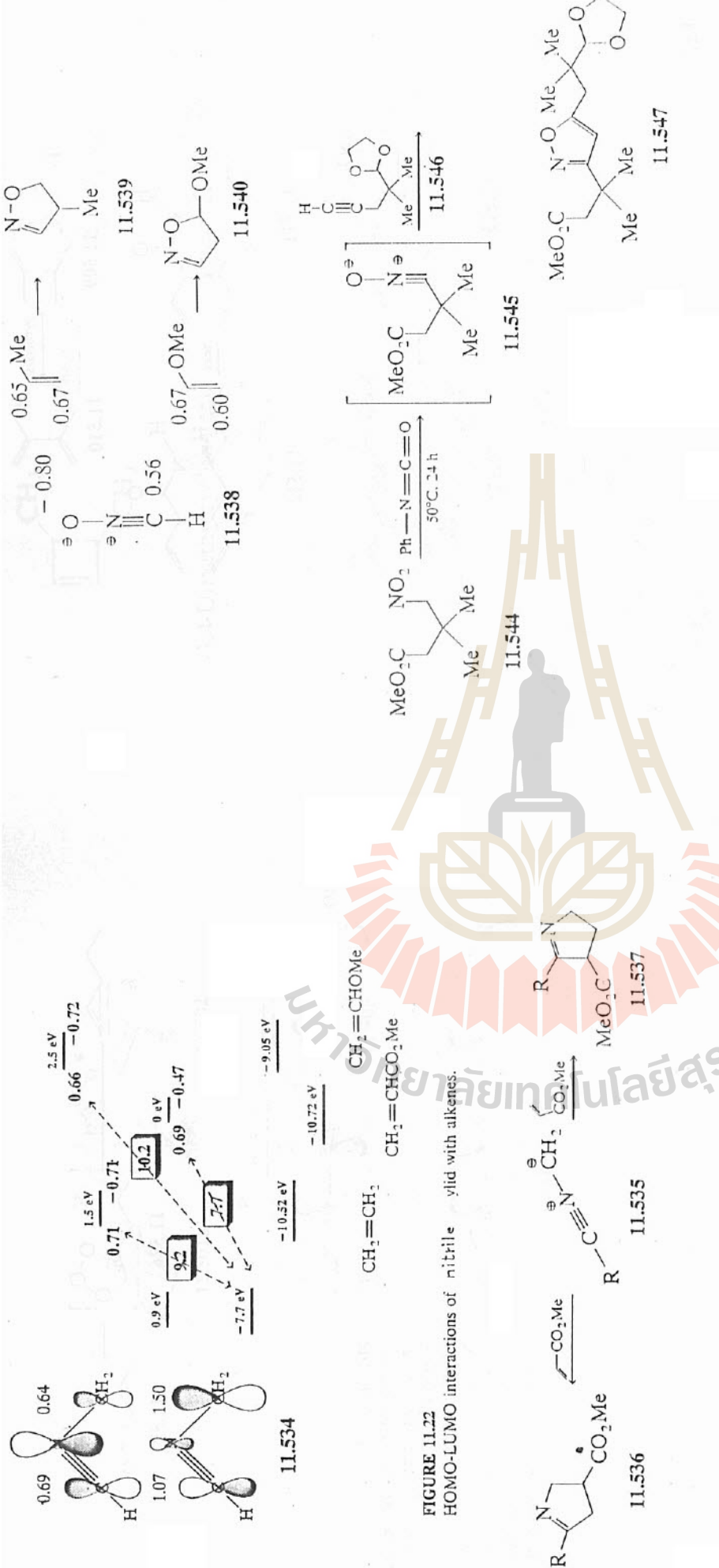
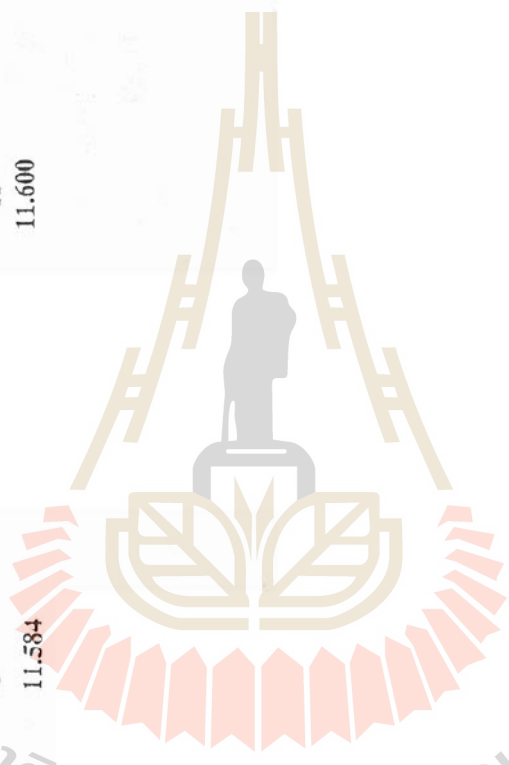
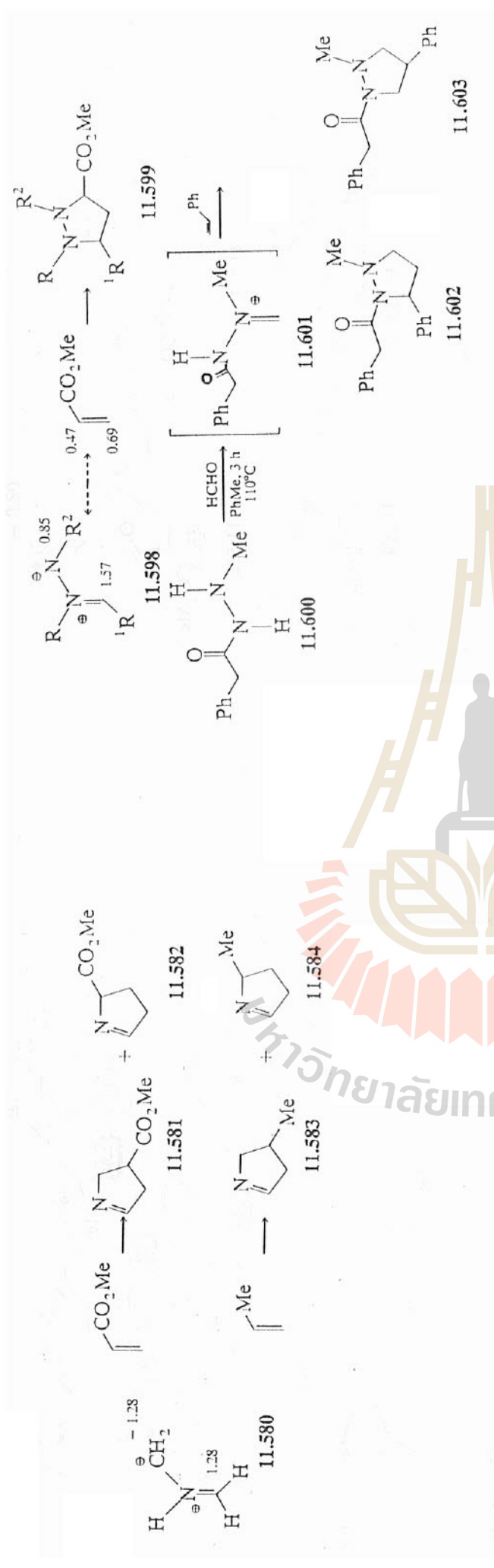


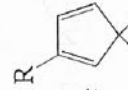
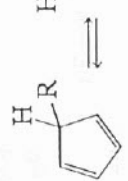
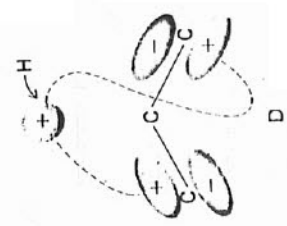
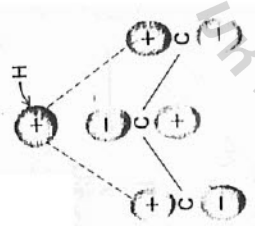
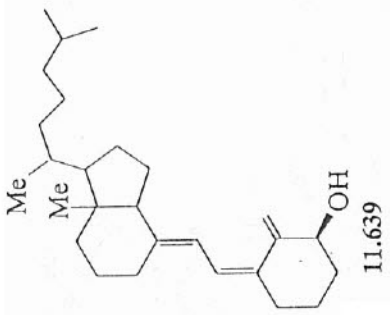
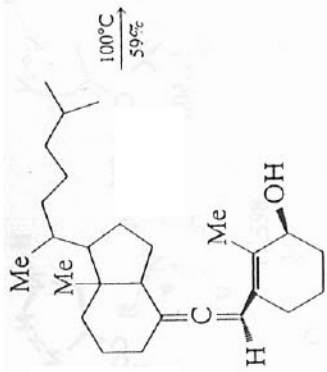
FIGURE 11.22  
HOMO-LUMO interactions of nitrile ylide with alkenes.





มหาวิทยาลัยเทคโนโลยีสุรนารี





11.640

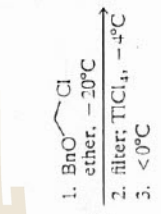
11.641

11.642

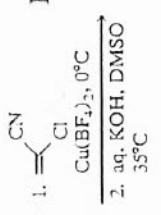
11.643



11.644

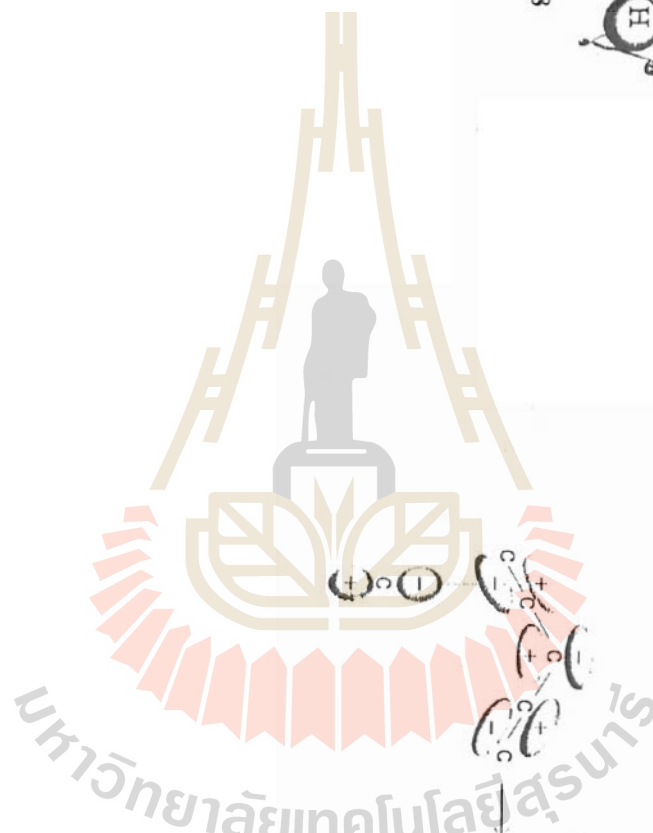


11.645

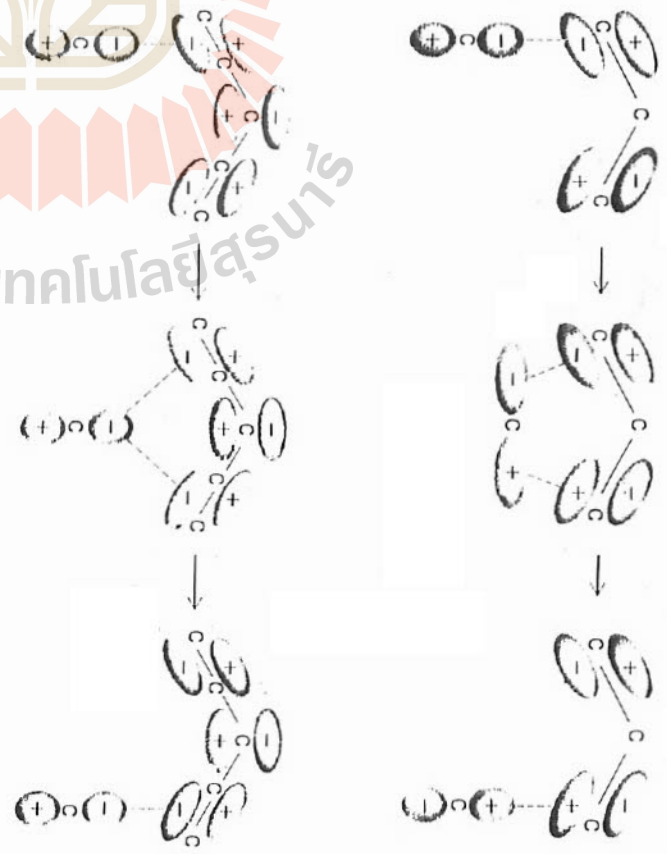
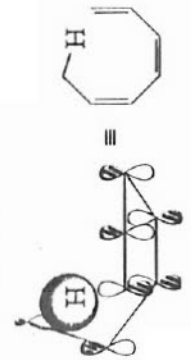


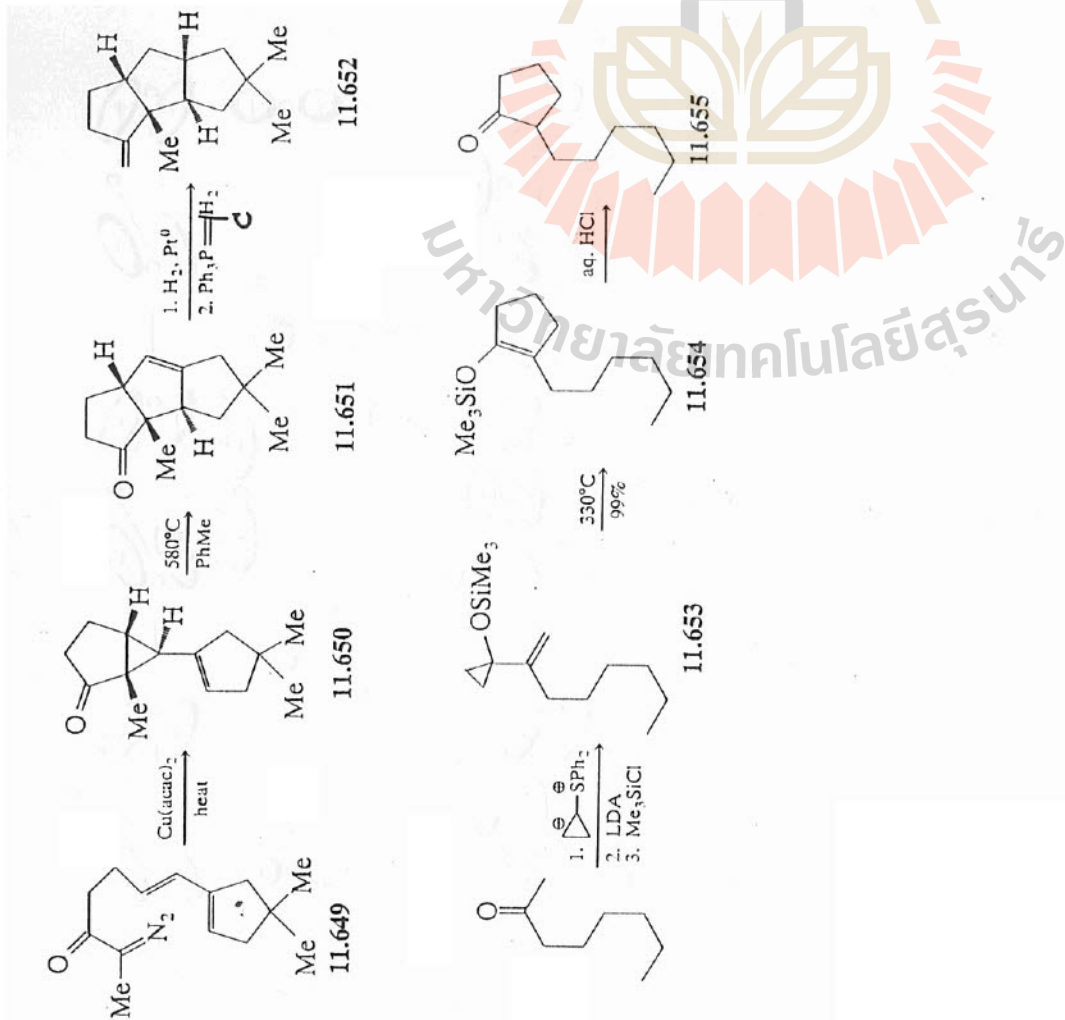
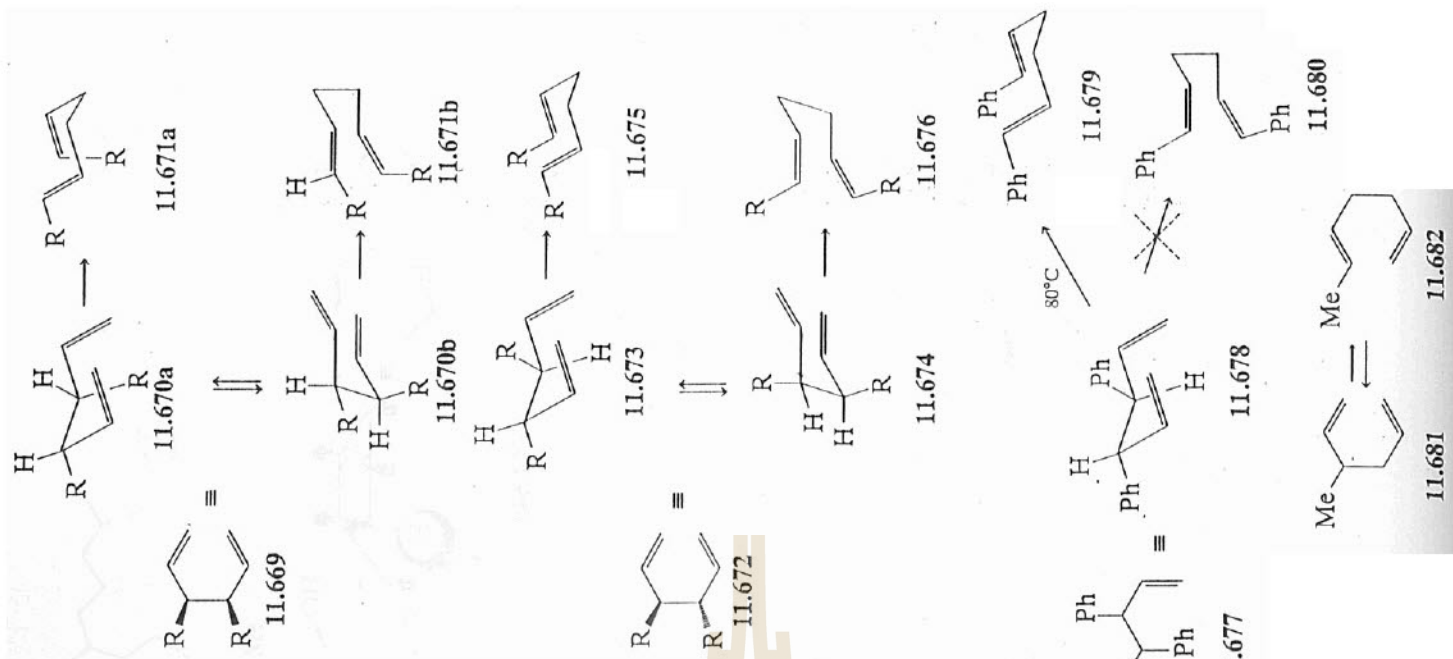
11.646

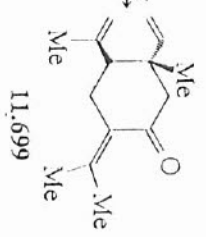
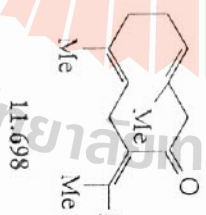
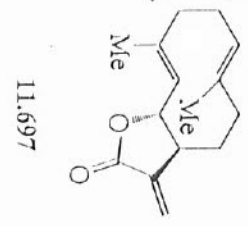
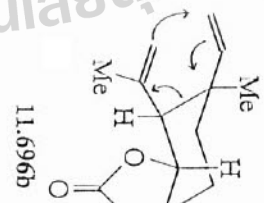
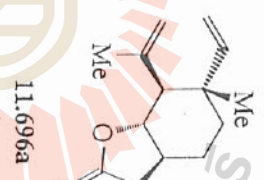
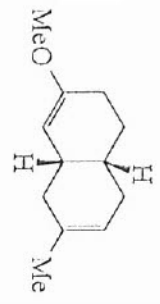
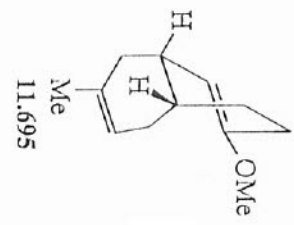
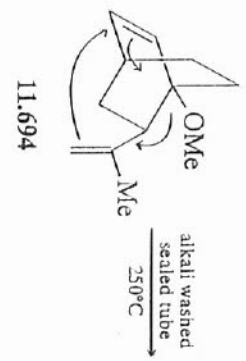
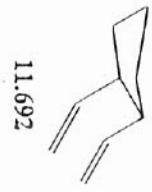
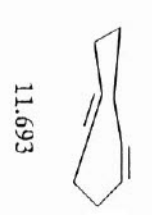
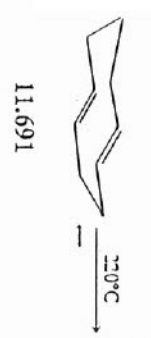
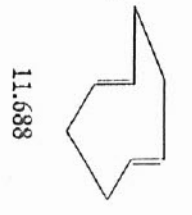
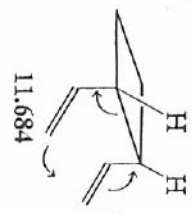
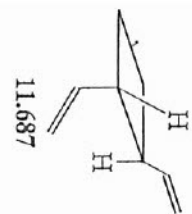
มหาวิทยาลัยเทคโนโลยีสุรนารี



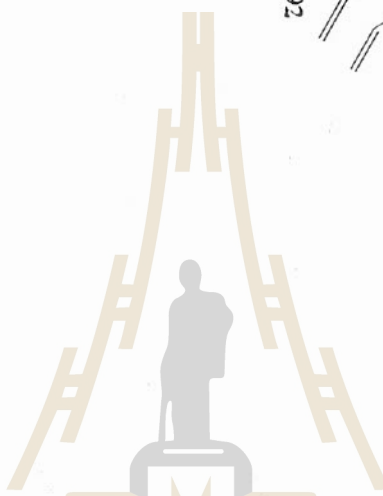
11.648

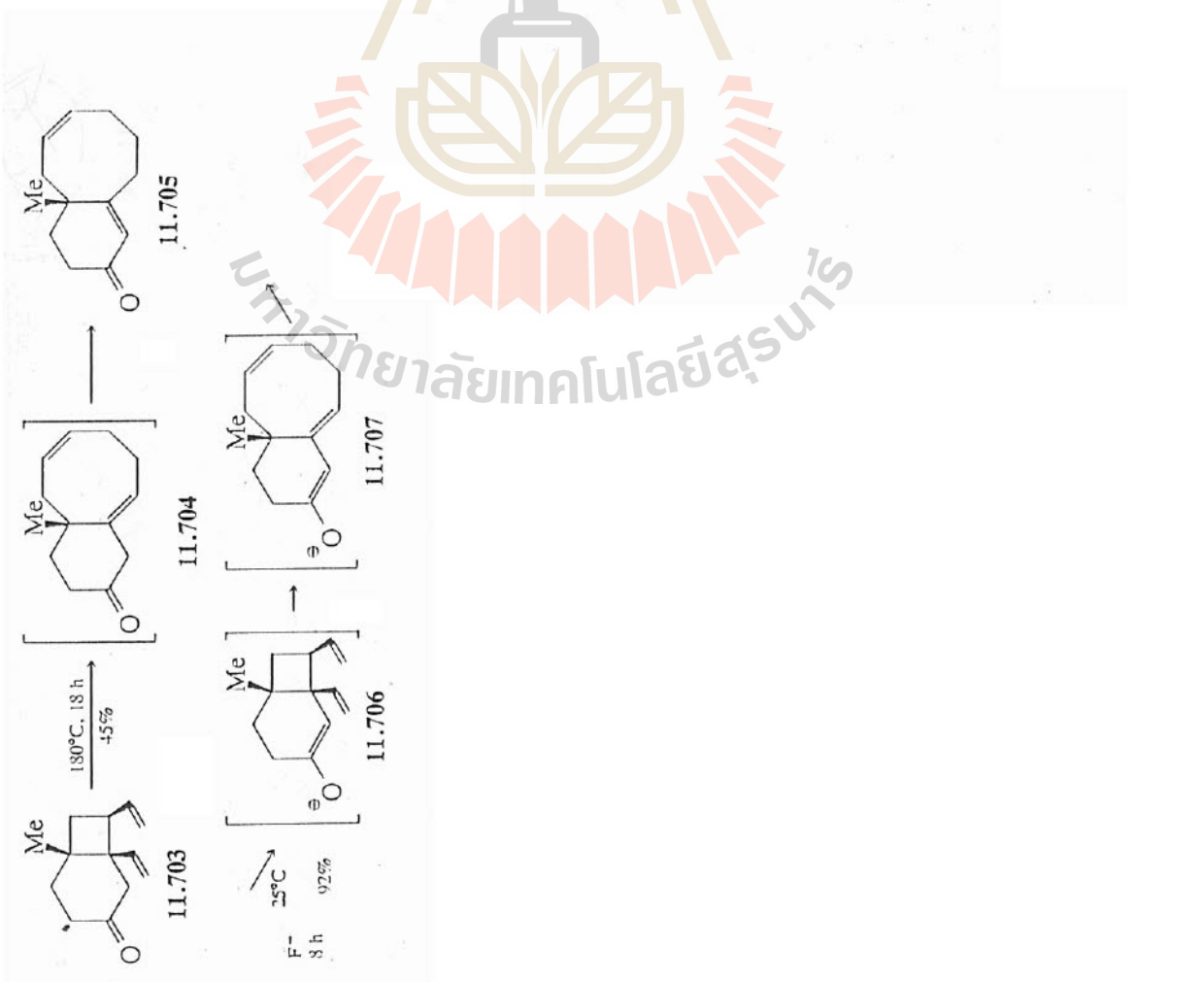
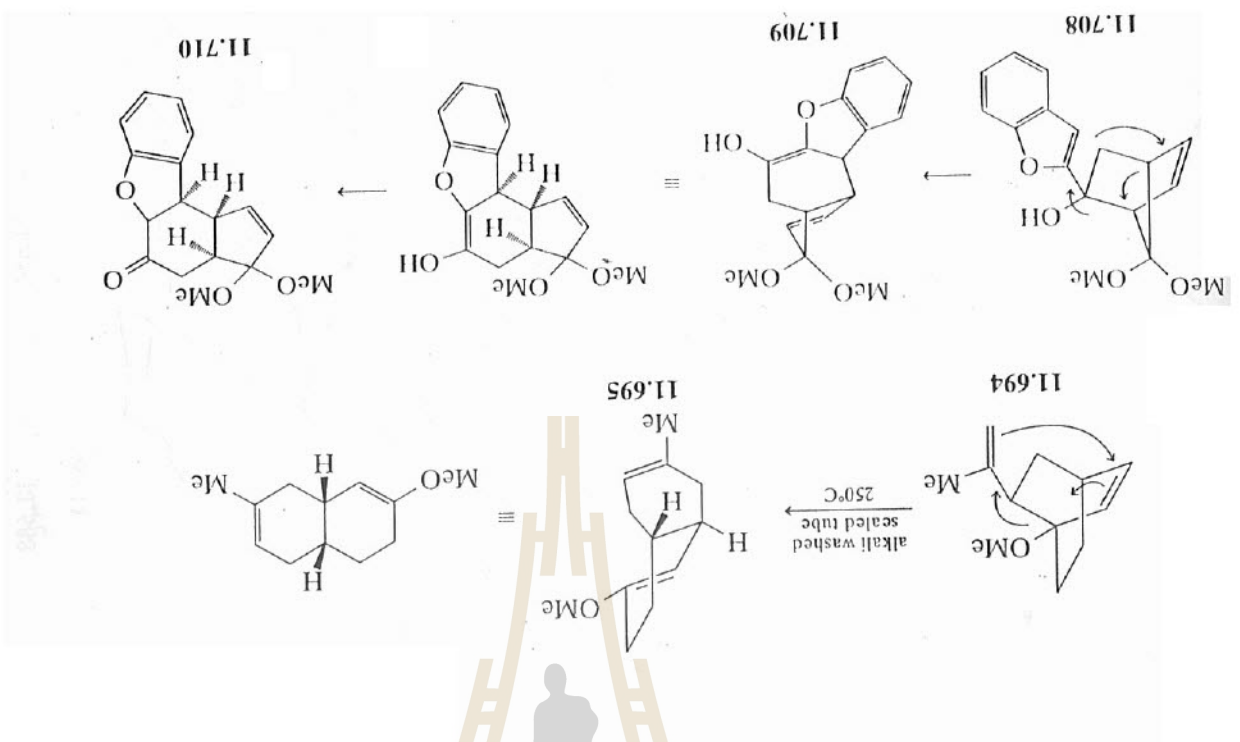




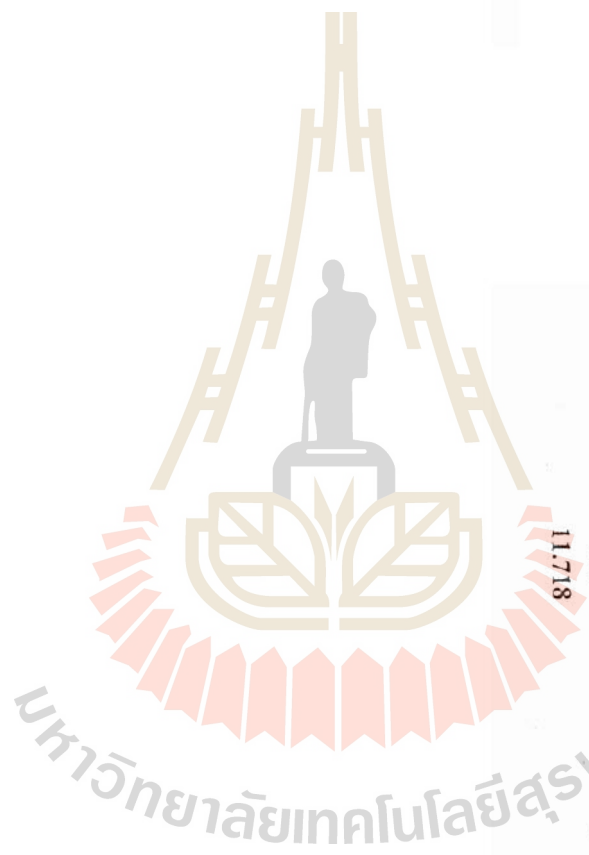
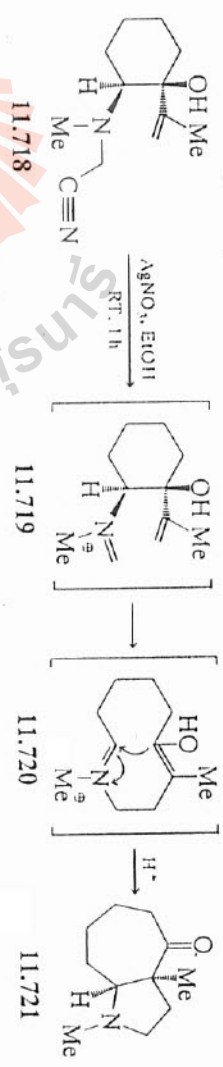
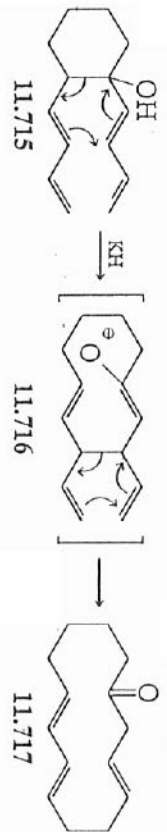


มหาวิทยาลัยสุโขทัย

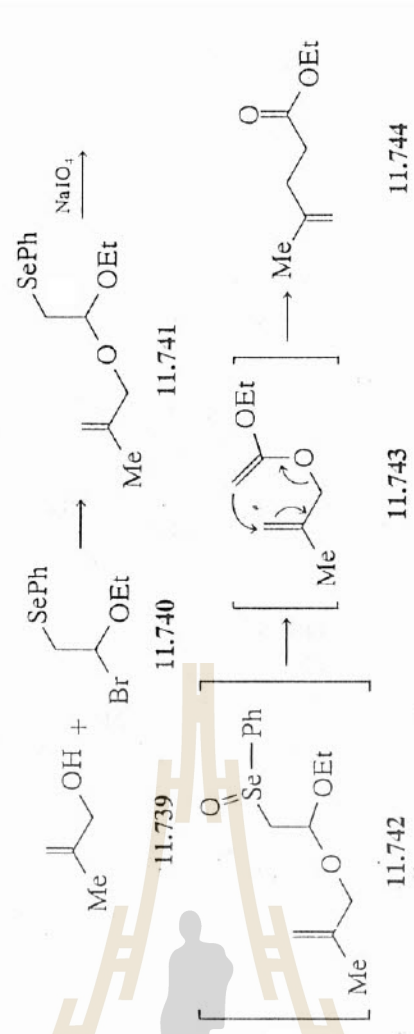
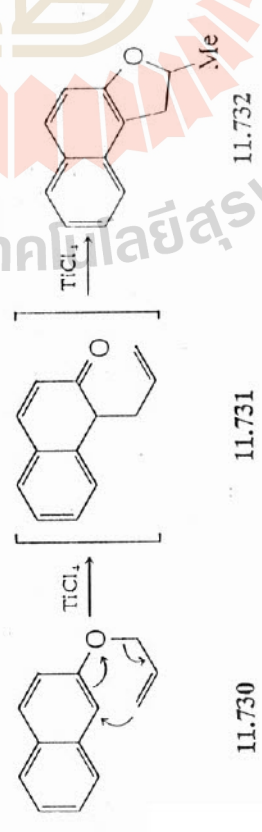
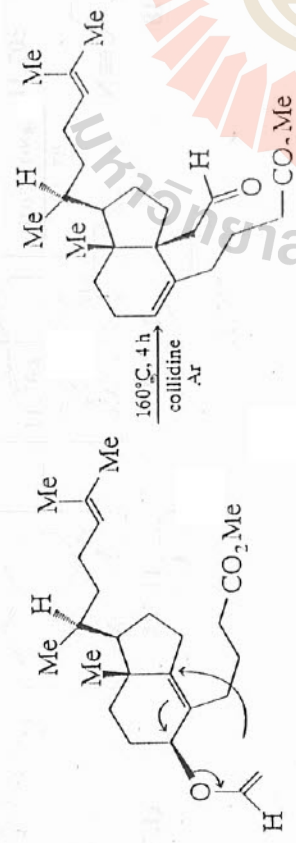
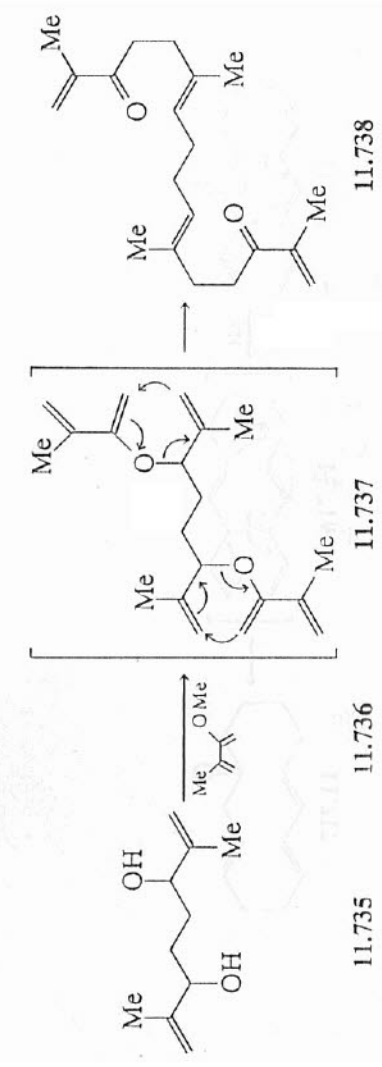
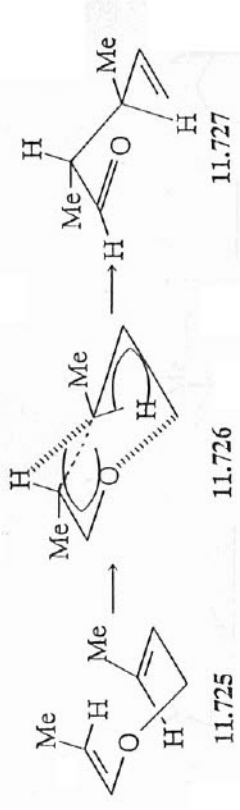


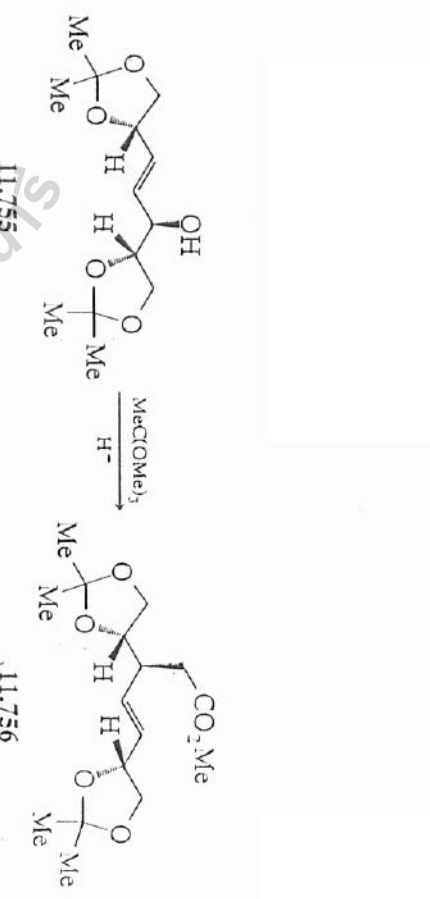
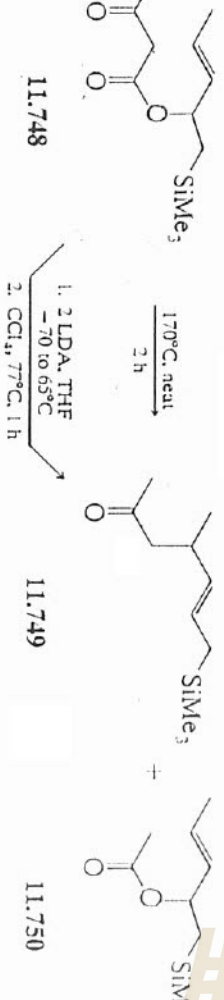
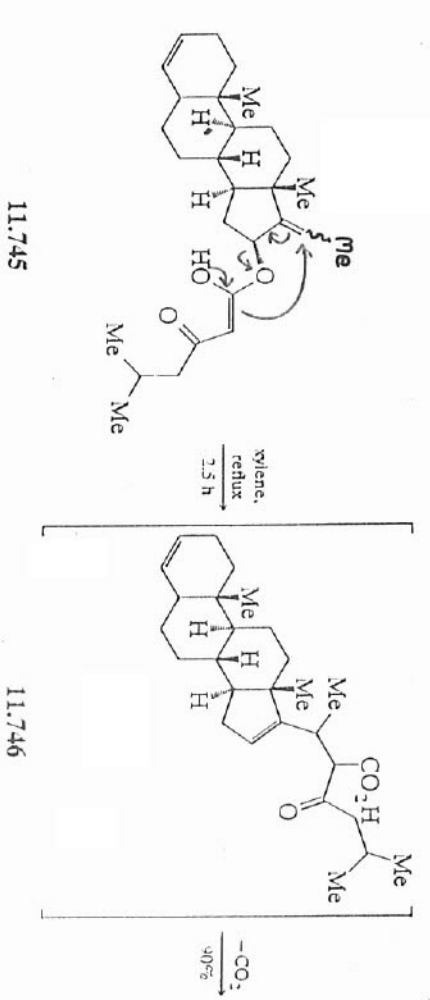


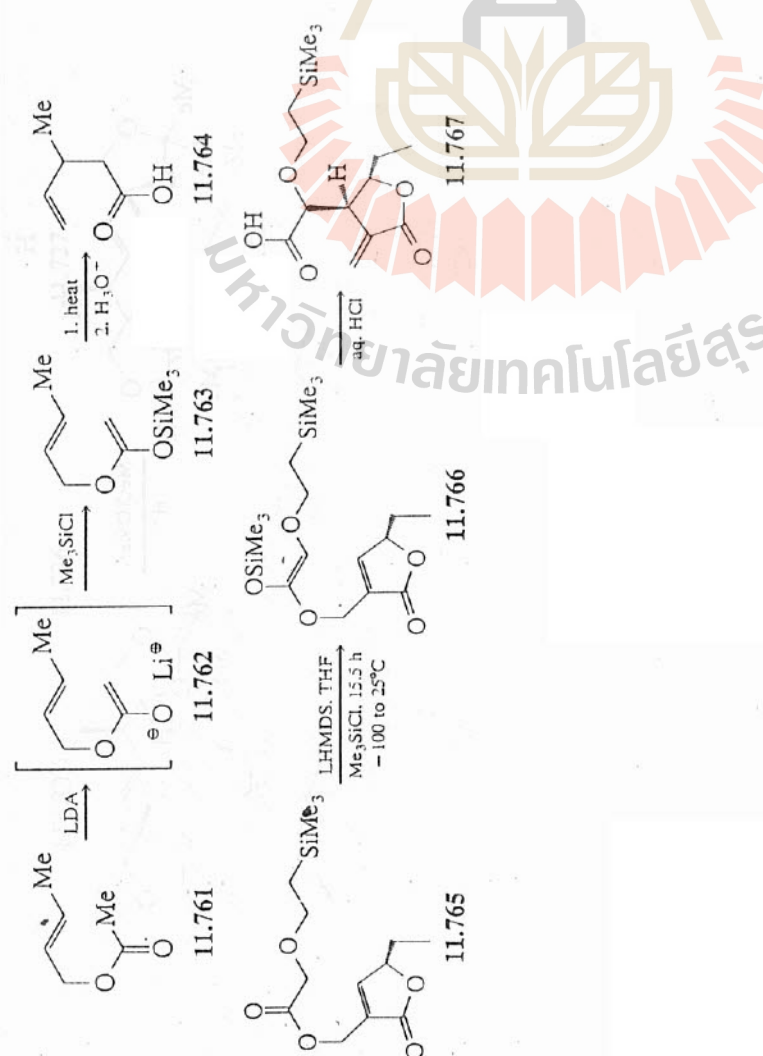
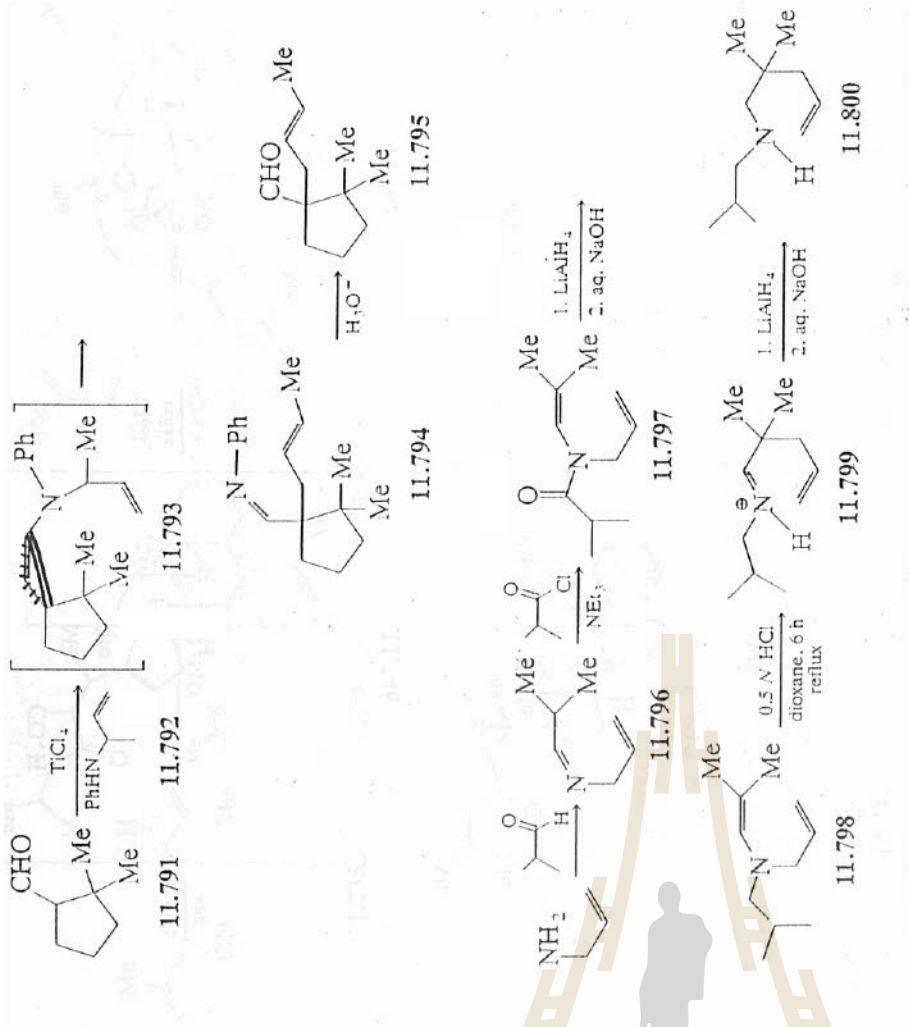
มหาวิทยาลัยเทคโนโลยีสุรนารี



มหาวิทยาลัยเทคโนโลยีสุรนารี







มหาวิทยาลัยเทคโนโลยีสุรนารี

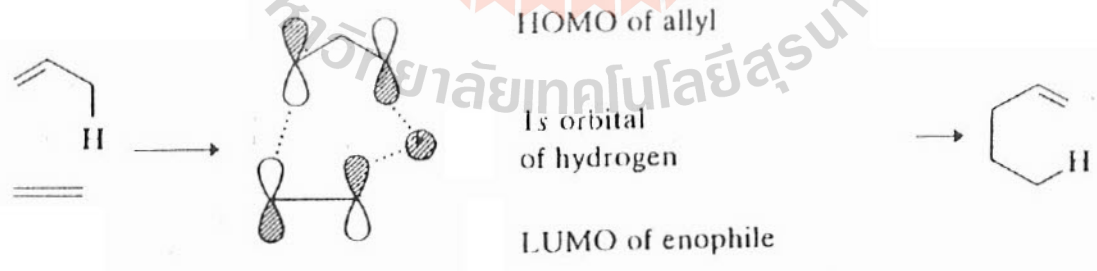
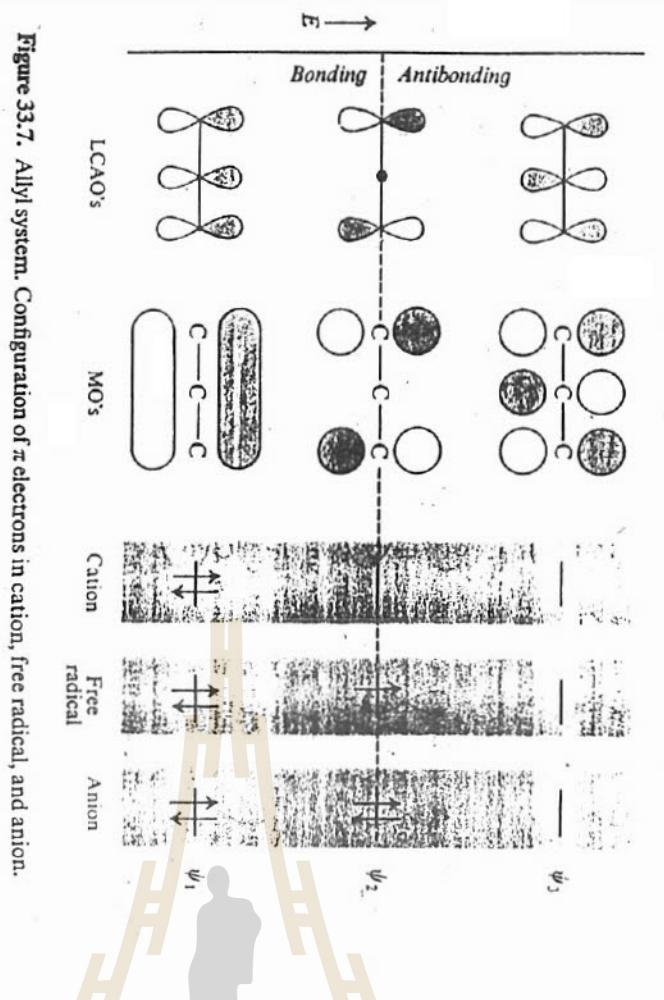
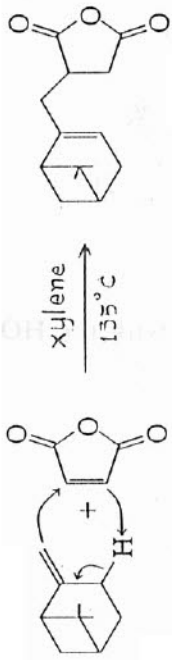
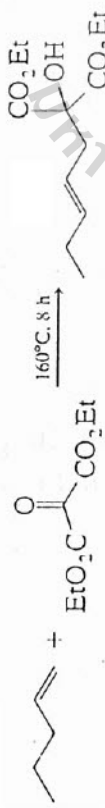


Fig. 6.6: A concerted ene reaction corresponds to the interaction of a hydrogen atom with the HOMO of an allyl radical and the LUMO of the enophile and is allowed.



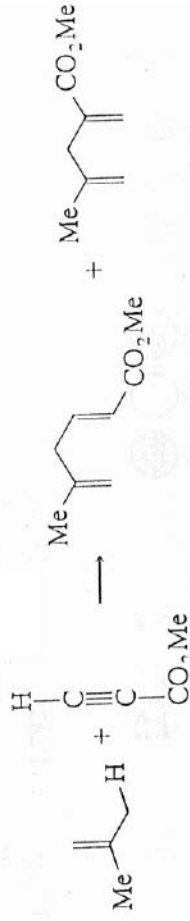
11.810

11.811



11.814

11.815



11.847

11.848

230°C  
AlCl<sub>3</sub>, 25°C

3%

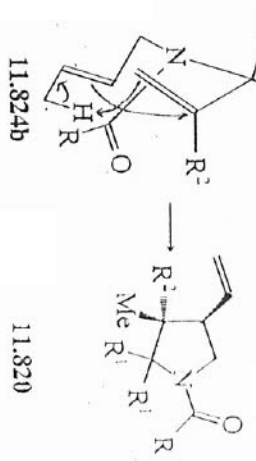
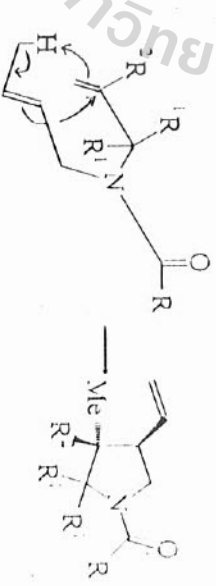
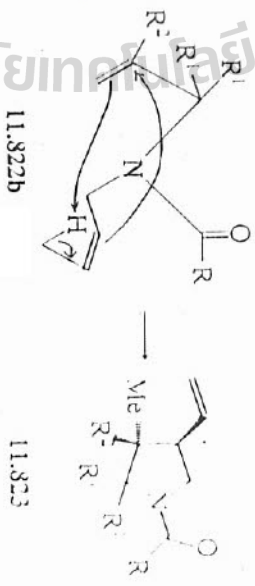
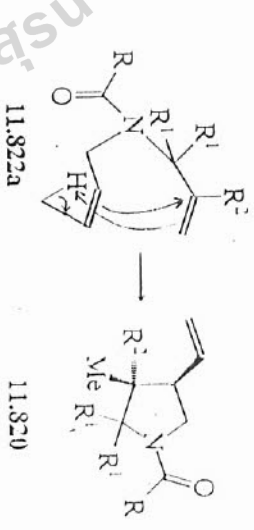
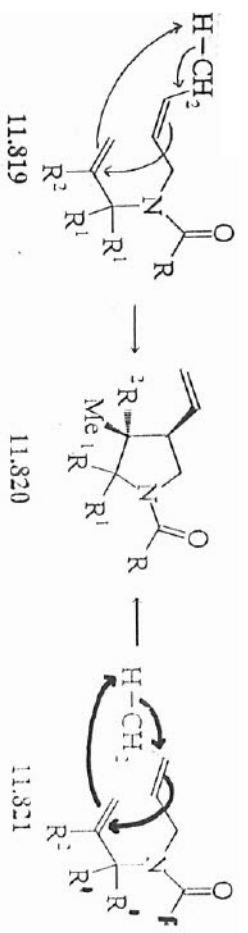
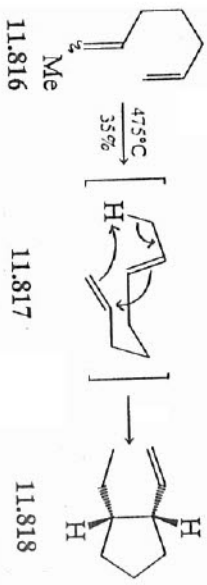
47%

61%

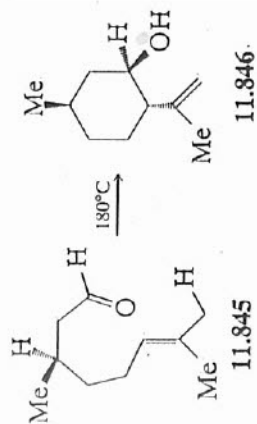
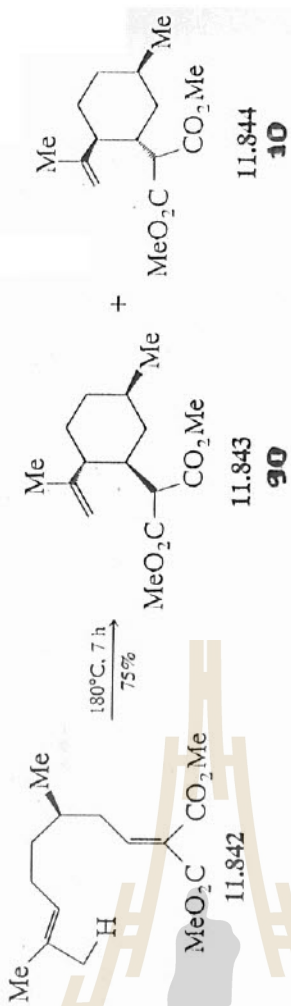
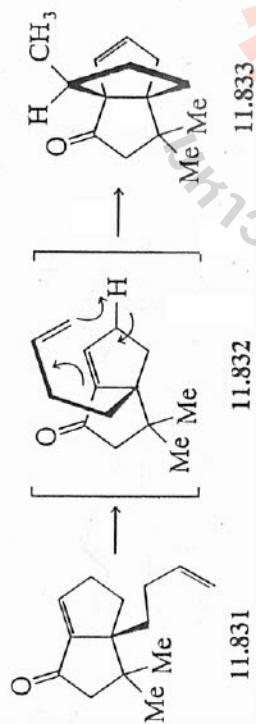
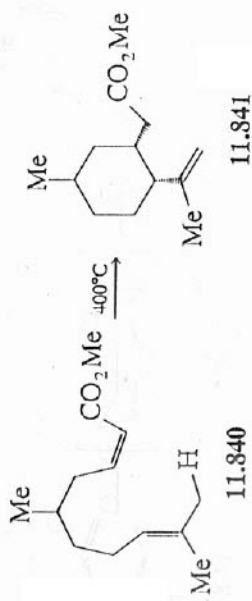
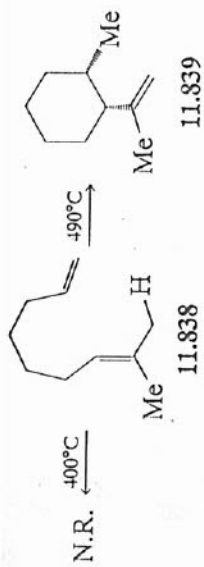
—



มหาวิทยาลัยเทคโนโลยีสุรนารี



มหาวิทยาลัยเทคโนโลยีสุรนารี



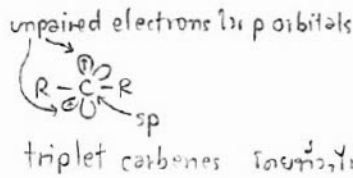
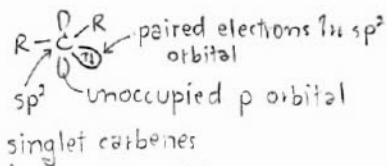
มหาวิทยาลัยเทคโนโลยีสุรนารี

Reactions involving highly reactive electron-deficient intermediates

1. Reactions ที่เกี่ยวข้องกับ carbenes

1.1 Structure and reactivity of carbenes

carbenes = neutral, divalent derivatives of carbon ความเป็น singlet หรือ triplet species ขึ้นกับ spin ของ nonbonding electrons



⇒ 2 geometries และ reactivities ต่างกัน

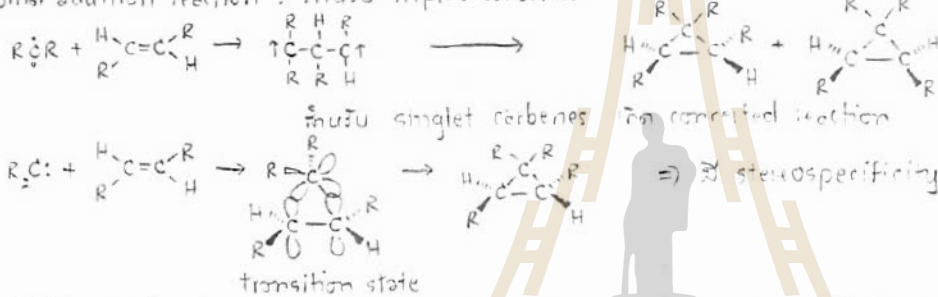
เปรียบเทียบความเสถียร relative energy ของ singlet และ triplet states โดยทั่วไป diradical carbenes คือ triplet state เป็น ground state เหมือน CH2 แต่ก็มีข้อยกเว้นกรณีที่มันเป็น e-pair donor มาก singlet state = ground state เหมือน singlet carbenes ที่มาพร้อมกับ e-pair อยู่ใน p orbital ที่จับคู่กันอยู่



เหมือน carbenes reactive มาก ในกรณีที่มีพันธะสามารถคิดจนได้ว่ามี five carbenes เกิดขึ้นจริงใน 3 มิติที่ carbenoids (= carbene-like intermediates) แทน เช่น อนุกรมของ  $R_2C^+ \begin{matrix} X \\ \ominus \end{matrix}$ ,  $R_2C^- \begin{matrix} X \\ \oplus \end{matrix}$  เมื่อเกิดขบวนการ transfer disubstituted carbon fragment reactivity คือขบวนการ addition reaction ของ carbenes และ alkenes ให้ product เป็น cyclopropane derivatives

Triplet carbenes = diradicals ⇒ มี radical character  
singlet carbenes มี p orbital ว่าง ⇒ โดยทั่วไป มี electrophilic character

เมื่อเกิด addition reaction : ขึ้นกับ triplet carbenes



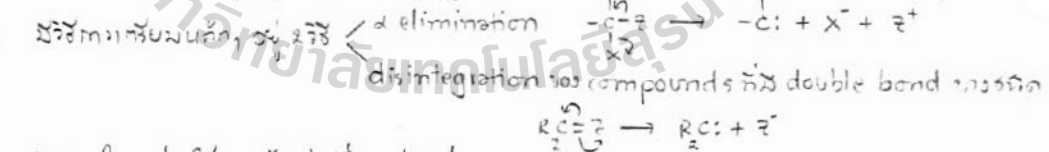
โดยทั่วไป rate ของ spin inversion จะขึ้นกับ rate ของ rotation ของ single bonds (จะได้ mixtures ของ 2 stereoisomers ⇒ ไม่มี stereospecificity)

ดูใน Table 10.1 ใน slide นี้ จะเห็นว่า singlet dibromocarbene มี reactivity สูงกว่า electrophilic (epoxidation) มากกว่า radical ( $\cdot CCl_2$ )

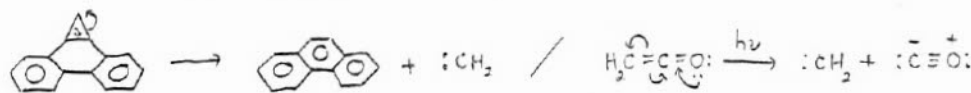
reactivity ของ singlet carbenes ขึ้นกับขนาดที่ สามารถรับ electron

1. nucleophilic เมื่อมีพันธะที่ว่าง, e-pair donor มาก เช่น  $CH_3OOCCH_3$ ,  $CH_3OOCN(CH_3)_2$  ไม่ทนต่อ ตัวออก  $CH_3-O-C-O-CH_3 \leftarrow CH_3-O-C=O-CH_3 \leftarrow CH_3-O-C=O^+-CH_3$
2. ambiphilic เช่น  $CH_3OCCl$ ,  $CH_3OCF_3$
3. electrophilic เช่น  $CCl_2$ ,  $PhOCCl$ ,  $CH_3OCCl$ ,  $BrOCCl_2$

1.2 การเตรียม carbenes



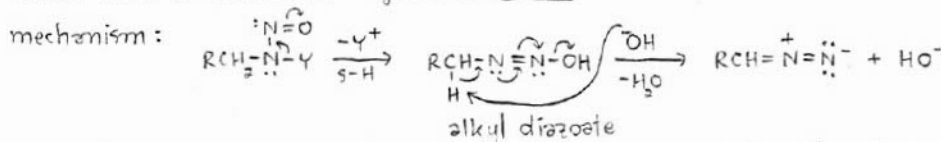
ดูตัวอย่างใน scheme 10.5 ใน slide นี้ ตัวอย่างอื่น ๆ อีก



1.2.1 การเตรียมจาก diazo compounds

1.2.1.1 วิธีที่เสถียรของ diazo compounds

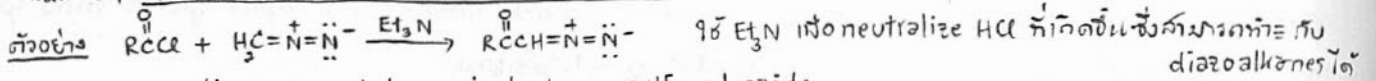
1.2.1.1.1 base-catalyzed decomposition ของ N-nitroso derivatives หรือ amides หรือ sulfonamides ได้กับขบวนการ lower diazoalkanes ดูตัวอย่างใน slide นี้



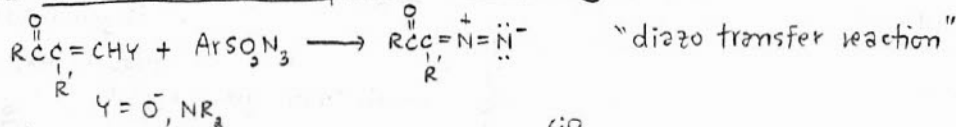
1.2.1.1.2 oxidation ของ corresponding hydrazones ง่ายกว่าการเตรียม diazo compounds ที่มี aromatic ring เป็นหมู่แทนที่บนหมู่หนึ่ง ตัวอย่าง  $Ph_2C=NNH_2 \xrightarrow{H_2O} Ph_2C=N=N^+$

1.2.1.1.3 Reaction of diazoalkanes & diazo ketones

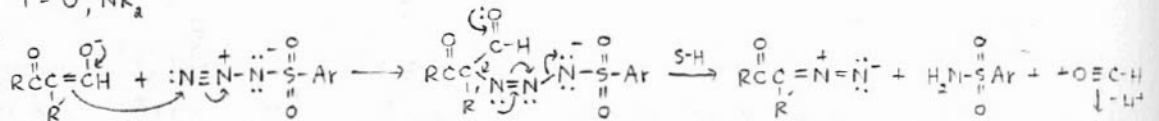
1.2.1.1.3.1 Reaction of diazoalkane and acid chloride



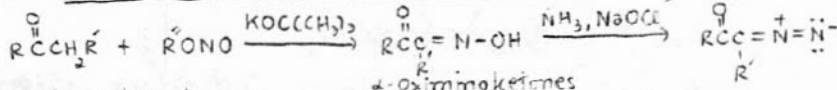
1.2.1.1.3.2 Reaction of enolate equivalent and sulfonyl azide



mechanism:



1.2.1.1.3.3 Reaction of Oximinoketone and chloramine



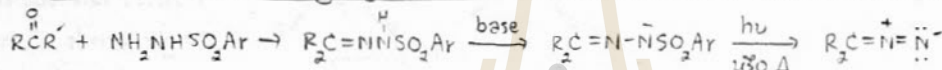
1.2.1.1.4 Reaction of diazimes

1.2.1.2 decomposition of diazo compounds driving force = ผลิต  $N_2(g)$

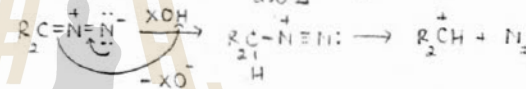
1.2.1.2.1 diazoalkanes

ถ้าใช้ direct photolysis จะให้ singlet carbenes เมื่อ dissociation ของ excited diazoalkanes เกิดจาก intersystem crossing จาก singlet state  $\rightarrow$  triplet state ถ้าใช้ photosensitized decomposition จะให้ triplet carbenes ถ้าใช้ transition metal-catalyzed reactions โดยทั่วไปจะให้ carbenoid intermediates

1.2.1.2.2 salts of arenesulfonylhydrazones จะให้ diazoalkanes เป็น intermediate ก่อนจะแตกด้วย decomposition



ถ้าใช้ protic solvents จะให้ carbocation



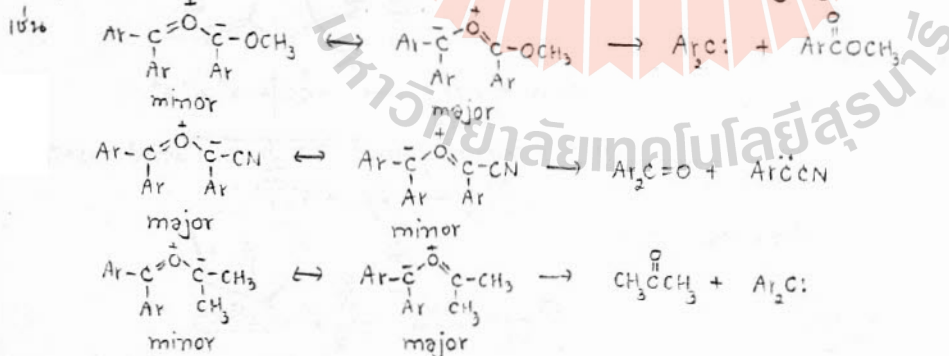
ถ้าใช้ aprotic solvents จะให้ carbene

1.2.1.2.3 diazimes มี strain ทำให้ reactive มาก

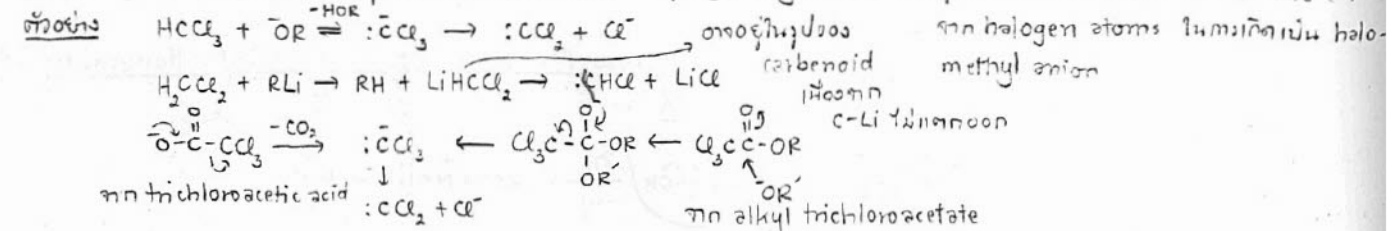
1.2.2 การแตกตัวของ epoxides photodecomposition จะให้ carbonyl ylides โดยที่  $\alpha$  กับ  $\beta$  จะต่างกัน



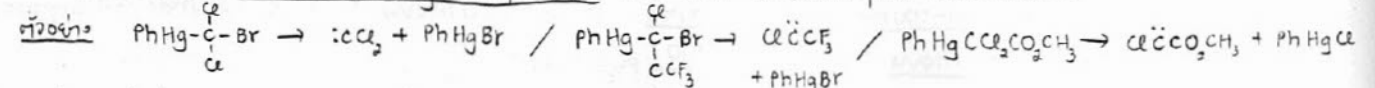
สำหรับ unsymmetrical epoxides จะมีแนวโน้มที่จะให้ carbonyl compound เป็น favor มากกว่า carbonyl compound อีกตัวหนึ่ง ขึ้นกับ resonance structure ของ carbonyl glide ใดจะเป็น principal contributor



1.2.3 การแตกตัวของ halides โดยเกิด  $\alpha$  elimination ของ HX เมื่อ treat ด้วย base ให้ได้ carbenes กับ halides ที่ไม่มี  $\beta$  hydrogens เมื่อจะเกิด  $\beta$  elimination แทน  $\ominus$  polyhalogenated compounds เมื่อเกิดด้วย inductive effect



1.2.4 การแตกตัวของ  $\alpha$ -halo mercury compounds เมื่อ heat จะ decompose ให้ carbenes



ปฏิกิริยา  $\alpha$ -halo mercury compounds จาก addition reaction ระหว่าง alkenes กับ phenylmercuric halides

1.3 Addition reactions involving carbenes and alkenes - ใน cyclopropane derivatives เป็น product

≡ ของ free carbenes เป็น exothermic อย่างมาก. เนื่องจากมี 2 bonds ในโมเลกุลใหม่ ในขณะที่มีเพียง 1 alkene π bond ที่แตกออก ≡ จึงเกิดได้เร็วมาก (มี E<sub>a</sub> ต่ำ) โดยทั่วไป slow step = carbene generation step

ดูตัวอย่างการเกิด cyclopropane derivatives โดย carbeneoid addition ใน Scheme 10.6 ในหน้าถัดไป

1.3.1 Cyclopropanes โดย methylene transfer

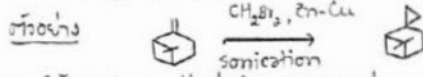
1.3.1.1 ใช้ Simmons-Smith reagent (CH<sub>2</sub>I<sub>2</sub> + Zn-Cu)

reactive species = ICH<sub>2</sub>ZnI (iodomethylzinc iodide) ซึ่งอยู่ในสมดุลกับ (ICH<sub>2</sub>)<sub>2</sub>Zn (bis(iodomethyl)zinc)

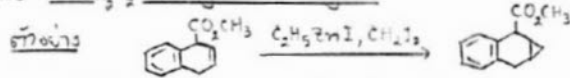


intermediate ทั่วไป free :CH<sub>2</sub> ms transfer จะมี stereospecificity เช่น ถ้าใน alkene มี OH group CH<sub>2</sub> จะเพิ่ม syn กับ OH group เนื่องจาก reagent เกิด complex กับ OH group ดังตัวอย่างที่ 2 ใน Scheme 10.6

1.3.1.2 ใช้ CH<sub>2</sub>Br<sub>2</sub> + Zn-Cu promote reaction ที่ช่วยโดยวิธี sonication (irradiation โดย ultrasound)



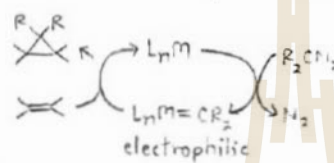
1.3.1.3 ใช้ CH<sub>2</sub>I<sub>2</sub> + allylic reagent



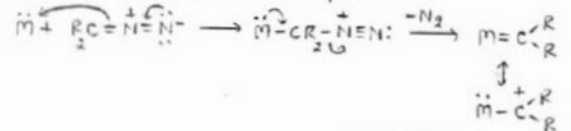
1.3.2 Catalytic cyclopropanation โดย diazo compounds และ metal salts

ใช้โมเลกุล substituted cyclopropanes โดยทั่วไป copper, rhodium, palladium และ molybdenum salts

Catalytic cycle หลักดังนี้:

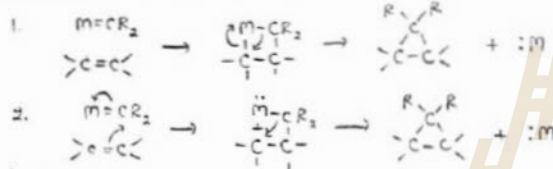


ms เติมนิว metal-carbene complexes



metal-stabilized carbocations

Mechanism: เป็นไปปกติ 2 แบบ



โดยทั่วไป addition reactions จะมี stereospecificity ที่เกิดมาจากระบบ π product จะขึ้นกับทิศทาง single bond rotations ดูตัวอย่างของ transition metal-catalyzed carbene addition reactions ใน Scheme 10.6 (E ที่ 5-9)

1.3.3 Cyclopropane formation โดยใช้ haloalkylmercury compounds ดูที่ 9, 10 ใน Scheme 10.6 โดยปกติ 3.13 react

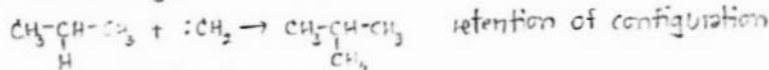
1.3.4 Reactions ของ carbenes ที่เกิดจาก α-elimination ดูที่ 11-14 ใน Scheme 10.6

1.3.5 Intramolecular addition reactions ใช้กับ strained ring compounds ซึ่งจะมีโมเลกุลที่มี strain carbenes หรือ carbeneoids เป็น species ที่ reactive มาก ดูที่ 15, 16 ใน Scheme 10.6

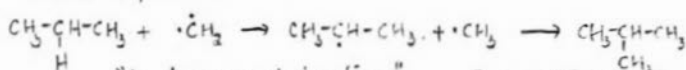
1.3.6 Reactions กับ aromatic compounds ดูตัวอย่าง ในหน้าถัดไป product ที่ได้จาก thermal equilibrium กับ cycloheptatriene derivative สามารถอยู่ใน equilibrium กับโมเลกุลที่มี substituted bicyclic ring หรือ substituted indenyl alkyl group equilibrium ดังตัวอย่างของ cycloheptatriene แต่ที่โมเลกุลที่มี 5 withdrawing group เช่น CN, CF<sub>3</sub> equilibrium จะเลื่อนไปทาง bicyclic ring

1.4 Insertion reactions โดยทั่วไปเกิดที่ C-H bond 1.4.1 Intermolecular insertion reactions

ตัวอย่าง สำหรับ singlet carbenes



สำหรับ triplet carbenes



"hydrogen abstraction" "recombination" stereochemistry ขึ้นกับ recombination rate

selectivity: ถ้า เนื่องจาก carbenes reactive มาก ดังตัวอย่างในหน้าถัดไป ทำให้ intermolecular insertion reactions ทั่วไปจะเป็นประโยชน์ต่อการศึกษา

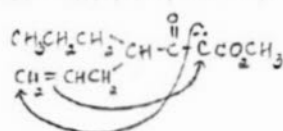
1.4.2 Intramolecular insertion reactions จะเกิดที่ C-H bond ของโมเลกุล carbene มากที่สุด และ 5-membered ring จะเกิดได้

กับ 6-membered ring products ที่ได้ จะเป็น strained ring compounds ซึ่งจะมีประโยชน์ต่อการศึกษา ดังตัวอย่าง

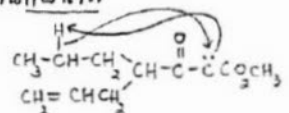
ใน Scheme 10.7 ในหน้าถัดไป catalyst ที่นิยมมีกับ α-diazo ketones และ α-diazo esters = Rh(OAc)<sub>4</sub>

≡ จะเกิดปฏิกิริยา intramolecular insertion คือ intramolecular addition ดังตัวอย่างในหน้าถัดไป

สำหรับ addition product:

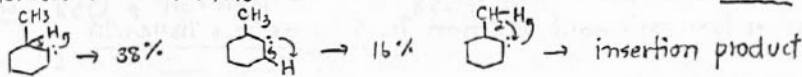


สำหรับ insertion product:



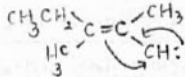
1.5 Rearrangement reactions 9u product เป็น alkenes

1.5.1 migration of hydrogen พบบ่อยมาก เกิดได้ทั้ง intermolecular reactions ส่วนใหญ่ของ aliphatic carbenes และ มักเกิดแข่งกันกับ intramolecular insertion reactions ดังตัวอย่างใน ข้างล่าง

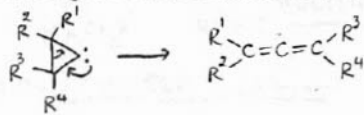


1.5.2 migration of alkyl หรือ aryl groups มักเกิดแข่งกันกับ intramolecular insertion reactions ดังตัวอย่างใน ข้างล่าง ได้ผล 50% เกิดจาก phenyl migration, 9% เกิดจาก methyl migration, 41% เกิดจาก insertion

1.5.3 Rearrangement of vinylcarbenes มักจะให้ product เป็น cyclopropenes ดังตัวอย่างใน ข้างล่าง ด้วย

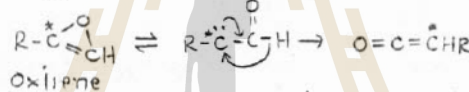
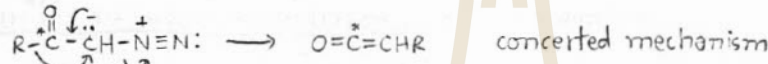


1.5.4 rearrangement of cyclopropylidenes เกิด ring opening ใน product เป็น allenes ดังตัวอย่างใน ข้างล่าง ด้วย



1.6 Nolff rearrangement = rearrangement ของ  $\alpha$ -diazoketones เป็น concerted process จึงไม่มี carbene หรือ carbenoid intermediates เกิดขึ้น 9u product เป็น ketenes  $\hookrightarrow$  migration เกิด concerted กับ elimination พบว่า carbene mechanism จะเกิดภายใต้ photochemical condition แต่ concerted mechanism จะเกิดภายใต้ thermal condition พิสูจน์ได้โดยใช้ isotopic labeling experiment

ตัวอย่าง

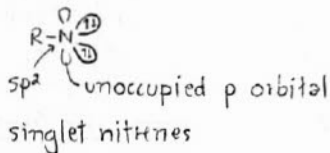


ปฏิกิริยาของ Oxirane จะขึ้นกับโครงสร้างของ diazo compound เช่น สำหรับ diazoacetaldehyde photolysis ทำให้เกิด migration ของ label = 8% แสดงว่าเกิด Oxirane = 16% (ดู ข้างล่าง) สำหรับ  $\alpha$ -diazocyclohexanone ไม่เกิด Oxirane เกิดขึ้นเลย เนื่องจากไม่เกิด migration ของ label (ดู ข้างล่าง)

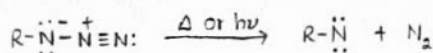
ดูตัวอย่าง Nolff rearrangement พิสูจน์ว่าเกิด concerted ใน Scheme 10.3 ข้างล่าง เมื่อเกิด rearrangement จะให้ product เป็น ketenes ถ้ามี nucleophilic solvent อยู่ด้วย ketenes จะถูก trapped ถ้าใช้  $\text{H}_2\text{O}$  เป็น solvent จะให้ product เป็น carboxylic acid ถ้าใช้ alcohols เป็น solvent จะให้ product เป็น esters สำหรับ  $\text{Ag}_2\text{O}$  มีหน้าที่เป็น catalyst เพื่อ promote rearrangement โดยไม่ผ่าน carbene intermediates

2. Reactions ที่เกี่ยวข้องกับ nitrenes 2.1 Structure ของ nitrenes

nitrenes = neutral, monovalent derivatives ของ nitrogen อาจเป็น singlet หรือ triplet species ขึ้นกับ spin ของ nonbonding electrons

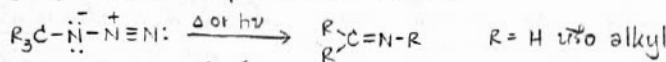


2.2 การเตรียม nitrenes วิธีที่พบบ่อยคือ thermolysis หรือ photolysis ของ azides



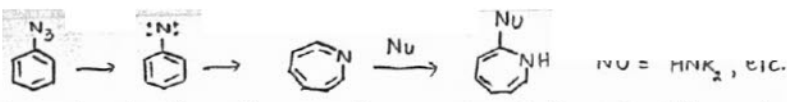
azides ที่ใช้ทั่วไปคือ alkyl, aryl, sulfonyl derivatives 2.3 Addition และ insertion reactions

2.3.1 alkylnitrenes เกิด insertion และ addition reactions บ่อยมาก มักเกิด rearrangement โดยเกิด migration ของ alkyl group ไปยัง N 9u product เป็น imines

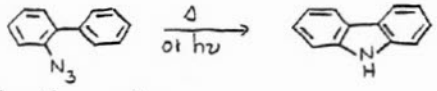


อาจเกิดผ่าน nitrene intermediates หรือเป็น concerted mechanism เช่นเดียวกับ Nolff rearrangement

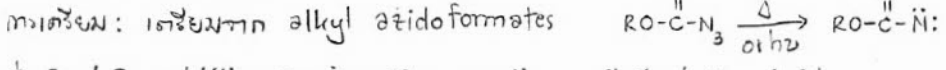
2.3.2 arylnitrenes เกิด rearrangement มากกว่า insertion หรือ addition reactions



ส่วน intramolecular insertion reactions มักจะเกิดใน aromatic systems เช่น



2.3.3 carboalkoxynitrenes

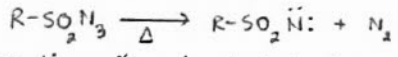


ส่วนเป็นเหตุเกิด addition และ insertion reactions ดังตัวอย่างใน แผนผังที่

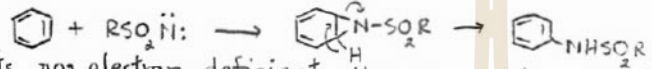
พบว่า insertion reactions มี selectivity มากกว่า carbenes โดย insertion ที่ C-H bond ที่ค่า  $3^\circ > 2^\circ > 1^\circ$

2.3.4 sulfonylnitrenes

มาเตรียม: เตรียมจาก thermal decomposition ของ sulfonyl azides



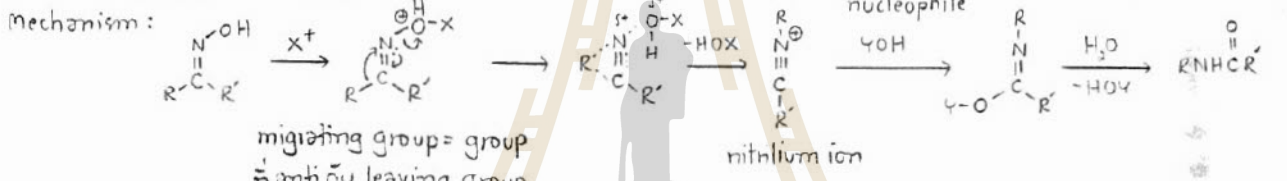
จะเกิด insertion reactions กับ saturated hydrocarbons และกับ aromatic rings เพื่อทำ insertion products ที่เกิดจาก addition reactions ตามด้วย rearrangement เช่น



2.4 Rearrangements ของ electron-deficient nitrenes

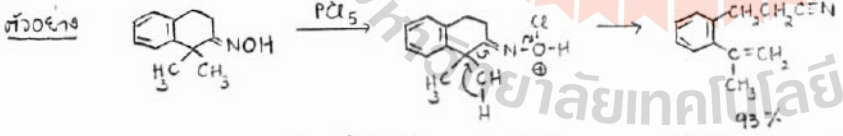
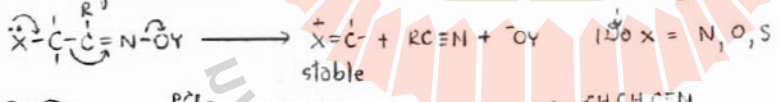
Scheme 10.9 ในหนังสือ

2.4.1 Beckmann rearrangement



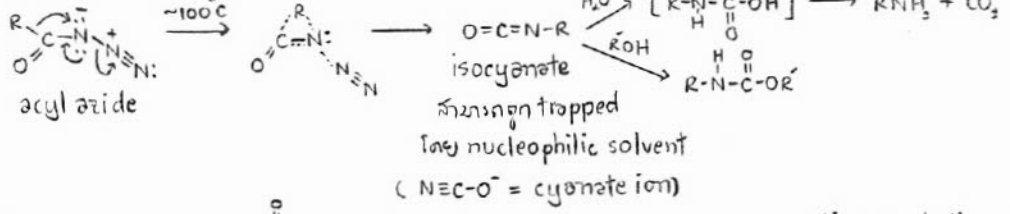
migrating group = group ที่อยู่กับ leaving group  
 เป็น concerted process migrating group มี retention of configuration แต่ในกรณีที่มี syn-anti isomerization ด้วย rate > rearrangement rate จะได้ mixture ของ products reagents ที่ทำใน isomerization เกิดน้อยที่สุด ได้แก่  $\text{PCl}_5, \text{TsCl}$

ในกรณีที่ oxime อนุพันธ์แทนที่ด้วย stabilize carbocation จะเกิด fragmentation reaction

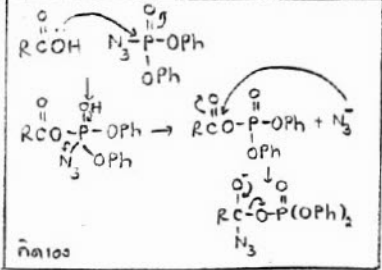


2.4.2 Curtius rearrangement

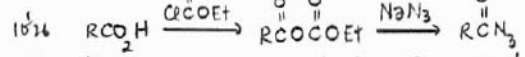
ถือว่าเป็น concerted process ไม่เกิดผ่าน acylnitrene intermediates (คล้ายกับ Wolff rearrangement ที่ไม่เกิดผ่าน acylcarbene intermediates) โดย migrating group จะ retention of configuration



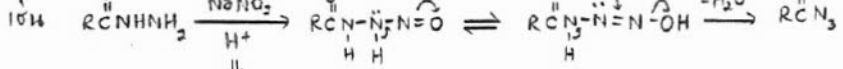
วิธีเตรียม acyl azide  $\text{R-C(=O)-N}_3$



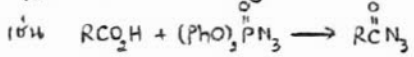
1. ปฏิกิริยาระหว่าง sodium azide และ reactive acylating agent



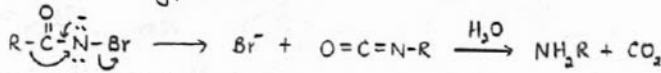
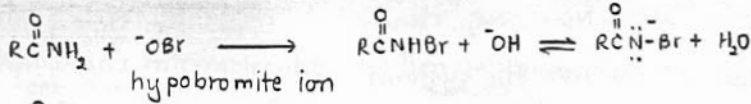
2. diazotization ของ acid hydrazide (เท่ากับใน scheme 10.9 ขึ้นที่ 1 เป็นกรณีของ acid hydrazide)



3. ปฏิกิริยาระหว่าง carboxylic acid และ diphenylphosphoryl azide

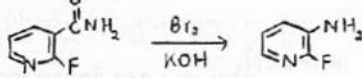


2.4.3 Hofmann rearrangement จาก amide เป็น amine โดย  $\text{CO}_2$  และ  $\text{CO}$

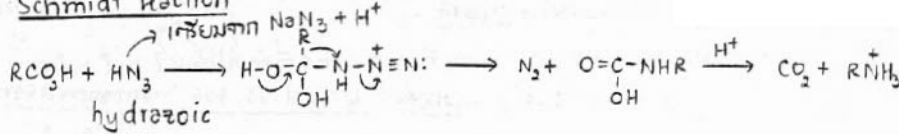


ใช้ทำเป็น concerted process

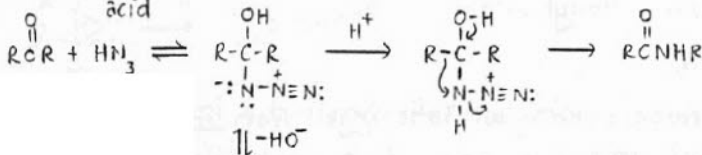
ตัวอย่าง



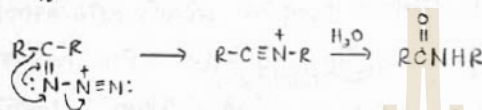
2.4.4 Schmidt reaction



migrating group & retention of configuration



ถ้าเป็น unsymmetrical ketones จะใน mixture ของ products เนื่องจากทั้ง 2 groups สามารถ migrate ได้



3. Reactions ที่เกี่ยวข้องกับ free-radical intermediates

radical intermediates & lifetime ก็สั้นมาก  $\Rightarrow$  จะมีความ selectivity และผลผลิตจากทุก step ใน chain reaction เกิดเร็ว ซึ่งได้ทั้ง step ที่เป็น exothermic หรือเป็น endothermic เกิดน้อย

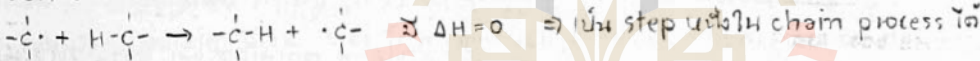
ตัวอย่าง addition ของ radical ที่ carbon-carbon double bond



addition ของ radical ที่ carbonyl group



abstraction ของ H จาก C



abstraction ของ H จาก O



3.1 ประเภทของ radical intermediates

3.1.5 Reaction ของ thiono esters หรือ xanthates กับ stannyl radicals ดูใน slide นี้

3.1.1 Reaction ของ halides กับ stannyl radicals ดังแสดงใน slide นี้

Reactivity ของ R-X :  $\text{R-I} > \text{R-Br} > \text{R-Cl}$

3.1.2 Reaction ของ ester ของ N-hydroxyphthalimide กับ chain-carrier radical ดังแสดงใน slide นี้

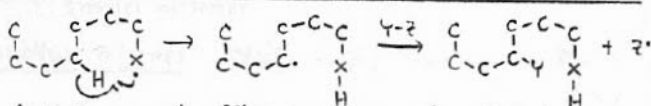
X: ทั่วไป  $\text{R}_3\text{Sn} \cdot$  (จาก  $\text{R}_3\text{SnH}$ ),  $\text{Cl}_3\text{C} \cdot$  (จาก  $\text{CCl}_4$ )

3.1.3 Reaction ของ acyl selenides กับ stannyl radicals ดังแสดงใน slide นี้ acyl radicals ที่เกิดขึ้นอาจถูก reduced หรือเกิด decarbonylation ก็ได้

3.1.4 Reductive decomposition ของ alkylmercury compounds ดังแสดงใน slide นี้ และดูวิธีการเตรียม alkylmercury compounds ใน slide นี้

3.2 Intramolecular functionalization โดย radical reactions

มักเกิด hydrogen atom abstraction ผ่าน six-membered cyclic transition state



ตัวอย่าง Hofmann-Loeffler reaction เป็น photolytically initiated decomposition ของ N-chloroamines ใน acidic solution ดูใน slide นี้ N-chloroamines ที่วัดจะถูกเปลี่ยนไปเป็น pyrrolidines โดย intramolecular nucleophilic substitution

3.3 Addition reactions ของ radicals กับ substituted alkenes

ดู Figure 10.2 ใน slide นี้ ซึ่งแสดงผลของหมู่แทนที่บน radicals

ที่แสดง character ของ radicals

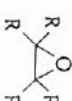
↳ nucleophilic vs electrophilic  $\rightarrow$  เกิดได้ดีกับ electron-rich alkenes

↳ เกิดได้ดีกับ electron-deficient alkenes

ดู Figure 10.3 ใน slide นี้ ซึ่งแสดง chain mechanism ของ radical addition reactions ใน propagation cycle ประกอบด้วย



Scheme 10.5. General Methods for Generation of Carbenes

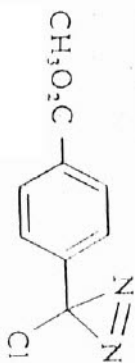
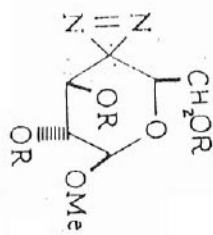
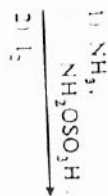
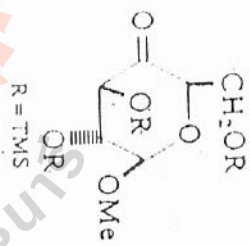
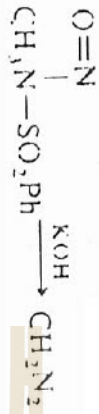
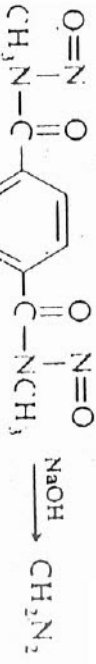
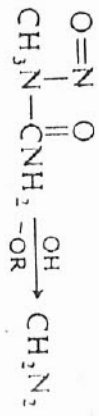
Precursor	Condition	Products
1 <sup>a</sup> R <sub>2</sub> C=N=N- Diazoalkanes	Photolysis, thermolysis, or metal-ion catalysis	R <sub>2</sub> C: + N <sub>2</sub>
2 <sup>b</sup> R <sub>2</sub> C=N-N <sub>2</sub> O <sub>2</sub> Ar Salts of sulfonylhydrazones	Photolysis or thermolysis; diazoalkanes are intermediates	R <sub>2</sub> C: + N <sub>2</sub> + ArSO <sub>2</sub> -
3 <sup>c</sup>  Diazirines	Photolysis	R <sub>2</sub> C: + N <sub>2</sub>
4 <sup>d</sup>  Epoxides	Photolysis	R <sub>2</sub> C: + R <sub>2</sub> C=O
5 <sup>e</sup> R <sub>2</sub> CH-X Halides	Strong base or organometallic compounds	R <sub>2</sub> C: + BH + X <sup>-</sup>
6 <sup>f</sup> R <sub>2</sub> CHgR' X α-Halomercury compounds	Thermolysis	R <sub>2</sub> C: + R'HgX

- a. W. J. Baron, M. R. DeCamp, M. E. Hendrick, M. Jones, Jr., R. H. Levin, and M. B. Sohn, in *Carbenes*, M. Jones, Jr., and R. A. Moss (eds.), Wiley, New York, 1973, pp. 1-151.  
 b. W. R. Bamford and T. S. Stevens, *J. Chem. Soc.*, 4735 (1952).  
 c. H. M. Frey, *Adv. Photochem.* 4, 225 (1966); R. A. G. Smith and J. R. Knowles, *J. Chem. Soc., Perkin Trans. 2*, 686 (1975).  
 d. G. W. Griffin and N. R. Bertoniere, in *Carbenes*, M. Jones, Jr., and R. A. Moss (eds.), Wiley, New York, 1973, pp. 318-332.  
 e. W. Kirmse, *Carbene Chemistry*, Academic Press, New York, 1971, pp. 96-109, 129-149.  
 f. D. Seyferth, *Acc. Chem. Res.* 5, 65 (1972).

Table 10.1. Relative Rates of Addition to Alkenes<sup>a</sup>

Alkene	-CCl <sub>3</sub>	:CBr <sub>2</sub>	Br <sub>2</sub>	Epoxidation
Isobutylene	1.00	1.00	1.00	1.00
Styrene	>19	0.4	0.6	0.1
2-Methylbutene	0.17	3.2	1.9	13.5

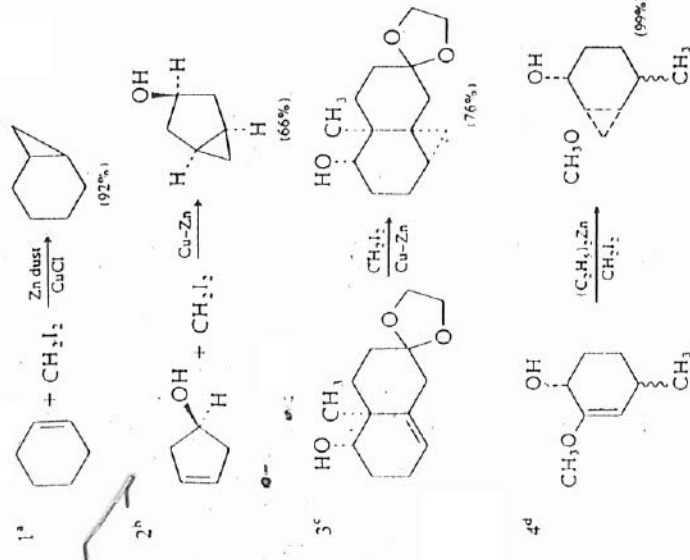
a. P. S. Skell and A. Y. Garner, *J. Am. Chem. Soc.* 78, 5430 (1956).



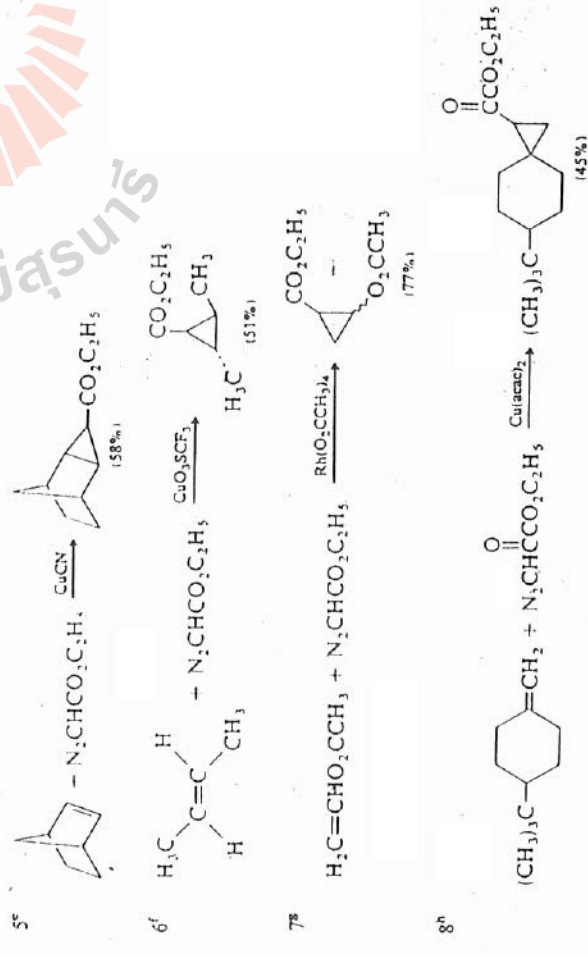
มหาวิทยาลัยเทคโนโลยีสุรนารี

Scheme 10.6. Cyclopropane Formation by Carbenoid Additions

A. Cyclopropanes by Methylene Transfer

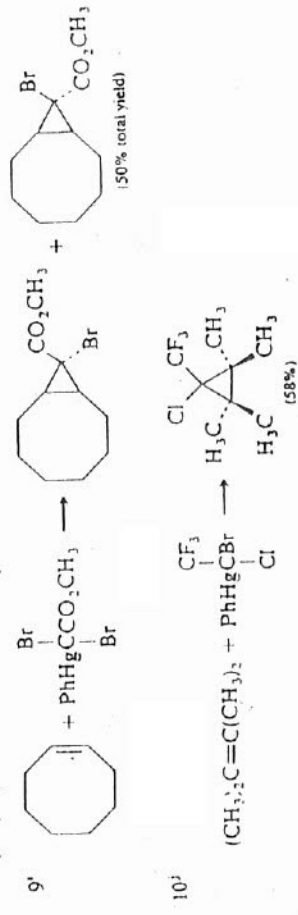


B. Catalytic Cyclopropanation by Diazo Compounds and Metal Salts

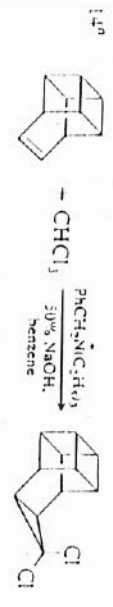
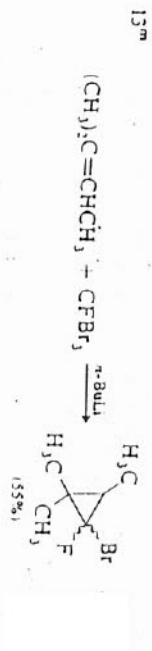
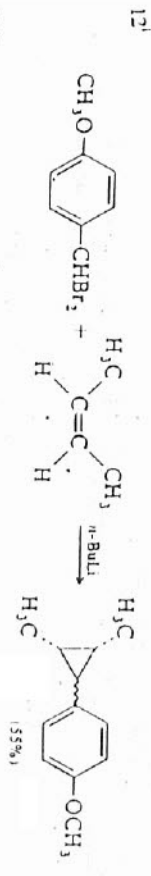
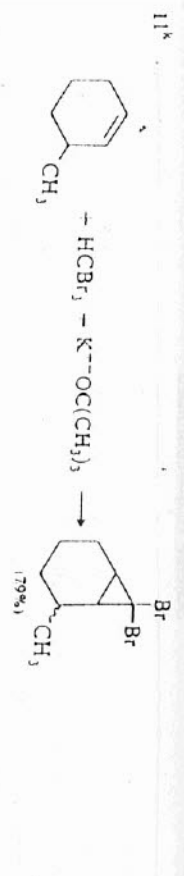


Scheme 10.6—continued

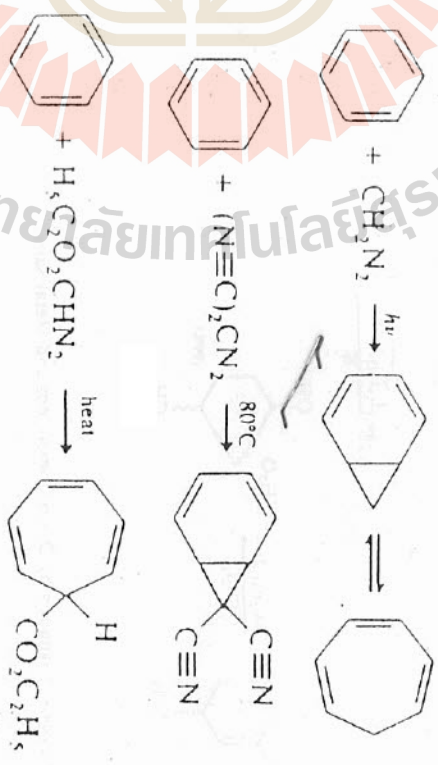
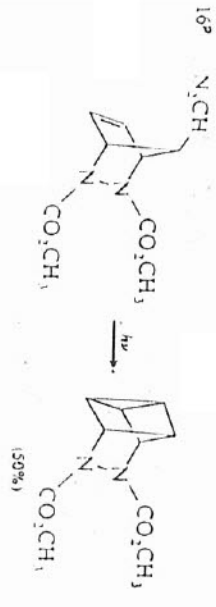
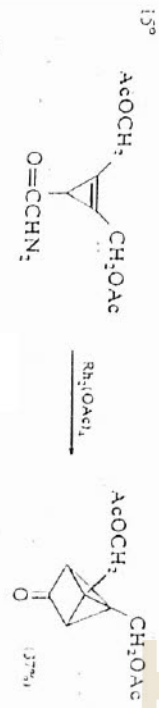
C. Cyclopropane Formation Using Haloalkylmercureals



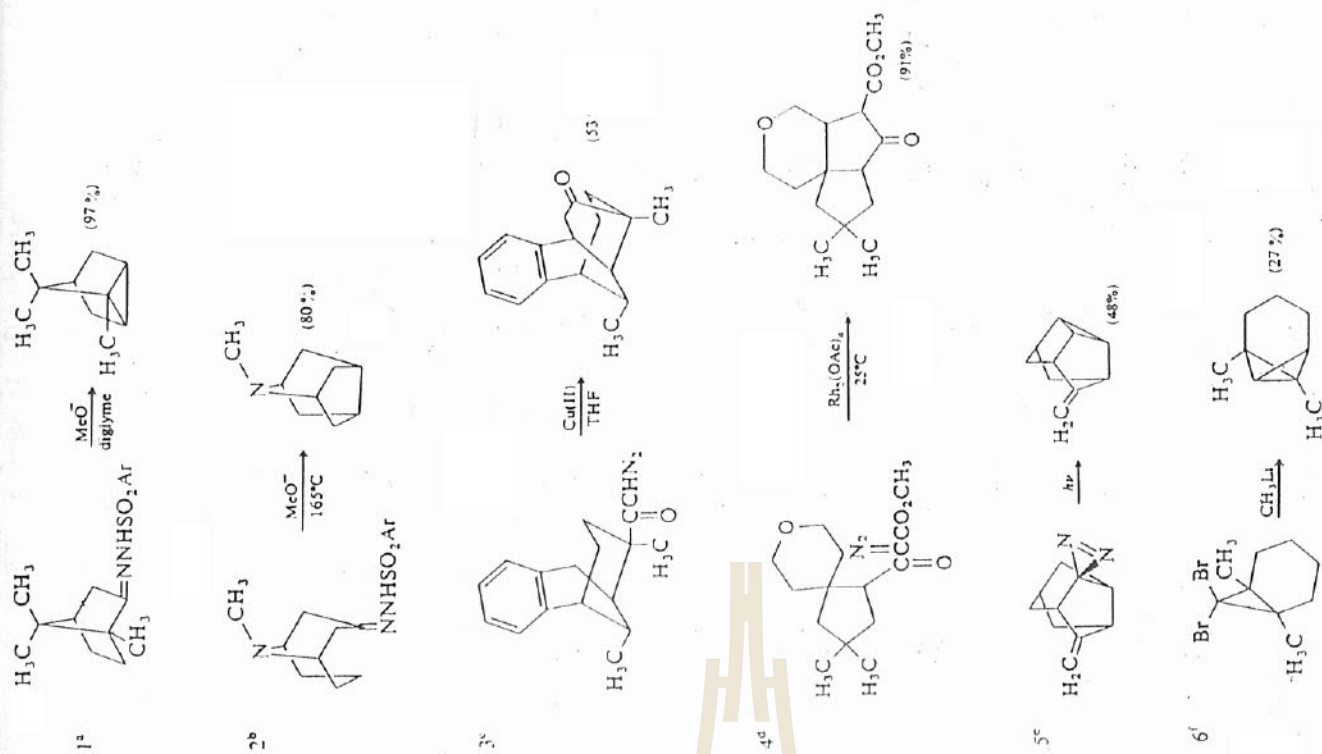
D. Reactions of Carbenes Generated by  $\alpha$  Elimination



E. Intramolecular Addition Reactions



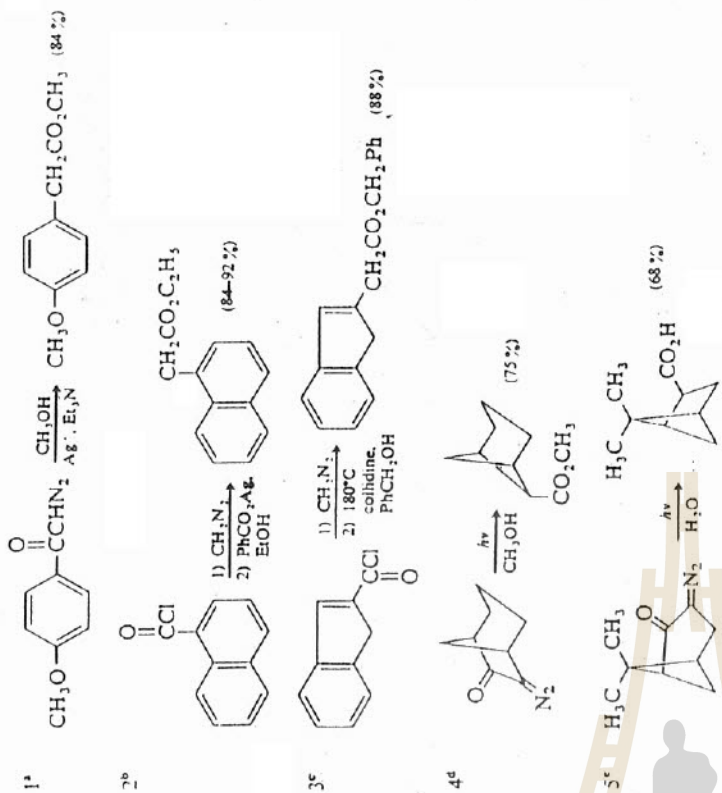
a. R. J. Rawson and I. T. Harrison, *J. Org. Chem.*, **35**, 2057 (1970).  
 b. S. Winstein and J. Sonnenberg, *J. Am. Chem. Soc.*, **83**, 3235 (1961).  
 c. P. A. Greco, T. Oguri, C. L. J. Wang, and E. Williams, *J. Org. Chem.*, **42**, 4113 (1977).  
 d. R. C. Gaddwood, R. M. Letz and J. E. Wissinger, *J. Am. Chem. Soc.*, **108**, 6343 (1986).  
 e. R. R. Sauers and P. E. Sonnett, *Tetrahedron*, **20**, 1029 (1964).  
 f. R. G. Salomon and J. K. Kochi, *J. Am. Chem. Soc.*, **95**, 3300 (1973).  
 g. A. J. Ancary, A. J. Hubert, A. F. Noels, N. Peiniou, and P. Teyssie, *J. Org. Chem.*, **45**, 695 (1980).  
 h. M. E. Alonso, P. Jaro, and M. I. Hernandez, *J. Org. Chem.*, **45**, 5299 (1980).  
 i. D. Seyferth, D. C. Mueller, and R. L. Lambert, Jr., *J. Am. Chem. Soc.*, **91**, 1562 (1969).  
 j. D. Seyferth and D. C. Mueller, *J. Am. Chem. Soc.*, **93**, 5714 (1971).  
 k. L. A. Paquette, S. E. Wilson, R. P. Henzel, and G. R. Allen, Jr., *J. Am. Chem. Soc.*, **86**, 4042 (1964).  
 l. G. L. Closs and R. A. Moss, *J. Am. Chem. Soc.*, **86**, 4042 (1964).  
 m. D. J. Burton and J. L. Hahnfeld, *J. Org. Chem.*, **42**, 828 (1977).  
 n. T. T. Sasaki, K. Kanematsu, and N. Okamura, *J. Org. Chem.*, **40**, 3322 (1975).  
 o. P. Dowd, P. Garner, R. Schappert, H. Ingartinger, and A. Goldman, *J. Org. Chem.*, **47**, 4240 (1982).  
 p. B. M. Trost, R. M. Cory, P. H. Scudder, and H. B. Neubold, *J. Am. Chem. Soc.*, **95**, 7813 (1973).



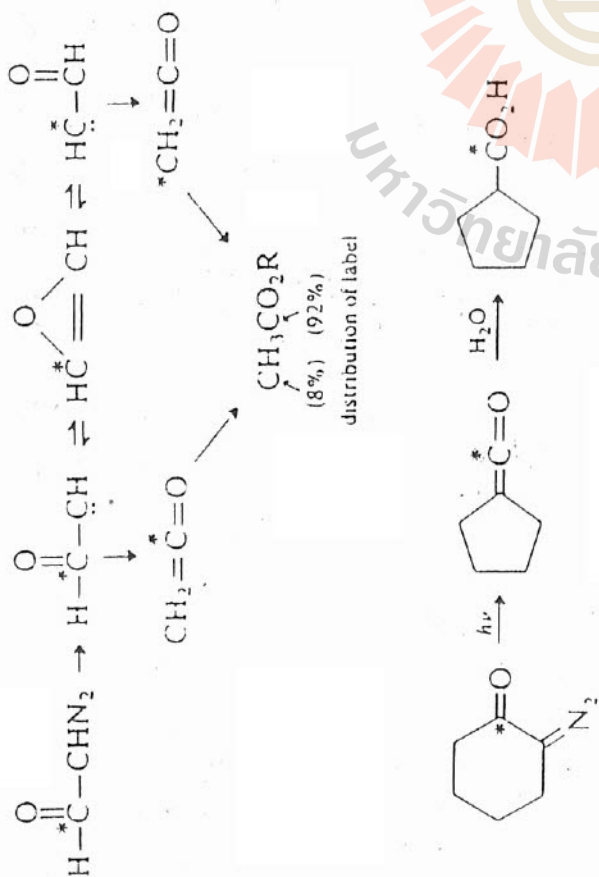
- R. H. Shapiro, J. H. Duncan, and J. C. Clopton, *J. Am. Chem. Soc.* **89**, 1442 (1967).
- T. Sasaki, S. Eguchi, and T. Kiriya, *J. Am. Chem. Soc.* **91**, 212 (1969).
- U. R. Ghatak and S. Chakrabarty, *J. Am. Chem. Soc.* **94**, 4756 (1972).
- D. F. Taber and J. L. Schuchardt, *J. Am. Chem. Soc.* **107**, 5289 (1985).
- Z. Majerski, Z. Harnsak, and R. Sarac-Amert, *J. Org. Chem.* **53**, 5053 (1988).
- L. A. Paquette, S. E. Wilson, R. P. Henzel, and G. R. Allen, Jr., *J. Am. Chem. Soc.* **94**, 7761 (1972).



Scheme 10.8. Wolff Rearrangement of  $\alpha$ -Diazoketones

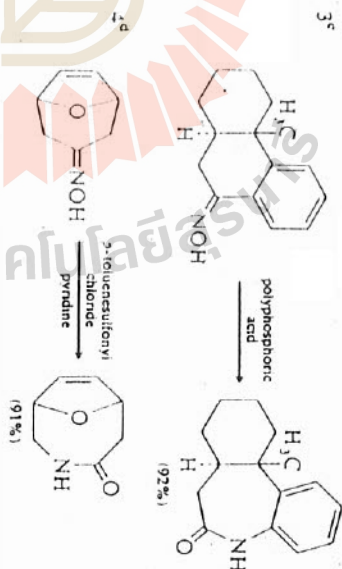
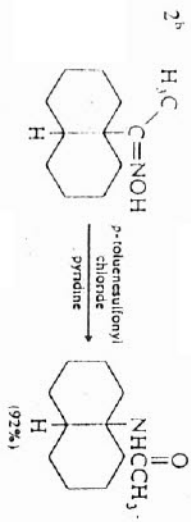
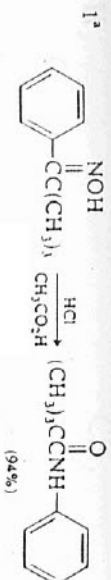


- M. S. Newman and P. F. Beal, III, *J. Am. Chem. Soc.* **72**, 5163 (1956).
- V. Lee and M. S. Newman, *Org. Synth.* **50**, 77 (1970).
- E. D. Bergmann and E. Hoffmann, *J. Org. Chem.* **26**, 3555 (1961).
- K. B. Wiberg and B. A. Hess, Jr., *J. Org. Chem.* **31**, 2250 (1966).
- J. Meinwald and P. G. Gassman, *J. Am. Chem. Soc.* **82**, 2857 (1960).

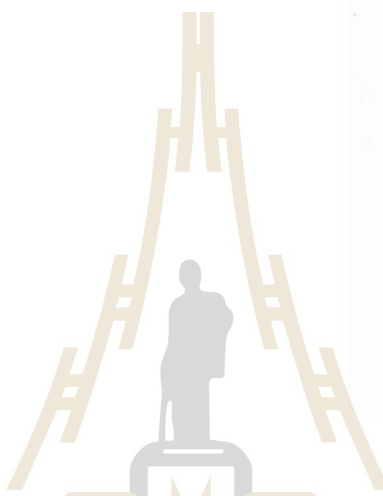
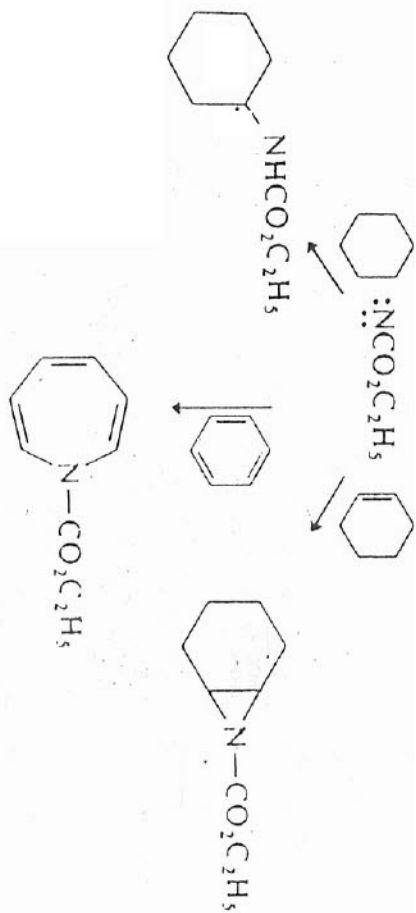
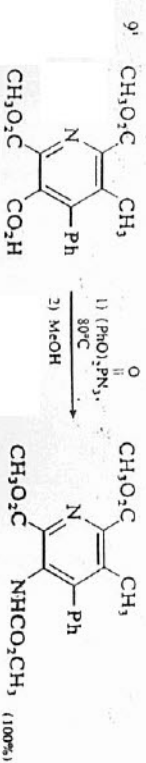
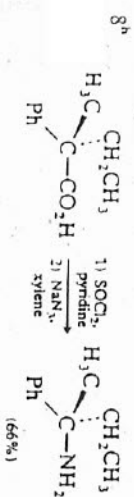
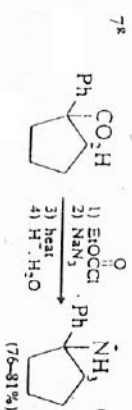
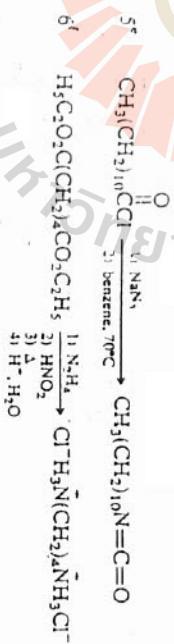


มหาวิทยาลัยเทคโนโลยีสุรนารี

## A. Beckmann Rearrangement Reactions

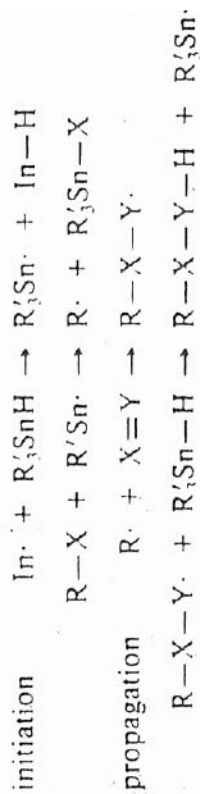
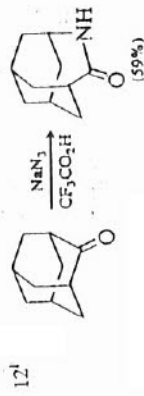
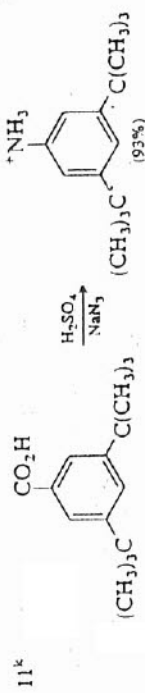


## B. Curtius Rearrangement Reactions

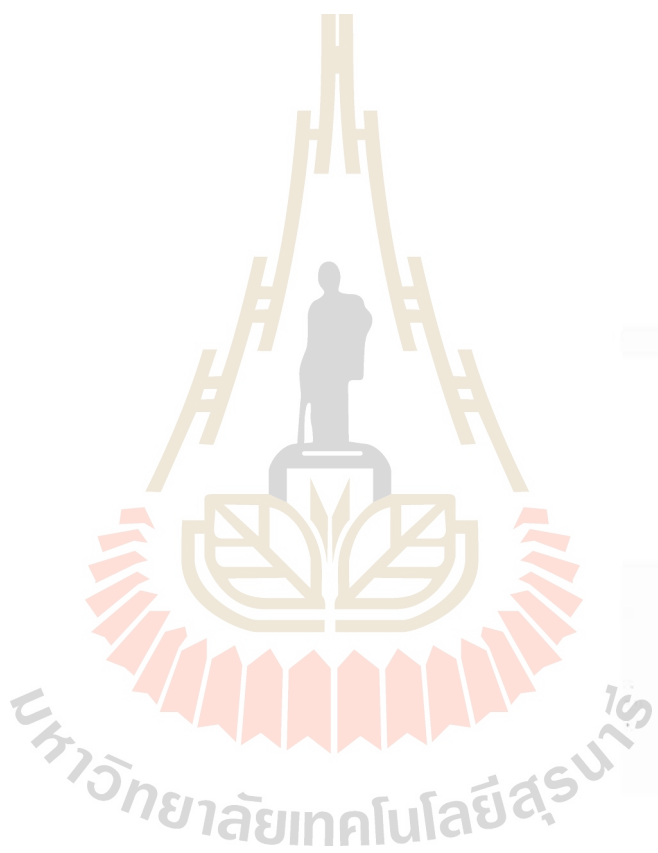
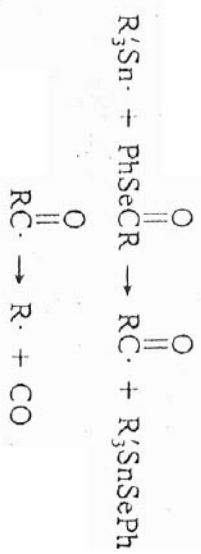
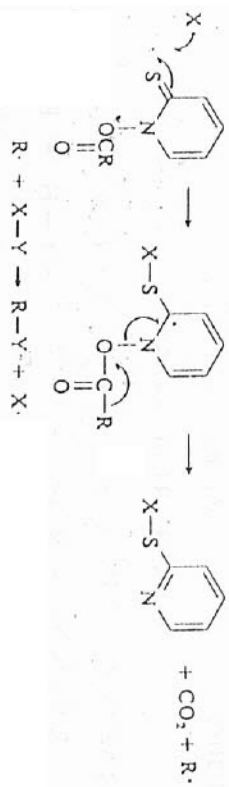


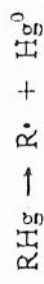
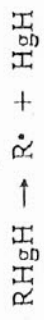
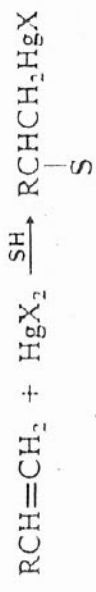
Scheme 10.9—continued

C. Schmidt Reactions

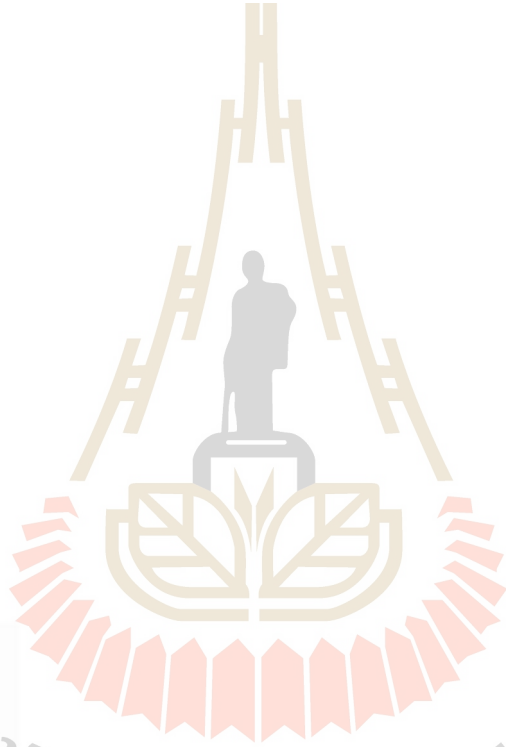


- a. R. F. Brown, N. M. van Gulick, and G. H. Schmid, *J. Am. Chem. Soc.* **77**, 1094 (1955).
- b. R. K. Hill and O. T. Choryk, *J. Am. Chem. Soc.* **84**, 1064 (1962).
- c. R. A. Barnes and M. T. Beachem, *J. Am. Chem. Soc.* **77**, 5388 (1955).
- d. S. R. Wilson, R. A. Sawicki, and J. C. Huffman, *J. Org. Chem.* **46**, 3887 (1981).
- e. C. F. H. Allen and A. Bell, *Org. Synth.* **III**, 346 (1955).
- f. P. A. S. Smith, *Org. Synth.* **IV**, 319 (1963).
- g. C. Kaiser and J. Weinstock, *Org. Synth.* **51**, 48 (1971).
- h. D. J. Cram and J. S. Brudshaw, *J. Am. Chem. Soc.* **85**, 1108 (1963).
- i. D. Kim and S. M. Weinreb, *J. Org. Chem.* **43**, 125 (1978).
- j. R. M. Palmer and R. T. Conley, *J. Org. Chem.* **35**, 2703 (1970).
- k. J. W. Elder and R. P. Marcella, *Can. J. Chem.* **41**, 1653 (1963).
- l. T. Sasaki, S. Eguchi, and T. Toru, *J. Org. Chem.* **35**, 4109 (1970).





propagation



มหาวิทยาลัยเทคโนโลยีสุรนารี

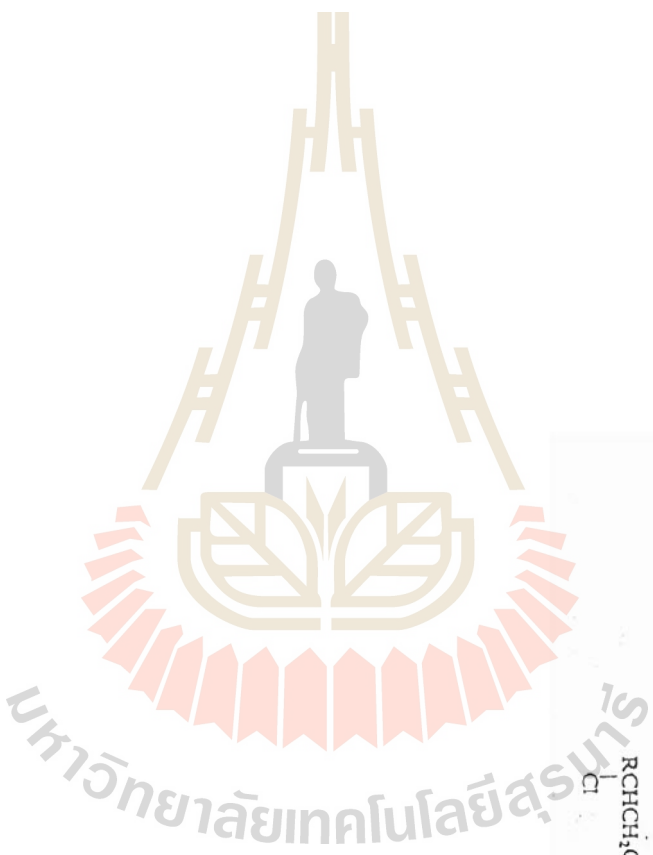
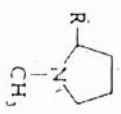
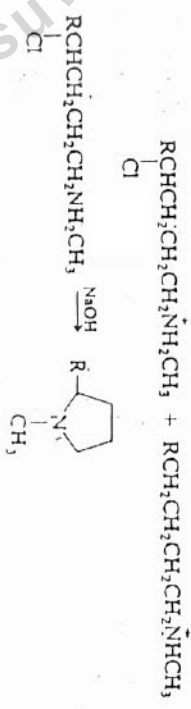
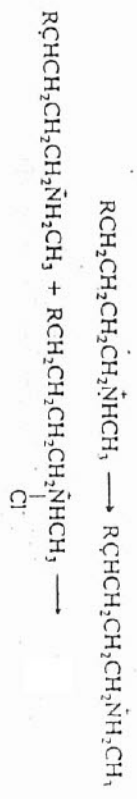
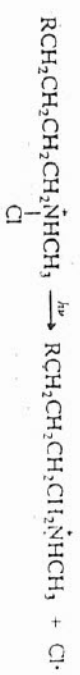
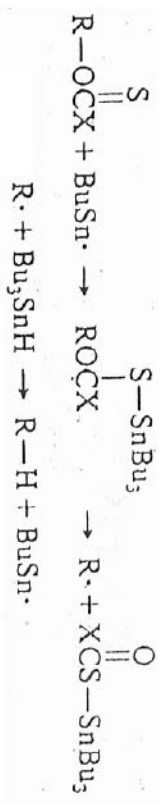




Fig. 10.2. Frontier orbital interpretation of radical substituent effects.

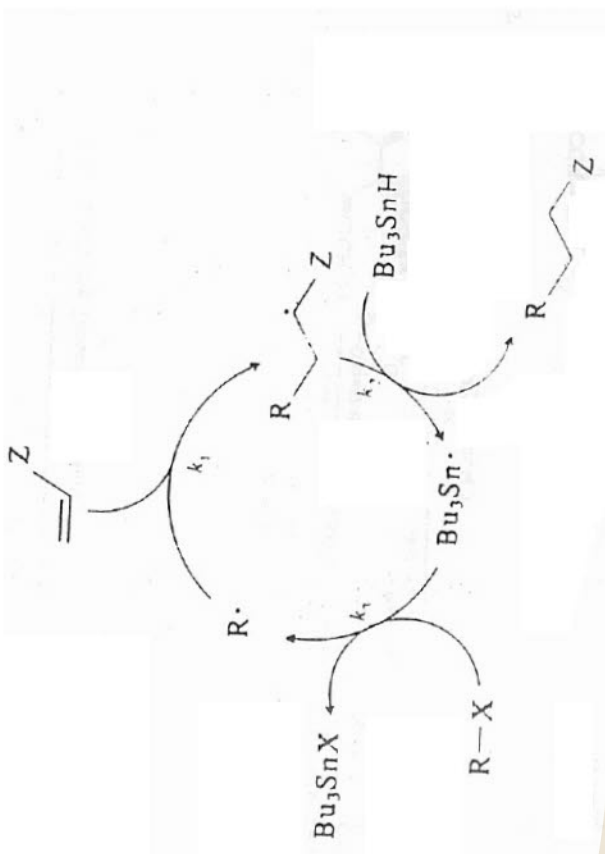
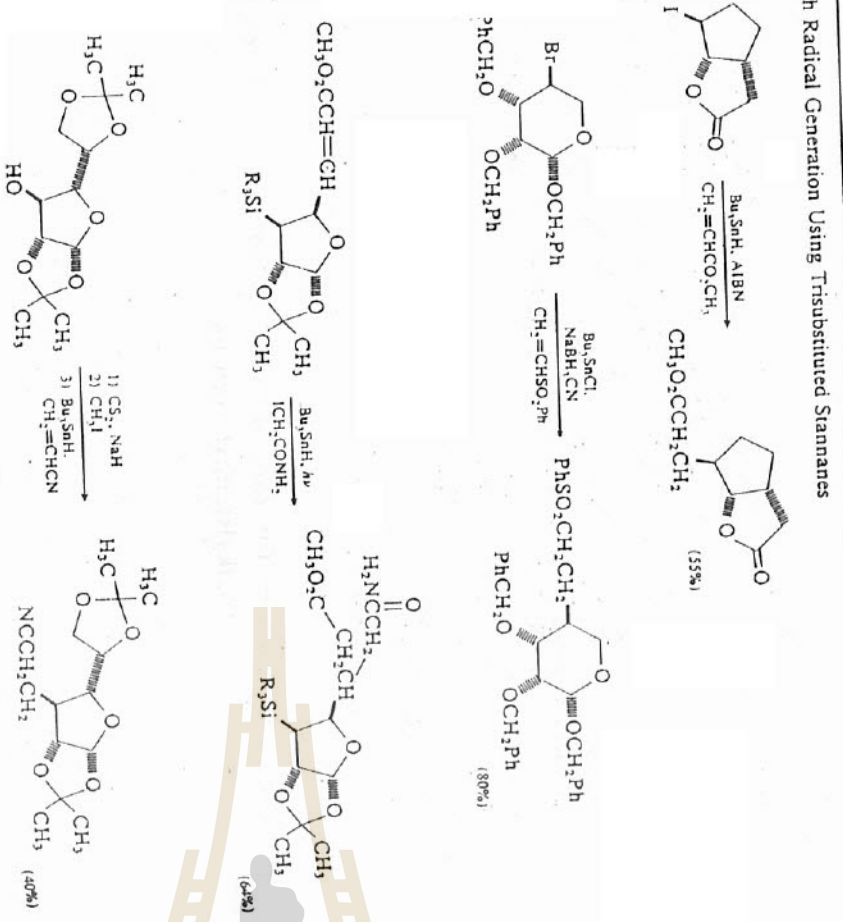
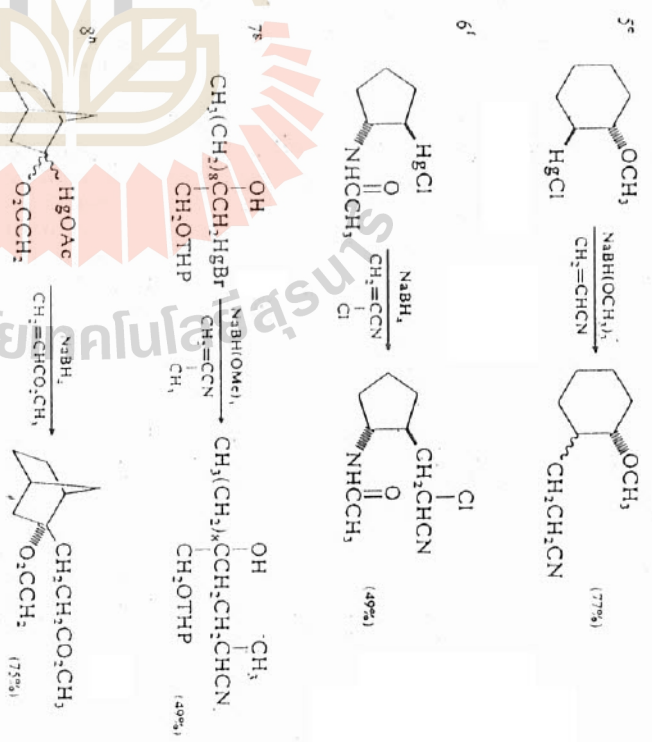


Fig. 10.3. Chain mechanism for radical addition reactions mediated by trialkylstannyl radicals.

A. With Radical Generation Using Trisubstituted Stannanes

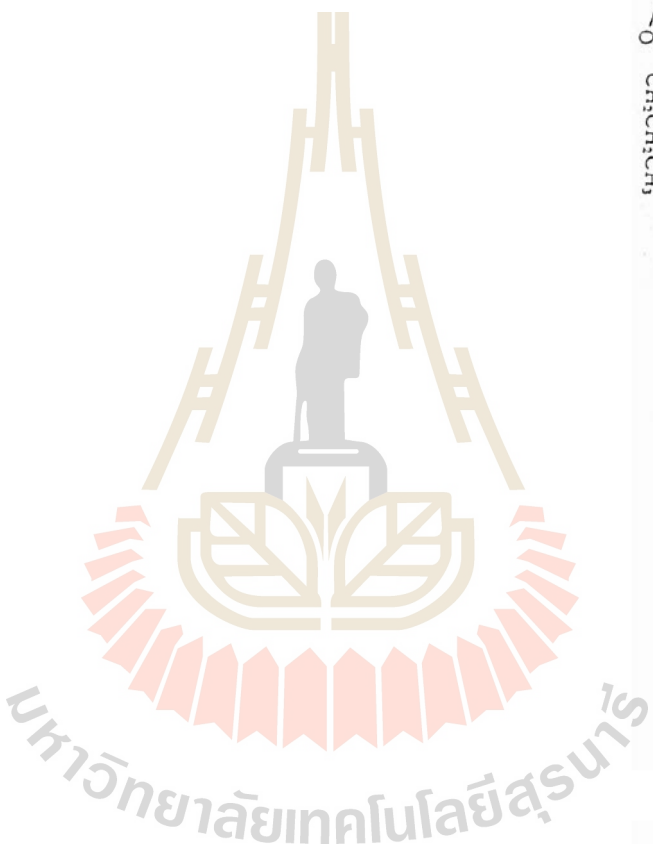
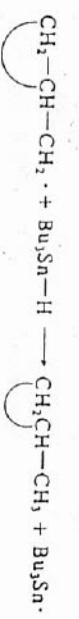
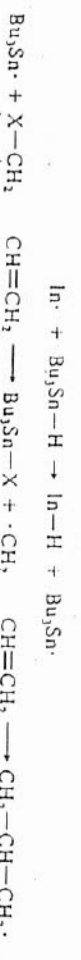
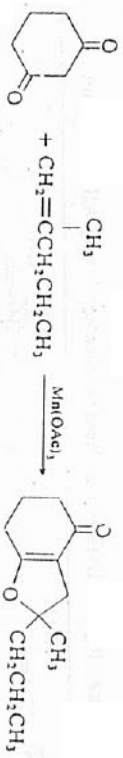


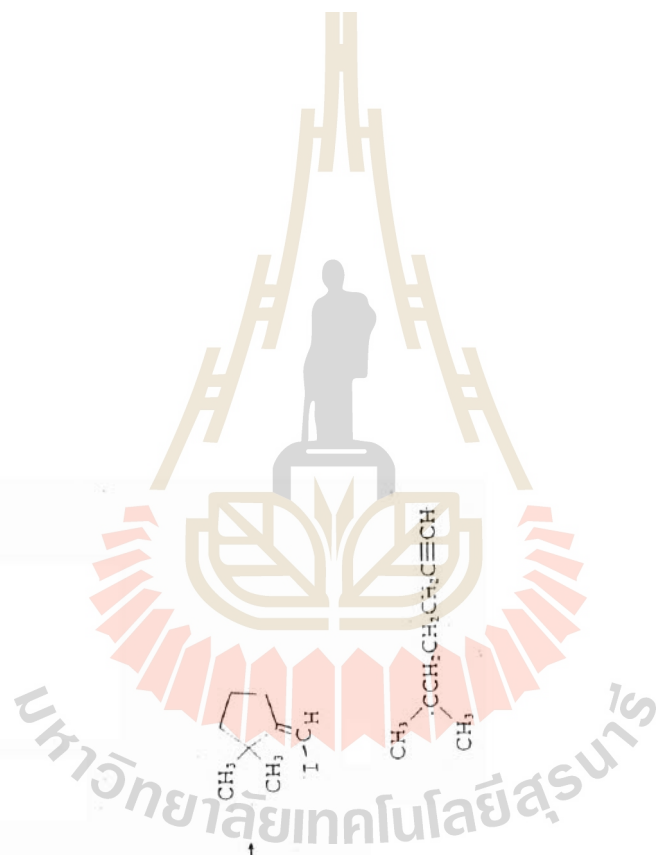
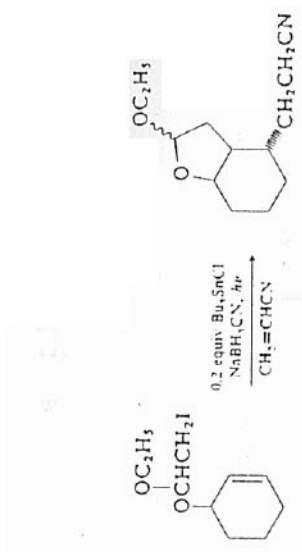
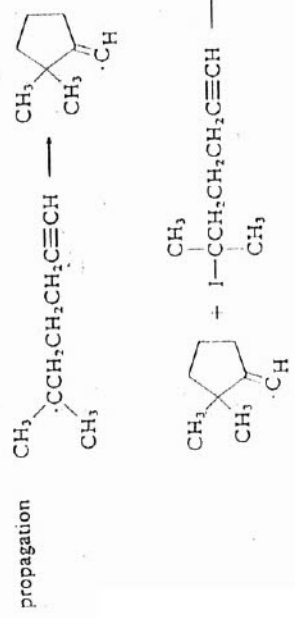
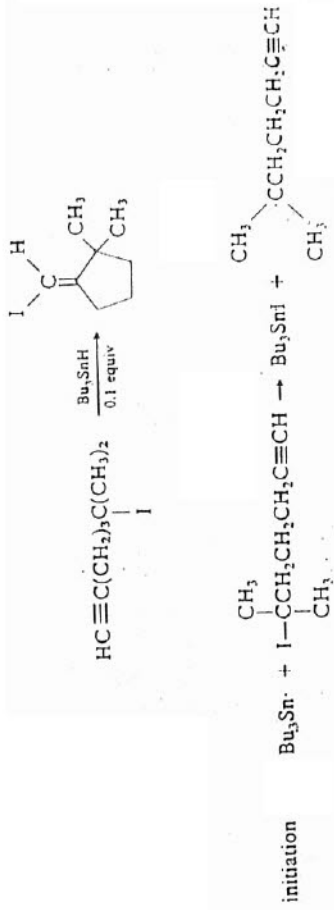
B. Using Other Methods of Radical Generation

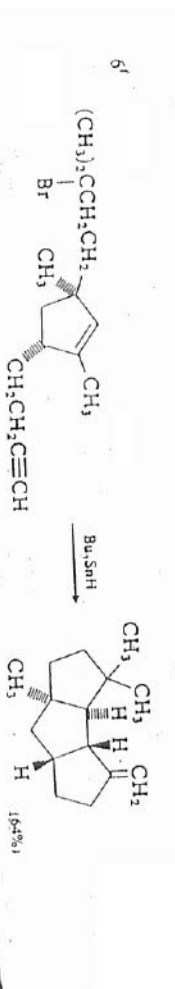
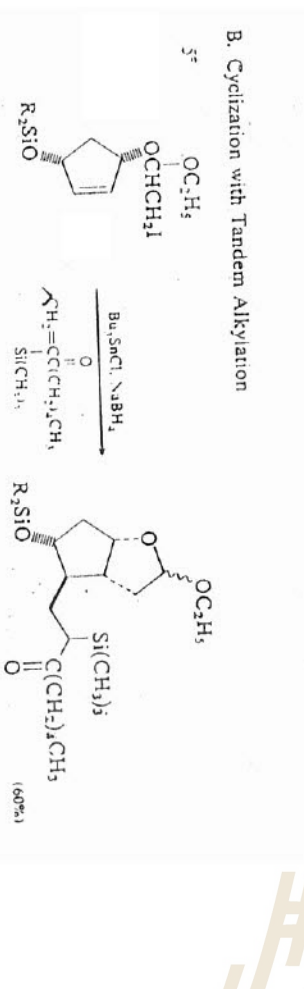
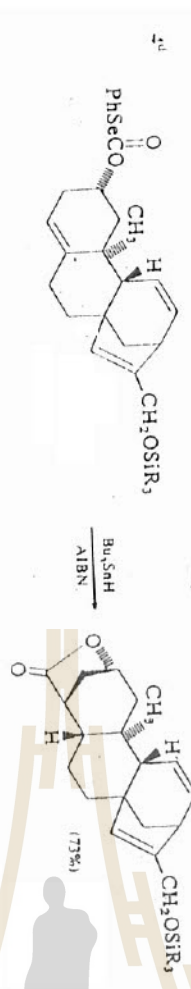
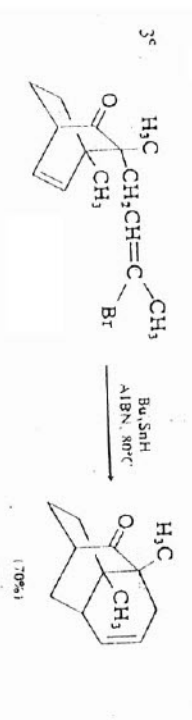
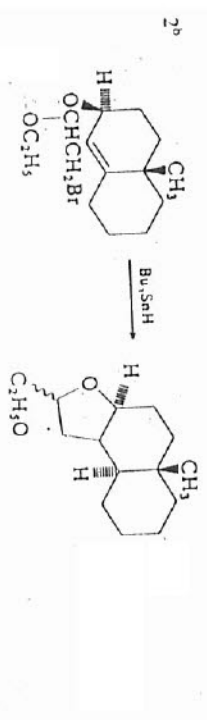
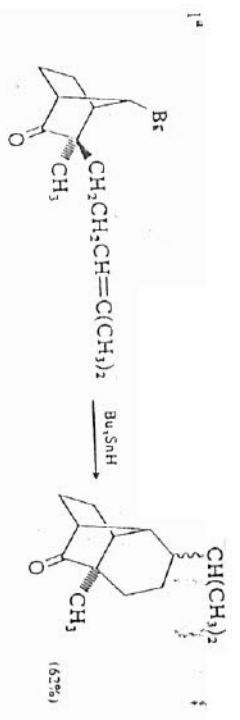


a. S. D. Burke, W. B. Fobare, and D. M. Aminstade, *J. Org. Chem.*, **47**, 3348 (1982).  
 b. M. V. Rao and M. Nagarajan, *J. Org. Chem.*, **53**, 1432 (1988).  
 c. G. Sacprante, C. Tan, and G. Just, *Tetrahedron Lett.*, **26**, 5643 (1985).  
 d. B. Giese, J. A. Gonzalez-Gomez, and T. Witzel, *Angew. Chem. Int. Ed. Engl.*, **23**, 69 (1984).  
 e. B. Giese and K. Heuck, *Chem. Ber.*, **112**, 3759 (1979).  
 f. R. Henning and H. Urbach, *Tetrahedron Lett.*, **24**, 5345 (1983).  
 g. A. P. Kozlowski, T. R. Nieduzak, and J. Sotko, *Organometallics*, **1**, 675 (1982).  
 h. B. Giese and U. Ertel, *Chem. Ber.*, **116**, 1240 (1983).

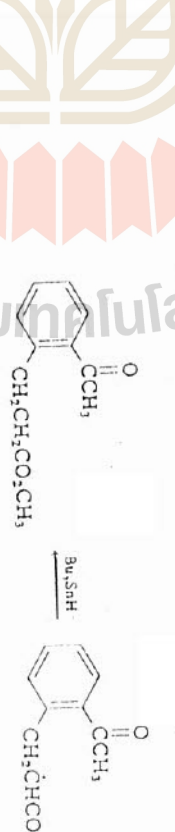
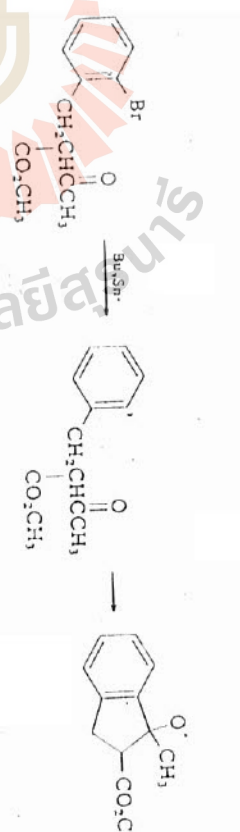
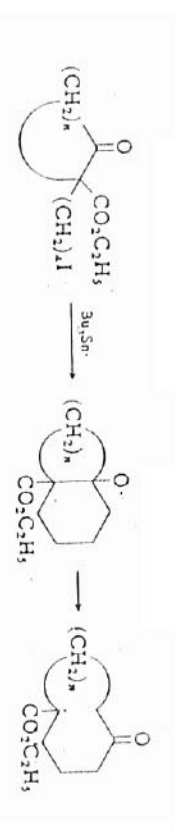








B. Cyclization with Tandem Alkylation



1. P. Bakuzis, O. O. S. Campos, and M. L. F. Bakuzis, *J. Org. Chem.* **41**, 3261 (1976).  
 2. G. Stork and M. Kahn, *J. Am. Chem. Soc.* **107**, 500 (1985).  
 3. G. Stork and N. H. Baine, *Tetrahedron Lett.* **26**, 5927 (1985).  
 4. A. K. Singh, R. K. Bakshi, and E. J. Corey, *J. Am. Chem. Soc.* **109**, 6187 (1987).  
 5. G. Stork, P. M. Sher, and H.-L. Chen, *J. Am. Chem. Soc.* **108**, 6384 (1986).  
 6. D. P. Curran and D. M. Rakewitz, *Tetrahedron* **41**, 3943 (1985).